

INSTITUTUL POLITEHNIC „TR. VUIA” TIMIȘOARA
FACULTATEA DE CONSTRUCȚII

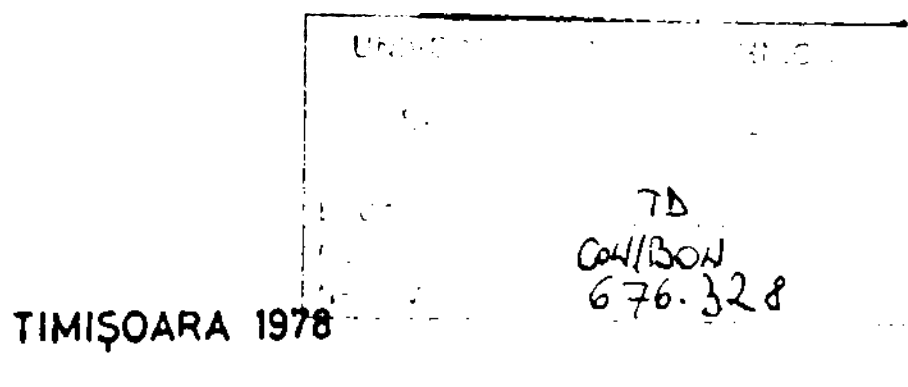
ing. BONDARIUC VASILE

CONTRIBUȚII LA STUDIUL GRINZILOR HIBRIDE

TEZA PENTRU OBȚINEREA
TITLULUI DE DOCTOR INGINER

BIBLIOTECĂ CENTRALĂ
UNIVERSITATEA „POLITEHNICA”
TIMIȘOARA

CONDUCĂTOR ȘTIINȚIFIC
ACAD. PROF. EM. DIAN MATEESCU



CAPITOLUL 1.

Introducere, considerații tehnico-economice; prezentarea conținutului lucrării pe capitulo.

1.1. Considerații generale

Epoca contemporană se caracterizează prin dezvoltarea încre-tuoasă a mijloacelor de producție, primăvara în cantități sporite de bunuri materiale. Aceasta are cauză consecință imediată un consum sporit de materii prime, energie, forță de muncă. Rezervele naturale care furnizează aceste elemente primare fiind limitate și în curs de epuizare, se impune din ce în ce mai acut folosirea lor rațională.

Una din soluțiile tehnice pentru folosirea rațională a resurselor naturale în domeniul construcțiilor metalice este utilizarea oțelurilor cu caracteristici mecanice ridicate, soluția care conduce la un consum de oțel mai redus, la realizarea unor elemente de construcții mai ușoare, la folosirea unor mijloace de transport și de ridicat cu capacitați mai reduse, și în final la un cost mai redus al construcțiilor.

Deoarece paralel cu creșterea rezistențelor mecanice ale oțelurilor, și prețul pe unitate de greutate al oțelurilor crește, avantajele aduse prin folosirea unor oțeluri cu rezistențe sporite, sunt parțial reduse prin costul unitar mai ridicat al acestor oțeluri.

Folosirea grinzilor hibride înseamnă adoptarea oțelurilor de calități diferite – zonelor de solicitări diferite și anume: în zona tălpilor unde eforturile normale din încovoiere sunt mari se folosește un oțel cu rezistențe sporite, iar în zona inimii, mai puțin solicitată se folosește un oțel obișnuit.

Constatăm că grinzile hibride reprezintă o fericită combinație a caracteristicilor mecanice ale oțelurilor cu cele de ordin economic.

Avantajele grinzilor hibride cresc pe măsură ce oțelurile pentru tălpi prezintă limita de curgere mai mare comparativ cu oțelul folosit la inimă. În prezent industria noastră pune la

dispoziția construcțiilor o gamă mică de oțeluri; cele mai folosite fiind oțeluri OL 52 și OL 37 curaportul rezistențelor de curgere $K=1,5$. Rezultate economice, obținute prin folosirea grinzilor hibride alcătuite corespunzător din cele două oțeluri sunt studiate și arătate în capitolul 8.

Pe măsura dezvoltării industriei oțelului, vor intra uzul constructorului oțeluri cu rezistențe sporite -($K=3,4$) fără amenuarea calităților de deformabilitate, sudabilitate etc. iar grinziile hibride alcătuite cu oțeluri în talpă cu rezistențe mult mai mari - vor prezenta avantajele economice de asemenei mult sporite.

Lucrarea de făgăstudiuă o serie de aspecte tehnice și economice ale grinzilor hibride.

Aspectele tehnice se referă în special la determinarea capacitatii portante a grinzilor hibride din condiția de rezistență, sub acțiunea solicitărilor de momente de încovoiere, forțe tangențiale și forțe axiale care acționează fiecare separat sau combinat, în diverse stadii și într-un proces prin care trece o secțiune hibridă în timpul încovoierii elasto-plastice.

Aspectele economice se referă la problemele de optimizare a secțiunilor și la studiul comparativ între grini hibride și grini simple de același capacitate portantă privind greutățile elementelor și al prețului de cost.

Prezentăm mai jos succint conținutul lucrării pe capitulo:

1.2. Sumarul lucrării

Capitolul 2 intitulat: Bazele teoretice ale încovoierii elasto-plastice,

Sunt prezentate principiile, legile și ipotezele, care sunt la baza încovoierii elasto-plastice a grinzilor hibride.

Se acceptă comportarea ideală elasto-plastică a oțelului, din care decurg relațiile între deformații și eforturi, precum și în ipoteza lui Bernoulli valabilă în domeniul elastic și elasto-plastic, care este la baza relațiilor privind calculul deformațiilor barelor.

Se acceptă criteriul de curgere Huber, Mises, Hencky pentru stabilirea relațiilor de interacțiune.

Se acceptă principiul creșterii proporționale a solicitărilor M.N.T.; secțiunile se calculează sub acțiunea unei singure solicitări, sau sub acțiunea combinată a lor, solicitări ce cresc

proporțional de la zero pînă la valori ce apuizează complet capacitatea portantă a secțiunii.

In cap.2.5 se stabilesc diagramele de eforturi ca mărime și ca distribuție pe secțiune, eforturi ce conduc la plasticizarea completă a secțiunii și care provin din acțiunea independentă a solicitărilor M,N,T.

Capitolul 3 intitulat: Comportarea grinzilor hibride la încovoiere pură.

Se prezintă încovoierea unei grinzii hibride, solicitată la un moment de încovoiere M – urmărindu-se pe diagrama moment curbura ($M-\theta$) comportarea ei, evidențiindu-se patru stadii de lucru.

Se exprimă relații moment curbură ($M-\theta$) în timpul încercării elasto-plastic pentru toate cele patru stadii de lucru.

Se exprimă valoarea momentului capabil al secțiunilor, în cele patru stadii de lucru; se remarcă mai multe forme ale expresiilor pentru moment capabil, funcție de simplificările acceptate sau după notății introduse de autori.

Deoarece în timpul curgerii plastice se modifică calitățile mecanice ale oțelului, s-a făcut un studiu în care se determină valoarea momentului pentru o deformare cu fibra extremă prescrisă de ex: pentru o deformare plastică de 2% cînd proprietățile mecanice ale oțelului sunt necesare.

Se studiază propunerea lui Basler, privind un calcul simplificat al grinzilor hibride – asimilîndu-le cu cele omogene prin introducerea unor ponderări geometrice conforme cu coeficientul ce definește cele două calități de oțel ale grinzii.

Se studiază comportarea grinzilor hibride la descărcare și încărcare cu solicitări de semne contrare.

Capitolul 4 intitulat: Comportarea grinzilor hibride la încovoiere cu tăiere; relații de interacțiune.

Se prezintă diversele tipuri de distribuție ale efortului G,T , în domeniul elastic și plastic pe secțiune, întlnite în literatura tehnică.

Sînt prezentate apoi cele două concepții privind relația de interacțiune M,T;

- Concepția după care cele două solicitări M,T acționînd simultan duc la plasticizarea întregii secțiuni, fără a respecta principiile și ipotezele din cap.2 de ex.: principiul creșterii

proporționale ale solicitărilor M, T -, ipoteza secțiunilor plane.

- Concepția după care cele două solicitări se pot combina în cap.2. După această concepție o secțiune se va considera să portată prin plasticizarea unei părți a unui element al secțiunii de ex.: a inimii.

Pentru fiecare din cele două concepții sunt prezentate multe expresii a curbei de interacțiune care depind de diagrame accentuată privind distribuția forței slujă Σ pe secțiune, după gradul desimplificării acceptat etc.

Capitolul 5 intitulat: Comportarea grinziilor hibride la încovoiere cu forțe axiale; relații de interacțiune.

Se prezintă fenomenul în general evident inducând consecințele existenței forței axiale pe lîngă moment.

Se prezintă relațiile $M-N$ existente în literatură tehnică pentru secțiuni dreptunghiulare și dublu I omogene.

Se deduc relații de interacțiune M, N pentru grinzi hibride în două cazuri:

- plasticizarea produsă de forța axială se extinde numai la inimă;

- plasticizarea produsă de forța axială extinde și la talpi.

Se prezintă programul "HYBRIDE 3" folosit pentru calculul relațiilor de interacțiune M, N ; se trasează curbele M, N pentru două seturi de grinzi; se fac considerații ce decurg din analiza acestor curbe.

Capitolul 6 intitulat: Grinzi hibride cu inimă plină, cu secțiunile I supuse la încovoierea oblică.

Se fac considerații generale privind comportarea unei grinzi hibride solicitată pe două direcții, atât de momente de încovoiere cât și la forțe tăietoare.

Se arată că axa neutră plastică secționează talpile în timpul încovoierii oblice.

Stabilirea valorii momentelor plastice se face în stadiul IV de lucru, iar calculul se conduce în următoarele ipoteze:

- Momentele de încovoiere se predau talpilor, iar forța tăietoare inimii;

- Momentele și forțele tăietoare se predau atât talpilor cât și inimii. Calculul se efectuează într-o variantă exactă și una simplificată, simplificările fiind deduse din considerații

geometrice.

Valorile momentelor plastice sunt exprimate în funcție de unghiul γ de înclinare a axei neutre, care se determină din secțiune în γ de gradul 1 și în varianta exactă, și de gradul 2 în varianta simplificată.

Pentru calculul valorilor momentelor plastice $M_x T$, $M_y T$, $M_{xy} T$, $\frac{M_x T}{K_{xp}}$ s-a întâlnit programul "Hybride 4"

Capitolul 7 intitulat: Comportarea grupelor hibride la acțiunea simuleazării momentului de încovoiere, forței axiale și a forței tăietoare și relații de interacțiune.

În introducere se scriu expresiile analitice care să solicitea or M, N, T ce definesc starea de solicitare plastică a unei secțiuni funcție de parametri γ_1, γ_2 (fig. 7.1); prin eliminarea celor doi parametri se obține ecuația generală a condiției de curgere (7.3) ce definește așa numitul "poliedul de curgere".

Corespunzător celor două concepții privind capacitatea portantă a sect. hibride se stabilesc relații de interacțiune M, N, T și anume:

- Rezolvarea analitică a problemei în concepția plasticizării tuturor elementelor secțiunii. Programul "HYBRIDE 2" întocmit conform relațiilor analitice stabilite rezolvă problema practică; diagramele din fig. 7.4 a,b,c,d - studiază aspectele problemei în care variază parametrele: K coeficientul de majorare a rezistenței de curgere, β coeficientul de răspindire a materialului și q - pondera procentuală a forței tăietoare.

- Rezolvarea problemei în concepția pierderii capacitatii portante prin plasticizarea unui singur element, s-a realizat prin integrarea numerică a ecuațiilor ce definesc N, N, T cu ajutorul programului HYBRIDE 1.

Funcție de parametrii γ_1, γ_2 , s-au traseat 11 curbe particulare - ce definesc destul de complet poliedrul de curgere. Studiul a fost efectuat urmărindu-se influența parametrilor K de majorare a rezistenței de curgere și β - de distribuție a materialului pe secțiune pe patru tipuri de grinzi - redată prin poliedre de curgere din fig. 7.48-7.51.

În final se prezintă o metodă aproximativă pentru determinarea uneia din solicitările M, N, T cunoscându-se celelalte două.

Capitolul 8 intitulat: Studii economice; eficiența folosirii oțelurilor superioare; probleme de optimizare.

Se studiază comparativ economia de oțel și de cost între barele supuse la întindere centrică, la compresiune și la înrăvăiere între bare omogene alcătuite din oțel normal, oțel susținut și bare cu mărgine hibridă.

Se fac studii de optimizare pentru grinzile omogene și grinzi hibride rezultându-se încadrările optimale respectiv aria minima a secțiunii și următoarele.

Înainte de un procesul de încovoiere, în probleme de stabilitate analitică, se face un studiu cu apălizare a grinzilor omogene și hibride, luându-se în considerare acest numit "criteriu de stabilității lui Le" definit ca raportul între înălțimea inimii și grosimea ei. Studiul s-a făcut în domeniul elastic și plastic pe trei diagrame ce pun în evidență avantajele grinzilor hibride comparativ cu cele omogene.

În final se face un studiu comparativ - a elementelor pușe în operă; diagramele trasate evidențiază costuri mai reduse a grupelor hibride comparativ cu cele omogene.

CAPITOLUL 2

BAZELE RETICE ALE INCVOIERII ELASTO-PLASTICE

2.1. CEMPLITATI. Exprimarea matematică a unui fenomen, presupune inițial o schematizare a fenomenului studiat. Schema acceptată trebuie să prindă aspectele caracteristice, să fie simplă și să negligeze aspectele secundare.

Imbrăcarea unei scheme fenomenologice în forma matematică, reprezintă teoria aceluia fenomen. Cu cît schema cuprinde mai multe aspecte ale unui fenomen, cu atât ea se apropiă mai mult de realitate, dar în același timp se complică teoria matematică. De cele mai multe ori se recurge la un compromis, teoria urmând a cuprinde numai acei factori, care exprimă fenomenul în ceea ce are el mai caracteristic.

In cele ce urmează sunt expuse legile și ipotezele fundamentale, care stau la baza teoriei de încovoierea elasto-plastică.

2.2. Valabilitatea ipotezei lui Bernoulli atât în domeniul elastic cît și în cel plastic.

Ipoteza lui Bernoulli privind planicitatea secțiunilor plane după deformare, valabilă în domeniul elastic, se extinde și în domeniul plastic. Această ipoteză conduce la distribuția lineară a deformațiilor pe înălțimea grinzi, în cazul încovoierei pure acceptată și pentru încovoiere cu forță tăietoare (fig.2.1).

Din această ipoteză rezultă relația:

$$\varepsilon = \frac{y}{S} = y\phi \quad (2.1)$$

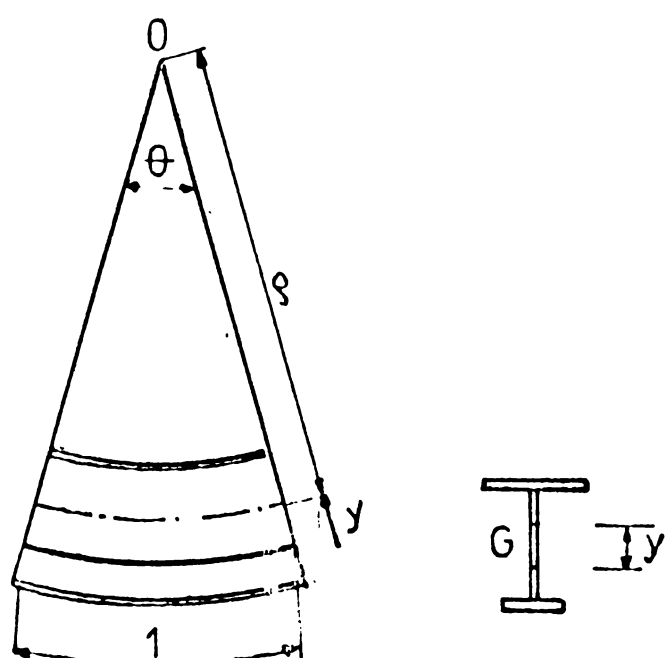


Fig 2.1

acceptă ipoteza lui Prandl a unui material perfect elastic, deformațiile dezvoltându-se foarte mult sub efort constant "fig.2.2".

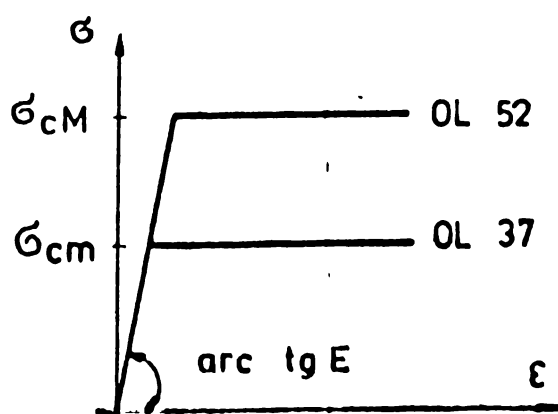


Fig 2.2

... Relații de legătură
... deformații și eforturi în încovoierea elasto-plastică.

Se acceptă o comportare elasto-plastică a otelului adică:
- în domeniul elastic o relație lineară pentru cele două mărimi, legate prin același modul de elasticitate pentru toate cantitățile de otel ($E=2,1 \times 10^6$ daN/cm²) conform legii lui Hooke; $G=E \cdot \varepsilon$
- în domeniul plastic se

Acceptarea acestei legi de legătură între σ , ε conduce la relații matematice simple în teoria de încovoiere elasto-plastică, iar erorile introduse sunt foarte mici.

Se neglijiază efectul consolidării otelului.

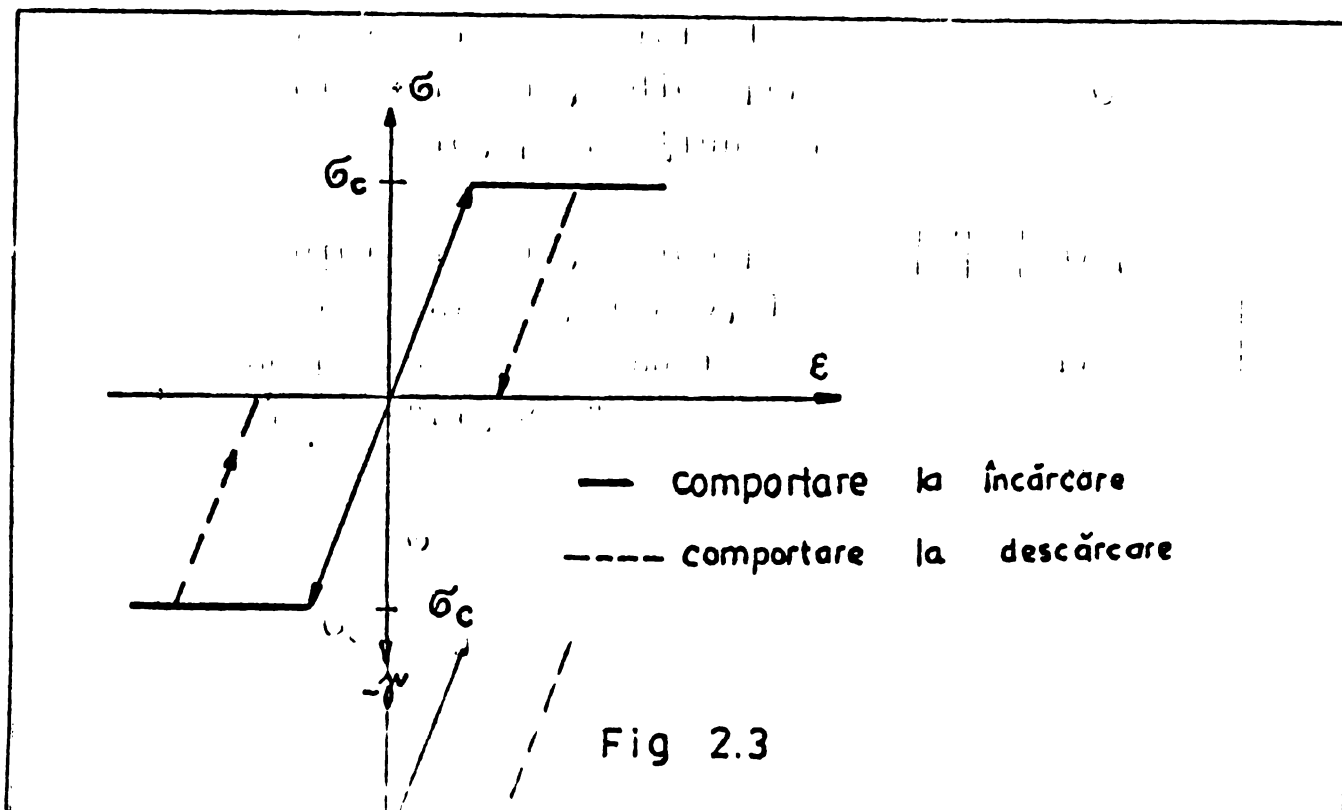
2.3.b. Efectul solicitării de sens contrar.

Comportarea unei bare

În solicitări de sens schimbat este diferită după cum schimbarea solicitării trece loc în domeniul elastic sau în domeniul plastic.

In domeniul elastic, adică pentru $|\sigma| < |\pm \sigma_c|$ bară se comportă perfect elastic; pe secțiunea barei de cărcate nu rămân eforturi remanente.

In domeniul plastic, adică pentru $|\sigma| > |\pm \sigma_c|$ la încărcare bară se comportă conform pct.2.3; la descărcare bară se comportă elastic și nu parcurge în sens invers deformațiile plastice suportate la încărcare "fig.2.3".



2.4. Principiul creșterii proporționale a solicitărilor M, N, T .

In domeniul plastic principiul suprapunerii efectelor nu este aplicabil, legea lui Hook nefiind valabilă în domeniul post-elastic. În consecință nu e posibilă studierea separată a efectelor din diferite încărcări și suprapunerea lor, ca în rezistență clasice în domeniul elastic! ⁽¹⁾ / 3

Drept urmare se consideră că secțiunea este acționată de solicitări M, N, T , separat sau combinat, care cresc proporțional de la zero pînă la valori ce produc plasticizarea secțiunii.

2.5. DISTRIBUȚIA EFORTURILOR DIN MOMENT, FORȚA AXIALĂ SI FORȚA TAIETOARE PE SECȚIUNE.

Eforturile din moment G_M și eforturile din forță axială G_A , se distribue la întreaga secțiune; eforturile din forță tăietoare G_T se distribue numai în mijloc. În baza principiului creșterii pro-

portionale a solicitărilor M, N, T (cap. 2.4) secțiunca solicitată de unul din cele trei solicitări, acționând independent, atinge capacitatea de rezistență limită în următoarele situații:

- întreaga secțiune e plasticizată din moment conform schemei din fig. 2.4.a;
- întreaga secțiune e plasticizată din forță axială conform schemei din fig. 2.4.b;
- inima este plasticizată din forță laterală conform schemei din fig. 2.4.c.

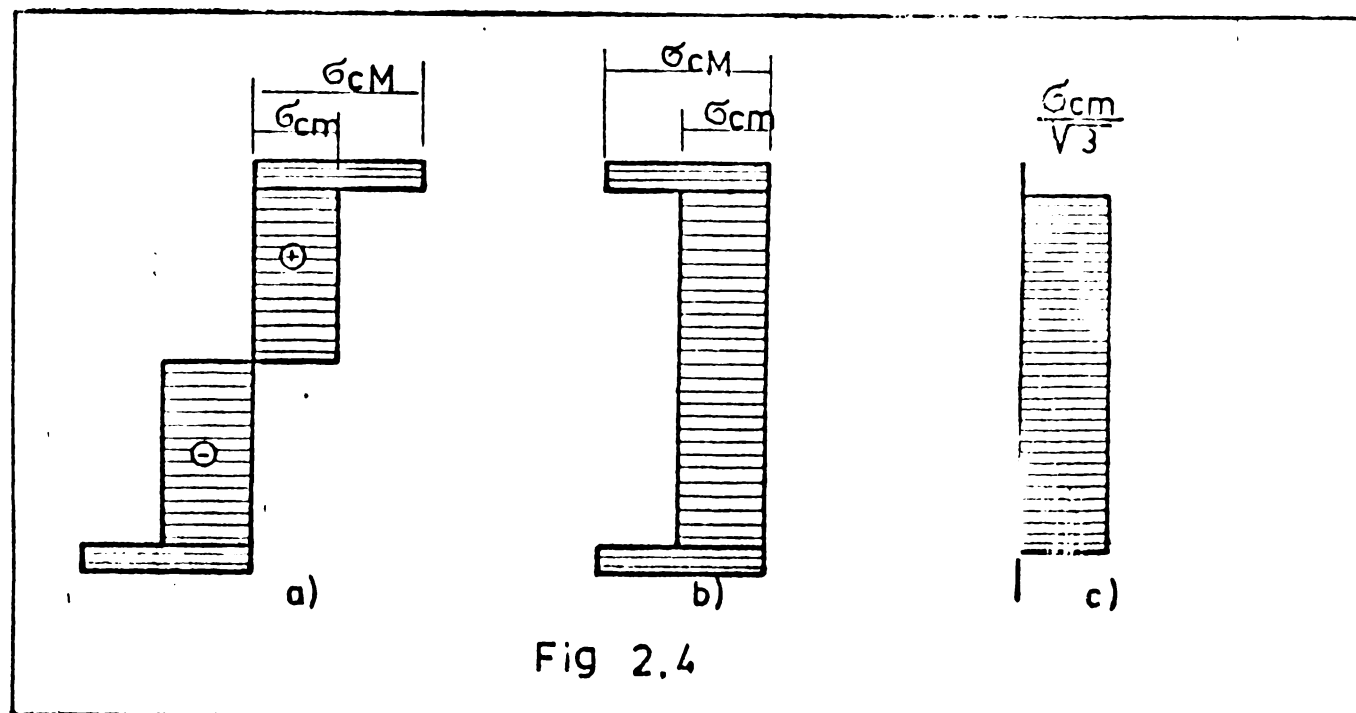


Fig. 2.4

2.6. Criteriul de curgere.

Studiul comportării unei secțiuni la acțiunea simultană a două sau trei solicitări (M, N, T) impune alegerea unui criteriu de curgere. Se acceptă criteriul de curgere a lui Huber, Mises, Hencky ca unul care conduce la rezultate ce se confruntă cel mai bine cu rezultatele obținute experimental la oțol:

$$\sigma_c^2 = \sigma^2 + 3\tau^2$$

$$\tau_c = \frac{\sigma}{\sqrt{3}} \quad \text{pentru } \sigma = 0 \quad (2.4 \text{ a,b})$$

Acest criteriu va sta la baza scrierii relațiilor de interacțiune între σ_M , σ_N și τ .

In cazul unei secțiuni supusă simultan la solicitări M, N, T , criteriul de curgere (2.4) se aplică numai în zona inimii; în zona tălpilor unde T este considerat nul, interacțiunea se va produce numai între N, M eforturile σ_M și σ_N fiind de aceiași natură.

- 10 -

2.7. Utilizarea condițiilor de proiecții și de momente ale eforturilor unitare pe secțiune.

Scrierea ecuațiilor de proiecții și de momente pe secțiune conduce la determinarea celor trei solicitări M, N, T :

$$N = \int \sigma_x dA; \quad M = \int \sigma_x y \cdot dA; \quad T = \int \tau \cdot dA \quad (2.5)$$

Condiția specială de proiecții a efortului normal σ

$$\int \sigma_x \cdot dA = 0 \quad (2.6)$$

conduce la determinarea poziției axei neutre plastice în cazul încovoierii prăvăliei.

CAPITOLUL 3.

COMPORTAREA GRINZILOR HIBRIDE LA INCVOIEREA DREAPTA

3.1. GENERALITATI:

Se studiază cazul unui material ideal elasto-plastic fig.22 pentru care se pot scrie următoarele relații:

$$\sigma = E\varepsilon \quad \text{pentru} \quad |\varepsilon| < \frac{\sigma_c}{E} \quad (3.1.a)$$

$$\sigma = \sigma_c \quad \text{pentru} \quad |\varepsilon| > \frac{\sigma_c}{E} \quad (3.1.b)$$

unde E este modulul de elasticitate, același pentru ambele oțeluri, iar σ_c este σ_{cm} , respectiv σ_{cm} , deci valori diferite pentru fiecare calitate de oțel.

Comportarea unei grinzi hibride în cazul unei încovoieri elasto-plastice se studiază pe diagramea moment-curbura ($M - \varphi$) fig.3.1.

Pe măsură creșterii momentului se disting patru stadii caracteristice (FROST, SCHILLINGO) [30] ce se studiază mai jos.

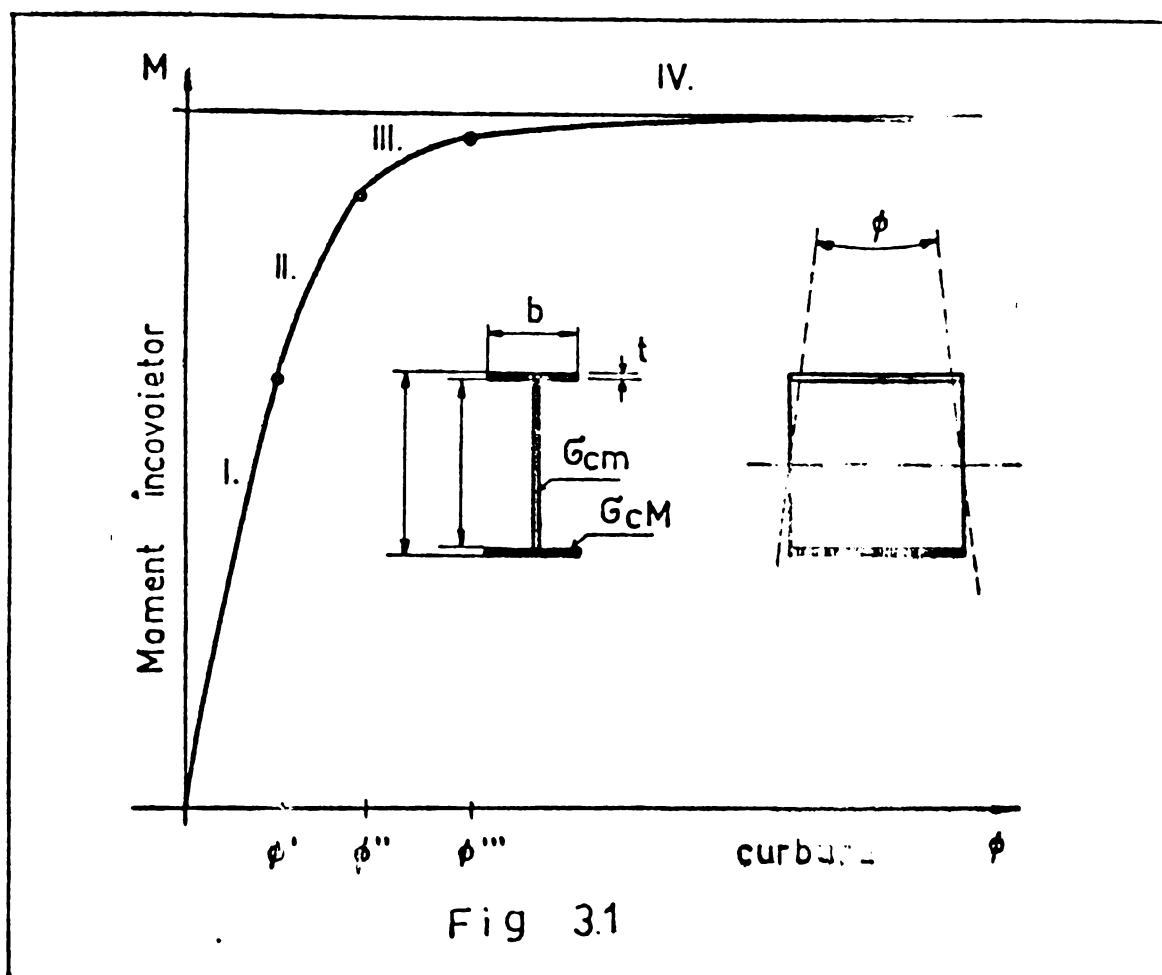


Fig. 3.1

3.2. Exprimarea matematică a relațiilor $M - \phi$ în timpul încovoierii elasto-plastice.

In fig.3.2 sunt reprezentate diagramele pentru deformații și eforturi pentru limita superioară a fiecărui stadiu pentru o grindă hibridă dublu simetrică.

Stadiul 1 reprezintă stadiul în care grinda se comportă perfect elastic; la limită se atinge curgerea la fibra superioară a inimii. Momentul de încovoiere aplicat asupra grinzi este proporțional cu curbura ϕ

$$M = E \cdot I_x \cdot \phi$$

unde: I_x – este momentul de inerție al întregii secțiuni în raport cu axa neutră.

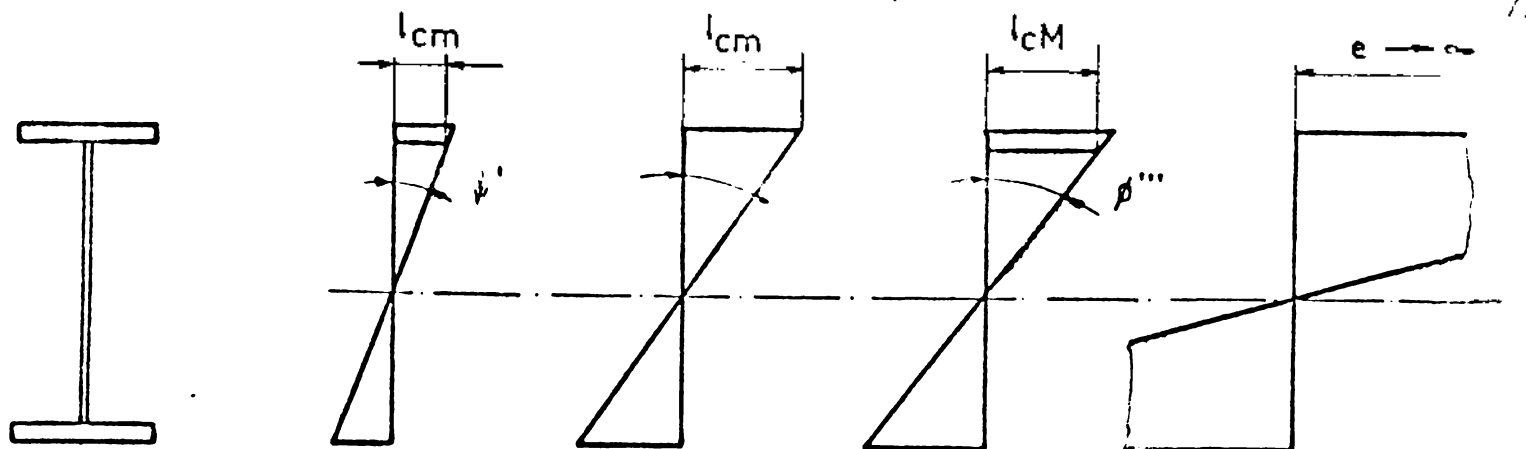
E ; modulul de elasticitate al șelului

$\phi < \phi'$; curbura (vezi fig.3.2)

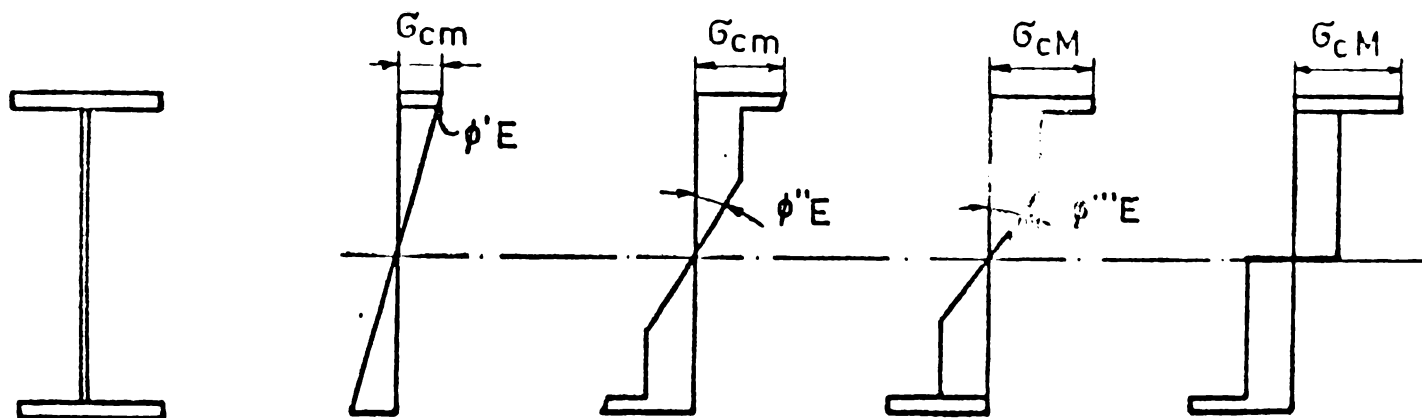
Stadiul 2 reprezintă domeniul în care curgerea se dezvoltă în inimă, în timp ce tălpile rămân în domeniul elastic. Deformațiile fibrelor variază de asemenea linear pe finalitatea secțiunii și sunt legate de curbură prin relația (3.2a).

$$\operatorname{tg} \phi = \frac{\epsilon}{y} \quad (3.2 \text{ a})$$

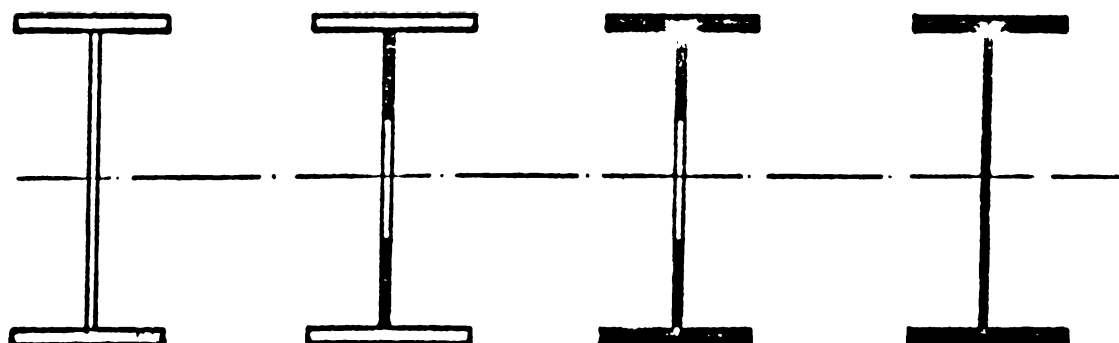
Stadiul I $\phi = \phi'$ Stadiul II $\phi = \phi''$ Stadiul III $\phi = \phi'''$ Stadiul IV $\phi = \tau_{1/2}$



DEFORMATII



E FORTURI



CURGERE

ZONELE INEGRITE INDICA PARTILE INTRATE IN CURGERE

Fig 3.2

unde, ϵ este deformarea în fibre situată la distanță y , măsurată de la axa neutră. Deoarece valorile δ sunt foarte mici se poate scrie aproximativ.

$$\phi = \frac{\epsilon}{y} \quad (3.2.b)$$

Momentul corespunzător unei curburi date poate fi obținut prin însumarea momentelor interioare pe diagrama de eforturi descompuse în fig.3.3.

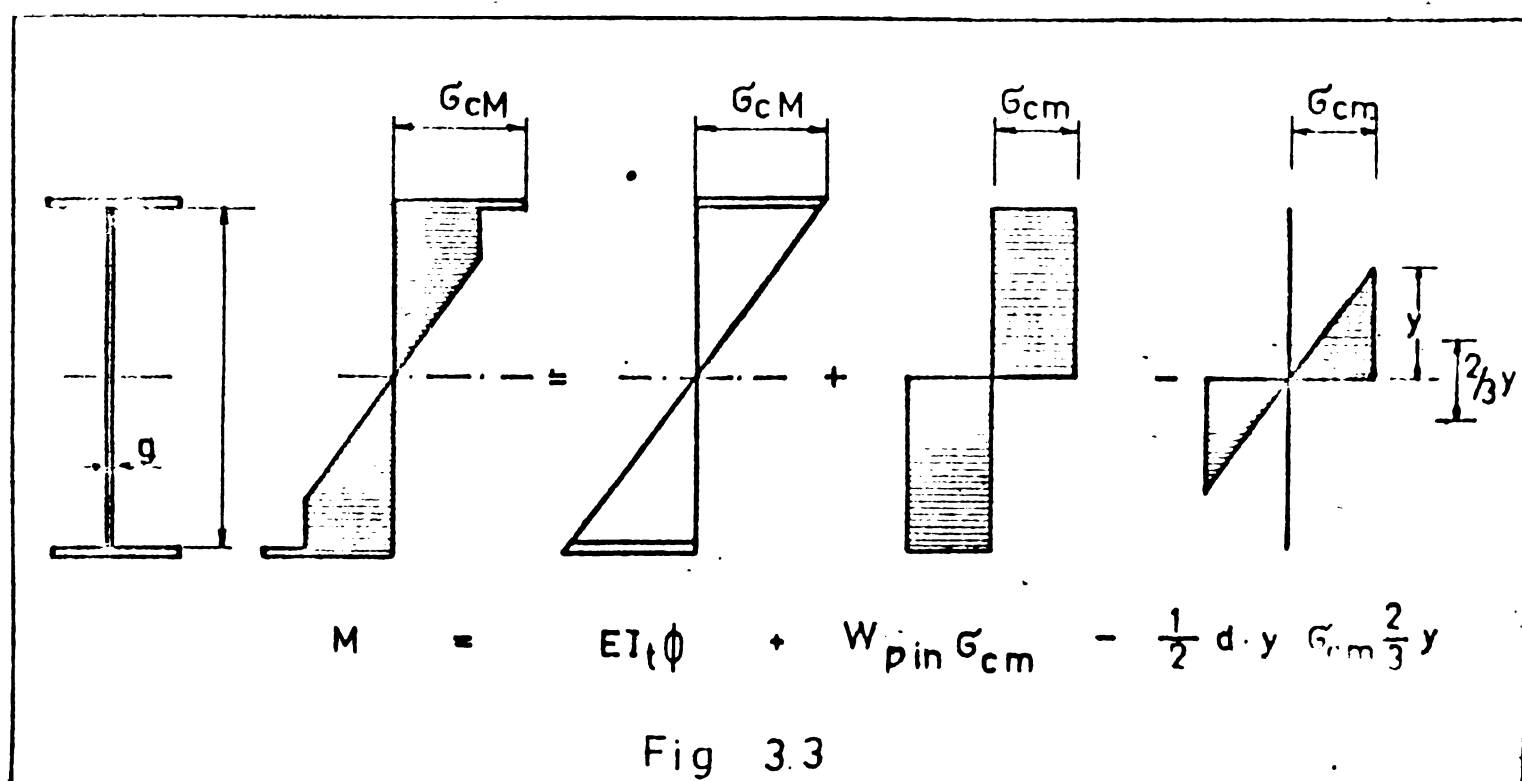


Fig 3.3

unde:

I_t = Momentul de inerție al tălpilor față de axa neutră.

W_p = Momentul plastic al întregii inimii față de axa neutră.

Ultimul termen se prelucrează și astfel:

$$\sigma_{cm} = E \cdot \epsilon_{cm} = E \cdot \frac{y}{\phi} = E y \delta ; \quad y = \frac{\sigma_{cm}}{E \cdot \delta}$$

Valoarea "y" astfel dedusă o introducem în ultimul termen

$$M = E \cdot I_t \cdot \delta + W_p \cdot \sigma_{cm} - \frac{\sigma_{cm}^3 \cdot E}{3 E \delta} \quad (3.4)$$

Studiul 3 - reprezintă domeniul în care plasticizarea după ce a atins fibra extremă a tălpilor pătrunde pe grosimea lor. Momentul capabil se stabilește prin însumarea algebraică pe diagrama descompusă în fig.3.4.

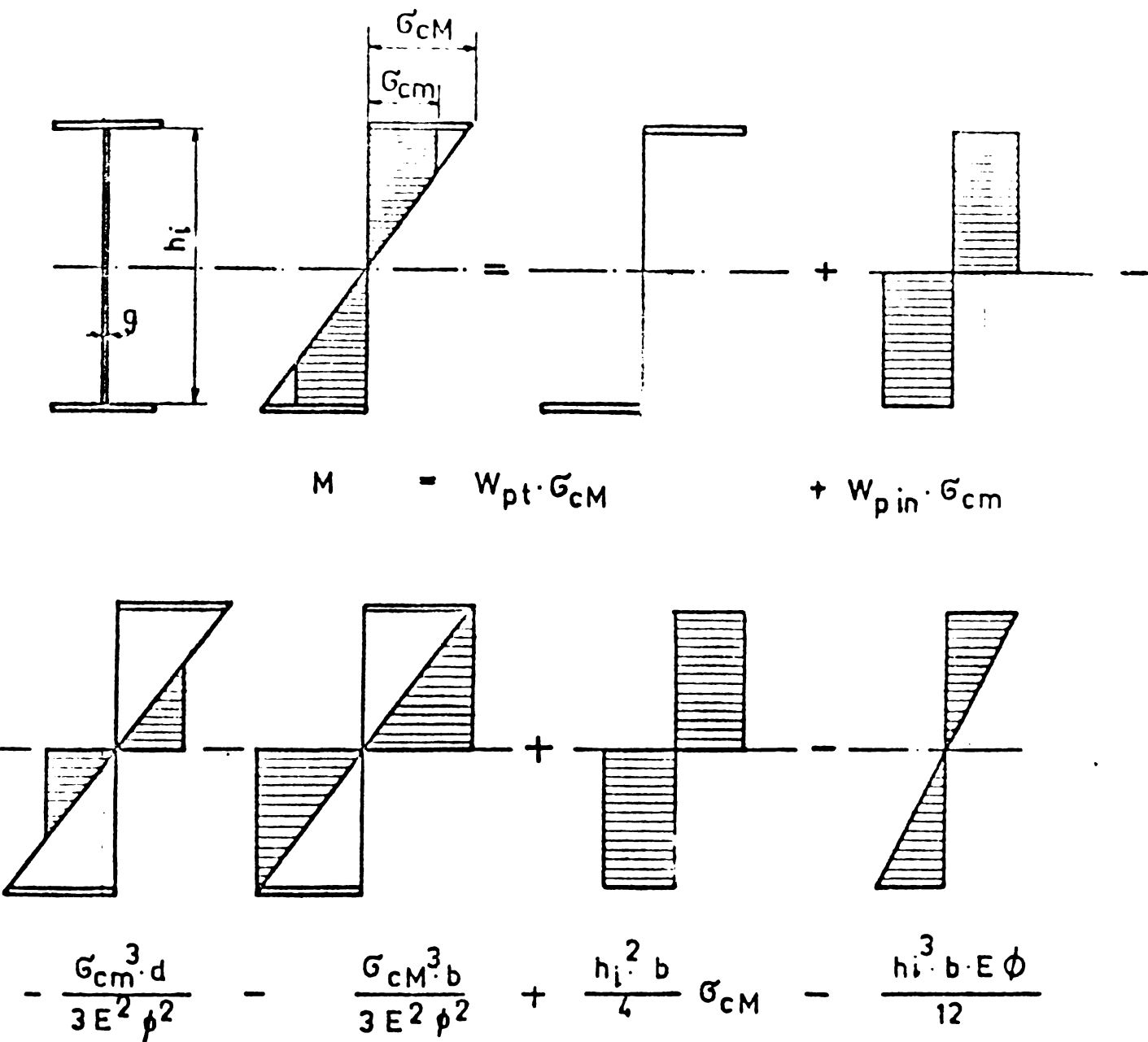


Fig 3.4

$$M = W_{pt} \cdot G_{CM} + W_{pin} \cdot G_{CM} - \left(\frac{G_{CM}^3 \cdot g}{3E \phi^2} + \frac{3G_{CM}^3 b}{3E^2 \phi^2} \right) + \frac{h_i^2 \cdot b}{I_2} (3G_{CM} - E \phi h_i)$$

Stadiul 4 - reprezintă domeniul în care plasticizarea se extinde asupra inimii de la fibrele extreme spre axa neutră. Expressia valorii momentului se deduce din diagrama din fig.3.5.

$$M = W_{pt} \cdot G_{CM} + W_{pin} G_{CM} - \frac{G_{CM}^3 \cdot t}{3E^2 \phi^2} \quad (3.6)$$

Pentru valori mari ale curburii, ϕ din relația (3.6) va fi înlocuită cu $\tan \phi$ și decarece ϕ tind către $\frac{\pi}{2}$ termenul al treilea dispără și expresia momentului se apropiă de valoarea totală a momentului plastic

$$M_o = W_{pt} \cdot G_{CM} + W_{pin} G_{CM} \quad (3.7)$$

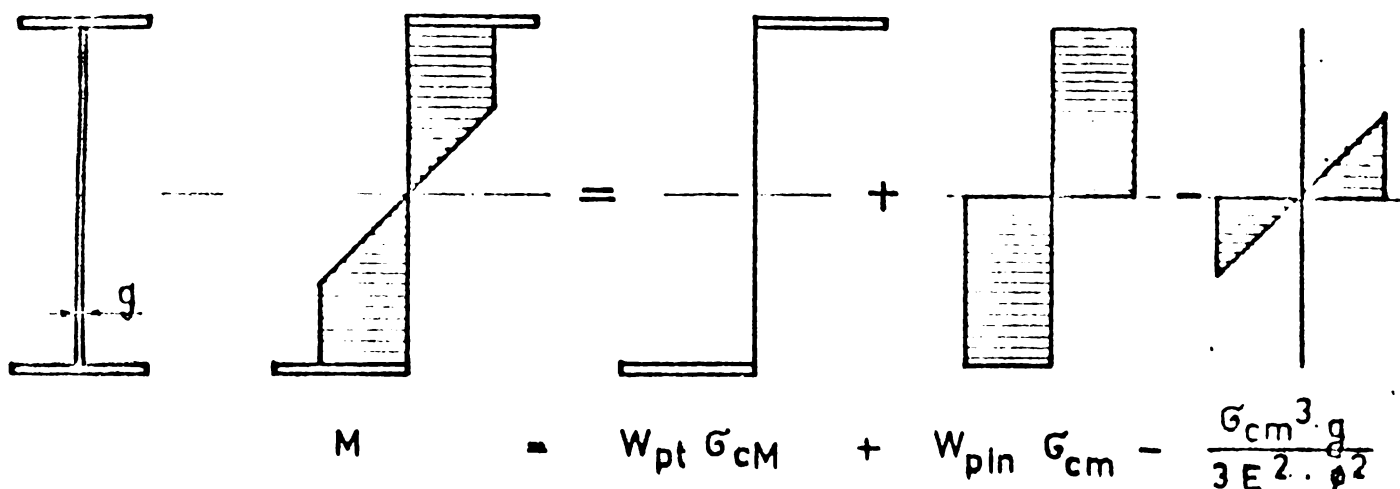


Fig. 3.5

3.3. Determinarea momentului capabil al grinzilor hibride

Scrierea momentului capabil pentru o grindă hibridă în toate stadiile de lucru se face conform relației generale (2.5):

$$M = \int_A \sigma_y \cdot dA.$$

3.3.1. Stadiul 1. Grinda găsindu-se în domeniul elastic, relațiile de calcul sunt cele valabile din domeniul elastic. Valoarea limită definită conform diagramelor fig.3.2, adică la atingerea curgerii inimii în fibra extremă (σ_{cm}) se exprimă:

$$M = \frac{2 \cdot J_x}{h_i} \cdot \sigma_{cm} \quad (3.8)$$

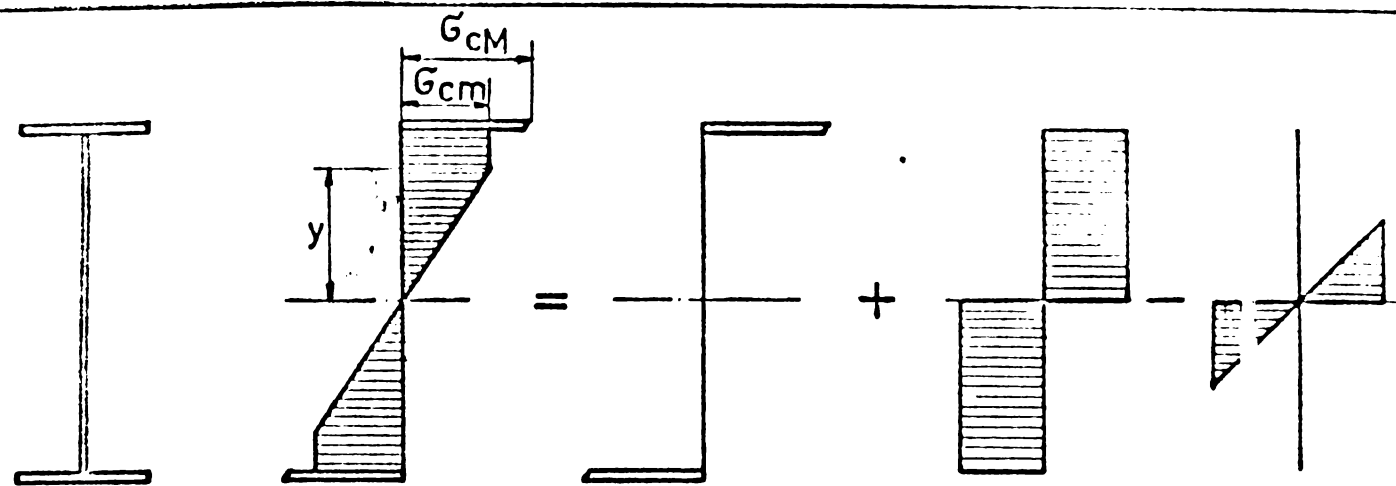
3.3.2. Stadiul 2. Momentul capabil în stadiul 2 a fost determinat de mai mulți cercetători, fie ca valoare exactă, fie făcindu-se unele aproximății urmărindu-se obținerea unor relații mai simple.

a. Relația exactă; stabilirea relației se face pe diagramele din fig.3.6.

$$\text{dor } \frac{\frac{h}{2}}{y} = \frac{\sigma_{cm}}{\rho_{cm}} ; \text{ de unde: } y = \frac{h}{2} \frac{\sigma_{cm}}{\rho_{cm}} = \frac{h}{2} \alpha$$

Folosind-o în expresia lui M obținem:

$$M = \sigma_{cm} \left(\frac{2 \cdot I_t}{h} + \alpha \cdot W_{pln} - g \frac{h^2}{T^2} \alpha^3 \right) \quad \text{sau}$$



$$M = \frac{I_t}{\frac{h}{2}} \cdot G_{cm} + w_{pin} G_{cm} - \frac{1}{2} y G_{cm} d \cdot \frac{2}{3} y$$

Fig 3.6

$$H = G_{CM} \times \left[w_p t + \alpha(w_{pin} - \frac{-E_1^2}{12} - \alpha^2) \right] \quad (7.1)$$

La Révolution américaine (Expressio lui Richard Johnson
qui John Azor). [31]

Relația are la bază simplificarea și cauză se na-
ză proximațieă tălpiei (t) în raport cu finalitatea totală a principiului.
Exprimarea adimensională rezultă prin raportarea la o unitate cu
dimensiuni identice fără omogenitate fig.3.7.

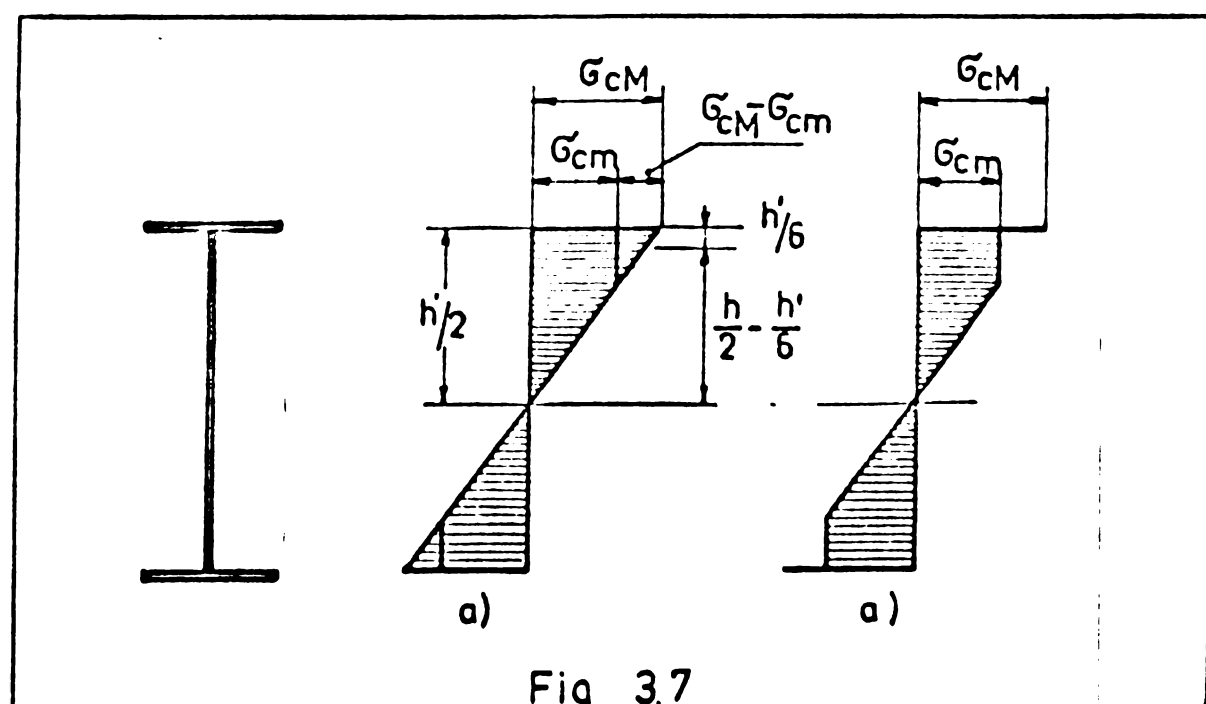


Fig 3.7

Diagramele limită STADIUL II

- a) cazul unei grinzi simple
- b) cazul unei grinzi hibride

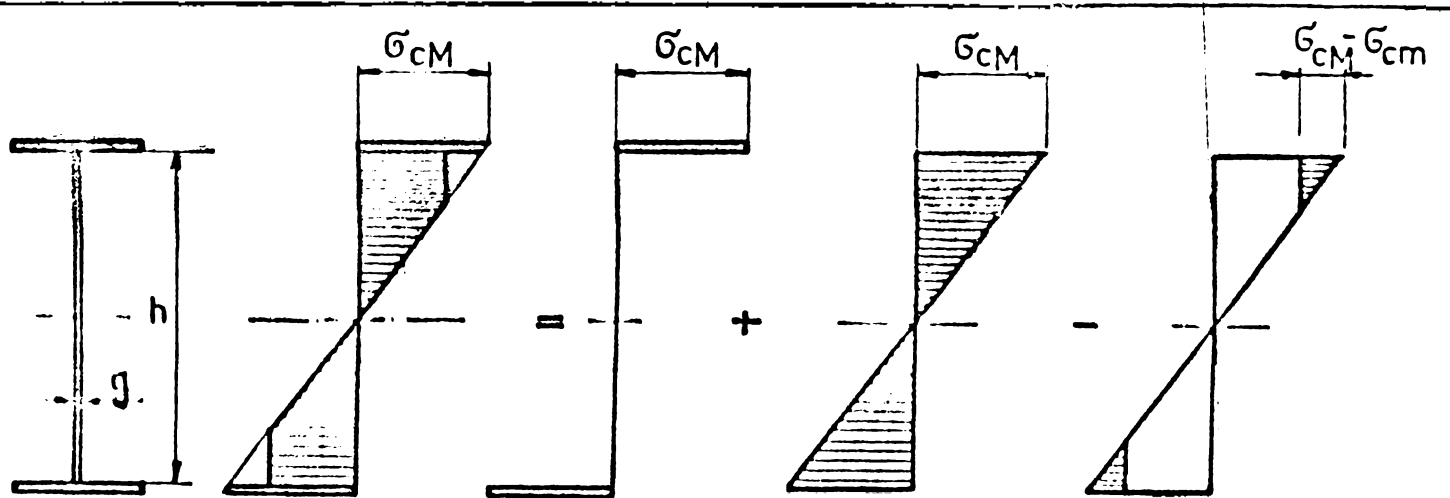
Folosind notațiile:

A_i - aria inimii

A_t - aria celor două tălpi

$$\beta = \frac{A_i}{A_t} = \frac{2A_i}{A_t}$$

Exprimăm valoarea momentului interior pentru grinda hibridă, după diagramele din fig. 3.8.



$$M = G_{CM} \frac{A_t}{2} \cdot h + \frac{1}{2} G_{CM} \frac{A_i}{2} \cdot \frac{2h}{3} - \frac{1}{2} (G_{CM} - G_{CM}) \frac{A_i}{2} \cdot \frac{h}{2} \left(\frac{h}{2} - \frac{h}{6} \right)^2$$

Fig 3.8

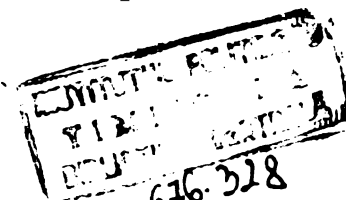
$$M = G_{CM} \cdot \frac{A_t}{2} \cdot h + G_{CM} \beta \cdot \frac{A_t}{4} \cdot \frac{h}{3} - (G_{CM} - G_{CM}) \frac{1}{2} \frac{A_i}{2} \frac{h'}{h} \left(\frac{h}{2} - \frac{h'}{h} \cdot \frac{h}{6} \right)$$

$$M = G_{CM} \frac{A_t}{2} \cdot h + G_{CM} \beta \frac{A_t}{12} \cdot h - G_{CM}(1-\alpha)^2 \frac{\beta}{4} A_t \frac{h}{2} \left[1 - (1-\alpha) \frac{1}{3} \right]$$

$$M = G_{CM} \frac{A_t \cdot h}{24} \left\{ 12 + 2\beta - \beta(1-\alpha)^2 [3 - (1-\alpha)] \right\}$$

$$M = \frac{G_{CM} \cdot A_t \cdot h}{24}, [12 + \beta(3\alpha - \alpha^3)] \quad (3.10)$$

Scrierea expresiei lui M_0 pentru o grindă omogenă alcătuitură din ojel superior (G_{CM}).



$$M_o = \bar{\sigma}_{CM} \cdot \frac{A_t}{2} \cdot h + \frac{1}{2} \bar{\sigma}_{CM} \cdot \frac{A_i}{2} \cdot \frac{2h}{3} = \frac{\bar{\sigma}_{CM}}{12} \cdot A_t \cdot h (6 + 2 \cdot \frac{A_i}{A_t})$$

punind :

$$\frac{2A_i}{A_t} = \beta$$

$$M_o = \frac{\bar{\sigma}_{CM}}{12} \cdot A_t \cdot h (6 + \beta) \quad (3.11)$$

Facem reportul celor două expresii:

$$\frac{M}{M_o} = \frac{12 + \beta(3\alpha - \alpha^3)}{12 + 2\beta} \quad \text{sau}$$

$$M = M_o \frac{12 + \beta(3\alpha - \alpha^3)}{12 + 2\beta} \quad (3.12)$$

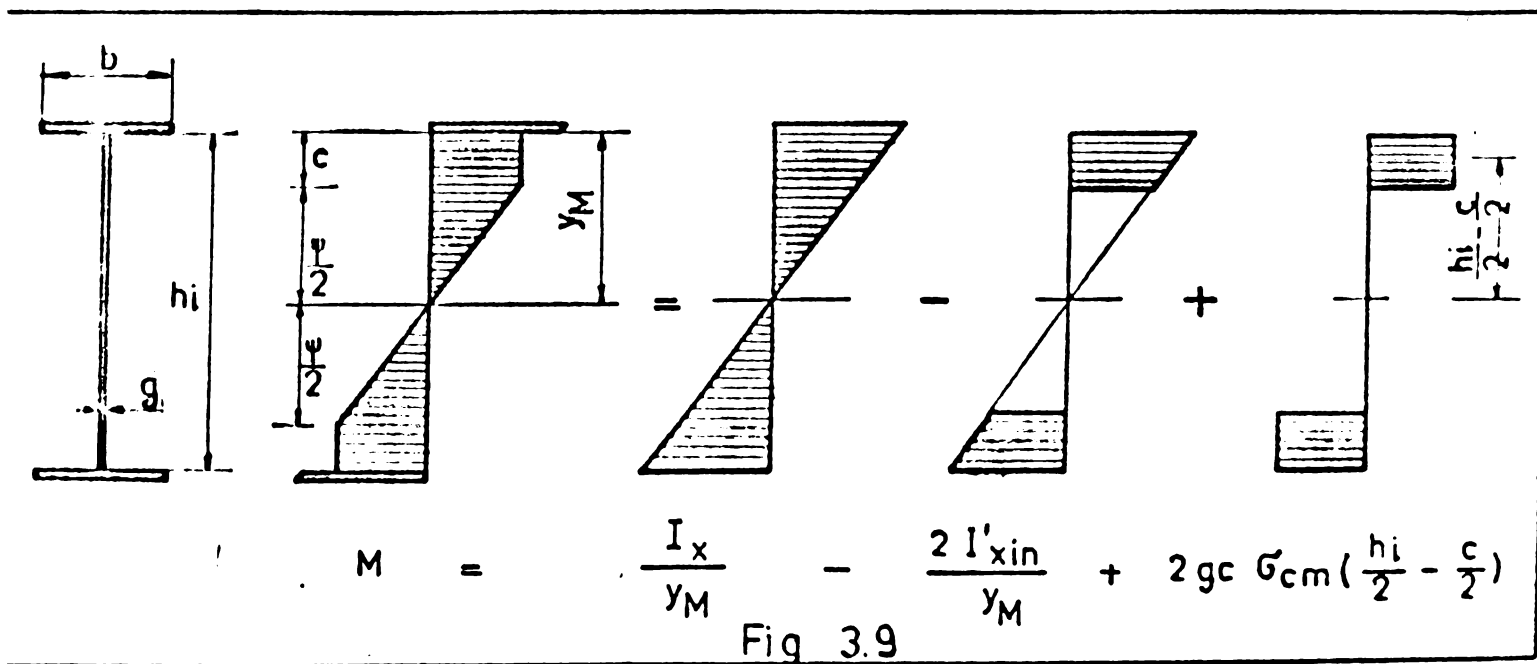
c. Relația propusă de colectivul I.C.București [43]

Folosind diagramele din fig.3.9 precum și notatiile:

$$\alpha = \frac{\bar{\sigma}_{CM}}{\bar{\sigma}_{CM}} ; \quad I'_{xin} = \frac{gc^3}{12} + gc \left(\frac{h_i}{2} - \frac{c}{2} \right)^2$$

$$S'_{xin} = gc \left(\frac{h_i}{2} - \frac{c}{2} \right)$$

Expresia momentului se scrie:



$$M = \left(\frac{I_x}{y_M} - \frac{2 I'_{xin}}{y_M} + 2 \alpha S'_{xin} \right) \bar{\sigma}_{CM} \quad (3.13)$$

Făcindu-se în continuare următoarele simplificări conform fig.3.10.

$$h_i = h ; \quad \alpha = \frac{\sigma_{cm}}{\sigma_{cm}} ; \quad \beta = \frac{2A_t}{A_i}$$

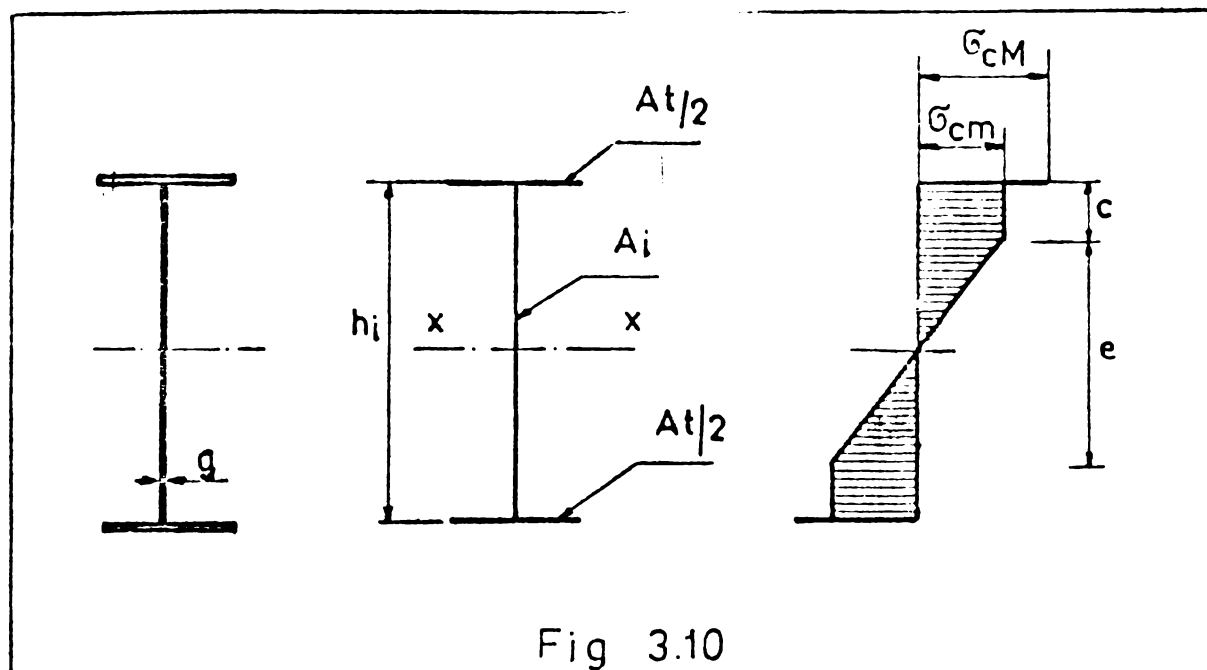


Fig 3.10

Cu aceste notări obținem:

$$w_x = \frac{I_x}{h} \cdot 2 = \frac{1+3\beta}{6} gh^2$$

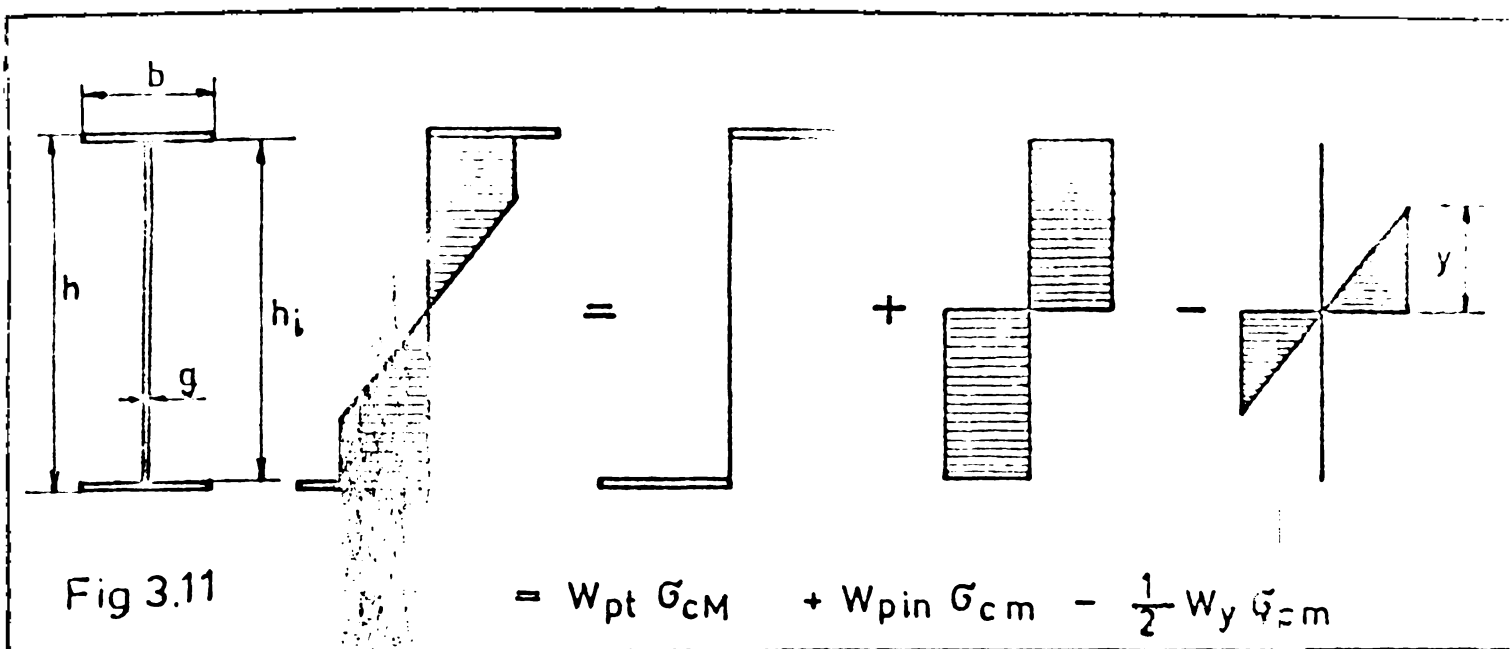
Din osomănarea triunghiurilor formate scriem :

$$\frac{c}{\frac{h}{2}} = \frac{\sigma_{cm} - \sigma_{cm}}{\sigma_{cm}} ; \quad c = (1-\alpha) \frac{h}{2} ; \quad \frac{e}{h} = \frac{\sigma_{cm}}{\sigma_{cm}} ; \quad e = \alpha h$$

Exprimăm valoarea lui M

$$\begin{aligned}
 M &= w_x \cdot \sigma_{cm} - c \alpha \left(\frac{e}{3} + \frac{2}{3} c \right) (\sigma_{cm} - \sigma_{cm}) = \\
 &= w_x \sigma_{cm} \left[1 - \frac{(1-\alpha)^2}{w_x} \cdot \frac{h}{2} \cdot \alpha \frac{3e+4c}{6} \right] = \\
 &= w_x \sigma_{cm} \left\{ 1 - \frac{(1-\alpha)^2}{\frac{1+3\beta}{6} \cdot 2gh} \cdot \frac{hg}{6} \left[3\alpha h + 4(1-\alpha) \frac{h}{2} \right] \right\} \\
 M &= \frac{1+3\beta}{6} \left[1 - \frac{(1-\alpha)^2(2+\alpha)}{2(1+3\beta)} \right] gh^2 \cdot \sigma_{cm} \tag{3.14}
 \end{aligned}$$

3.3.3. Stadiul 3. Se va exprima M pentru stadiul 3 limită cînd curgerea s-a extins complet asupra tălpilor [17]



unde:

$$w_{pt} = \frac{b h^2}{4} - \frac{b h_i^2}{4} = \frac{b}{4} (h^2 - h_i^2) = \frac{A_t}{2} (h-t) - \frac{A_i}{2} (h_i+t)$$

$$w_{pin} = \frac{gh_i^2}{4} ; \quad w_y = (2y)^2 \cdot \frac{g}{6}$$

$$M = G_{CM} (w_{pt} + w_{pin} - \frac{1}{2} \alpha w_y)$$

$$M = G_{CM} [w_{pt} + \alpha (w_{pin} - \frac{1}{2} w_y)] \quad (3.15)$$

Din asemănarea triunghiurilor rezultă:

$$\frac{y}{h_i} = \frac{G_{cm}}{G_{CM}} ; \quad y = \frac{h_i}{2} \alpha$$

$$M = G_{CM} \left\{ w_{pt} + \alpha \left[\frac{gh_i^2}{4} - \frac{1}{2} \frac{(h_i \cdot \alpha)^2}{6} \cdot g \right] \right\}$$

$$M = G_{CM} \left\{ \frac{A_t}{2} (h_i + t) + \alpha \left(\frac{gh_i}{4} - \frac{1}{12} h_i^2 \alpha^2 \right) \right\}$$

$$M = G_{CM} \left[\frac{A_t}{2} (h_i + t) + \frac{A_i \cdot \alpha \cdot h_i}{12} (1 - 3\alpha^2) \right]$$

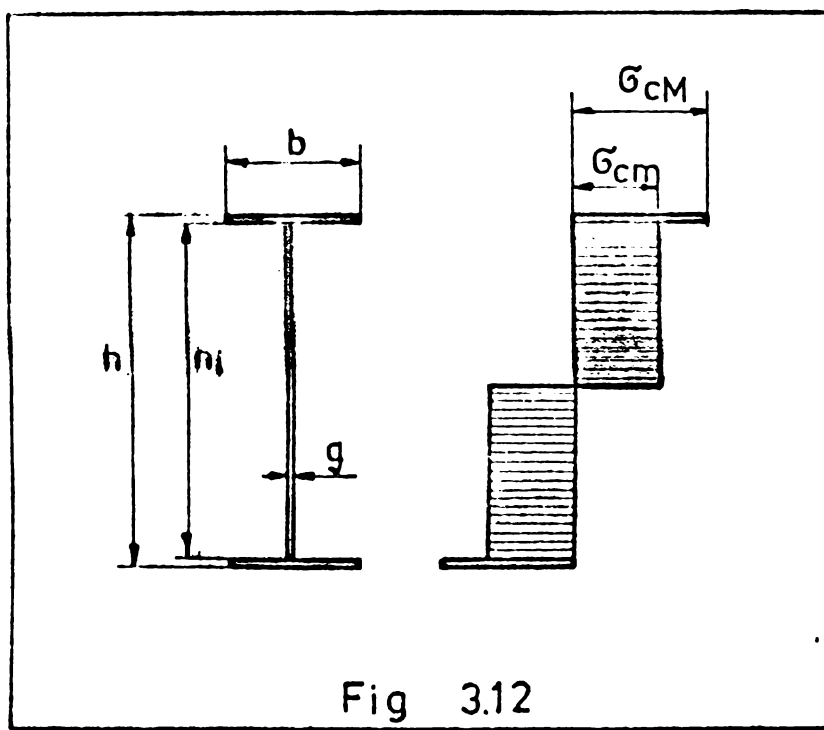
Folosim notațiile:

$$A_i = \frac{\beta A_t}{2} ; \quad \gamma = \frac{t}{h_i}$$

$$M = \sigma_{CM} \left[\frac{A_t}{2} (h_i + t) + \frac{\beta A_t}{24} \cdot \alpha h_i (1 - 3\alpha^2) \right]$$

$$M = \frac{\sigma_{CM} \cdot A_t}{2} \cdot h_i \left[12(1+\gamma) + \beta(\alpha - 3\alpha^3) \right] \quad (3.16)$$

3.3.4. Stadiul 4. Se va calcula momentul plastic total al unei secțiuni simetrice I hibride conform diagramei din fig.3.12.



$$M = W_{pt} \sigma_{CM} + W_{pin} \sigma_c$$

unde:

$$W_{pt} = \frac{A_t}{2} (h-t) = \frac{bt}{2} (h-t)$$

$$W_{pin} = \frac{h_i^2 \gamma}{4} = \frac{A_i \cdot \gamma}{4} \cdot h_i =$$

$$= \frac{A_i \cdot \gamma}{4} (h-2t)$$

a). Exprimat în dimensiunile secțiunii:

$$M = \frac{b \cdot t}{2} (h-t) \sigma_{CM} + \frac{h-2t}{4} \sigma_c$$

$$M = \sigma_{CM} \left[\frac{bt}{2} (h-t) + \alpha \frac{(h-2t)^2}{4} \right] \quad (3.17)$$

b). Exprimat în arii:

$$M = \sigma_{CM} \left[\frac{A_t}{2} (h-t) + \alpha \beta A_t \frac{h-2t}{8} \right] \quad (3.18)$$

$$\text{Folosind relația: } A_i = \frac{\beta A_t}{2}$$

$$M = \frac{\sigma_{CM} \cdot A_t h}{8} \left[4(1 - \frac{t}{h}) + \alpha \beta (1 - \frac{2t}{h}) \right] \quad (3.19)$$

$$\text{Cu } \gamma_1 = \frac{t}{h}$$

$$M = \frac{\sigma_{CM} \cdot A_t h}{8} \left[4(1 - \gamma_1) + \alpha \beta (1 - 2\gamma_1) \right] \quad (3.20)$$

pentru $h \gg t$ adică pentru grinzi foarte înalte γ_1 devine foarte mic în comparație cu 1. Se poate scrie cu aproximare:

$$M = \frac{\sigma_{cm} \cdot A_t \cdot h}{8} [4 + \alpha \beta] \quad (3.1)$$

3.3.5. STADIUL - Deformații plastice limitate. "ε_{pl}"

Se știe că deformațiile plastice sunt însotite de modificările caracteristicelor mecanice ale oțelului și anume: ridicarea limitei de curgere și scăderea proprietăților de deformare lăsată.

Pentru a păstra calitățile plastice ale oțelului la limite, se introduce o nouă definire a stării limite a oțelului hibrid, punând condiția ca în fibra cea mai solicitată (superioară), deformația să se înscrie în o limită denumită "ε_{pl}". Drept exemplificare se poate arăta că la o deformare de 2% oțelul carbon și reduce calitățile sale plastice cu numai 10% - această reducere a plasticității se accentiază rapid în zona "consolidării oțelului".

Pornind de la această definire a stării limite vom determina M_{ε_{pl}}, momentul corespunzător deformației plastice ε_{pl}.

In prealabil se determină înălțimea simburelui elastic cind în fibra extensă a oțelului deformația plastică atinge valoarea "ε_{pl}" fig.3.13.

Deformațiile dezvoltindu-se linear dinspre axa neutră spre fibra exterioară, se determină nivelul "y" unde se atinge ε_{cr} - deformația corespunzătoare începutului curgerii oțelului inferior, din inimă, conform legii lui Hooke $\epsilon_{cm} = \frac{\sigma_{cm}}{E}$

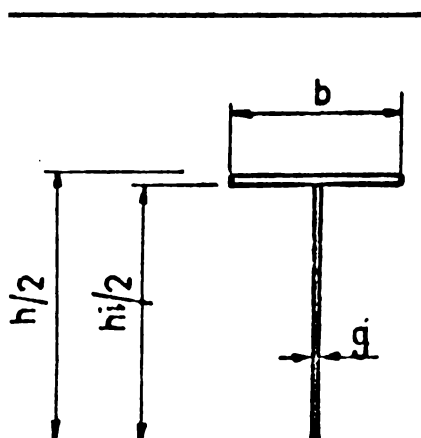


Fig 3.13

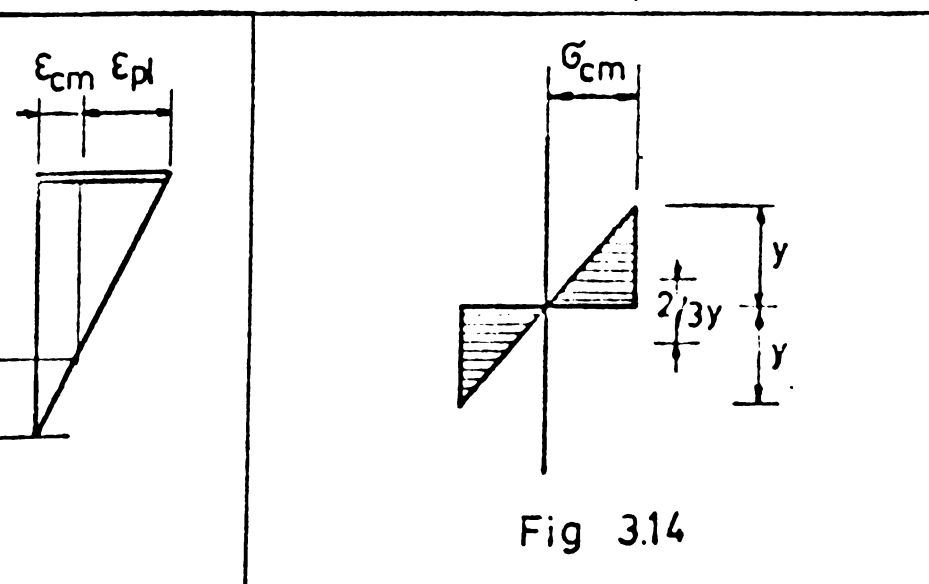


Fig 3.14

Conform ipotezei lui Bernoulli - deformațiile se dezvoltă linear și în zona plastică ajungind la nivelul fibrei superioare a inimii adică la nivelul:

$$\frac{h - 2t}{2} = \frac{h_i}{2}; \text{ la valoare } \varepsilon_{pl}$$

Din asemănarea a două triunghiuri deducem:

$$\frac{y}{\frac{h_i}{2}} = \frac{\frac{\sigma_{cm}}{E}}{\frac{\sigma_{cm}}{E} + \varepsilon_{pl}}; \text{ de unde: } y = \frac{h_i}{2} \cdot \frac{\frac{\sigma_{cm}}{E}}{\frac{\sigma_{cm}}{E} + E \cdot \varepsilon_{pl}}$$

Odată "y" stabilit, determinarea momentului M se reduce la aplicarea relației în "stadiul 3" iar valoarea lui w_y se poate deține cu ajutorul fig. 3.14.

$$M = \sigma_{cm} [w_{pt} + \alpha (w_{pin} - \frac{1}{2} w_y)] \quad (3.22)$$

EXEMPLU: Se va studia cazul unei forme și plastice $\varepsilon_{pl}=2\%$ la o grindă hibridă a cărei inimă este din OL și su $\sigma_{cm}=2400 \text{ daN/cm}^2$.

$$y = \frac{h_i}{2} \cdot \frac{2400}{2400 + 2.100.000 \times 0,02} = 0,27 \text{ m} \quad (3.23)$$

deci mai bine de jumătate de inimă rămâne elastică.

In continuare vom calcula valoarea M într-o stare de deformare definită mai sus, arătându-se că este și foarte puțin de valoarea totală a momentului plastic - calculat în stadiul 4 limită.

Pentru simplitate raportăm reducerea momentului plastic prin existența simburelui elastic de înălțimea "2y" față de momentul plastic total al inimii.

Reducerea momentului plastic datorită simburelui elastic va fi conform, Fig.3.15.

$$M' = \frac{1}{2} \sigma_{cm} \cdot y \cdot g \cdot \frac{2}{3} y = \frac{1}{2} \cdot \frac{g(2y)^2}{6} \sigma_{cm} \quad (3.24)$$

$$M' = \frac{1}{2} w_y \cdot \sigma_{cm}$$

$$\text{unde: } w_y = \frac{g \cdot (2y)^2}{6} \quad - \text{modulul de rezistență al simburelui elastic.}$$

$$M_{pin} = \frac{gh_i^2}{4} \sigma_{cm};$$

Inlocuind cu expresia lui M' (3.24) valoarea lui y (3.23) obținem:

$$M' = \frac{1}{2} \frac{g}{6} \cdot (2y)^2 \sigma_{cm} = \frac{g}{12} (0,54 h_i)^2 \sigma_{cm}$$

Reportăm valorile $\frac{M}{M_{pl}}$, σ_i și σ_{CM}

$$\frac{M}{M_{pl}} \cdot 100 = \frac{\frac{I_0}{S_i^2} \cdot \sigma_i}{\frac{4}{3} \cdot \sigma_{CM}} \quad (3.25)$$

Exemplul demonstrează că existența unui simbure elastic central, binevenit pentru comportarea grinzi, aduce scăderi ne-ignabile din valoarea momentului plastic total.

3.3.6. Propunerea lui Basler

Pentru simplificarea calculului, Basler propune asimilarea unei grinzi hibride, cu o jumătate omogenă, introducind o ponderare a grinzi. Astfel putem trece la o grindă omogenă din oțel superior făcând ponderarea:

$$g^* = g \cdot \frac{I}{I_{CM}} = g \cdot d \quad (3.26)$$

Cu această grosime ponderată g^* putem urmări valoile momentelor – și împlindu-se cu grinzi omogene.

Astfel pentru o grindă I dublu simetrică valoarea momentului plastic total este:

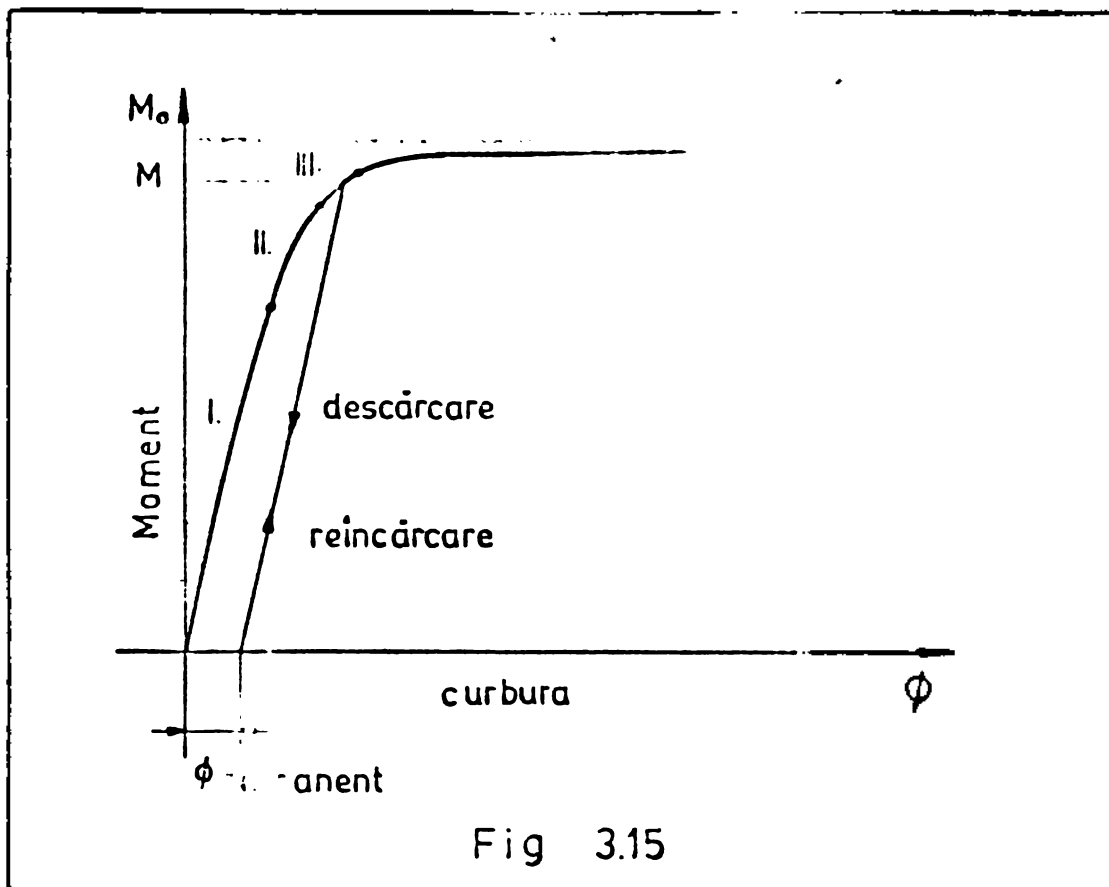
$$M_o = \left[bt \cdot \frac{h-t}{2} + \frac{(h-t)^2}{4} g^* \right] \sigma_{CM} \quad (3.27)$$

Acumătoare, sarcina tăietoare de plasticitate în inimii se va determina cu relația:

$$T_o = \tau_{CM} h_i g^* \quad (3.28)$$

3.3.7. Comportarea grinziilor hibride sub acțiuni de senz contrar

Comportarea grinziilor hibride în timpul incărcarii și de-descarcării este arătată în fig.2.3. Având o comportare elastică la descărcare, reprezentată printr-o dreaptă paralelă la dreapta de încărcare din studiu 1, rezultă că la descărcare dintr-un punct situat deasupra domeniului elastic, vor rezulta deformații reziduale, de exemplu curburi remanente δ_p - fig.3.15.



Apariția deformațiilor reziduale, ceea ce să și eforturi reziduale, mecanismul formării lor fiind prezentat în fig. 3.16. Cele două deformații fiind de sens contrar, și eforturile ce le îngrejește vor fi de sensuri contrare. Acestea pot determina ușor mărimile și sensul acestor eforturi prin diferența eforturilor la nivelul fibrei dorite.

Spre exemplu în stadiul II limită la scurgereea limitei de curgere σ_{CM} = exprimăm valoarea momentului conform relației:

$$M_{inc} = \frac{2I_t}{h} \sigma_{cm} + w_{pin} \sigma_{cm} = \frac{4h^2}{12} \cdot \frac{\sigma_{cm}^3}{Q_{cm}}$$

Momentul de descărcare se determină la grindă elastică.

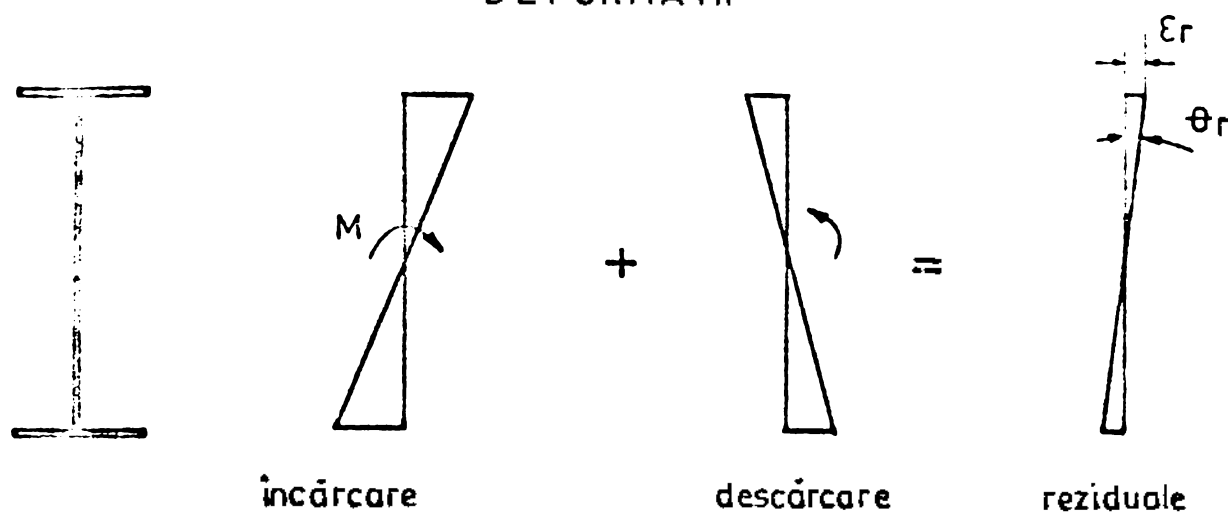
$$M_{desc} = \sigma_1 \cdot \frac{I}{y_1}$$

Din egalitatea celor două momente $M_{inc} = M_{desc}$, deducem:

$$\sigma_1 = M_{inc} \cdot \frac{y_1}{I} \quad (3.29)$$

înălțimea reziduală va fi: $\sigma_r = \sigma_{cm} - \sigma_1 \quad (3.30)$

- DEFORMATII -



- EFORTURI -

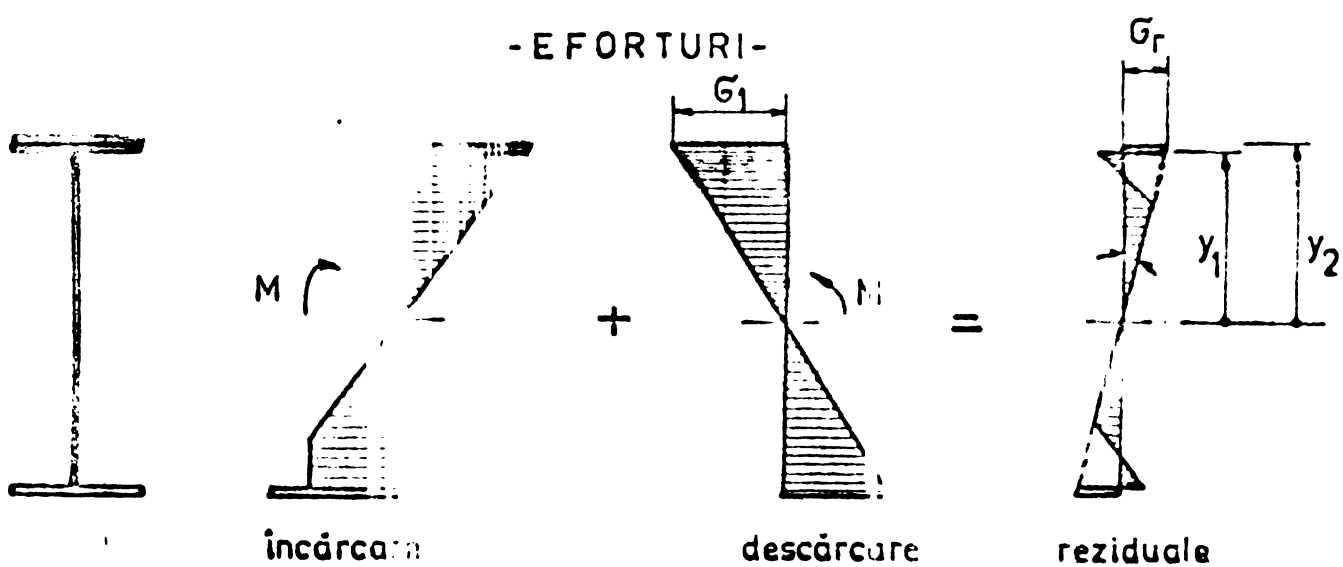


Fig 3.16

$M_o > 2 M_e$, comportarea inelastică nu poate apărea niciodată, deoarece momentul de descărcare M_d , nu poate depăși momentul plastic fig.3.18.

Identic se determină efortul rezidual la alt nivel; de exemplu la nivelul fibrei extreme a inimii (la nivelul \dot{z}_2).

Trebuie să tragem diagramele finale se face folosindu-se și de variația liniară a eforturilor pe secțiune; vede linia punctată în fig.3.16.

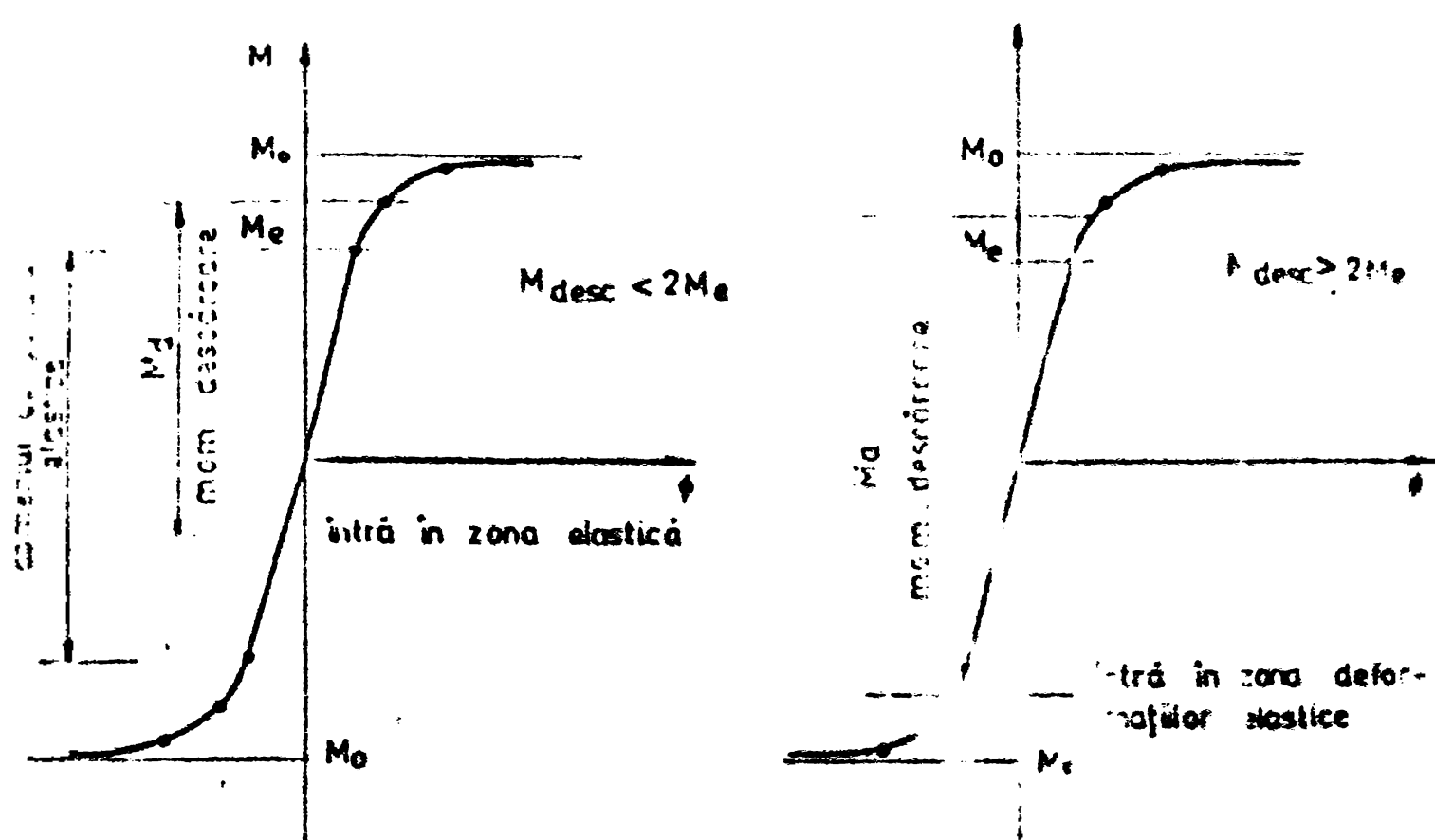


Fig. 3.17

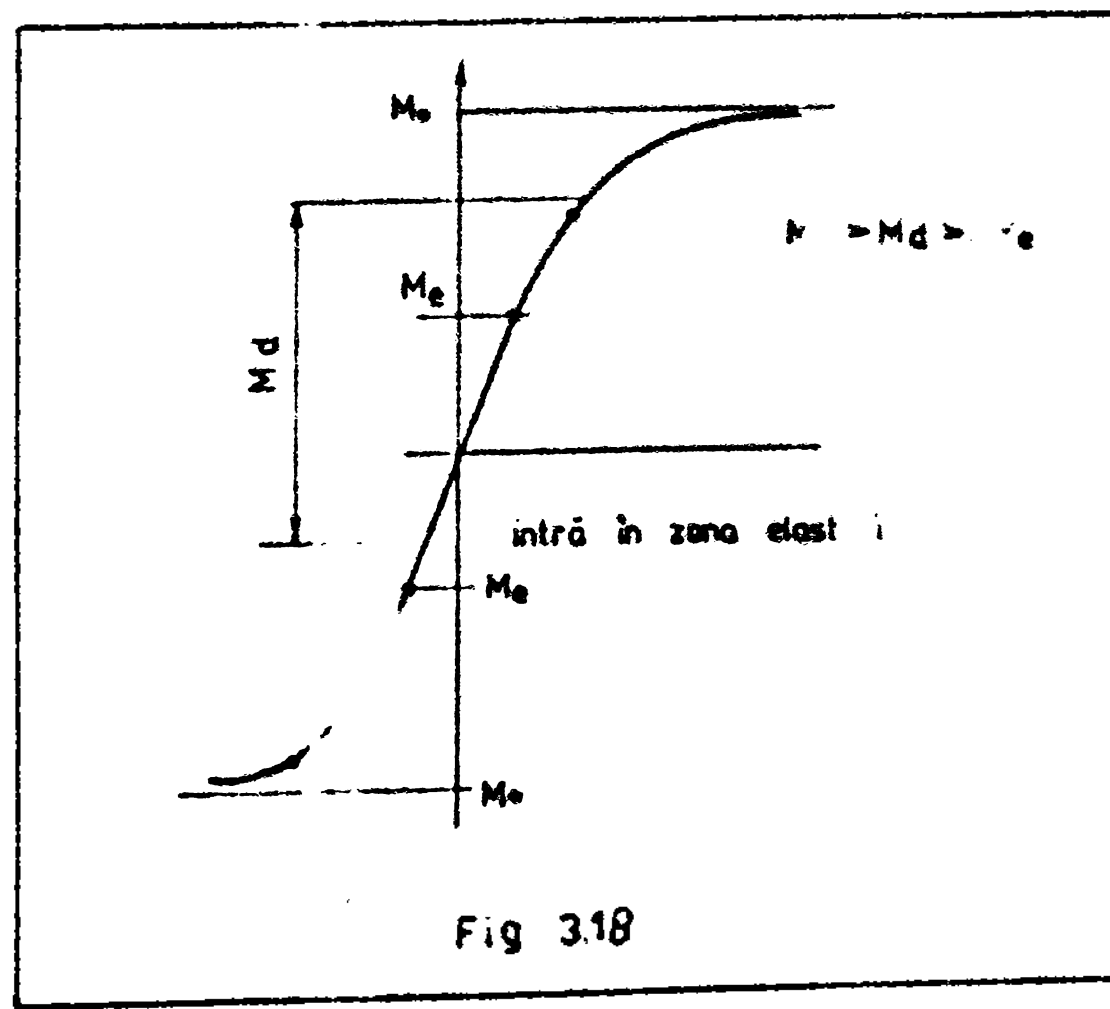


Fig. 3.18

Se constată că efortul rezidual își schimbă sensul și semnul. În final pe întreaga secțiune, momentul eforturilor interioare trebuie să fie nul, adică:

$$\sum_A G_i \cdot y_i = 0 ; \text{ deoarece } M_{\text{ext}} = 0$$

În reîncărcare, eforturile finale în secțiune vor rezulta în însumarea eforturilor reziduale cu cele care sunt din nou; în acestă din urmă situație, suma eforturilor reziduale, cu care se aplică la reîncărcare va avea o distribuție identică cu distribuția inițială.

Prin urmare, la toate ciclurile de încărcări și dezechilibre ulterioare, la care momentul inițial rămâne nepăsat, grinda se comportă elastic, exceptând următoarea situație: dacă se neglijeză efectul Bauschinger, comportarea inelasică va apărea la dezechilibre, numai dacă momentul de dezechilibru depășește dublul momentului elastic M_e (definit drept momentul limită cînd în unul din punctele secțiunii apare curgerea) vedi fig. 3.17.

Pentru grinzi hibride cu $K = \frac{G}{G_m}$ și deci $M_o > M_e$, comportarea inelasică nu poate apărea niciodată, deoarece momentul de dezechilibru M_d , nu poate depăși momentul plastic (fig. 3.18). Diferența în comportarea grinzelor hibride comparativ cu cele omogene în sarcinări repetate este în general mică. În timp ce la grinziile omogene apar deformări plastice la stîrpele curgerii de fibră în tălpi, la grinzelor hibride acestea apar la un moment mai mic, și în consecință curgerea apare mai întîi în fibrele extreme ale îninii. Experimental se observă că curbura reziduală este relativ mică, ea concentrîndu-se în zona momentelor maxime.

Curbele $M-\phi$ îmbinătoarele tipuri de grinzi hibride și omogene, deviază de la cele elastice, datorită faptului că în ambele grinzi se nasc eforturi și deformatii permanente apărute în timpul confecționării lor.

CAPITOLUL 4

COMPORTAREA GRINZILOR HIBRIDE LA INCĂRCARE CU TAIERE; RELATII DE INTERACTIUNE

4.1. GENERALITATI. Problema comportării grinzelor hibride cu înină plină la secțiunea simultană a încovoierii cu tăiere implică în prealabil anumite precizări.

Prima problema este adoptarea criteriului de curgere.

Majoritatea cercetătorilor acceptă pentru oțel drept criteriul de curgere, cel al lui Euler-Mises-Locky(Horne, Reckling, Klöppel etc...) (cap.2.6).

$$\sigma_c^2 = \sigma'^2 + 3\tau'^2 ; \tau_c = \frac{\sigma_c}{\sqrt{3}} \quad (4.1)$$

unde τ' , σ' sîn eforturile curent și se împreună conduc la curgere.

Sînt însă și cercetători(N. a.) care acceptă criteriul de plasticizare a lui Tresca

$$\tau_c = \frac{1}{2} \sqrt{\sigma'^2 + 4\tau'^2} = \frac{\sigma_c}{2} \quad (4.2)$$

O altă problemă este distribuția eforturilor pe secțiune:

Afînd în vedere ipotezele fundamentale acceptate în "Capitolul 2" se consideră pentru efortul normal în domeniul elastic o distribuție lineară, iar pentru τ o distribuție parabolică conform relației lui Juravachi fig.4.1 a.

Pentru secțiuni suple, înalte, se acceptă o distribuție constantă a forței tăietoare pe înălțimea secțiunii fig.4.1.b.

Cu creșterea solicitărilor domeniul elastic e depășit, prin începerea plasticizării fibrelor extreme și cu respectarea principiului secțiunilor plane. Cum arată Horne, Prager, prezenta eforturilor de tracere e posibilă numai în vîrstă îmburelui elastic.

Fornind de la diagramile de distribuție acceptate în domeniul elastic. Horne, Reckling, Klöppel acceptă o distribuție parabolică pentru τ în zona îmburelui elastic fig.4.1.c.

Intrucât o distribuție parabolică pe o lățime nu poate fi liniară pentru σ nu conduce la o plasticizare completă a secțiunii și în final rezultă din calcul o capacitate portantă mai mică decît cea reală sau acceptată și alte tipuri de distribuție pentru τ .

O distribuție eliptică fig.4.1e folosită de Heyman, Dutton, Klöppel, conduce la atingerea capacitatii portante de calcul mai apropiate de cea reală.

Similar ca în domeniul elastic, unii cercetători acceptă pentru τ o distribuție constantă pe înălțimea secțiunii elastic, înfgă o distribuție clasică lineară pentru σ fig.4.1f.

Dutton și Heyman propun o simplificare simță căre a schematicelor de distribuție cu scopul obținerii curgerii în toate

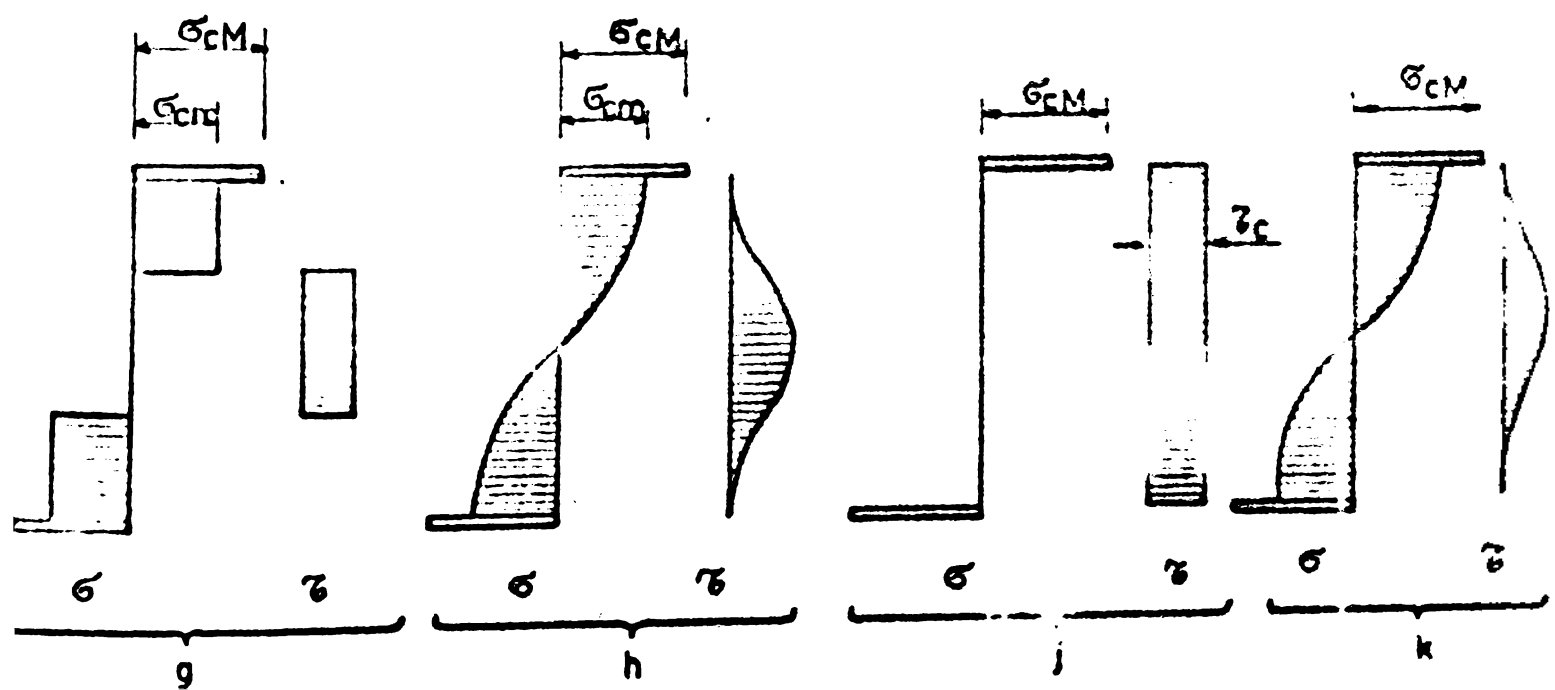
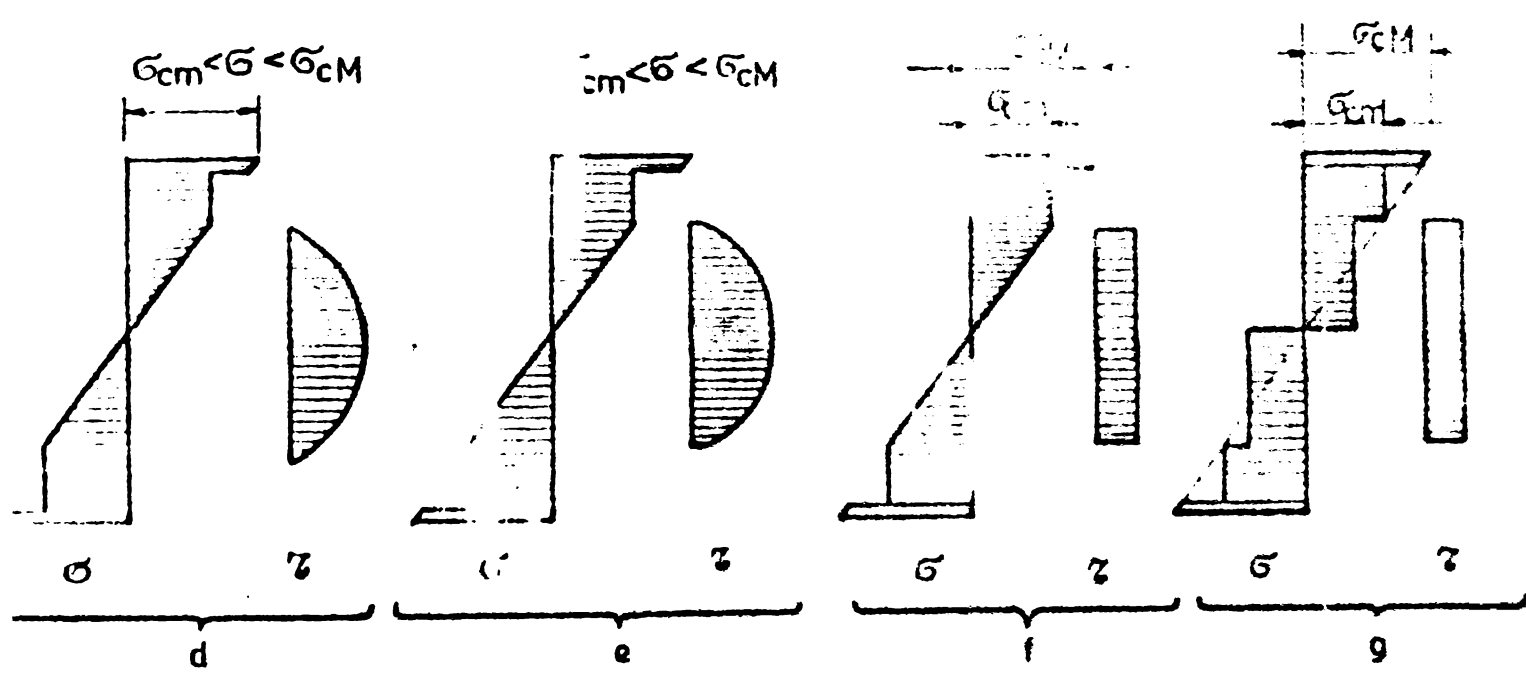
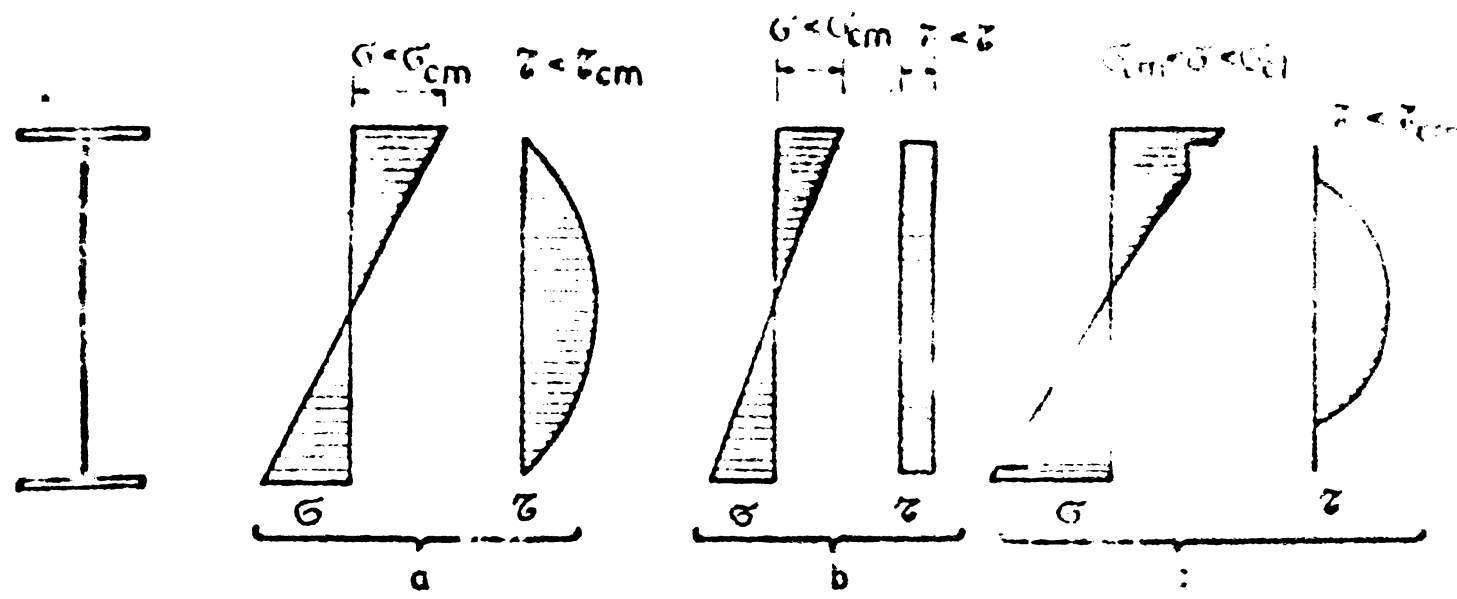


Fig 4.1

fibrele pe secțiune și care totodată conduc la relații de calcul mai simple.

Se propune astfel o distribuție constantă pentru τ pe întreaga sâmburelui elastic, efortul normal σ rezultă prin aplicarea condiției de curgere a lui Huler-Mises fig.4.1.g

$$\sigma_s = \sqrt{\sigma'_c \text{ cm}^2 - 3\tau'^2} \quad (4.3)$$

Pe măsura dezvoltării plasticizării pe secțiune, prin creșterea momentului de încovoiere, zona sâmburelui elastic se reduce. Forța tăietoare se concentrează în zona axei neutre plasticizarea acestei zone făcindu-se în special din acțiunea ei. În acest sens unii cercetători (Frost, Schillinger) acceptă că în zona respectivă efortul normal σ este inexistent și îndeligibil este $\tau = \tau_c$ fig.4.1.h.

Drucker, van Langedock stabilesc o lege de distribuție sinusoidală pentru σ și cosinusoidală pentru τ fig.4.1.i.

S-au propus scheme de distribuție în care tălpile preiau numai momentul iar forța tăietoare este predată inimii fig.4.1.j (Massonet).

În sfîrșit au fost propuse distribuții pentru σ, τ după funcții de ordin superior. (Horne)fig.4.1.k.

Desigur multe din schemele prezentate sunt mai mult sau mai puțin artificiale; nu se respectă principiul secțiunilor plane, după care zonele extreme ale inimii participă întotdeauna la preluarea momentului împreună cu tălpile.

4.2. Relații de interacțiune M', T' ; prezentarea studiilor din literatura tehnică; considerații critice.

Literatura tehnică oferă un bogat material în problema interacțiunii solicitărilor M', T' .

Fiecare cercetător acceptând o anumită distribuție pentru efortul τ - conform celor prezentate în fig.4.. respectând mai mult sau mai puțin legile încovoierii elasto-plastice, folosind un anumit aparat de calcul, exprimă în final capacitatea portantă a secțiunilor sub acțiunea simultană a lui M', T' .

Analizând critic aceste studii se pot observa două concepții privind capacitatea portantă a secțiunilor.

4.2.1. Se definește drept "capacitatea portantă" a secțiunilor, valorile M', T' care conduc la plasticizarea întregii sec-

țiumi. Se urmărește înhibirea reacțiilor de către M'T care să nu se producă în sensul că înțelegerile acestei spărizeri și inimii să fie reacționate de către oameni în ceea ce va produce în final tensiunea socială și urmărirea.

Acestă teorie se bazează pe similitudinea dintre abstracție că cele două societăți sunt similară și că acestea sunt legate de la fel ca și legile ce reglementează urmărirea și urmărirea.

4.2.2. Se constată că o grindă care este actionată de un factor care crește de obicei prețul; în același timp respectarea ipotezei secțiunilor planificării este și în cel plastic. În funcție de raportul solicitărilor și M'T se pot crea situații în care capacitatea de a fi plasticizându-se în ceea ce se simbolizează în cadrul unei secțiuni planificate și preluate de către oameni.

In realitate grinda nu mai poate prelua în cadrul unei secțiuni planificate și preluate de către oameni. În cadrul unei secțiuni planificate și preluate de către oameni.

In concluzie se creiază o nouă concepție privind capacitatea portantă a societății, prin atingerea capacitatii unei secțiuni planificate și preluate de către oameni.

Mai jos sunt prezentate studii caracteristice celor două concepții asupra capacitatii portante a secțiunilor planificate și preluate de către oameni.

4.3. Relații de interacțiune M'T, în cadrul unei secțiuni planificate și preluate de către oameni.

4.3.1. Relație de interacțiune M'T cu o distribuție constantă de eforturi împărțite pe întregimea cadrului social. Această relație adimensională după Richard C. Henley și James A. [28].

Se acceptă ipoteza de distribuție conform fig.4.1 (Z. Hayman).

Calcularul se conduce după diagrame din fig.4.2; Se face o simplificare liniară.

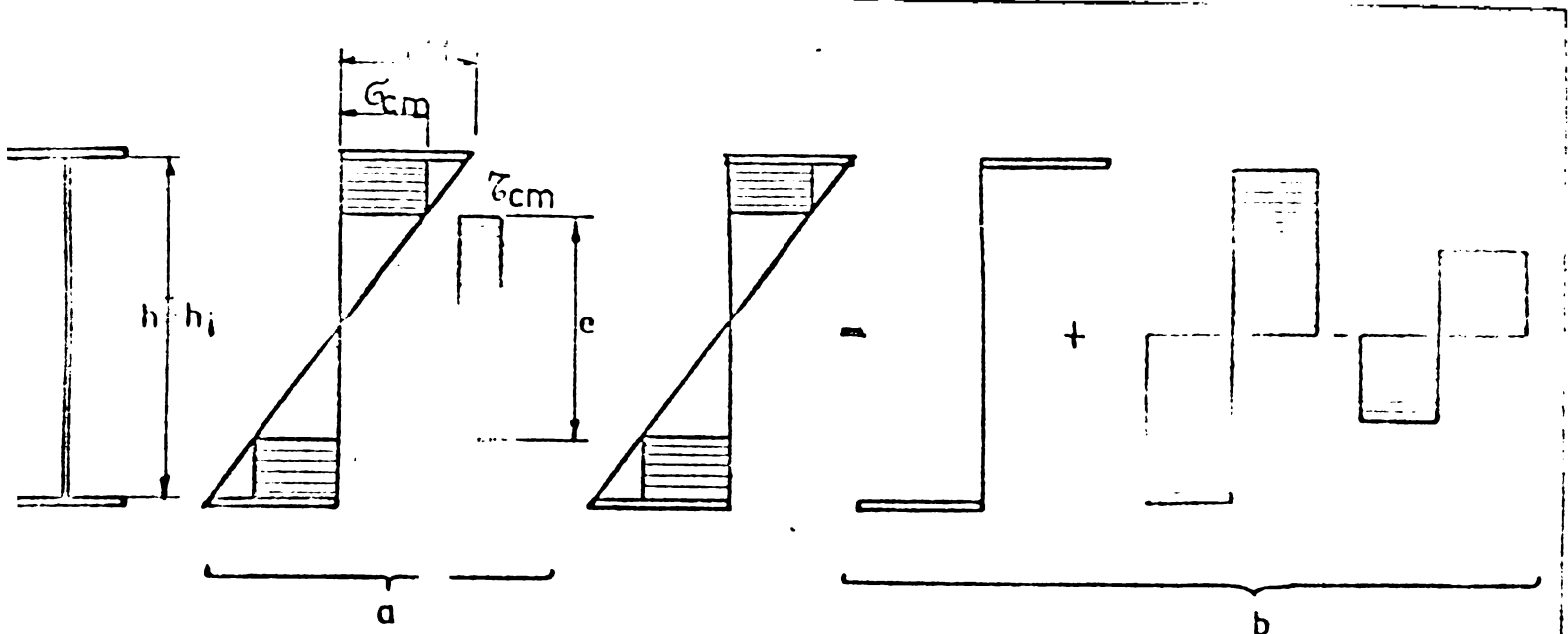


Fig 4.2

$$M' = \sigma_{CM} \frac{A_t}{2} h + \frac{gh^2}{4} \sigma_{CM} - \frac{ge^2}{4} \sigma_{CM}$$

a) Diagramele M' , T'

b) Descompunerea diagramei M' pentru calcul

$$\text{Notam: } T' = gq \frac{h^2}{\sqrt{3}} ; \quad T_0 = gh \frac{\sigma_{CM}}{\sqrt{3}} ; \quad \frac{T'}{T_0} = \frac{e}{h}$$

Inlocuind în expresia momentului (4.4)

$$M' = \sigma_{CM} \frac{A_t}{2} h + \frac{gh^2}{4} \left(1 - \frac{T_0^2}{T'^2}\right) \sigma_{CM}$$

Folosind relația $A_i = \frac{\beta A_t}{2}$ și $\frac{\sigma_{CM}}{\sigma_{CM}} = \alpha$ obținem:

$$M' = \frac{A_t}{2} \cdot h \left[\dots + \frac{\beta \alpha}{4} \left(1 - \frac{T_0^2}{T'^2}\right) \right] \sigma_{CM}$$

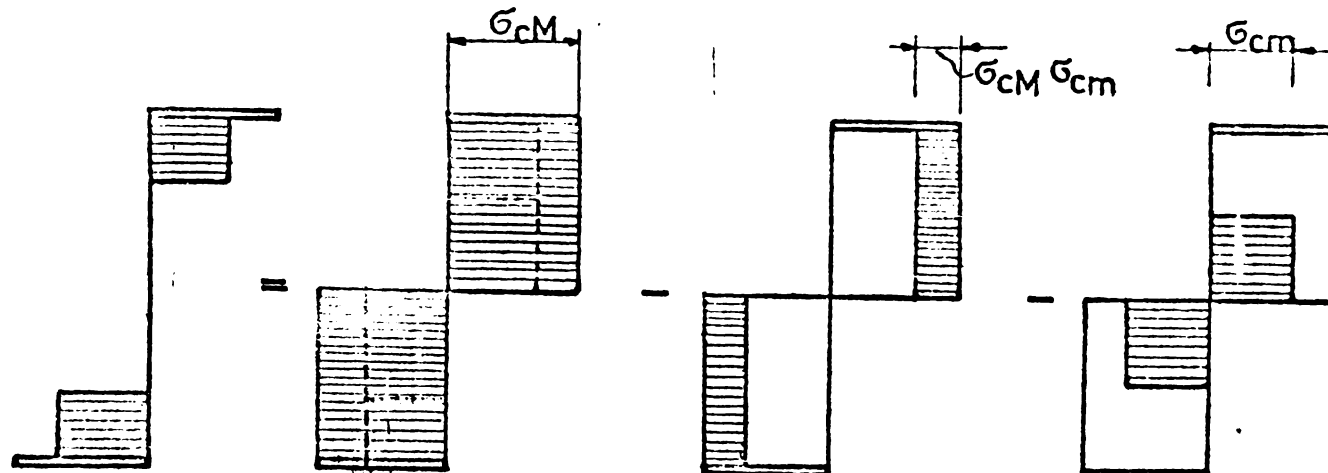
Raportăm la M_0

$$M_0 = \sigma_{CM} \frac{A_t}{2} h + \frac{gh^2}{4} \sigma_{CM} = \frac{A_t}{2} h \left(\frac{4 + \beta \alpha}{4} \right) \sigma_{CM} \quad (4.5)$$

obținem:

$$\frac{M'}{M_0} = \frac{4}{4 + \beta \alpha} \left[1 + \frac{\beta \alpha}{4} \left(1 - \frac{T_0^2}{T'^2}\right) \right] \quad (4.6)$$

Un calcul exact în aceeași ipoteză de calcul se poate conduce după schema de descompunere a diagramelor de eforturi din fig.4.3.



$$M' = W_p \cdot \sigma_{CM} - \frac{g h_i^2}{4} (\sigma_{CM} - \sigma_{cm}) - \frac{ge^2}{4} \sigma_{cm}$$

Fig 4.3

$$M' = W_p \sigma_{CM} - \frac{gh_i^2}{4} \left(1 - \alpha + \alpha \frac{e^2}{h^2} \right) \sigma_{cm}$$

Inlocuind: $\frac{T'}{\sigma}$ obținem

$$M' = W_p \cdot \sigma_{CM} - \frac{e^2}{4} \left[1 - \left(1 - \frac{T'^2}{T_0^2} \alpha \right) \right] \sigma_{cm} \quad (4.8)$$

Din cufie la limită: pentru $T' = 0$; $M = W_p \sigma_{CM} - \frac{gh_i^2}{4} (1 - \alpha) \sigma_{cm}$ (4.9)

pentru $T' = T_0$; $M = W_p \sigma_{CM} - \frac{gh_i^2}{4} \sigma_{cm}$ (4.10)

Transpunând într-un sistem de axe de coordonate $\frac{M'}{M_0}$, $\frac{T'}{T_0}$ relația 4.6. obținem diagrama din fig.4.4.

4.3.2. Relația de interacțiune $M'T'$, cu distribuție constantă a efortului de tăiere pe întreaga înălțime inimii, conform ipotezei lui Dutton-Heyman - varianta din fig.4.1j.

Se consideră tăpile complet plasticizate de moment, iar în inima eforturile σ' și τ' legate prin relația:

$$\sqrt{\sigma'^2 + 3\tau'^2} = \sigma_{cm}$$

Calculul se conduce conform diagramelor din fig.4.5.



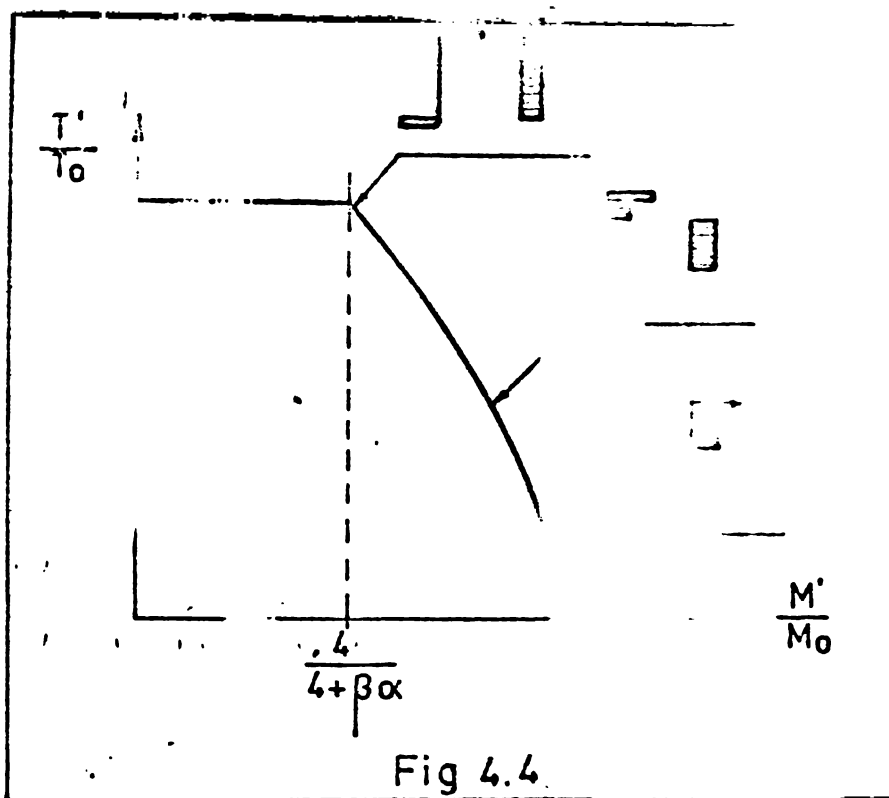


Fig 4.4

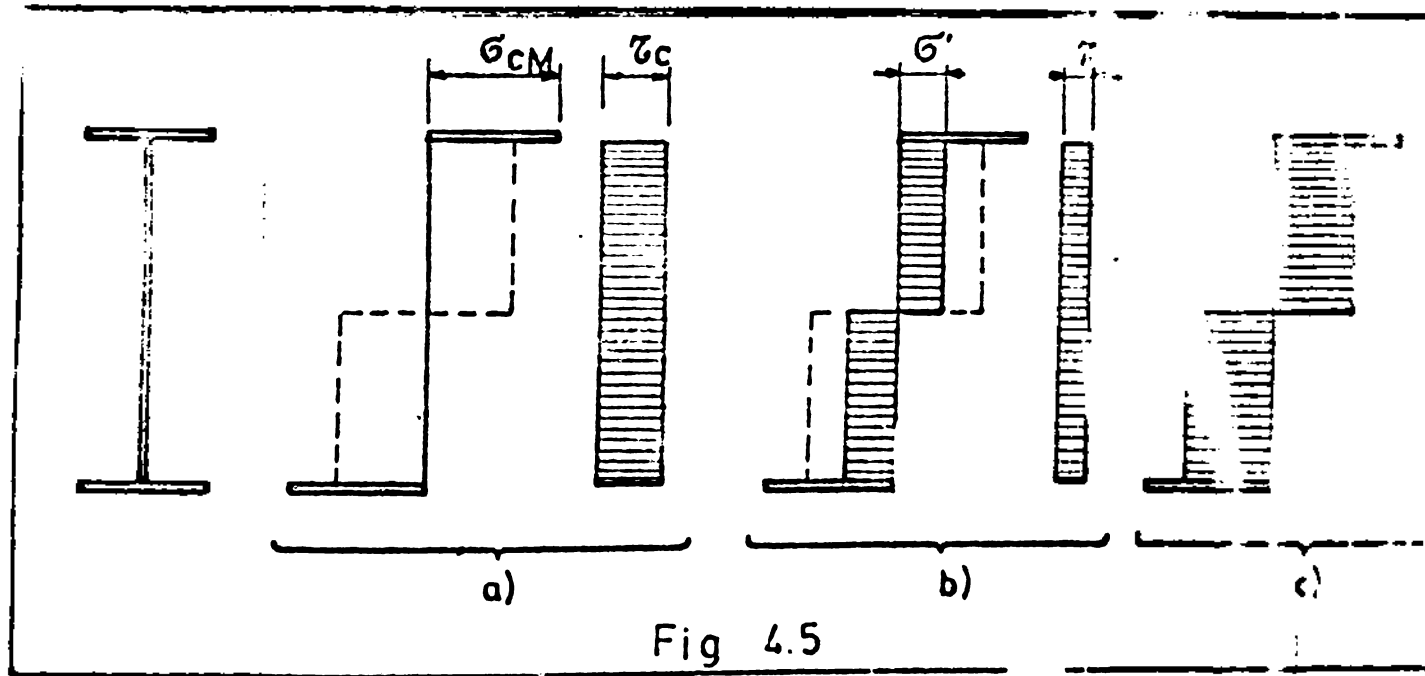


Fig 4.5

a) caz liniar; $\sigma' = 0$; $\tau = \tau_c$

b) cazul constant; $\sigma'^2 + 3\tau^2 = \sigma^2$

c) caz liniar; $\sigma' = \sigma_{cm}$; $\tau = 0$

Expresia momentului:

$$M' = W_{pt} \cdot \bar{\sigma}_{CM} + \frac{bh^2}{4} \bar{\sigma} \quad (4.11)$$

unde: W_{pt} - momentul plastic al tălpilor și

$$\bar{\sigma}' = \sqrt{\sigma_{cm}^2 - 3\tau'^2} = \sigma_{cm} \sqrt{1 - \frac{3\tau'^2}{\sigma_{cm}^2}}$$

$$M' = W_{pt} \sigma_{CM} + \frac{bh^2}{4} \sigma_{cm} \sqrt{1 - \frac{3\tau'^2}{\sigma_{cm}^2}}$$

$$M' = \sigma_{CM} \frac{A_t}{2} \cdot h + A_i \frac{h}{4} \sigma_{cm} \sqrt{1 - \frac{3\tau'^2}{\sigma_{cm}^2}}$$

$$M' = \frac{A_t}{2} \cdot h \left(1 + \frac{A_i}{2 \cdot A_t} \right) \cdot \alpha \sqrt{1 - \frac{3\tau'^2}{\sigma_{cm}^2}} \sigma_{CM}$$

$$M' = \frac{A_t}{2} \cdot h \left(1 + \frac{\alpha \beta}{4} \right) \sqrt{1 - \frac{3\tau'^2}{\sigma_{cm}^2}} \sigma_{CM}$$

Făcind înlocuiri:

$$T' = g h_i \cdot \tau'; \quad T_o = g \cdot h_i \sigma_{cm}$$

obținem:

$$M' = \frac{A_t}{2} \cdot h \left(1 + \frac{\alpha \beta}{4} \right) \sqrt{1 - \frac{T'^2}{T_o^2}} \sigma_{CM}$$

Exprimăm raportul $\frac{M'}{M_o}$, lufnd M_o conform relației 4.5.

$$M_o = \frac{A_t}{2} \cdot h \left(\frac{4 + \beta \alpha}{4} \right) \sigma_{cm}$$

sau

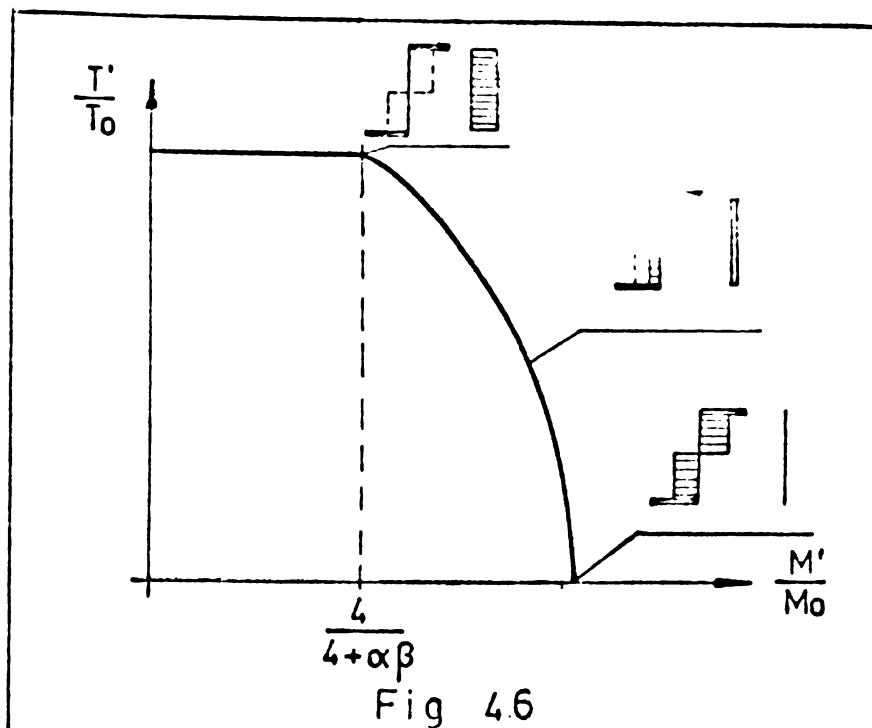
$$\frac{M'}{M_o} = \frac{4}{4 + \beta \alpha} \left(1 + \frac{\alpha \beta}{4} \right) \sqrt{1 - \frac{T'^2}{T_o^2}} \quad (4.12)$$

Dinouă la limită

$$\text{pentru } T' = 0; \quad \frac{M'}{M_o} = 1 \quad (4.13)$$

$$\text{pentru } T' = T_o; \quad \frac{M'}{M_o} = \frac{4}{4 + \beta \alpha} \quad (4.14)$$

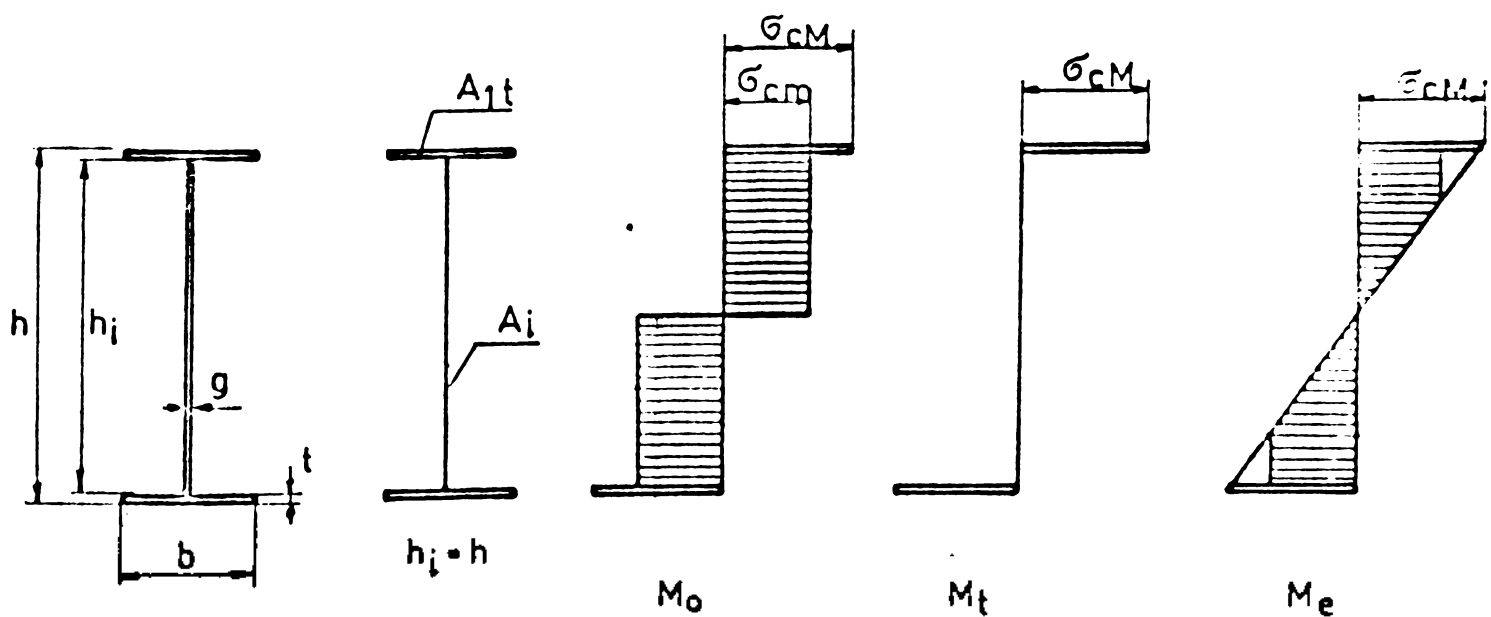
Transpunând pe un sistem de axe de coordonate $\frac{M'}{M_o}$, $\frac{T'}{T_o}$ relația (4.12) se obține diagrama din fig.4.6.



4.3.3. Relația de interacțiune $M'T'$ după BASLER și HOFMAN [10]

Să acceptă ipoteza de distribuție a forței tăietoare pe înălțimea inimii conform lui DUTTON și HEYMAN, în ambele variante, conf. diagramelor din fig. 4.1h și 4.1j.

Se definesc mărimele M_o, M_t, M_e conform fig. 4.7.



$$M_o = A_1 t \cdot h \sigma_{CM} + \frac{gh^2}{2} \sigma_{CM} = h \left(A_1 t + \frac{\alpha A_1}{4} \right) \sigma_{CM}$$

$$M_t = A_1 t \cdot h \sigma_{CM}$$

$$M_e = h \left[A_1 t + A_1 \alpha \left(1 - \frac{\alpha^3}{3} \right) \right] \sigma_{CM}$$

(4.15a, b, c)

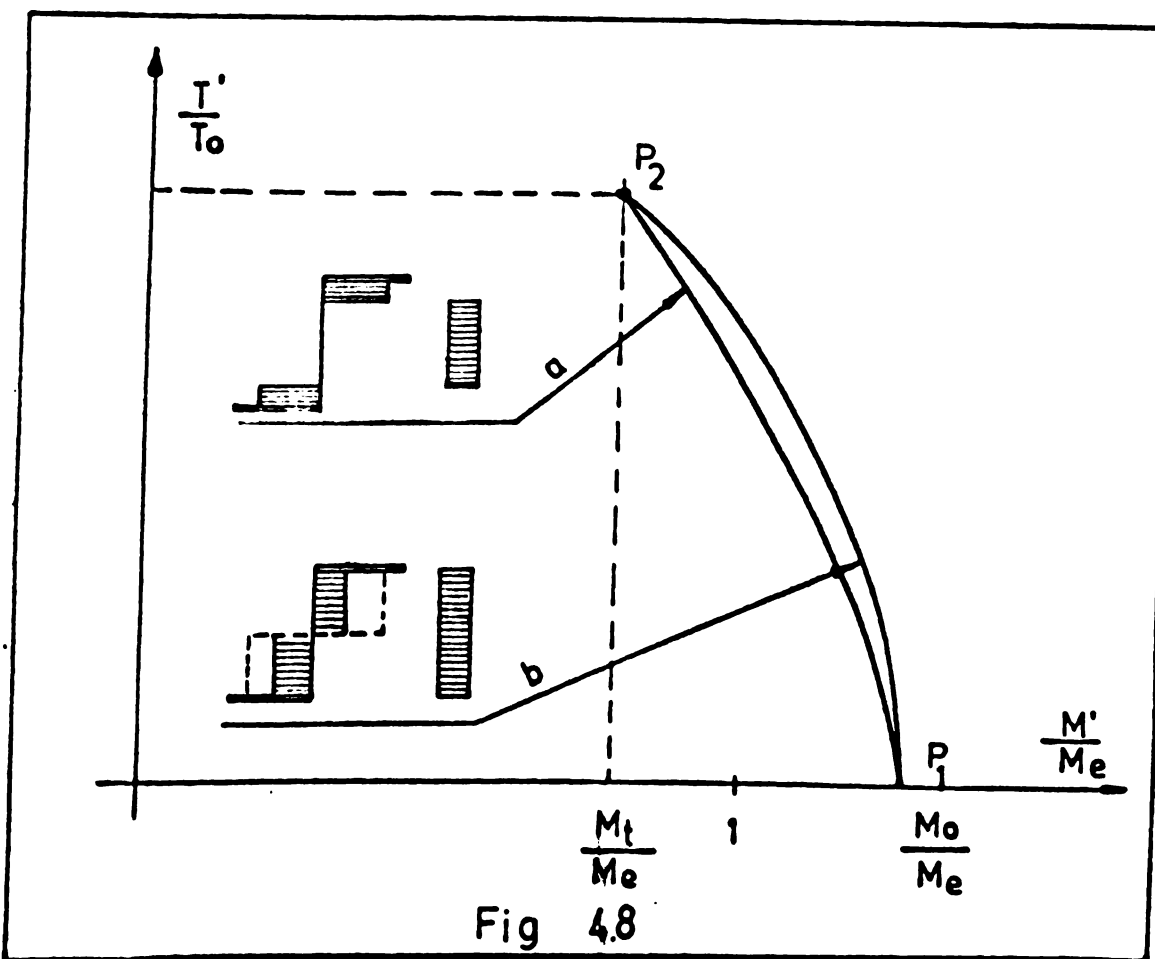
Studiul se face exprimând adimensional pe un sistem de axe de coordonate $\frac{M'}{M_e}$; $\frac{T'}{T_0}$; unde $T_0 = bh \cdot \sigma_{em}$ iar M, T , sunt mărimile momentului de încovoiere respectiv forță tăietoare care împreună conduc la plasticizarea întregii secțiuni.

Valoarea maximă a forței tăietoare ce poate fi preluată de grină este $T'_{max} = T_0$ deci:

$$\lim_{\text{max}} \frac{T'}{T_0} = 1$$

Se consideră că tălpile sunt complet plasticizate de moment, momentul capabil al lor fiind M_t .

In cazul unei încovoieri pure $M' = M_0; T = 0$ ne găsim în punctul $P_1 \left(\frac{M_0}{M_e}, 0 \right)$; în prezența forței tăietoare momentul capabil al grinii se înscrise între M_t și M_0 . La cealaltă limită, cînd ~~momentul~~ înină e plasticizată de forță tăietoare ne găsim în punctul $P_2 \left(\frac{M_t}{M_e}, 1 \right)$ fig.4.8.



Plecind de la ecuația dreptei P_1, P_2

$$\frac{T'}{T_o} = \frac{M' - M_t}{M_o - M_t} = 1 \quad (4.16)$$

Exprăziile curbei de interacțiune se stabilesc în funcție de variante după care se plasticizează inițial.

În cazul unei interacțiuni conform variantei "a".

Să propunem ecuația:

$$a) \left(\frac{T'}{T_o} \right)^2 + \left(\frac{M' - M_t}{M_o - M_t} \right)^2 = 1 \quad (4.17)$$

în ceea ce în cazul unei interacțiuni conform variantei de tipul "b" ecuația:

$$b) \left(\frac{T'}{T_o} \right)^2 + \left(\frac{M' - M_t}{M_o - M_t} \right)^2 = 1 \quad (4.18)$$

Ambelor curbătore trec prin punctele P_1, P_2 și sunt perpendiculare pe linia de la punctul P_1 .

In continuare se preferă studiul după varianta a); distribuția efortului normal σ , respectiv T fiind mai probabile.

Explicităm din ecuația (4.17) M'

$$M' = M_t + (M_o - M_t) \left[1 - \left(\frac{T'}{T_o} \right)^2 \right]$$

și raportând totul la M_e

$$\frac{M'}{W} \cdot \frac{W}{M_e} = \frac{M_t}{W_e} - \frac{M_o - M_t}{M_e} \left[1 - \left(\frac{T'}{A_i} \cdot \frac{b}{b_p} \right)^2 \right]$$

Introducem valorile din (4.15 a,b,c):

$$\begin{aligned} \frac{\sigma'}{\sigma_{CM}} &= \frac{A_{lt} h \cdot \sigma_{CM}}{\left[A_{lt} + A_i \cdot \alpha \left(1 - \frac{\alpha^3}{3} \right) \right] \sigma_{CM} h} + \\ &+ \frac{\left(A_{lt} + \frac{A_i}{4} \alpha \right) \sigma_{CM} h - A_{lt} \cdot h \sigma_{CM}}{h \left[A_{lt} + A_i \alpha \left(1 - \frac{\alpha^3}{3} \right) \right] \sigma_{CM}} \left[1 - \left(\frac{T'}{h_o b} \cdot \frac{b}{T_o} \right)^2 \right] \end{aligned}$$

Folosind relația:

$$\beta^* = \frac{A_i}{A_{lt}} \quad \text{sau} \quad A_i = 2 \times A_{lt} \cdot \beta^*$$

$$\frac{\sigma'}{\sigma_{CM}} = \frac{1}{\left[1 + 2 \beta^* \alpha \left(1 - \frac{\alpha^3}{3} \right) \right]} + \frac{2 + \beta^* \alpha}{2 \left[1 + 2 \alpha \beta^* \left(1 - \frac{\alpha^3}{3} \right) \right]} \left[1 - \left(\frac{T'}{\tau_c} \right)^2 \right] \quad (4.19.a)$$

Introducem coefficient de siguranță "V"

$$\frac{\sigma_{CM}}{V} = \sigma_{NM} ; \quad \frac{\tau_e}{V} = \tau_n \quad \text{relația (4.19.a) devine:}$$

$$\frac{\sigma}{\sigma_{NM}} = \frac{1}{1+2\beta^*(1-\frac{\alpha^2}{3})} = \frac{2+\beta^*\alpha}{2[1+2\alpha\beta^*(1-\frac{\alpha^2}{3})]} \left[1 - \left(\frac{\tau'}{\tau_e} \right)^2 \right] \quad (4.19.b)$$

Relațiile (4.19a) și (4.19b) exprimă fascicole de curbe funcție de parametrul $\beta^* = \frac{A_i}{A_t}$, pentru un α constant.

4.4. Relații de interacțiune M', T' în concepția respectivă ipotezei secțiunilor plane; capătarea grinzii este posibilă prin plasticizarea ramai și inimii.

Mai jos se prezintă două studii privind interacțiunea M', T' ; un studiu analitic ce cuprinde domeniul elasto-plastic corespunzător studiilor II, III de lucru a grinzilor hibride. Se constată că pentru acoperirea întregului domeniu de lucru al grinzilor hibride armeazău fi scrise relații analitice fiecărui studiu de lucru separat; adesea aceste relații devin laborioase.

În al doilea studiu este prezentată și solvarea problemei prin integrarea numerică a diagramelor de eforturi. Relația de interacțiune acoperă întregul domeniu de lucru, a grinzilor solicitate la M', T' .

4.4.1. Relația de interacțiune M', T' cu o distribuție parabolică pentru eforturile T pe secțiunea sfârșitului elastic.

Se acceptă valabilitatea secțiunilor plane, în domeniul elasto-plastic. Studiul acoperă domeniul corespunzător studiului II și III de lucru ale grinzilor hibride.

Diagramele de calcul sunt reprezentate în fig.4.9.-

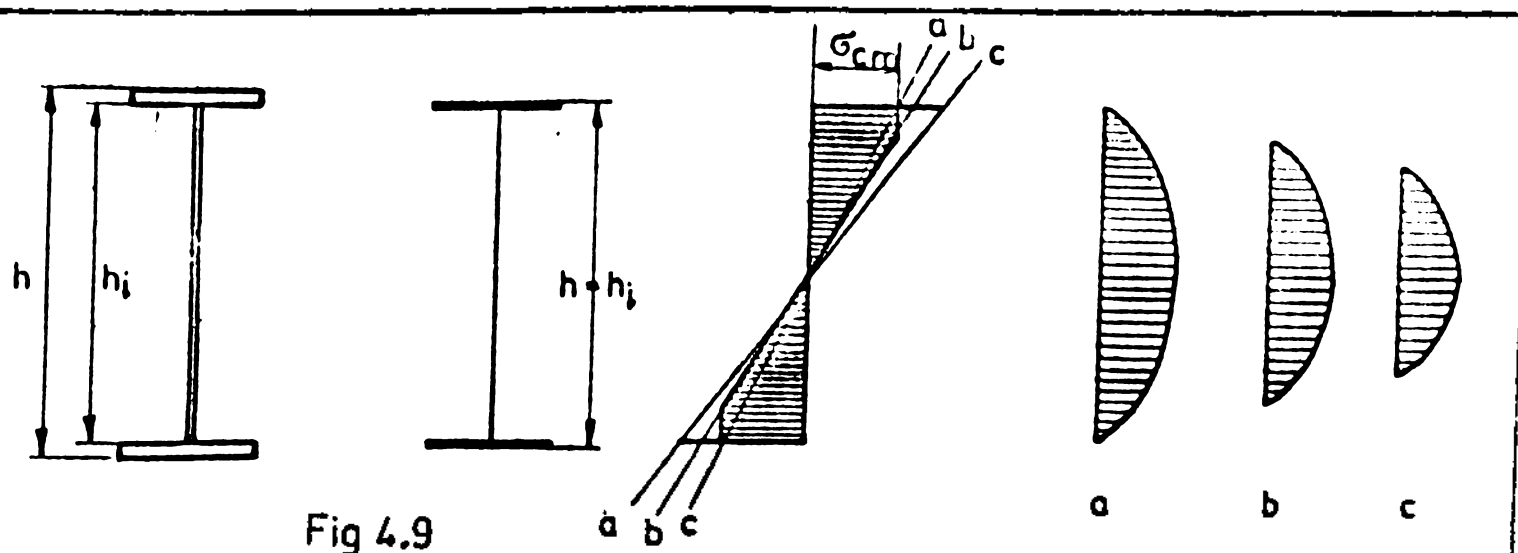


Fig 4.9

a) începutul studiului 2; $T' = \frac{2}{3} \sigma_{CM} \sqrt{\frac{cm}{V}} ; \frac{T'}{T_0} = \frac{2}{3}$
(începutul plasticizării inimii)

c) sfârșitul studiului 3 (sfârșitul $T' = \frac{2}{3} \sigma_{CM} \sqrt{\frac{cm}{V}}$; $\frac{T'}{T_0} = \frac{2}{3}$;
plasticizării tălpiei)
 $\alpha = 1,5 \frac{T'}{T_0}$

b) domeniul cuprins între cele două limite

$$\sigma_{CM} < \sigma' < \sigma_{CM}$$

$$\sigma' = \frac{\alpha}{1,5 \frac{T'}{T_0}} \sigma_{CM} \quad (4.20)$$

Folosind relație (3.14) dedusă pentru cazul încovoierii pure

$$M_{cap} = \frac{1+3\beta}{6} \left[1 - \frac{(1-\alpha)^2(2+\alpha)}{\alpha(1+3\beta)} \right] \cdot \sigma h^2 \sigma_{CM}$$

în care înlocuim (4.20) obținem:

$$M' = \frac{1+3\beta}{6} \left[1 - \frac{(1-1,5 \frac{T'}{T_0})^2(2+1,5 \frac{T'}{T_0})}{2(1+3\beta)} \right] \cdot \frac{\alpha}{1,5 \frac{T'}{T_0}} \sigma_{CM} \quad (4.21)$$

O raportăm la $M_0 = w_x \cdot \sigma_{CM}$

$$\text{unde } w_x = \frac{1+3\beta}{6} \sigma h^2$$

$$\frac{M'}{M_0} = \frac{\alpha}{1,5 \frac{T'}{T_0}} \left[1 - \frac{(1-1,5 \frac{T'}{T_0})^2(2+1,5 \frac{T'}{T_0})}{2(1+3\beta)} \right] \quad (4.22)$$

valabilă pentru $\frac{2}{3}\alpha < \frac{T'}{T_0} < \frac{2}{3}$

condițiile la limită:

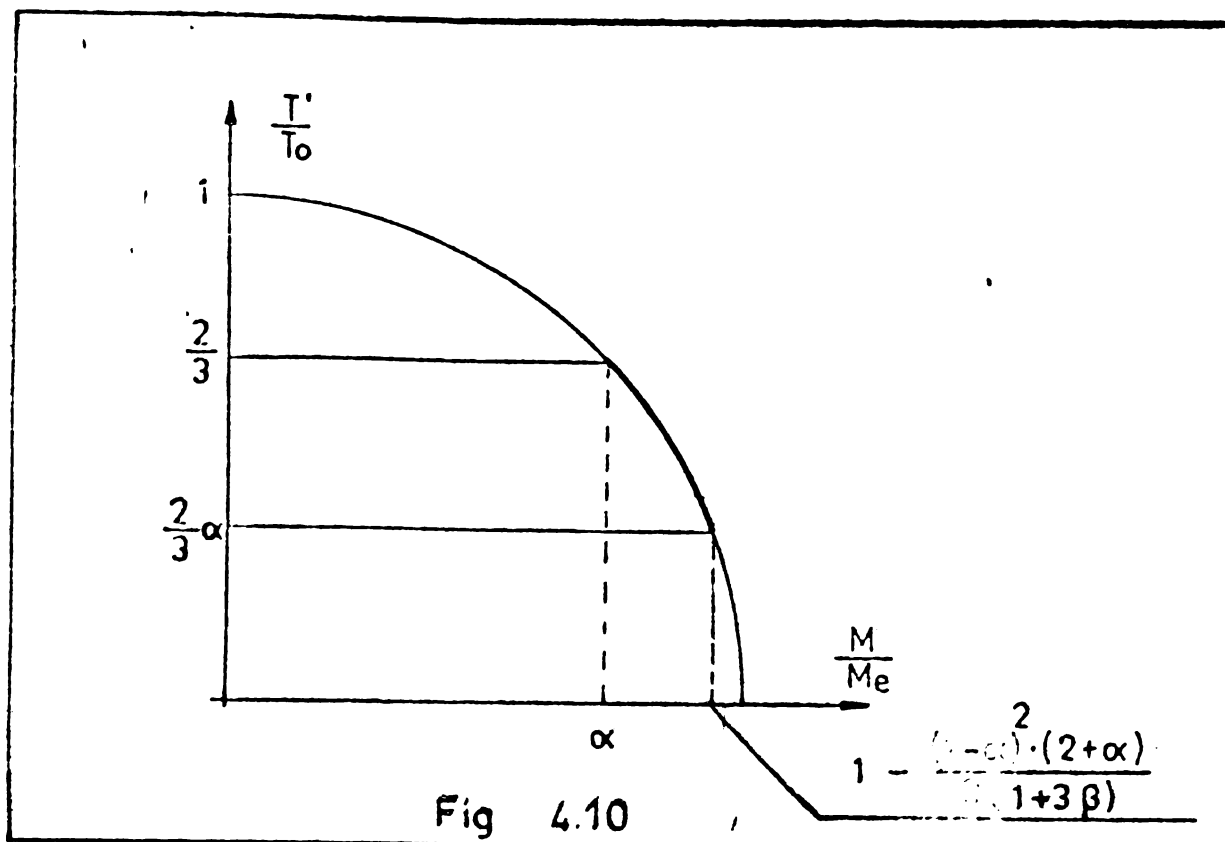
$$a) \text{pentru } \frac{T'}{T_0} = \frac{2}{3} ; \frac{M'}{M_0} = \alpha \quad (4.23)$$

$$c) \text{pentru } \frac{T'}{T_0} = \frac{2}{3} \alpha = \frac{\alpha}{1,5} ; \frac{M'}{M_0} = \left[1 - \frac{(1-\alpha)^2(2+\alpha)}{2(1+3\beta)} \right] \quad (4.24)$$

Pentru $\frac{M'}{M_0} < \alpha$ grinda intră în domeniul elastic și se comportă ca

una omogenă;

Reprezentăm în sistemul de axe $\frac{T'}{T_0}$; $\frac{M'}{M_0}$



Pentru $\frac{M'}{M_e} > 1 - \frac{(1-\alpha)^2(2+\alpha)}{2(1+3\beta)}$ grinda intră în stadiul 4 de lucru, valoarea lui $M' = M_0$.

4.4.2. Relația de interacțiune M', T cu o distribuție parabolică pentru eforturile σ pe înălțimea sămburelui elastic.

Calculul s-a efectuat prin integrarea numerică a diagramelor de eforturi conform relațiilor de bază:

$$M = \int_A G \cdot y \cdot dA; \quad T = \int_A \sigma dA$$

Starea de eforturi este definită de parametri K, γ_1, χ unde:

$$K = \frac{\sigma_{cm}}{G_{cm}}; \quad \chi = \frac{t}{h_i}; \quad \gamma_1 = \text{parametrul ce definește înălțimea sămburelui elastic fig. 4.11.}$$

Respectându-se ipoteza secțiunilor plane, grinda trece succesiiv prin toate cele patru stadii de lucru.

Studiul a fost efectuat cu programul "HYBRIDE" alcătuit pentru store de eforturi triaxiale; cazul de față fiind un caz particular și anume pentru $N=0$.

Rезултатите са изразени адимензионално; $\frac{M'}{M_0}, \frac{T'}{T_0}$

(vezi capitolul 7).

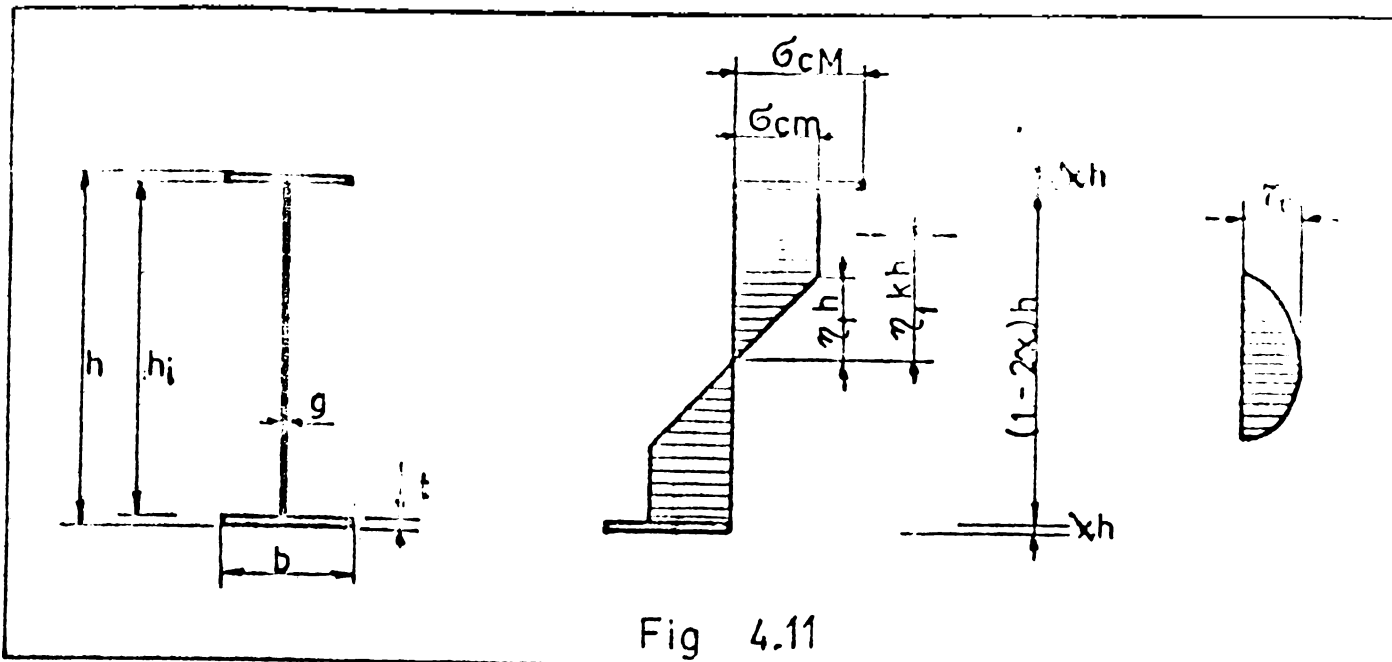


Fig. 4.11

Stadiul 1: corespunde domeniului elastic, pînă la începutul curgerii în fibri exterioare fig.4.12.

$$\text{Condiția parametrică: } \infty > \gamma_1 > \left(\frac{1}{2} - \chi \right)$$

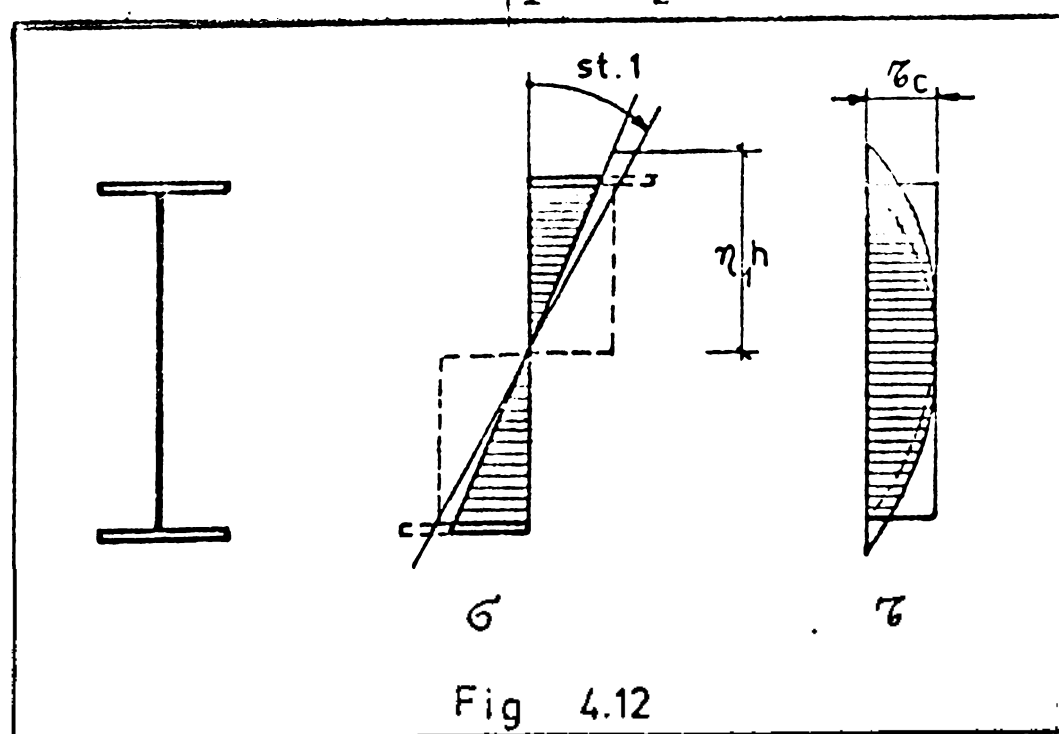
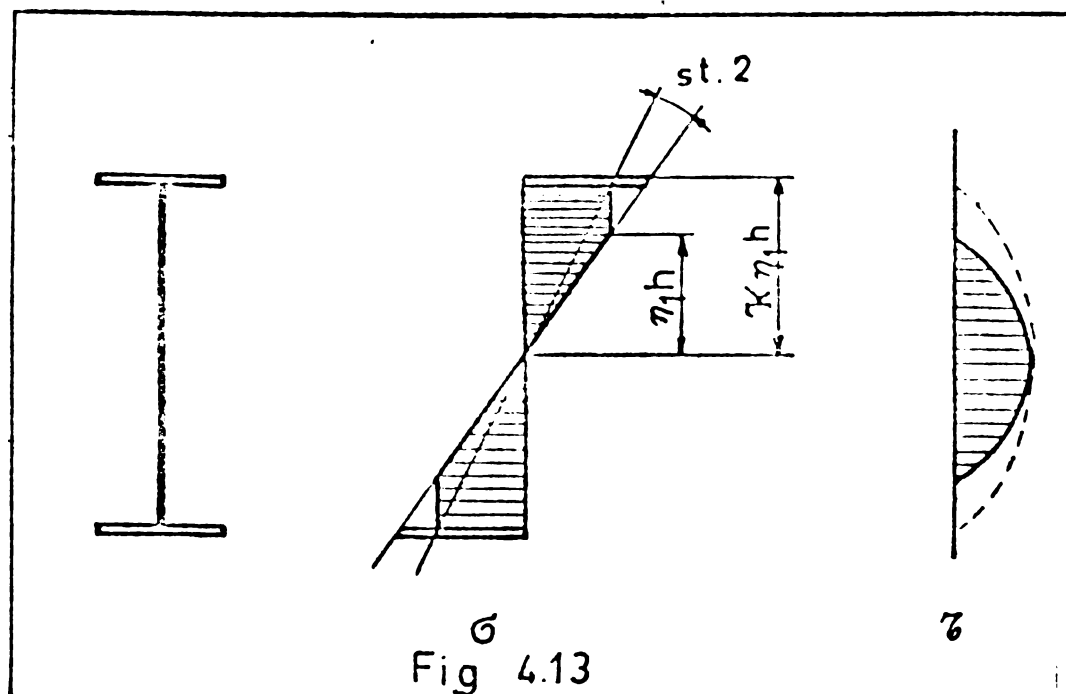


Fig. 4.12

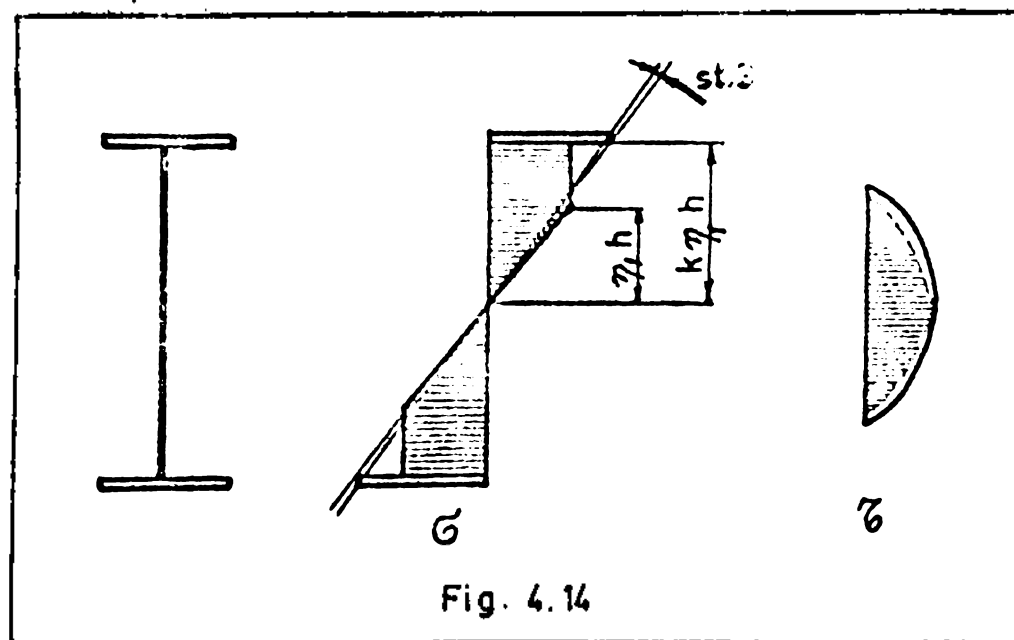
Stadiul 2: Corespunde domeniului ce începe prin curgerea în inimă, și pînă la începutul curgerii talpii fig.4.13.

$$\text{Condiții parametrice: } \begin{cases} \left(\frac{1}{2} - \chi \right) < \gamma_1 \\ K\gamma_1 \geq \frac{1}{2} \end{cases}$$



Stadiul 3 ; corespunde domeniului de la fineaza în terminarea plasticizării tălpilor fig.4.14.

$$\text{Condiție parametrică : } \frac{1}{2} < \eta_1 < \frac{1}{2} - \times$$



Stadiul 4 : corespunde domeniului de la sfârșitul plasticizării tălpilor - pînă la plasticizarea completă a secțiunii fig.4.15. Condiție parametrică : $K\eta_1 < \frac{1}{2} - \times$

In fig.4.16 este prezentată curba de intersecție "4.23" pentru o grindă de dimensiuni și parametri K

- înălțime : 1000 x 10
- tălpă : 2 x 300 x 20
- coef. K = 1,5

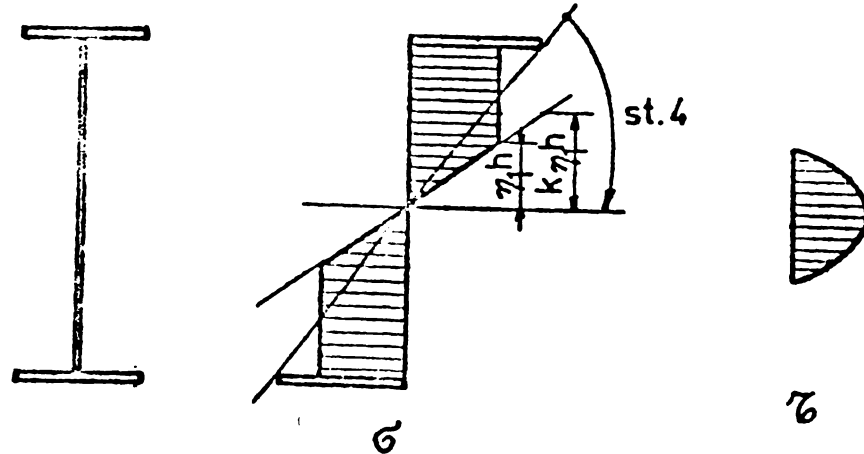


Fig. 4.15

Se disting cele patru stadii de lucru a grinzi hibride.

Stadiul 1 - intervalul 1-2 domeniul elastic.

Stadiul 2 - intervalul 2-3 domeniul elasto-plastic.

Stadiul 3 - intervalul 3-4 domeniul elasto-plastic.

Stadiul 4 - intervalul 4-5 domeniul elasto-plastic.

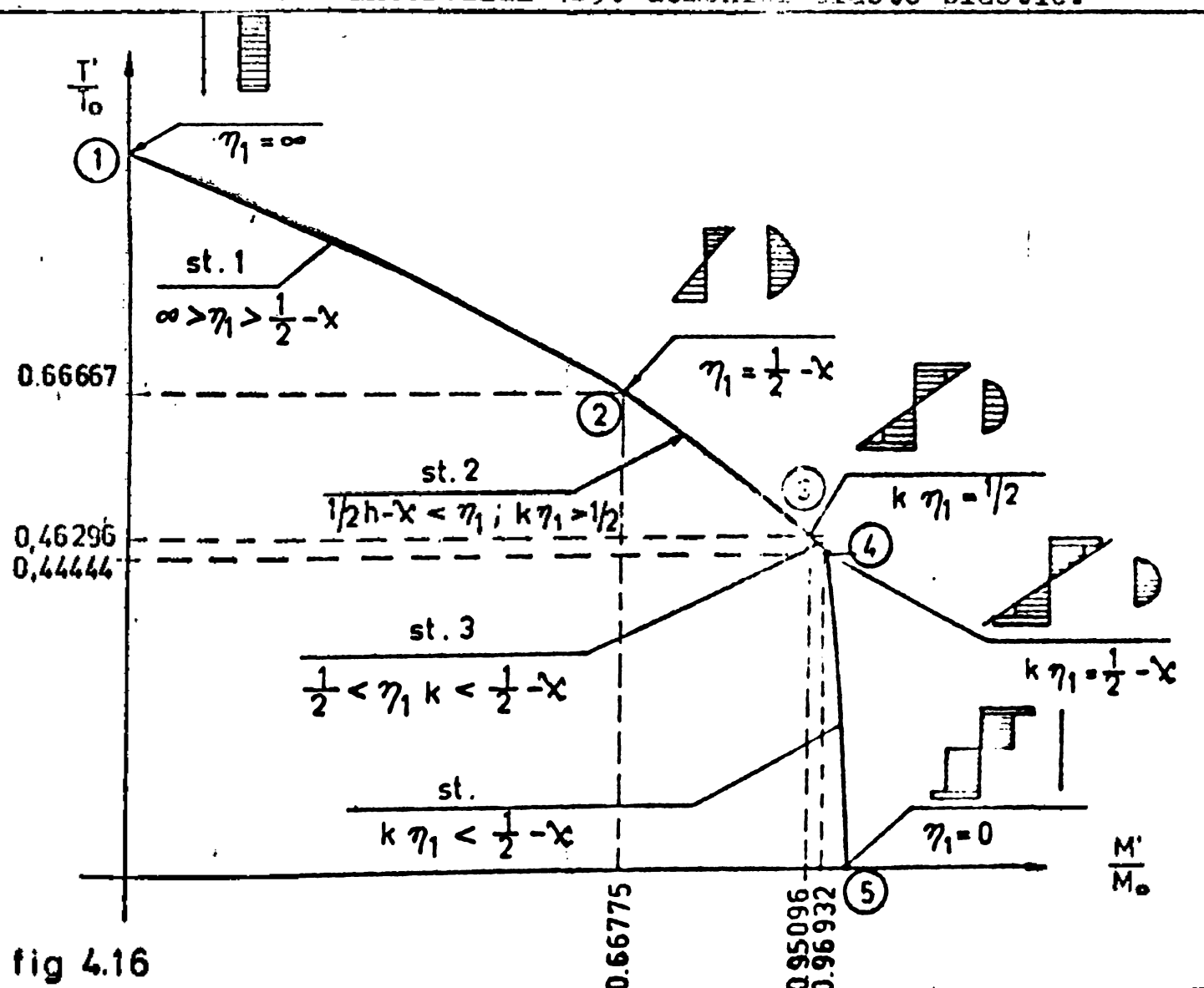


fig 4.16

4.5. Conceptul mixt privind definirea capacității portante a grinziilor hibride solicitate la $N'T'$.

R. Frost și C. Schilling acceptă o concepție diferită asupra modului de definire a capacității portante în stadiul elastic și în cel elasto-plastic. [30]

In domeniul elastic principiul sețiunilor plane, grinza comportindu-se ca principiul sețiunilor plane, și corespunde stadiului 1 de lucru.

In domeniul elasto-plastic urmărește stabilirea capacitatii portante a întregii sezioni - studiu deci cercetează numai stadiul 4 de lucru al grinzilor hibride.

Acceptindu-se două definiri ale capacității portante ale grinzilor hibride, una elastică și una plastică, concepția se încadrează în cele două puncte de vedere definite expuse separat la pct.43 și pct.44.

Calculul se poate face după cum urmează:

4.5.1. In domeniul elastic

Acceptind o diagramă de distribuție constantă a efortului σ pe înălțimea grinzii „fig.4.1a” în momentul atingerii curgerii în extremitatea inimii (σ_{cm}), putem scrie:

$$\sigma' = \frac{M'}{I_x} \cdot \frac{h_i}{2} ; \tau' = \frac{T'}{h_i \cdot g} \quad (4.25)$$

Inlocuind aceste valori în relația de plasticizare(4.1) obținem relația ce definește sfîrșitul stadiului de comportare elastică a grinzii

$$\sigma_{cm}^2 = \left(\frac{M'}{I_x} \cdot \frac{h_i}{2} \right)^2 + 3 \left(\frac{T'}{h_i \cdot g} \right) \quad (4.26)$$

unde: M' , T' sunt momentul de încovoiere și forța tăietoare care conduc împreună la începerea plasticizării în inimă.

4.5.2. In domeniul elasto-plastic.

Se acceptă o distribuție constantă a efortului σ pe înălțimea simburelui elastic fig.4.1.h.

Aplicind relația de interacțiune (4.1) putem scrie

$$\sigma_{cm}^2 = 3\tau_c^2 = 3 \left(\frac{T'}{ge} \right)^2 \quad (4.27)$$

Pentru zona plasticizată de τ' , pe înălțimea "c" valoarea momentului plastic corespunzător va fi:

$$M_0 = M' = \frac{ge^2}{4} \sigma_{cm} \quad (4.28)$$

Explicitând "e" din (4.27) și introducind în (4.28) obținem

$$\sigma_{cm} = \frac{3 T'^2}{4g(M_0 - M')} \quad (4.29)$$

Acumind într-un sistem de axe de coordonate M' , T' expresiile de interacțiune (4.27) și (4.29) obținem două curbe reprezentate în fig. 4.17 și anume:

- o curbă - figurată întrerupt - reprezentând starea limită elastică a grinziei.

- o curbă figurată plin - reprezentând starea limită plastică a grinziei.

Diagramele sunt limitate de dreapta $T_c = h_i \cdot g \sigma_{cm}$ valoarea limită ce poate fi preluată de secțiunea iniție.

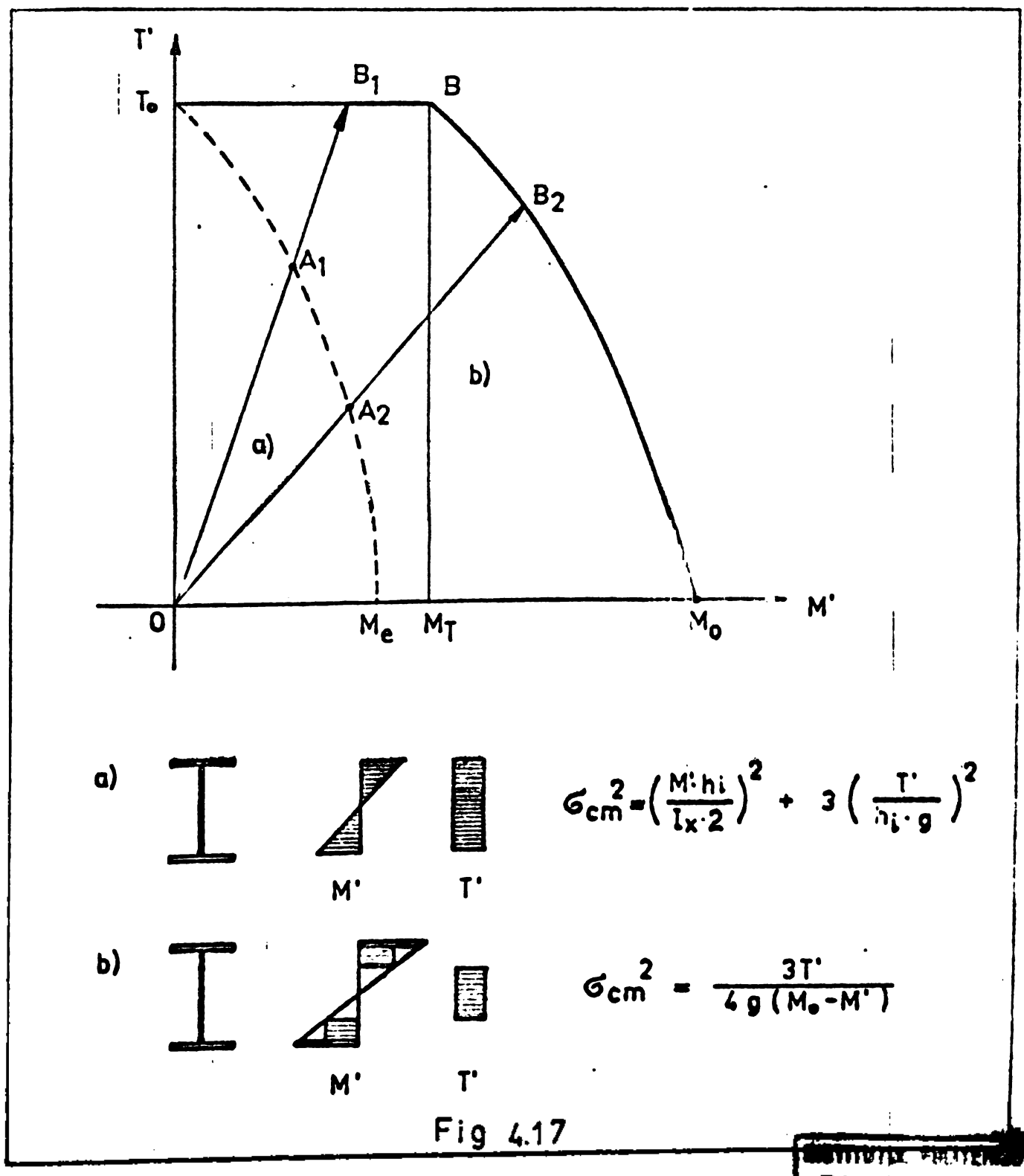
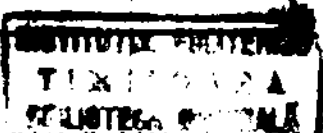


Fig. 4.17



Oricare rază vectoare OAB indică un anumit caz particular privind $M'T'$; punctele situate pe această rază vectoare sunt obținute de multimea valorilor M', T' ($\frac{M'}{T'} = \text{constant}$) legate prin legătură de interacțiune (4.5).

O rază care întâlnegă curba pe porțiunea $M_0B(OA_2B_2)$ indică cazul de plasticizare în care momentul e hotăritor, iar rază care întâlnegă la limită dreapta $T_0B(OA_3)$ indică cazul cînd forța tăietoare plasticizează singură întreaga inimă.

CAPITOLUL 5

COMPORTAREA GRINZILOR HIBRIDE LA INCOVOIERE CU FORȚE AXIALE; RELATII DE INTERACȚIUNE.

5.1. Generalități. Se ia ca bază comportarea oțelului conform diagramei din fig.2.2 adică o comportare ideală elasto-plastică.

Eforturile normale σ ating limite de curgere în fibrele extreme; cu creșterea deformărilor, curgerea progresează spre zona centrală. Se constată apoi o săritură a eforturilor din zona întinsă la cea comprimată.

Existența forței axiale pe secțiunea solicitată are următoarele consecințe:

- Micșorarea valoarei momentului plastic total M_0 din incovoiere; se acceptă notația M' , valoarea momentului plastic în prezența forței axiale. Această diminuare este însă redusă, deoarece zona centrală a secțiunii aduce o contribuție mică la valoarea M_0 .

- Axa neutră plastică rămîne paralelă cu cea în cazul incovoierii pure, însă se deplacează în zona întinsă sau comprimată, după natura și mărimea forței axiale fig.5.1.

Această schemă idealizată este în realitate puțin modificată; trecerea de la zona comprimată la cea întinsă se face printr-un mic sămbure elastic.

Calculul secțiunilor la acțiunea $M'N'$ se face descompunând diagrama de eforturi din secțiune în:

- o diagramă provenită numai din acțiunea forței axiale N' ce se situează central simetric față de axa neutră plastică.

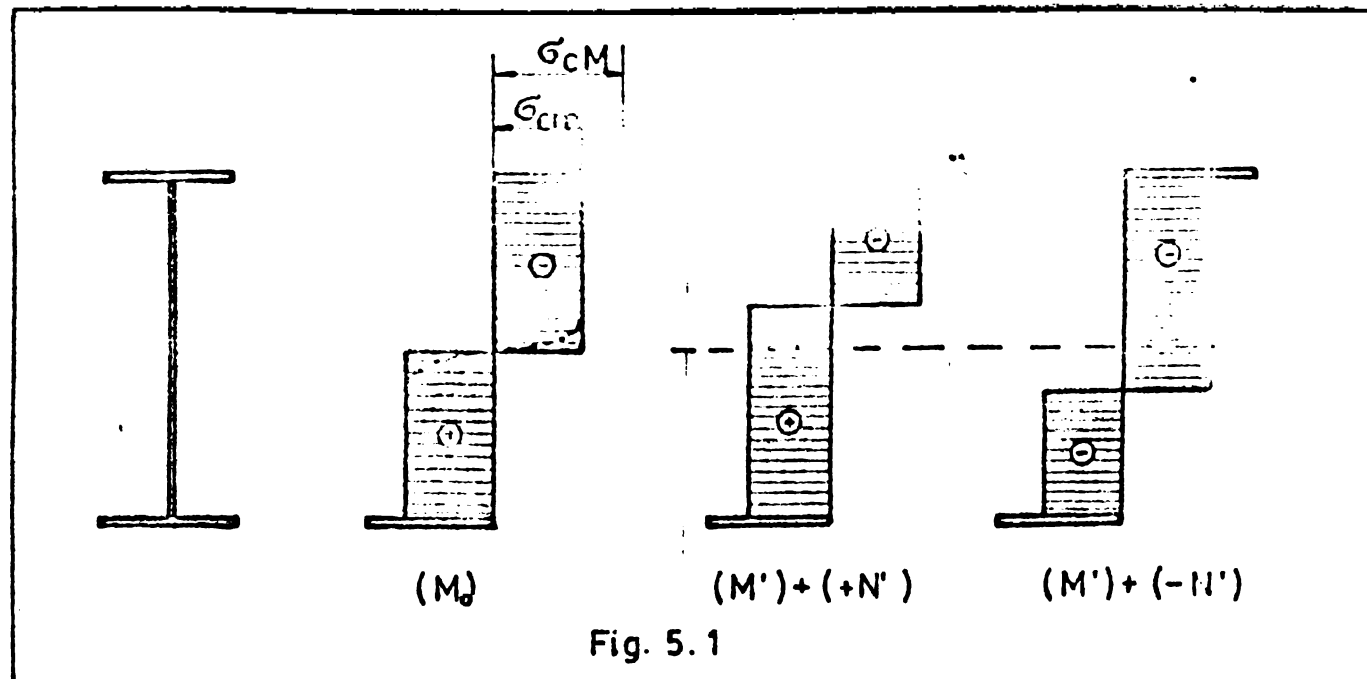


Fig. 5.1

- o diagromă din acțiunea momentului M' , repartizată la extreame, simetric față de axa plastică.

5.2. Comportarea secțiunilor omogene la încovoiere cu forță axială.

O secțiune dublu simetrică solicitată simultan de N' va avea o diagramă de eforturi ca în fig.5.2.

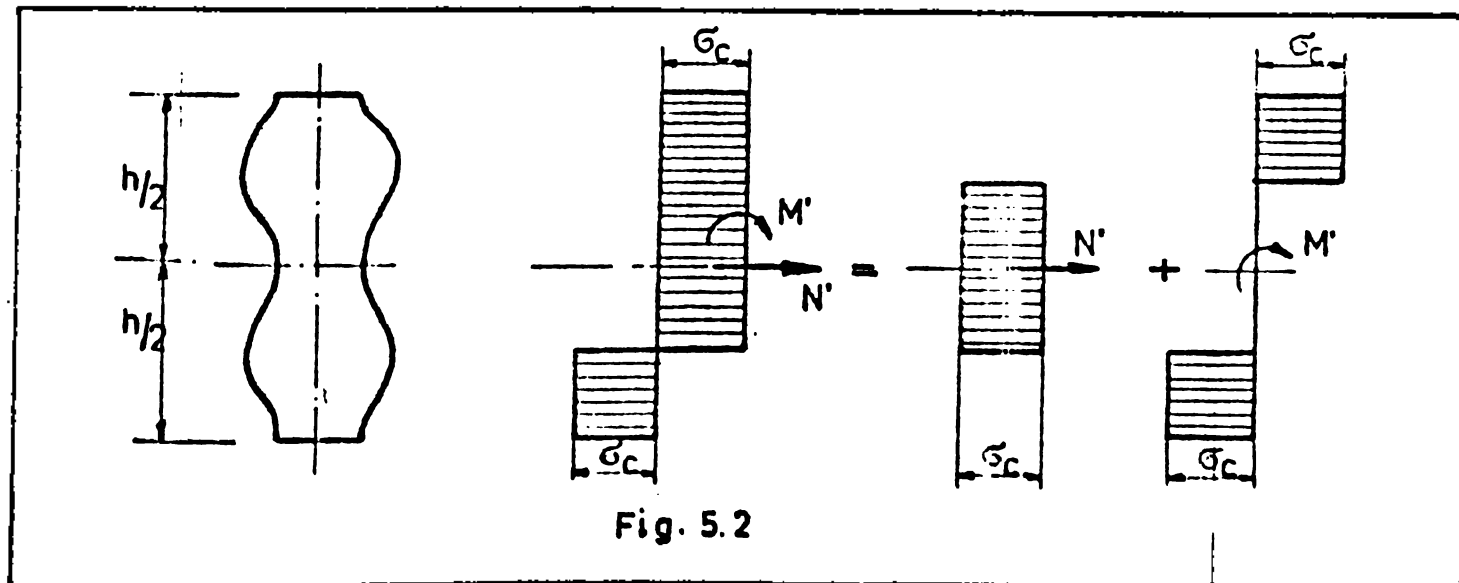


Fig. 5.2

In literatura tehnică sunt stabilite următoarele relații de interacțiune M', N' (Girkman).

Pentru o secțiune dreptunghiulară:

$$\frac{M'}{M_0} = 1 - \left(\frac{N'}{N_0} \right)^2 \quad (5.1)$$

Pentru o secțiune I simetrică

- cazul cind plasticizarea produsă de forță axială se extinde numai în zona inimii

$$\frac{M'}{M_0} = 1 - \left(\frac{N'}{N_0} \right)^2 \frac{1}{1 - \left(\frac{A_t}{A_i + A_t} \right) \left(1 - \frac{\epsilon}{b} \right)} \quad (5.2a)$$

vălabilă pentru:

$$\frac{N'}{N_0} \leq \frac{A_i}{A_i + A_t} = \frac{A_i}{A}$$

- Cazul cînd plasticizarea produsă de forță axială se extinde și la tălpi

$$\frac{M'}{M_0} = 1 - \frac{\left(\frac{N'}{N_0} \right)^2 - \left(1 - \frac{\epsilon}{b} \right) \left(\frac{1}{N_0} - \frac{A_i}{A} \right)^2}{1 - \left(\frac{A_t}{A} \right)^2 \left(1 - \frac{\epsilon}{b} \right)} \quad (5.2b)$$

vălabilă pentru:

$$\frac{N'}{N_0} > \frac{A_i}{A_i + A_t} = \frac{A_i}{A}$$

5.3. Comportarea secțiunilor hibride la încovoierea cu forță axială.

CAZUL GENERAL AL Secțiunilor dublu simetrice.

Secțiunea hibridă este alcătuită dintr-un oțel de calitate superioară, caracterizat prin limită de curgere σ_{cm} - amplasat în extremități, și un oțel obișnuit amplasat în zona centrală cu limită de curgere σ_{cm} .

Studiul se face pe diagramele din fig.5.3.

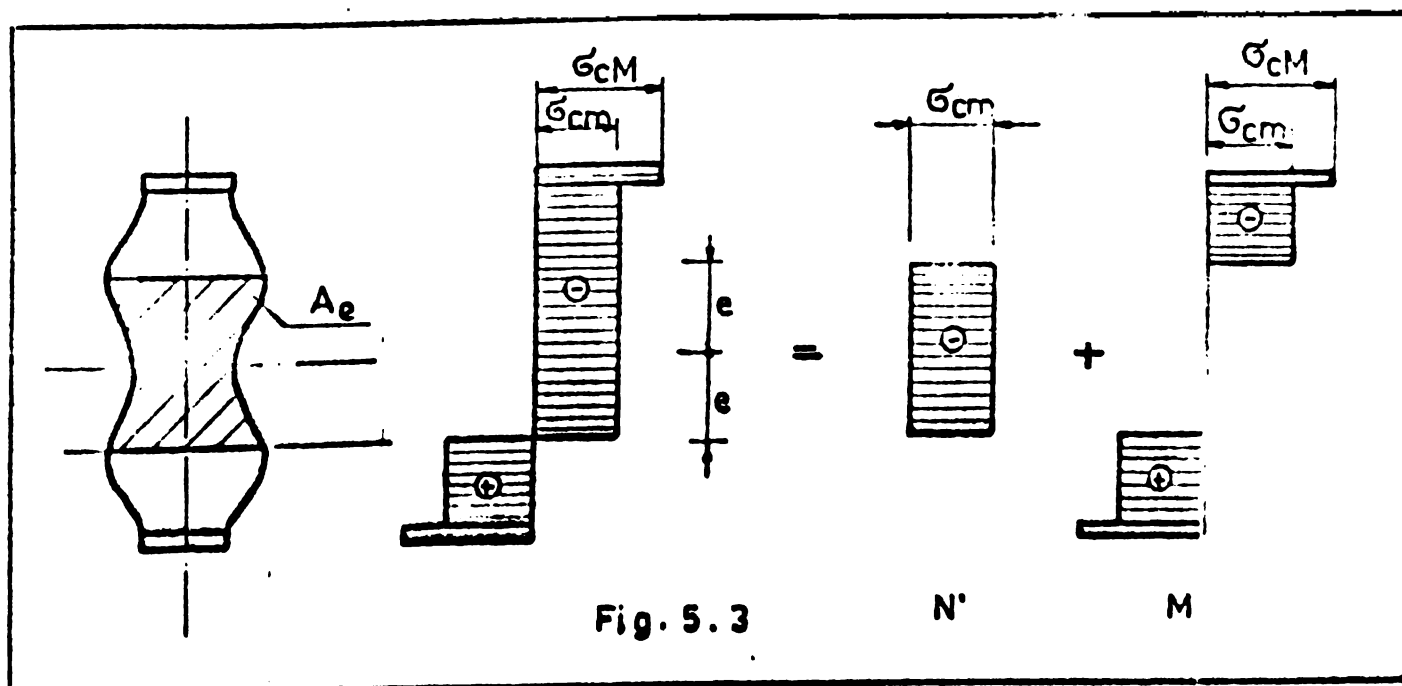


Fig. 5.3

Forță axială N' (de exemplu de compresiune) plasticizează o zonă de înălțime $2a$, fie aria corespunzătoare acestei zone A_e . Avem ceea ce următoare:

$$N' = w_p \sigma_{cm} \quad (5.3)$$

Restul secțiunii fiind plasticizat de moment.

Momentul plastic corespunzător ariei A_e se poate exprima:

$$M_{pe} = w_{pe} \sigma_{cm} \quad (5.4)$$

unde w_{pe} este modulul plastic a ariei A_e .

Conform diagramelor prezentate în fig.5.3 se poate scrie

$$M' = M_o - M_{pe} \quad (5.5)$$

Forță de plasticizare a întregii secțiuni hibride N_o are valoarea

$$N_o = A_i \sigma_{cm} + A_t \sigma_{cm} = \sigma_{cm} (A_i + k A_t) \quad (5.6)$$

unde:

A_i - aria corespunzătoare oțelului din zona centrală

A_t - aria corespunzătoare oțelului din zonele extreme.

Exprimăm reportat $\frac{N'}{N_o}$

$$\frac{N'}{N_o} = \frac{A_e \sigma_{cm}}{\sigma_{cm} (A_i + k A_t)} = \frac{A_e}{A_i + k A_t} \quad (5.7)$$

Exprimăm reportat $\frac{M'}{M_o}$

unde $M_o = w_p \sigma_{cm}$

w_p - fiind modul plastic al întregii secțiuni.

$$\frac{M'}{M_o} = \frac{M_o - M_{pe}}{M_o} = 1 - \frac{M_{pe}}{M_o} = 1 - \frac{w_{pe}}{w_p} \quad (5.8)$$

5.4. Comportarea secțiunilor I simetrice hibride la N', N''

5.4.1. Plasticizarea produsă de forță axială se extinde numai în zona inimii.

Studiul se face pe diagramele de eforturi din fig.5.4.

Introducem în relația (5.8) valorile lui w_{pe} și w_p

$$w_{pe} = g e^2; w_p = \frac{k}{2} A_t \cdot (h-t) + \frac{1}{4} A_i (h-2t)$$

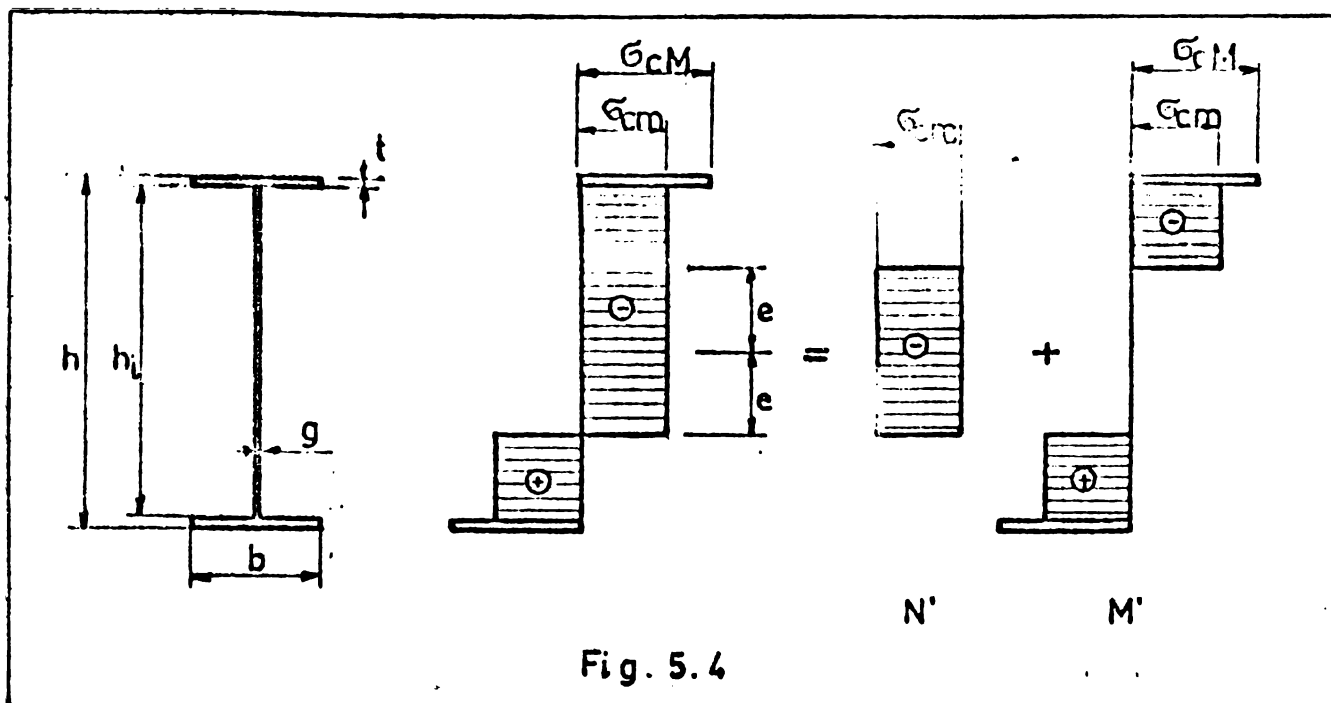


Fig. 5.4

$$\frac{N'}{N_0} = 1 - \frac{\frac{g_e^2}{2}}{K \cdot A_t (h-t) + \frac{1}{4} A_i (h-2t)} \quad (5.9.)$$

Introducem în relație (5.7.) velocitatea 1 și A_e

$$A_e = 2 \cdot g \cdot e \quad (5.10)$$

$$\frac{N'}{N_0} = \frac{2 \cdot g_e}{A_i + K A_t} \quad (5.10)$$

din expresia (5.10) calculăm g_e^2

$$g_e^2 = \left(\frac{N'}{N_0} \right)^2 \frac{(A_i + K A_t)^2}{4 \cdot g} \quad (5.11)$$

pe care o introducem în (5.9.)

$$\frac{N'}{N_0} = 1 - \left(\frac{N'}{N_0} \right)^2 \frac{(A_i + K A_t)^2}{4 \cdot g} \cdot \frac{1}{\frac{K}{2} \cdot A_t (h-t) + \frac{1}{4} A_i (h-2t)} \quad (5.12)$$

Folosim egalitățile evidente :

$$g(h-2t) = A_i$$

$$\frac{(A_i + K A_t)^2}{(A_i + K A_t)^2} = \frac{A_i^2}{(A_i + K A_t)^2} + \frac{2 K \cdot A_i A_t}{(A_i + K A_t)^2} + \frac{K^2 A_t^2}{(A_i + K A_t)^2}$$

Introduce în (5.12) conduc la :

✓

$$\frac{N^*}{N_0} \approx 1 = \left(-\frac{N^*}{N_0} \right)^2 \frac{1}{\frac{2K \cdot A_t (h-t)}{(A_i + KA_t)^2}} = \frac{1}{\frac{2K \cdot A_i \cdot A_t}{(A_i + KA_t)^2}} = K^2 \left(\frac{A_t}{A_i + KA_t} \right)^2$$

(5.13)

Dacă utilizăm relațiile :

$$A_t = 2 b \cdot t$$

$$2 K g \cdot A_t (h-t) = 2 K A_t \cdot A_i + 2 K g A_t \cdot t$$

se obține în final :

$$\frac{N^*}{N_0} \approx 1 = \left(-\frac{N^*}{N_0} \right)^2 \frac{1}{1 - K \left(\frac{A_t}{A_i + KA_t} \right)^2 (1 - \frac{t}{b})} \quad (5.14)$$

relație valabilă pentru cazul ;

$$-\frac{N^*}{N_0} \leq \frac{A_t}{A_i + KA_t}$$

Pertinerență pentru $K = 1$

$$\frac{N^*}{N_0} \approx 1 = \left(-\frac{N^*}{N_0} \right)^2 \frac{1}{1 - \left(\frac{A_t}{A_i + A_t} \right)^2 (1 - \frac{t}{b})} \quad (5.15)$$

cunoscând că : $A_i + A_t = A$; relația 5.15 devine :

$$\frac{N^*}{N_0} \approx 1 = \left(-\frac{N^*}{N_0} \right)^2 \frac{1}{1 - \left(\frac{A_t}{A} \right)^2 \left(1 - \frac{t}{b} \right)^2} \quad (5.15)$$

S-a reobținut relația 5.2.a. valabilă pentru grinzii omogene.

Dacă acceptăm simplificările :

$$(h-2t) \approx (h-t) \approx h$$

$$A_i = g(h-2t) \approx gh$$

Prinind de la relația (5.9.) care devine :

$$\frac{M'}{M_0} = 1 - \frac{\xi^2}{\frac{K}{2} At \cdot h + \frac{1}{4} Ai \cdot h} \quad (5.17)$$

în care înlocuim valoarea stării inițiale pentru ξ^2

$$\frac{M'}{M_0} = 1 - \left(\frac{N'}{N_0}\right)^2 \frac{\left(Ai + KAt\right)^2}{4G} \frac{1}{\frac{K}{2} \cdot At \cdot h + \frac{1}{4} \cdot Ai \cdot h}$$

trecem la numitor factorul : $(Ai + KAt)^2$

$$\frac{M'}{M_0} = 1 - \left(\frac{N'}{N_0}\right)^2 \frac{1}{\frac{4G}{(Ai + KAt)^2} \cdot \left(\frac{K}{2} At \cdot h + \frac{1}{4} Ai \cdot h\right)}$$

Adunăm la numitor expresia nulă: $K^2At^2 - K^2A_t^2$ și ținem cont de similitatea : $gh = Ai$

$$\frac{M'}{M_0} = 1 - \left(\frac{N'}{N_0}\right)^2 \frac{1}{\frac{K^2At^2}{(Ai + KAt)^2} + \frac{2K \cdot At \cdot Ai}{(Ai + KAt)^2} - \frac{K^2At^2}{(Ai + KAt)^2}}$$

și obține în final relația simplificată:

$$\frac{M'}{M_0} = 1 - \left(\frac{N'}{N_0}\right)^2 \frac{1}{1 - \left(\frac{K \cdot At}{Ai + K \cdot At}\right)^2} \quad (5.18)$$

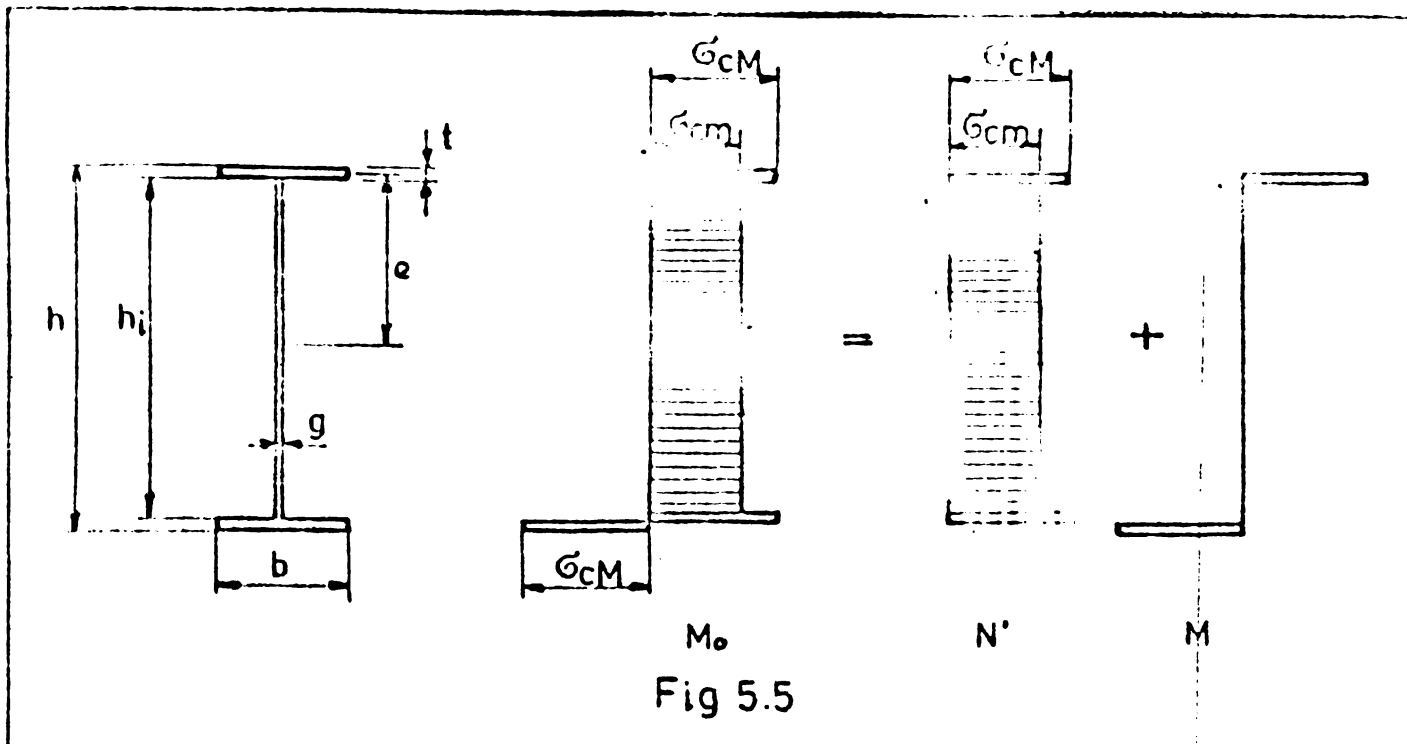
Se constată dispariția termenului $(\frac{\xi}{b})^2$ a cărui influență este puțin semnificativă.

De exemplu pentru dimensiuni $g = 10$ mm și $b = 250$ mm, raportul $(\frac{\xi}{b})^2 = 0,0016$, iar valoarea expresiei $(1 - \frac{\xi}{b})^2 = 0,989$, care practic poate fi egal cu unitatea

5.4.3. Plasticizarea produsă de forță axială se extinde în tălpi.

După ce capacitatea inimii a fost în întregime consumată de forță axială, axa neutră pătrunde în tălpă. În talpa întinsă sau comprimată, după natura forței axiale de întindere sau compresiune.

Studiul se face pe diagramele din fig.5.5.



Valorile solicitărilor N, M care plasifică împreună secțiunea se obțin din ecuațiile de bază.

$$N' = \int \sigma \cdot dA ; M' = \int y \cdot dA$$

$$N' = \sigma_{cm} [g(h-2t) + K 2b(e - \frac{h}{2} + t)]$$

$$N' = \sigma_{cm} [(2t-h)(Kb-g) + 2Kbe] \quad (5.19)$$

$$M' = 2b(\frac{h}{2} - e)\sigma_{cm} \cdot K \left[\frac{h}{2} - \frac{1}{2}(\frac{h}{2} - e) \right] \quad (5.20)$$

unde:

$b(\frac{h}{2} - e)$ reprezintă porțiunea din aria tălpiei plasticizată de moment.

$2 \left[\frac{h}{2} - \frac{1}{2}(\frac{h}{2} - e) \right]$ este brațul cuplului interior

$$M' = Kb(\frac{h}{2} - e)(\frac{h}{2} + e) + Kb(\frac{h^2}{4} - e^2)\sigma_{cm} \quad (5.21)$$

Conform relației (5.7)

$$\frac{N'}{N_0} = \frac{A_e}{A_i + K \cdot A_t}$$

unde în cazul de față A_e are valoare:

$$A_e = A_i + K \cdot A_t = (h-2t)(g-Kb) + Kb \cdot e \quad (5.22)$$

$$\frac{N'}{N_0} = \frac{(h-2t)(\beta-Kb) + 2Kb\epsilon}{A_i + K \cdot A_t} \quad (5.23)$$

Explicităm valoarea ϵ din (5.19) și o introducem în (5.17)

$$\frac{M'}{M_0} = Kb \left\{ \frac{h^2}{4} - \left(\frac{N'}{N_0} \right)^2 \frac{(A_i + KA_t)^2}{4K^2b^2} - \left(\frac{N'}{N_0} \right) \frac{(A_i + KA_t)(Kb - \beta)(h-2t)}{2K^2b^2} - \left[\frac{(Kb - \beta)(h-2t)^2}{2Kb} \right] \cdot 6 \text{ cm} \right\} \quad (5.24)$$

Scriem valorile raportate: $\frac{M'}{M_0}$

$$\frac{M'}{M_0} = \left[\frac{Kb h^2}{4} - \left(\frac{N'}{N_0} \right)^2 \frac{(A_i + KA_t)^2}{4Kb} - \frac{N'}{N_0} \frac{(A_i + KA_t)(Kb - \beta)(h-2t)}{2Kb} - \frac{(Kb - \beta)(h-2t)}{4} \frac{Kb - \beta}{Kb} \right] \frac{1}{\frac{K}{2} \cdot A_t(h-t) + \frac{1}{4} A_i(h-2t)} \quad (5.25)$$

Exprimând valoarea momentului plastic M_0 sub formă:

$$M_0 = 6 \text{ cm} \left[K \frac{bh^2}{4} - \frac{(h-2t)^2}{4} (Kb - \beta) \right]$$

pe care o regăsim în expresia (5.26), expresia (5.25) se poate exprima:

$$\frac{M'}{M_0} = 1 - \left[\left(\frac{N'}{N_0} \right)^2 \frac{(A_i + KA_t)^2}{4Kb} + \frac{N'}{N_0} \frac{A_i + KA_t}{2Kb} (Kb - \beta)(h-2t) - \frac{\beta}{Kb} \frac{(Kb - \beta)(h-2t)^2}{4} \right] \frac{1}{\frac{K}{2} A_t(h-t) + \frac{1}{4} A_i(h-2t)} \quad (5.26)$$

Folosind relațiile evidente:

$$A_i = A_i + KA_t - KA_t; \quad A_i = \beta(h-2t); \quad A_t = 2bt$$

rezultă în final expresia:

$$\frac{M'}{M_0} = 1 - \frac{K \left(\frac{N'}{N_0} \right)^2 - \left(K - \frac{\beta}{b} \right) \left[\frac{N'}{N_0} - \frac{A_i}{A_i + KA_t} \right]^2}{K \left[1 - \left(\frac{KA_t}{A_i + KA_t} \right)^2 \left(1 - \frac{\beta}{Kb} \right) \right]} \quad (5.27)$$

vălbilă pentru $\frac{N'}{N_0} \geq \frac{A_i}{A_i + KA_t}$

Particularizând pentru $K = 1$ și folosind relația evidentă,

$$A_i + A_t = A \text{ obținem:}$$

$$\frac{M'}{M_0} = 1 - \frac{\left(\frac{N'}{N_0}\right)^2 - (1 - \frac{f}{b}) \cdot \left(\frac{N'}{N_0} - \frac{A_i}{A}\right)^2}{1 - \left(\frac{A_i}{A}\right)^2 (1 - \frac{f}{b})^2}$$

S-a găsit relația 5.2b. valabilă pentru grinzi omogene.

5.4.3. Programul HYBRIDE 3; curbele de interacțiune.

Relațiile (5.18) și (5.27) sunt unele într-un sistem de axe de coordonate M/M_0 și N/N_0 , reprezentând o curbă.

Această exprimă totalitatea relațiilor M', N' care acționând simultan conduc la plasticizarea secțiunii. Programul HYBRIDE 3 calculează automat seturi de valori N'/N_0 ; M'/M_0 .

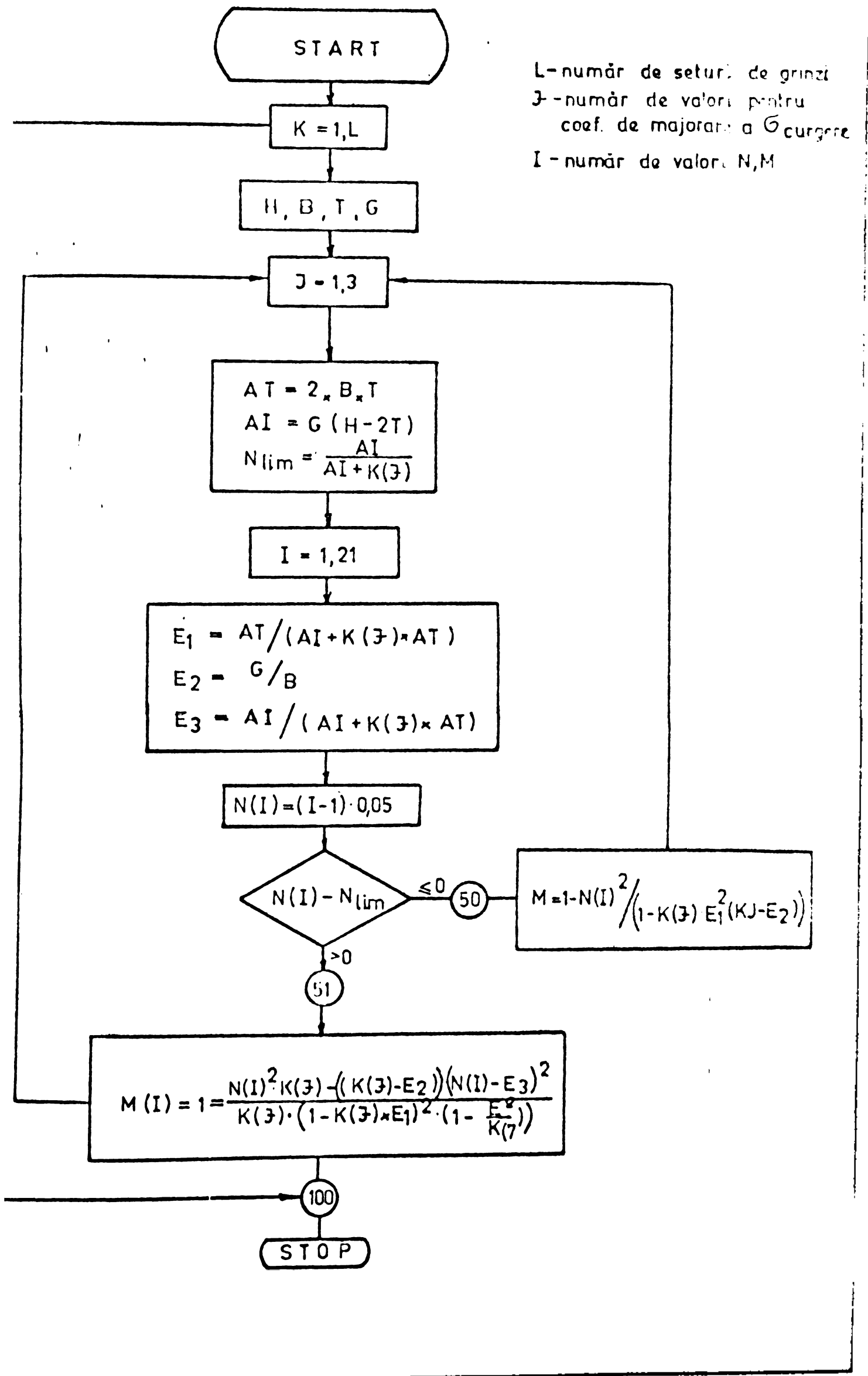
S-au calculat două seturi de grinzi. Fiecare set menține dimensiunile geometrice ale secțiunii și primește trei valori pentru coeficientul de majorare a limitei de curgere $K = \frac{\sigma_{U1}}{\sigma_{cn}}$ ($K=1; 1,5; 3$). Prin aceasta s-a urmărit influența coeficientului K asupra relației de interacțiune M, N . Cele două seturi de grinzi diferă prin coef. β - de răspindire a materialului pe secțiune $\beta = \frac{A_i}{A}$ ($\beta = 0,29; 0,72$).

Astfel în fig.5.6 și fig.5.7 sunt reprezentate curbele pentru "setul de grinzi nr.1 și nr.2" în care s-au menținut dimensiunile geometrice variindu-se parametrul $K=1; K=1,5; K=3$. Curbele arată că pe măsura creșterii parametrului K , pentru aceeași valoare $\frac{N'}{N_0}$, valoarea $\frac{M'}{M_0}$ scade.

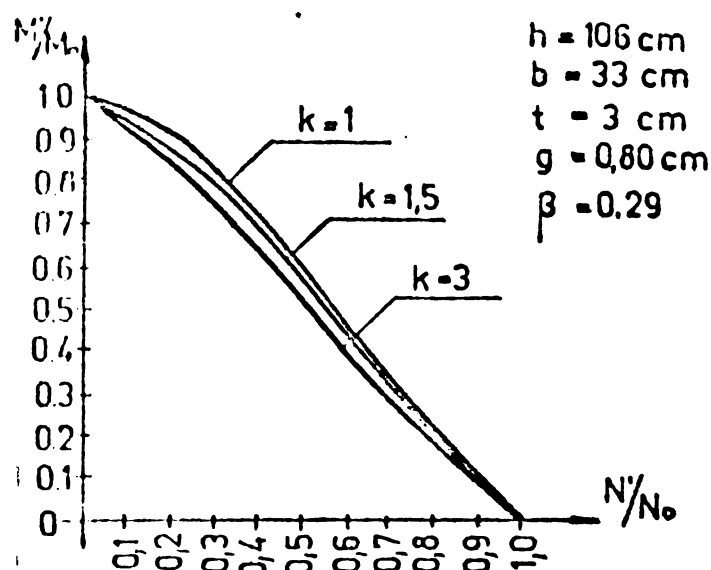
Din acestea se observă că factorii ai rapoartelor $\frac{N'}{N_0}$; $\frac{M'}{M_0}$ sunt funcție de K și deci pentru o anumită valoare a raportului $\frac{N'}{N_0}$ de ex. 0,5

N_0 - are diferențe valori pentru $K=1; 1,5; 3$ curbele $\frac{N'}{N_0}$; $\frac{M'}{M_0}$, rezultând că prezintă relații de interacțiune pentru anumite cozuri particulare, iar compararea lor ne spune că cu creșterea raportului K , grinziile hibride devin mai sensibile la acțiunile solicitărilor axiale.

Concluzii identice se deduc din fig.5.8 în care se compare două grinzi cu același coeficient K , însă cu coeficientul de răspindire a materialului pe secțiune β diferit: grinziile cu coeficient β mic sunt mai sensibile la influența solicitărilor axiale.

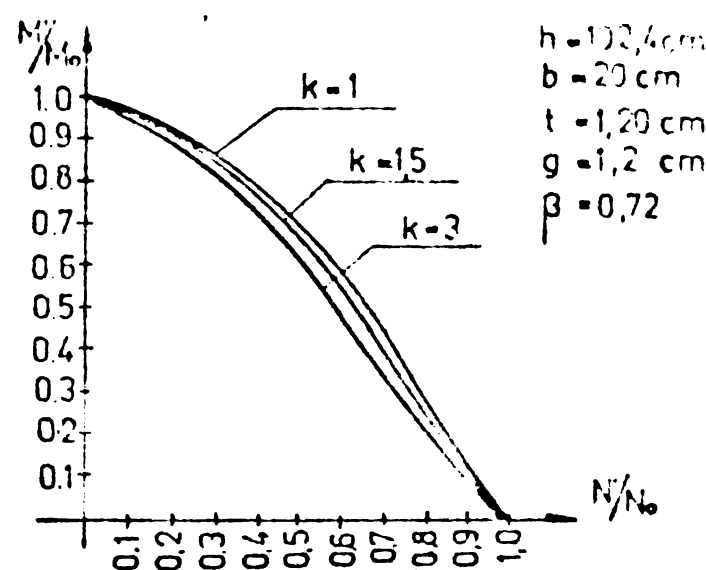


CURBELE DE INTERACȚIUNE



SETUL DE GRINZI ..1..

Fig 5.6



SETUL DE GRINZI ..2..

Fig 5.7

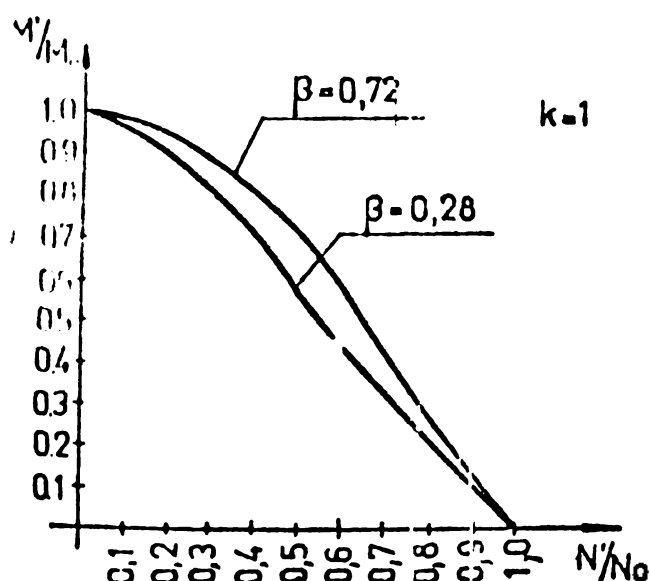


Fig 5.8

Set. 1 — $K = 1; 1.5; 3$; $\beta = 0.29$ $K = \frac{f_{cm}}{f_{cm}}$

Set. 2 — $K = 1; 1.5; 3$; $\beta = 0.72$ $\Delta L = \frac{\Delta L}{A}$

CAPITOLUL 6

GRINZI HIBRIDE CU INIMA PLINA, CU SECȚIUNEA I SUFUSE LA INCOVOCIEREA OBLICA

6.1. Generalități. Se va considera cazul încovoierii oblice fără răsucire. Secțiunile I hibride, fiind dublu simetrice axa neutră și trece prin centrul de greutate al secțiunii atât în domeniul elastic cât și în cel plastic.

Studiul se va face în studiul 4 de plasticizare cu relații pentru funcție de deformare

$$f(\varepsilon) = \begin{cases} \varepsilon_c & \text{pentru } \varepsilon \geq \varepsilon_c^t \\ E\varepsilon & \text{pentru } \varepsilon_c^t \leq \varepsilon \leq \varepsilon_c^c \\ -\varepsilon_c & \text{pentru } \varepsilon \leq \varepsilon_c^c \end{cases} \quad (6.1)$$

unde: ε_c^t - este deformarea specifică corespunzătoare începerii curgerii la tracțiune.

ε_c^c - este deformarea specifică corespunzătoare începerii curgerii la compresiune.

Se consideră că asupra secțiunii lucrează momente de încovoiere și forțe tăietoare după două direcții.

Ele se notează cu M_x , M_y dacă plasticizează secțiunea fără forțe tăietoare.

In cazul existenței forțelor tăietoare T_x, T_y - momentele pe cele două direcții se notează cu M_{xT}, M_{yT} .

În urma solicitărilor exterioare ce lucrează după două direcții axa neutră se înclină cu unghiul ψ în cărei determinare este problema principală.

Odată determinată valoarea unghiului ψ , valorile componentelor momentelor după cele două direcții M_{xT}, M_{yT} și momentul total M_{xy} se determină ușor (fig.6.1).

Se poate arăta simplu că pentru secțiunea I axa neutră treie întotdeauna tălpile adică :

$$\operatorname{tg} \psi > \frac{h}{b} \quad (6.2)$$

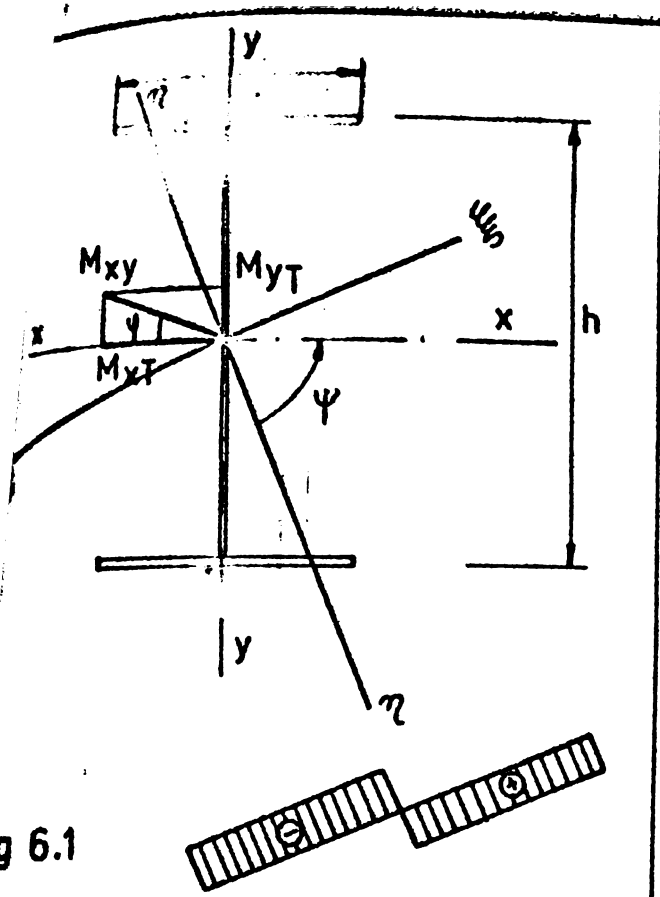


Fig. 6.1

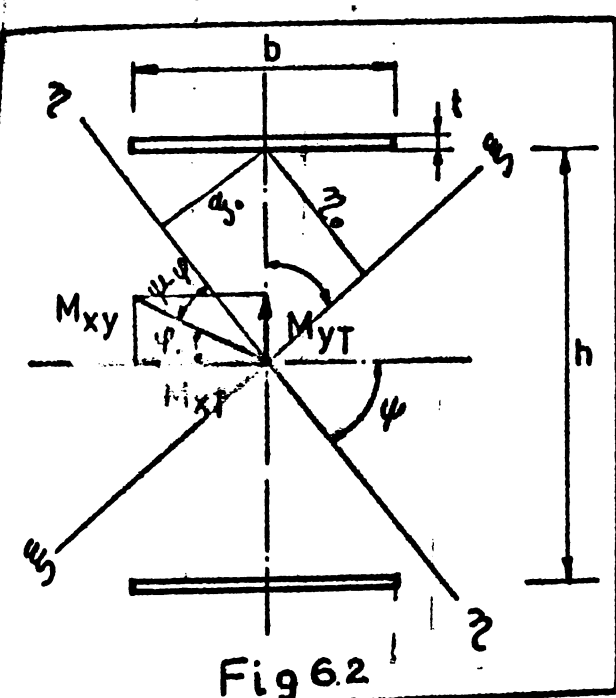


Fig. 6.2

studiată în continuare în mai multe ipoteze de calcul.

6.2. Ipoteza 1^a de calcul: se acceptă că tălpile preiau momentul de încovoiere, iar înima forță tăietoare. Studiul se face în stadiu 4 de plasticizare.

Sub acțiunea forțelor exterioare ce acționează oblic față de axele principale de inerție a secțiunii, se dezvoltă morente de încovoiere după cele două direcții; fie M_{xT} și M_{yT} cele două momente, care la limită plastifică secțiunea. Cele două

Se consideră un caz simplificat, neînțindându-ne contracintinimici la prelucrarea materialului, aceasta fiind rezervată pentru prelucrarea forțelor de tăiere. Conform L.I. 6.2 considerăm cazul că axa neutră nu trece tălpile.

Scriem ecuațiile de echivalență:

$$M_{xy} \cos(\Psi - \varphi) = \sigma_c b t \quad \text{sau}$$

$$M_{xy} \cos(\Psi - \varphi) = \sigma_c b t h \cos \Psi \quad (6.3)$$

$$M_{xy} \sin(\Psi - \varphi) = \sigma_c b t \eta_0 \quad \text{sau}$$

$$(6.4)$$

Impărțind între ele ecuațiile (6.4) prin (6.3)

$$\tan(\Psi - \varphi) = \tan \Psi \quad (6.5)$$

Această relație poate fi satisfăcută numai pentru $\Psi = \varphi$, cazul în care nu avem încovoiere oblică. Însăci se poate trage concluzia că unghiul Ψ ce definește inclinarea axei neutre plastice - la încovoiere oblică trebuie să satisfacă condiția (6.2).

Problema grinzilor hibride solicitate la încovoiere oblică a fost

c mponente dă rezultanta $M_{xy} = \sqrt{M_x^2 + M_y^2}$; ele formă între ele unghiul φ conform relației:

Secțiunea fiind expusă la încovoiere cu un unghi de neutră înclinată cu unghiul ψ față de axa xx' , definiția mărimea "t" din fig.6.3.

Exprimăm valorile momentelor M_{xt}, M_{yt} din expresia generală a momentului plastic a secțiunii hibride conform relației (3).

$$M_{xp} = \left[\frac{1}{4} g(h-2t)^2 d + bt(h-t) \right] \sigma_{CM} \quad (6.6)$$

Eliminăm partea de moment preluată de inimă.

$$M_{xp} = bt(h-t) \sigma_{CM} \quad (6.7)$$

Valearea componentei momentului încovoiator după axa xx' :

$$M_{xt} = M_{xp} - 2at(h-t) \sigma_{CM} \quad (6.8)$$

Dacă exprimăm $M_{xp} = W_{xp} \sigma_{CM}$

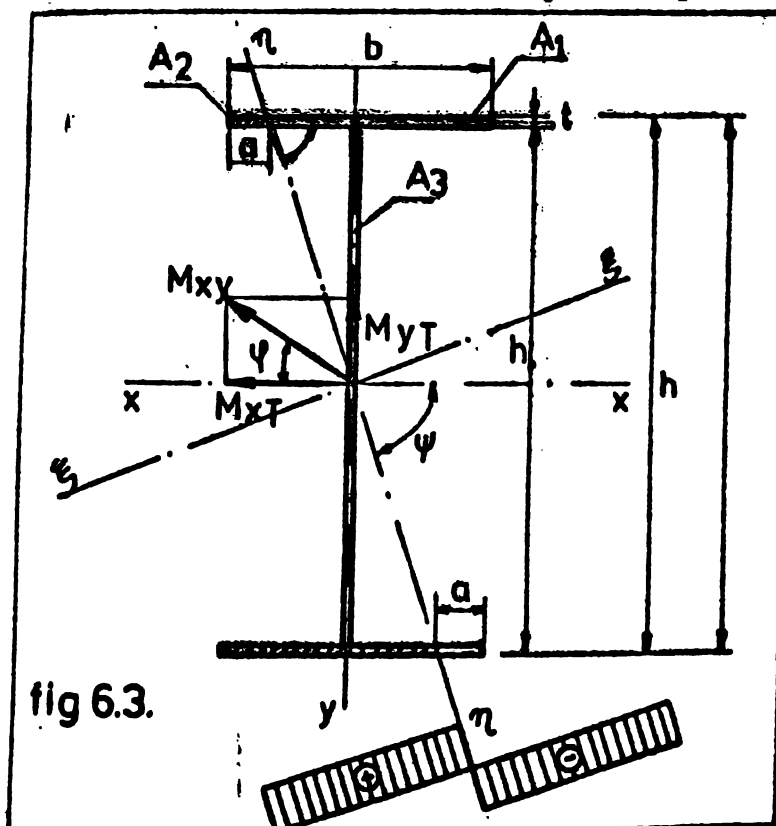


fig 6.3.

$$\begin{aligned} M_{xt} &= M_{xp} \left[1 - \frac{2at(h-t)}{W_{xp}} \sigma_{CM} \right] = \\ &= M_{xp} \left[1 - \frac{2at(h-t)}{W_{xp}} \right] \quad (6.9) \end{aligned}$$

$$\text{Inlocuim: } a = \frac{1}{2} [b - (h-t) \operatorname{ctg} \psi]$$

$$M_{xt} = M_{xp} \left\{ 1 - \frac{2t(h-t)}{bt(h-t)} \frac{\frac{1}{2}[b - (h-t) \operatorname{ctg} \psi]}{2} \right\}$$

$$M_{xt} = M_{xp} \frac{(h-t) \operatorname{ctg} \psi}{b} \quad (6.10)$$

Introducem notația:

$$\rho = \frac{h-t}{b} \cdot \operatorname{ctg} \psi \quad (6.11)$$

$$(6.12)$$

$$M_{xt} = \rho M_{xp}$$

Conducem identic calculul după axa yy' :

$$M_{yt} \approx \frac{1}{2} tb^2 \sigma_{CM} \quad (6.13)$$

$$M_{yt} = M_{yp} - \frac{2 \cdot t(b-2a)^2}{4} \sigma_{CM} \quad (6.14)$$

$$M_{yt} = M_{yp} \left[1 - \frac{t(b-2a)^2}{2 \cdot \frac{1}{2} tb^2} \right] = M_{yp} \left[1 - \frac{(b-2a)^2}{b^2} \right] \quad (6.15)$$

Folosim expresia lui "a"

$$M_{yt} = M_{yp} \left[1 - \frac{\left\{ b - \frac{1}{2} 2 \left[b - (h-t) \operatorname{ctg} \psi \right] \right\}^2}{b^2} \right] \quad (6.16)$$

$$M_{yt} = M_{yp} \left[1 - \frac{(h-t)^2 \operatorname{ctg} \psi^2}{b^2} \right] = M_{yp} (1-\varphi^2) \quad (6.17)$$

$$\text{Compunem cele două momente } \sqrt{M_{xt}^2 + M_{yt}^2} = \sqrt{\rho M_{xp}^2 + (1-\varphi^2) M_{yp}^2} \quad (6.18)$$

expresia ce reprezintă valoarea momentului plastic al secțiunii solicitată sub unghiul ψ .

Mărimea φ - care determină unghiul de inclinare ψ ale axelor neutre plastice se determină astfel:

$$\operatorname{tg} \varphi = \frac{M_{yt}}{M_{xt}} = \frac{(1-\varphi^2) M_{yp}}{\varphi M_{xp}} = \frac{(1-\varphi^2) \frac{1}{\pi} tb^2 \sigma_{CM}}{\varphi tb(h-t) \sigma_{CM}} \quad (6.19)$$

$$\operatorname{tg} \varphi = \frac{(1-\varphi^2) b}{2 \varphi (h-t)} \quad (6.20)$$

Desvoltind găsim o expresie de gradul 2

$$\varphi^2 - 2\varphi \frac{(h-t) \operatorname{tg} \varphi}{b} - 1 = 0. \quad (6.21)$$

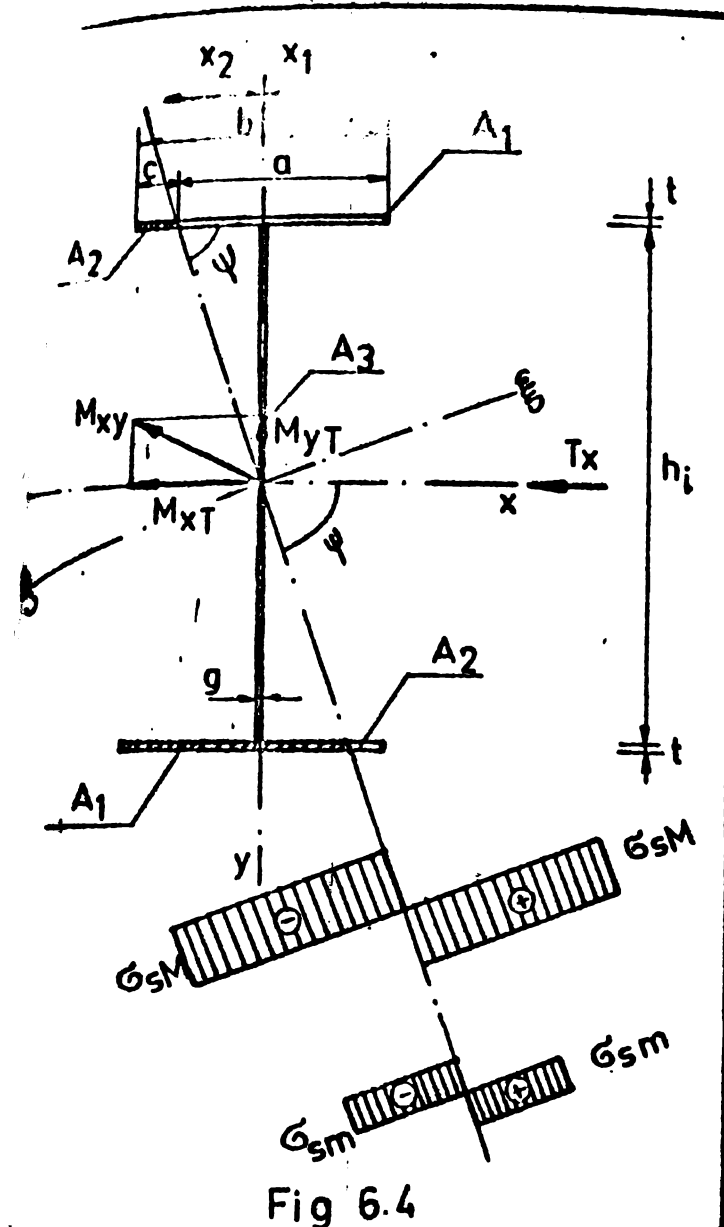
De unde:

$$\varphi = - \frac{\operatorname{tg} \varphi \cdot (h-t)}{b} \pm \sqrt{\left[\frac{\operatorname{tg} \varphi (h-t)}{b} \right]^2 + 1} \quad (6.22)$$

6.3. Ipoteza 2^a de calcul: la preluarea momentului de încovoiere și a forțelor tăietoare participă atât tălpile cât și inima. Forța tăietoare se predă numai inimii, ipoteză de distribuire a ei pe înălțimea inimii fiind cea a lui DUTTON și HEITMAN. Calculul ce conduce în stadiul 4 de plasticizare. Calculul a fost efectuat într-o variantă exactă și într-o aproximativă.

6.3.1. Varianta de calcul exactă

Cu dimensiunile din fig.6.4 calculăm lungimile "a" "c" și arurile A_1 , A_2 , A_3



$$a = \frac{1}{2} [b + (h_i + t) \operatorname{ctg} \psi] \quad (6.24)$$

$$c = \frac{1}{2} [b - (h_i + t) \operatorname{ctg} \psi] \quad (6.24)$$

$$A_1 = \frac{t}{2} [b + (h_i + t) \operatorname{ctg} \psi] \quad (6.25)$$

$$A_2 = \frac{t}{2} [b - (h_i + t) \operatorname{ctg} \psi] \quad (6.26)$$

$$A_3 = \frac{1}{2} s \cdot h_i \quad (6.27)$$

Calculăm coordonatele centrelor de greutate ale suprafețelor A_1, A_2, A_3 față de sistemul xoy

$$x_1 = \frac{1}{4} [b - (h_i + t) \operatorname{ctg} \psi] - \frac{t^2 \operatorname{ctg} \psi}{12 [b + (h_i + t) \operatorname{ctg} \psi]} \quad (6.28)$$

$$x_2 = \frac{1}{4} [b + (h_i + t) \operatorname{ctg} \psi] - \frac{t^2 \operatorname{ctg} \psi}{12 [b - (h_i + t) \operatorname{ctg} \psi]} \quad (6.29)$$

$$x_3 = \frac{t^2}{6h_i} \operatorname{tg} \psi \quad (6.30)$$

$$y_1 = \frac{1}{2}(h_i + t) + \frac{t^2 \operatorname{ctg}^2 \psi}{6 [b + (h_i + t) \operatorname{ctg} \psi]} \quad (6.31)$$

$$y_2 = \frac{1}{2}(h_i + t) - \frac{t^2 \operatorname{ctg}^2 \psi}{6 [b - (h_i + t) \operatorname{ctg} \psi]} \quad (6.32)$$

$$y_3 = \frac{h_i}{4} - \frac{t^2}{12h_i} \operatorname{tg}^2 \psi \quad (6.33)$$

Cu notările acceptate pentru rezistențele de curgere ale obiectului superior și a celui inferior în prezenta forței tăietoare σ_{SM} , scriem expresiile momentelor plastice.

$$M_{xT} = M_{xy}^T \cos \varphi = \int \sigma \cdot dA \cdot y = A_1 y_1 \sigma_{SM} + A_2 y_2 (-\sigma_{SM}) + A_1 (-y_1) (-\sigma_{SM}) + A_2 (-y_1) \sigma_{SM} + A_3 (-y_3) (-\sigma_{SM}) + A_3 y_3 \sigma_{SM}$$

$$M_{xT} = 2 \left[(A_1 y_1 - A_2 y_2) \sigma_{sm} + A_3 y_3 \sigma_{sm} \right] \quad (6.34)$$

$$\begin{aligned} M_{yT} &= M_{xy}^T \sin \varphi = \int_A \sigma \cdot dA \cdot y = A_1 x_1 \sigma_{sm} + A_2 (-x_2) (-\sigma_{cm}) + \\ &+ A_1 (-x_1) (-\sigma_{sm}) + A_2 (x_2) \sigma_{sm} + A_3 x_3 \sigma_{sm} + A_3 (-x_3) (\sigma_{sm}) \end{aligned}$$

$$M_{yT} = 2 \left[(A_1 x_1 + A_2 x_2) \sigma_{sm} + A_3 x_3 \sigma_{sm} \right] \quad (6.35)$$

Introducem în expresiile momentelor plasticelor M_{xT} , M_{yT} valoriile arătoare și a distanțelor de la centrele de greutate calculate mai sus.

$$\begin{aligned} M_{xT} &= 2 \cdot \left\{ \left[\frac{t}{2} \left[b + (h_i + t) \operatorname{ctg} \psi \right] \left[\frac{1}{2} (h_i + t) + \frac{t^2 \operatorname{ctg}^2 \psi}{6 [b + (h_i + t) \operatorname{ctg} \psi]} \right] - \right. \right. \\ &- \frac{t}{2} \left[b - (h_i + t) \operatorname{ctg} \psi \right] \left[\frac{1}{2} (h_i + t) - \frac{t^2}{6 [b - (h_i + t) \operatorname{ctg} \psi]} \right] \left. \right\} \sigma_{cm} + \\ &+ \frac{1}{2} d h_i \left[\frac{h_i}{4} - \frac{g^2}{12 h_i} \cdot \operatorname{tg}^2 \psi \right] \sigma_{sm} \end{aligned}$$

$$M_{xT} = \frac{1}{12} \left\{ 4t \left[3(h_i + t)^2 + t^2 \right] \operatorname{ctg} \psi \sigma_{cm} + d \left[3 dh_i - d^2 \operatorname{tg}^2 \psi \right] \sigma_{sm} \right\} \quad (6.36)$$

$$\begin{aligned} M_{yT} &= 2 \left\{ \frac{t}{2} \left[b + (h_i + t) \operatorname{ctg} \psi \right] \left[\frac{1}{4} \left[b - (h_i + t) \operatorname{ctg} \psi - \frac{t^2 \operatorname{ctg}^2 \psi}{12 [b + (h_i + t) \operatorname{ctg} \psi]} \right] + \right. \right. \\ &+ \frac{t}{2} \left[b - (h_i + t) \operatorname{ctg} \psi \right] \left[\frac{1}{4} \left[b + (h_i + t) \operatorname{ctg} \psi - \frac{t^2 \operatorname{ctg}^2 \psi}{12 [b - (h_i + t) \operatorname{ctg} \psi]} \right] \right] \sigma_{sm} + \\ &\left. \left. + \frac{1}{2} dh_i \cdot \frac{g^2}{6h_i} \cdot \operatorname{tg} \psi \sigma_{sm} \right\} \right\} \end{aligned}$$

$$M_{yT} = \frac{1}{6} \left\{ t \left[3b^2 - 3(h_i + t)^2 + t^2 \right] \operatorname{ctg}^2 \psi \right\} \sigma_{sm} + g^3 \operatorname{tg} \psi \sigma_{sm} \quad (6.37)$$

Folosind ipoteza de curgere a lui Huber-Mises, Hencky, la limita de curgere pentru ojel superior notată cu σ_{cm} putem scrie pentru tălpi:

$$\sigma_{sm}^2 + 3 \tau_t^2 = \sigma_{cm}^2$$

unde: σ_{sm} = este rezistența de curgere în ojel superior în prezența unei forțe trăiescăre.

τ_t - este tensiunea de tăiere din tălpi

$$\text{pe unde } \tilde{\sigma}_{\text{SM}} = \sqrt{\tilde{\sigma}_{\text{CM}}^2 - 3\tau_t^2} \quad (6.38)$$

Putem accepta cu suficientă aproximație o diferență mică a forței tăietoare în cele două direcții în general mai mici a forței tăietoare T_x , relativ cu cea după axa de simetrie $x-x$ ($T_y \ll T_x$) precum și a efortului către care se referă în relații de verificare a efortului comperat în tălpi, ci doar ca o mare parte care ponderează capacitatea portantă a grinzi, influența ei fiind relativ mică (vezi fig. 6.56). Putem deci scrie:

$$\tau_t = \tau_x = \frac{T_x}{2 \cdot b \cdot t_t} \quad (6.39)$$

T_x fiind forța tăietoare după axa $x-x$. Notăm cu T_{xp} forța tăietoare ce plasticizează singură tălpile, valoarea ei va fi:

$$T_{xp} = 2 \cdot b \cdot t_t \tilde{\sigma}_{\text{CM}} \quad (6.40)$$

Considerăm $\tilde{\sigma}_{\text{CM}} = \frac{\tilde{\sigma}_{\text{CM}}}{\sqrt{3}}$ valoare ce o înlocuim în (6.40), se obține:

$$T_{xp} = 2 \cdot b \cdot t_t \cdot \frac{\tilde{\sigma}_{\text{CM}}}{\sqrt{3}}; \quad (6.41) \text{ de unde } \tau_t = \tau_x = \frac{T_x}{T_{xp}} \cdot \frac{\tilde{\sigma}_{\text{CM}}}{\sqrt{3}} \quad (6.42)$$

Expresia (6.38) devine:

$$\tilde{\sigma}_{\text{SM}} = \tilde{\sigma}_{\text{CM}} \sqrt{1 - \left(\frac{T_x}{T_{xp}} \right)^2} \quad (6.43)$$

Folosind același rationament, vom scrie pentru inimă:

$$\tilde{\sigma}_{\text{sm}} = \tilde{\sigma}_{\text{cm}} \sqrt{1 - \left(\frac{T_y}{T_{yp}} \right)^2} \quad (6.44)$$

T_y - fiind forța tăietoare după axa $y-y$.

Cu aceste valori expresiile momentelor plastice M_{xT} ; M_{yT} devin:

$$M_{xT} = \frac{\tilde{\sigma}_{\text{CM}}}{12} \left\{ 4t [3(h_1+t)^2 + t^2] \operatorname{ctg} \Psi \sqrt{1 - \left(\frac{T_x}{T_{xp}} \right)^2} + \right. \\ \left. + g \alpha (3g h_1 - g^2 \cdot \operatorname{tg}^2 \Psi) \sqrt{1 - \left(\frac{T_x}{T_{xp}} \right)^2} \right\} \quad (6.45)$$

$$M_{yT} = \frac{\tilde{\sigma}_{\text{CM}}}{6} \left\{ t [3b^2 - [3(h_1+t)^2 + t^2]] \operatorname{ctg}^2 \Psi \sqrt{1 - \left(\frac{T_y}{T_{yp}} \right)^2} + \right. \\ \left. + g^3 \alpha \operatorname{tg} \Psi \sqrt{1 - \left(\frac{T_y}{T_{xp}} \right)^2} \right\} \quad (6.46)$$

Eliminând M_{xy} din expresiile (6.45)(6.46) se obține:

$$\begin{aligned} \operatorname{tg} \varphi - \frac{M_{yT}}{M_{xT}} &= \frac{\frac{Q_{CM}}{6} \left\{ t \left[3b^2 + \left[3(h_i+t)^2 + t^2 \right] \right] \right.}{\frac{Q_{CM}}{12} \left\{ 4t \left[3(h_i+t)^2 + t^2 \right] \right.} \operatorname{ctg} \varphi \sqrt{1 - \left(\frac{T_y}{T_{xp}} \right)^2} + \\ &\quad + \frac{g^3 \alpha \operatorname{tg} \varphi \sqrt{1 - \left(\frac{T_x}{T_{xp}} \right)^2}}{\left[g^2 (3gh_i - g^2 \operatorname{tg}^2 \psi) \right] \sqrt{1 - \left(\frac{T_x}{T_{xp}} \right)^2}} \end{aligned} \quad (6.47)$$

Explicitând în $\operatorname{tg} \varphi$ expresia (6.47) obținem o ecuație de gradul patru:

$$\begin{aligned} &g^3 \sqrt{1 - \left(\frac{T_x}{T_{xp}} \right)^2} \operatorname{tg} \varphi \operatorname{tg}^4 \psi + 2g^3 \alpha \sqrt{1 - \left(\frac{T_x}{T_{xp}} \right)^2} \operatorname{tg}^3 \psi - \\ &- \left[6t b^2 \sqrt{1 - \left(\frac{T_y}{T_{xp}} \right)^2} - 3g^2 h_i \alpha \sqrt{1 - \left(\frac{T_x}{T_{xp}} \right)^2} \operatorname{tg} \varphi \right] \operatorname{tg}^2 \psi - \\ &- \left[12t(h_i+t)^2 + 4t^3 \right] \sqrt{1 - \left(\frac{T_y}{T_{xp}} \right)^2} \operatorname{tg} \varphi \operatorname{tg} \psi - \\ &- \left[6t(h_i+t)^2 + 2t^3 \right] \sqrt{1 - \left(\frac{T_y}{T_{xp}} \right)^2} = 0 \end{aligned} \quad (6.48)$$

din care se determină necunoscuta ψ , ce determină inclinația axei neutre plastice față de axa x-x.

Se calculează apoi componentele momentelor plastice M_{xT} , M_{yT} și apoi valoarea momentului plastic rezultant:

$$M_{xy} = \sqrt{M_{xT}^2 + M_{yT}^2} \quad (6.49)$$

6.3.2. Varianta de calcul simplificată

Asimilând ariile trapezelor A_1, A_2, A_3 cu dreptunghiuri, relațiile de calcul se simplifică.

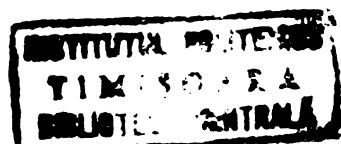
Mărimele ariilor A_1, A_2, A_3 rămân nemodificate.

Coordonatele centrelor de greutate devin:

$$x_1 = \frac{1}{4} [b - (h_i + t) \operatorname{ctg} \psi] \quad (6.50)$$

$$x_2 = \frac{1}{4} [b + (h_i + t) \operatorname{ctg} \psi] \quad (6.51)$$

$$x_3 = 0 \quad (6.52)$$



$$y_1 = y_2 = \frac{1}{2} (h_i + t) ; \quad (6.53)$$

$$y_3 = \frac{h_i}{4} \quad (6.54)$$

Valorile momentelor plasticice M_{xT} ; M_{yT} devin:

$$\begin{aligned} M_{xT} &= 2 [(A_1 y_1 - A_2 y_2) \sigma_{sm} + A_3 y_3 \sigma_{sm}] = \\ &= 2 \left\{ \left[\frac{t}{2} [b + (h_i + t) \operatorname{ctg} \psi] \frac{1}{2} (h_i + t) - \right. \right. \\ &\quad \left. \left. - \frac{t}{2} [b - (h_i + t) \operatorname{ctg} \psi] \frac{1}{2} (h_i + t) \right] \sigma_{sm} + \frac{1}{2} g h_i \cdot \frac{h_i}{4} \sigma_{sm} \right\} \\ M_{xT} &= \frac{1}{4} [4t(h_i + t)^2 \operatorname{ctg} \psi \sigma_{sm} + g h_i^2 \sigma_{sm}] \end{aligned} \quad (6.55)$$

$$\begin{aligned} M_{yT} &= 2(A_1 x_1 + A_2 x_2) \sigma_{sm} = \\ &= 2 \left\{ \frac{t}{2} [b + (h_i + t) \operatorname{ctg} \psi] \frac{1}{4} [b - (h_i + t) \operatorname{ctg} \psi] + \right. \\ &\quad \left. + \frac{t}{2} [b - (h_i + t) \operatorname{ctg} \psi] \frac{1}{4} [b + (h_i + t) \operatorname{ctg} \psi] \right\} \sigma_{sm} \\ M_{yT} &= \frac{t}{2} [b^2 - (h_i + t)^2 \operatorname{ctg}^2 \psi] \sigma_{sm} \end{aligned} \quad (6.56)$$

Introducind relațiile (6.43-6.44) expresiile momentelor plasticice capătă forma:

$$\begin{aligned} M_{xT} &= \frac{1}{4} [4t(h_i + t)^2 \operatorname{ctg} \psi \sigma_{cm} \sqrt{1 - \left(\frac{T_x}{T_{xp}} \right)^2} + g h_i \sigma_{cm} \sqrt{1 - \left(\frac{T_y}{T_{yp}} \right)^2}] \\ &= \frac{\sigma_{cm}}{4} \left[4t(h_i + t)^2 \operatorname{ctg} \psi \sqrt{1 - \left(\frac{T_x}{T_{xp}} \right)^2} + g h_i^2 \alpha \sqrt{1 - \left(\frac{T_y}{T_{yp}} \right)^2} \right] \end{aligned} \quad (6.57)$$

$$\begin{aligned} M_{yT} &= \frac{t}{2} [b^2 - (h_i + t)^2 \operatorname{ctg}^2 \psi] \sigma_{cm} \sqrt{1 - \left(\frac{T_x}{T_{xp}} \right)^2} \\ &= \frac{t \sigma_{cm}}{2} [b^2 - (h_i + t)^2 \operatorname{ctg}^2 \psi] \sqrt{1 - \left(\frac{T_x}{T_{xp}} \right)^2} \end{aligned} \quad (6.58)$$

$$tg \varphi = \frac{\frac{M_{yT}}{2}}{\frac{M_{xT}}{2}} = \frac{\frac{t \sigma_{cm}}{2} [b^2 - (h_i + t)^2 \operatorname{ctg}^2 \psi] \sqrt{1 - \left(\frac{T_x}{T_{xp}} \right)^2}}{\frac{\sigma_{cm}}{4} \left[4t(h_i + t)^2 \operatorname{ctg} \psi \sqrt{1 - \left(\frac{T_x}{T_{xp}} \right)^2} + g h_i^2 \alpha \sqrt{1 - \left(\frac{T_y}{T_{yp}} \right)^2} \right]}$$

Explicitând în $\operatorname{ctg} \psi$ obținem o ecuație de gradul doi

$$2t \cdot (h_i + t)^2 \sqrt{1 - \left(\frac{T_x}{T_{xp}}\right)^2} \operatorname{ctg}^2 \psi + 4t(h_i + t)^2 \operatorname{tg} \psi \sqrt{1 - \left(\frac{T_x}{T_{xp}}\right)^2} \operatorname{ctg} \psi + \\ + \frac{gh_i^2}{k} t \operatorname{tg} \psi \sqrt{1 - \left(\frac{T_y}{T_{yp}}\right)^2} - 2t b^2 \sqrt{1 - \left(\frac{T_x}{T_{xp}}\right)^2} = 0 \quad (6.60)$$

Determinind necunoscuta ψ se calculează momentele plastice, componente $M_x T$, $M_y T$ și momentul rezultant M_{xy} .

6.3.3. Neglijînd grosimea tălpiei "t" față de înălțimea inițială "h_i" relația (6.60) se simplifică și mai mult.

$$2t h_i^2 \operatorname{tg} \psi \sqrt{1 - \left(\frac{T_y}{T_{xp}}\right)^2} \operatorname{ctg}^2 \psi + 4t h_i^2 \sqrt{1 - \left(\frac{T_x}{T_{xp}}\right)^2} \operatorname{ctg} \psi + \\ + \frac{gh_i^2}{k} \operatorname{tg} \psi \sqrt{1 - \left(\frac{T_y}{T_{yp}}\right)^2} - 2t b^2 \sqrt{1 - \left(\frac{T_x}{T_{xp}}\right)^2} = 0 \quad (6.61)$$

6.4. Programul HYBRIDE 4

Pentru determinarea valorilor " $\operatorname{ctg} \psi$ ", " $M_x T$ ", " $M_y T$ ", " M_{xy} " și $M_x T / M_{xp}$ s-a întocmit programul "HYBRIDE 4" pe baza variantei de la pct. 6.32, folosindu-se relațiile de calcul (6.60) pentru determinarea unghiului de înclinare a axei neutre plastice și (6.55); (6.56) pentru determinarea valorilor $M_x T$, $M_y T$, și (6.49) pentru M_{xyT} .

Programul s-a întocmit cu următorii parametri:

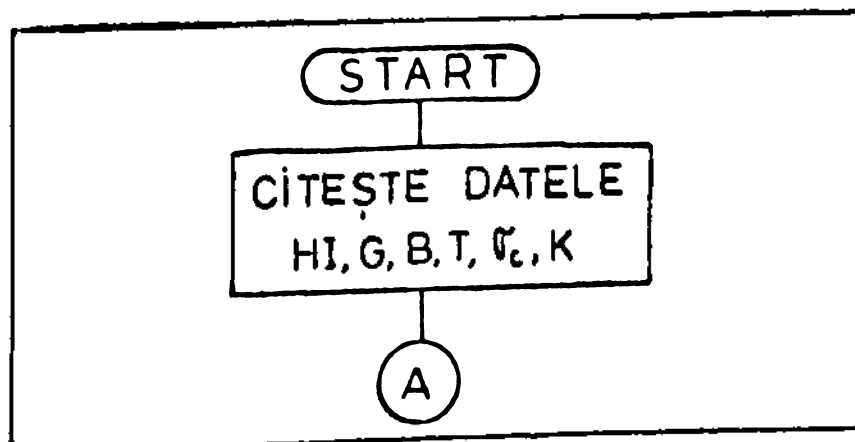
- numărul de valori dat coeficientului de majorare a limitei de curgere $k = \frac{1}{\alpha} = \frac{6 \text{ CM}}{6 \text{ cm}} : L = 3$ (1; 1.5; 3)

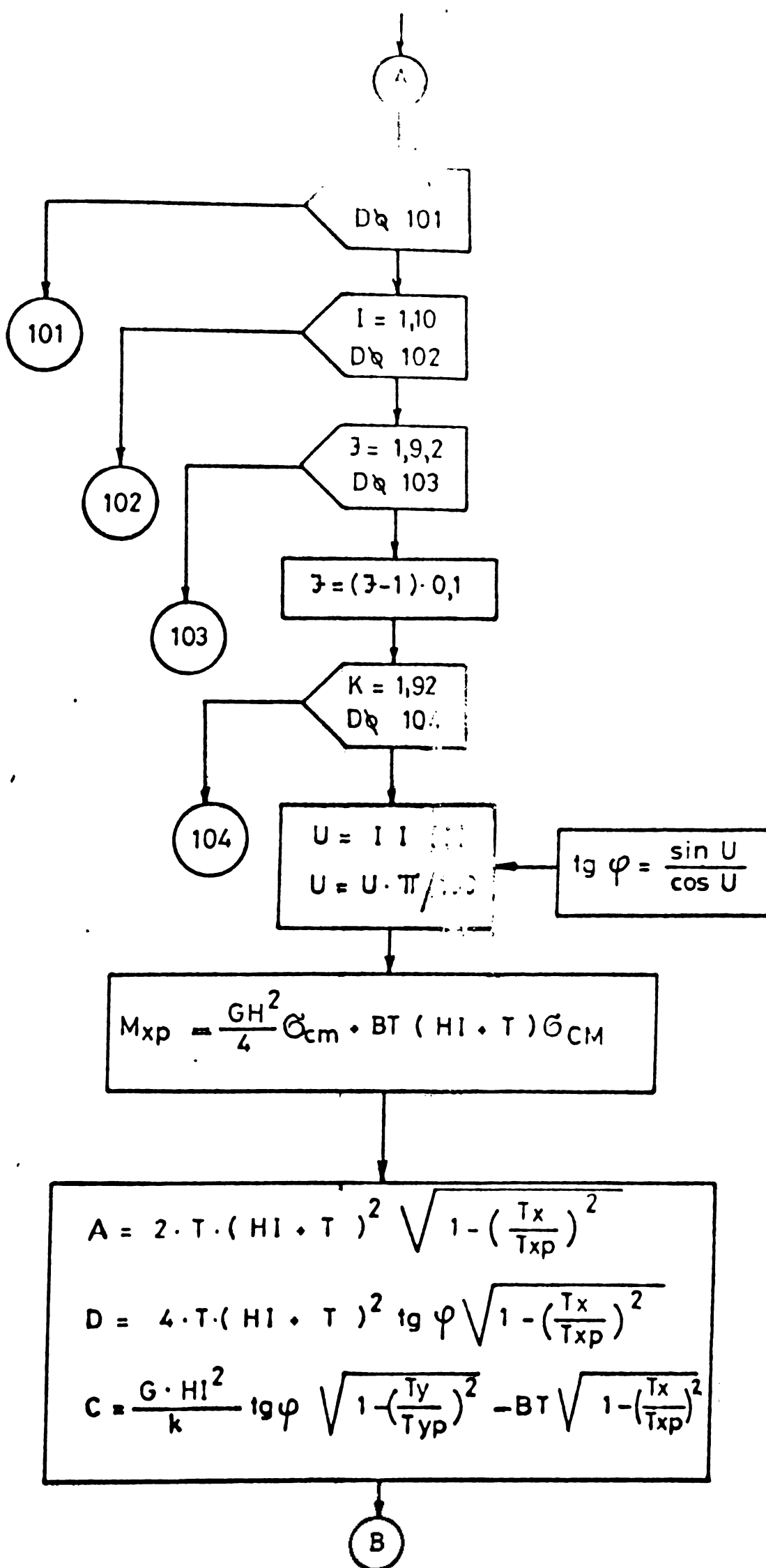
- numărul de valori pentru unghiul ψ , ce definește rezultanta acțiunii forțelor exterioare; $I = 10$ (1,2,3,5,7,10,15,20,25,30).

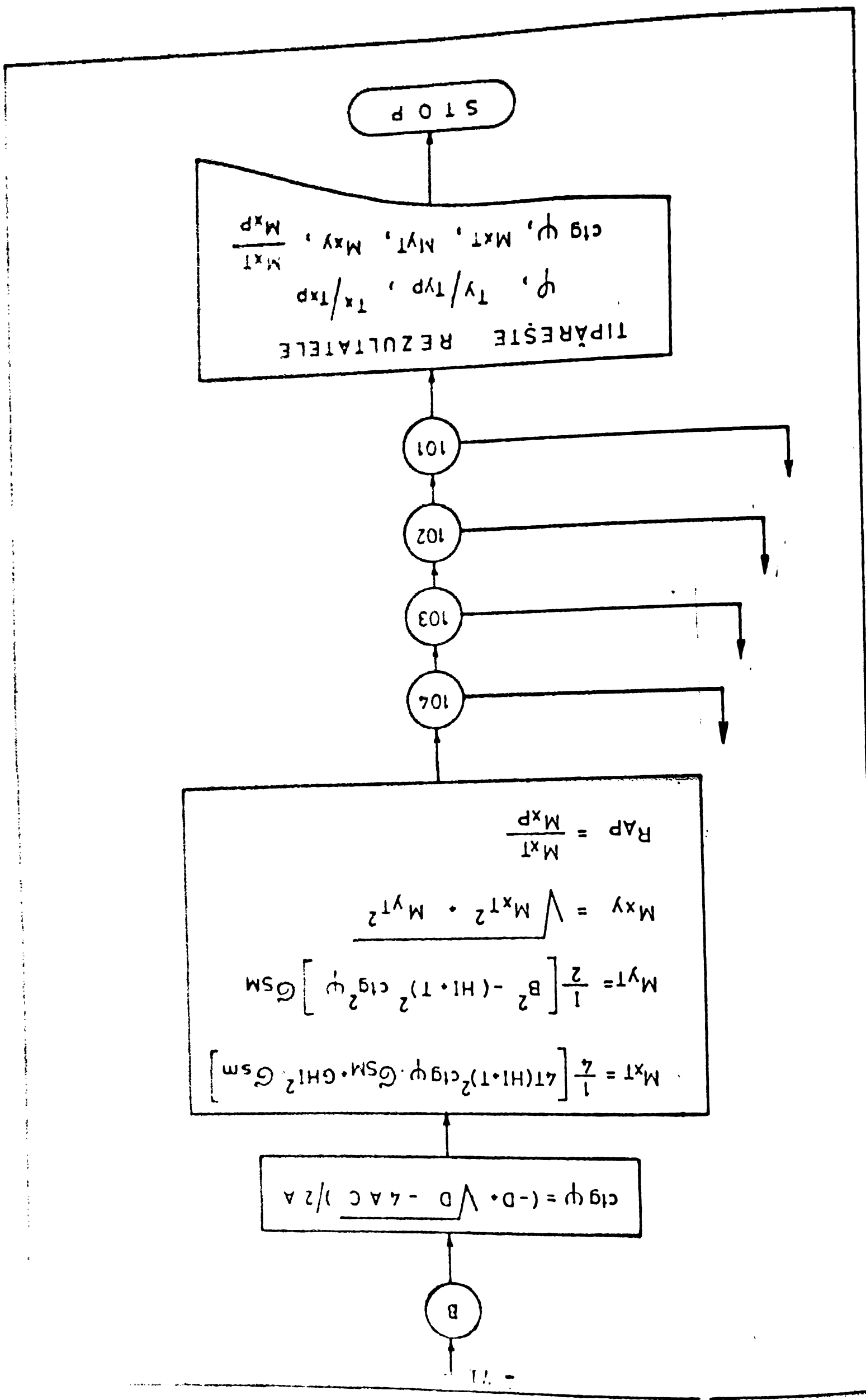
- numărul de valori pentru raportul $\frac{T_y T}{T_{yp}} = j = 5(0; 0,2; 0,4; 0,6; 0,8)$.

- numărul de valori pentru raportul $\frac{T_x T}{T_{xp}} = k = 5(0; 0,2; 0,4; 0,6; 0,8)$.

6.4.1. Schema logică a programului







6.5. Comentarea rezultatelor; concluzii

Programul Hybride oferă posibilitatea că se determină, prin un set de date ce caracterizează dimensiunile geometrice ale profilului unui unghi (h_i, g, b, t) precum și rezistențe de curgere, respectiv coef. de majorare a rezistenței de curgere K, valorile mărimilor M_{xT}, M_{yT}, M_{xy} și M_{xT}/M_{xP} pentru unghiuri de inclinare (1-30°) și diverse rapoarte ale valorilor TxT/TxP și TyT/TyP.

Transpunând pe un sistem de axe de coordonate valorile M_{xy}/M_{yP}; TxT/TxP (fig.6.5a) și M_{xy}/M_{xP}, TyT/TyP (fig.6.5b) se constată că valorile M_{xy} scad cu creșterea valorilor TyT și TyT și anume că scăderea este mai accentuată în cazul valorilor TxT, decare forța tăietoare după x-x afectează capacitatea portantă a tălpilor – elementele care aduc contribuția principală la valoarea momentului M_x, respectiv M_{xT}. Astfel reducerea lui M_{xy} este de cca 30% pentru Tx = 0,8 TxP și de 6% pentru Ty=0,8 TyP.

Se constată de asemenea o reducere a valorilor M_{xy} cu creșterea unghiului φ, creșterea fiind proporțională cu tg φ. Astfel la o valoare a unghiului φ = 30°, valoarea momentului M_{xy} = 0,13 TxP pentru φ = 0°. Această reducere masivă a lui M_{xy} se explică prin faptul că profilul testat este adekvat pentru preluarea acțiunilor după axa z-z fiind cu tălpi relativ înguste.

În (fig.66a) și (66b) se arată influența coeficientului de majorare a rezistenței de curgere K asupra valorilor M_{xy}, pentru diferite valori ale unghiului de inclinare a rezultantei acțiunilor exterioare φ și ale valorilor rapoartelor Tx/TxP și Ty/TyP. Se constată o creștere foarte importantă a valorilor M_{xy} cu creșterea coeficientului K. Astfel pentru φ = 1° și Ty/TyP = 0 și Ty/TyP = 0 creșterea lui M_{xy} este cu 40% pentru K=1,5 și cu 165% pentru K=3 în comparație cu valoarea lui M_{xT} pentru K=1. Graficele atestă aceleasi constatări privind scăderea valoiei lui M_{xy}, cu creșterea unghiului φ, precum și cu creșterea raportului TyT/TyP și TxT/TxP.

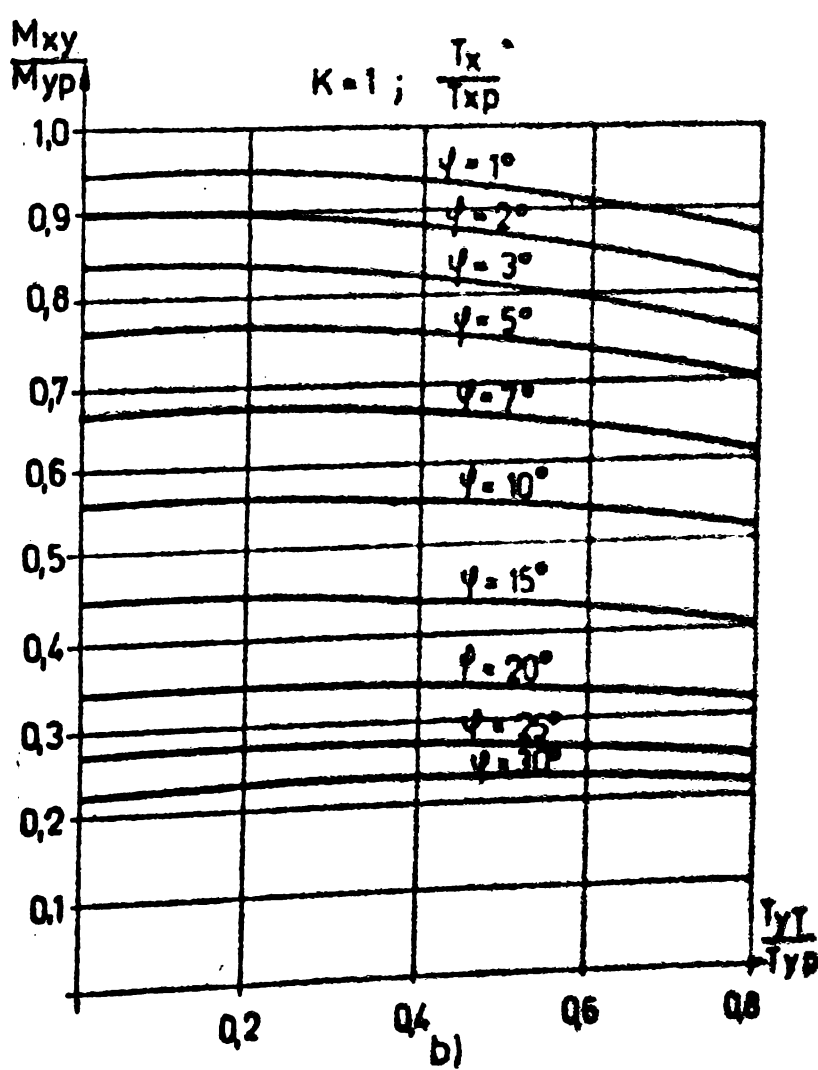
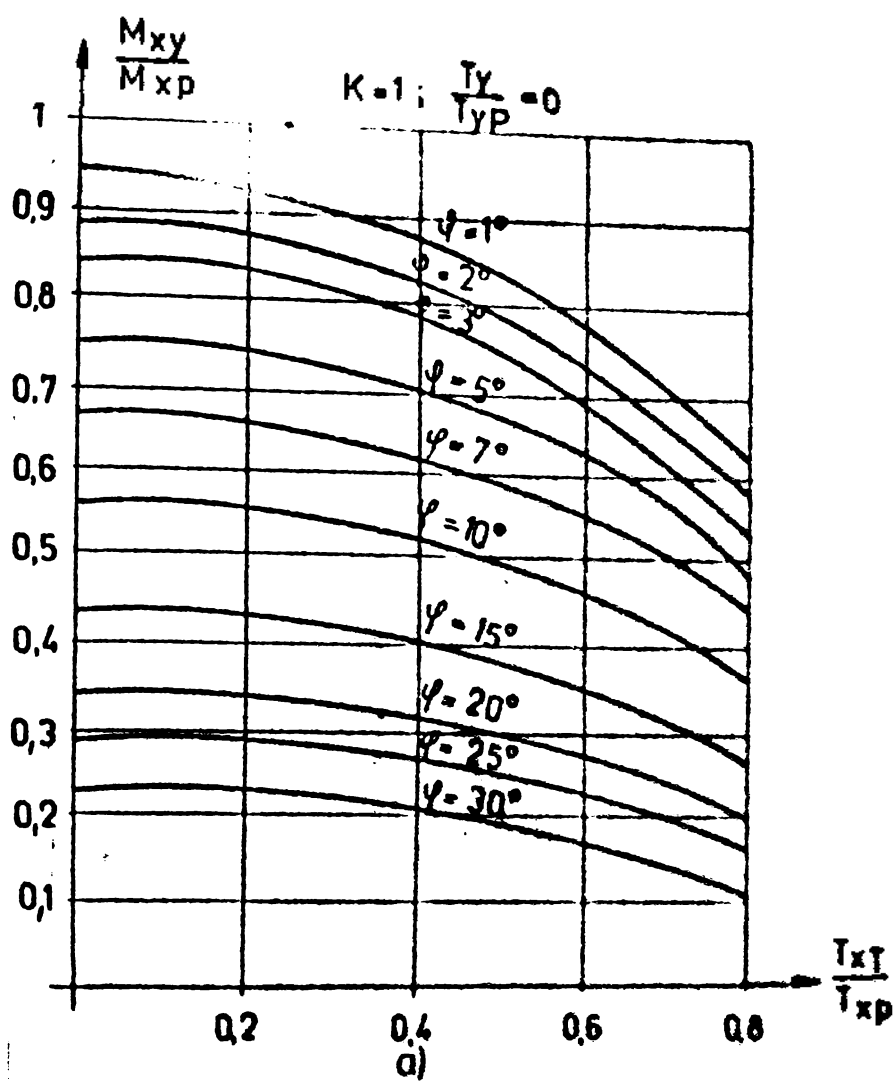


Fig. 6.5

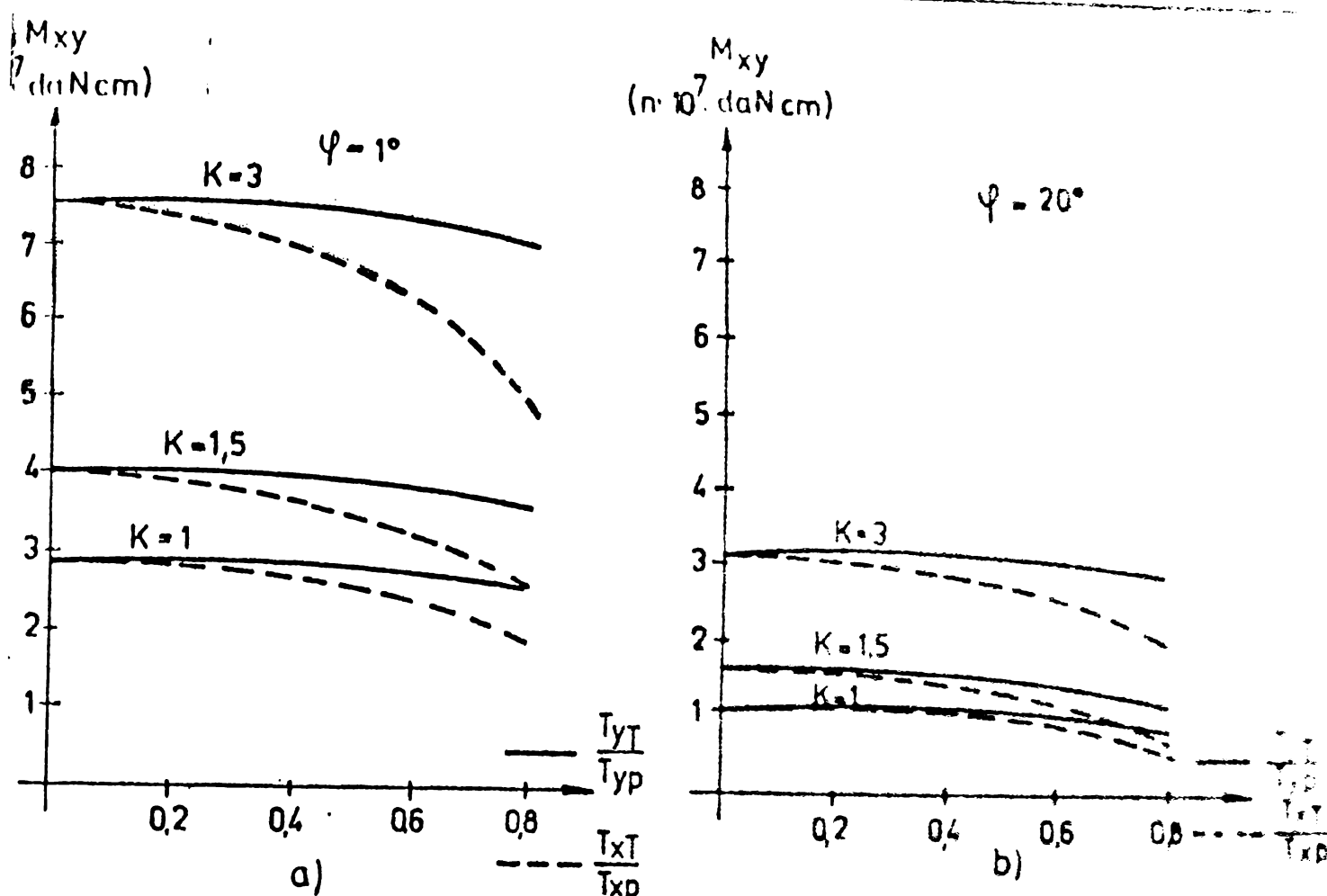


Fig 6.6

CAPITOLUL 7

COMPORTAREA SECTIUNILOR HIBRIDE LA ACTIUNEA SIMULTANA A MOMENTULUI DE INCOVIOIRE, A FORTEI AXIALE SI A FORTEI TAIETOARE; RELATII DE INTERACTIUNE.

7.1. Generalități. Problema acțiunii simultane a celor trei solicitări este înținută curent în practică în special la elementele cadrelor; stîlpii și grinziile cadrelor sub încercări obișnuite sunt solicitate simultan la M' , N' , T' .

Studii privind comportarea diverselor secțiuni la acțiunea simultană a celor trei solicitări s-au făcut în diverse ipoteze de distribuție a eforturilor de tăiere prezentate în capitolul (4.1).

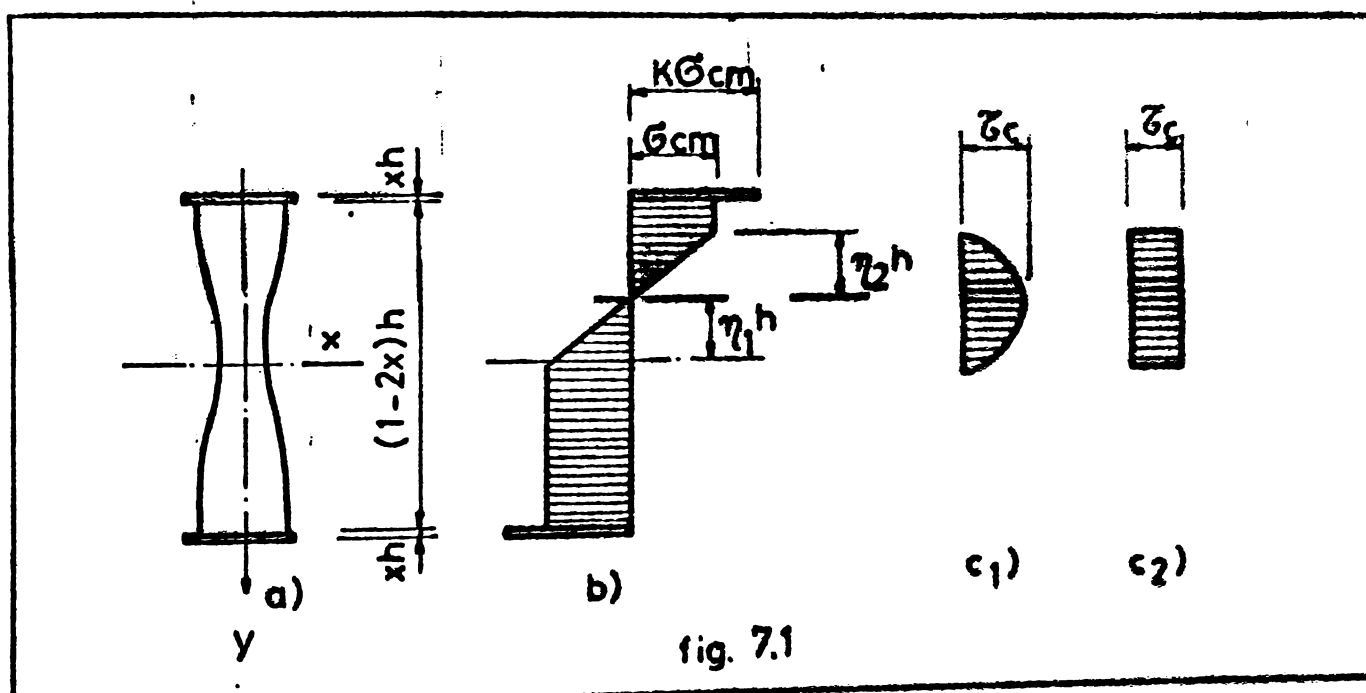
Astfel pentru secțiuni dreptunghiulare omogene au fost făcute studii de Prager, Green, Horne, pentru secțiuni I omogene de către Klöppel, Yamada, Windels.

7.2. Stabilirea expresiei generale a condiției de surgere
n secțiunilor hibride.

Luză o secțiune carecăre hibridă, dublu simetrică solicitată la MNT, solicitări care lucrând simultan conduc la surgerea întregii secțiuni, cum se prezintă în fig.7.1.

Starea de eforturi pe secțiune poate fi definită de următoarele parametri:

- dimensiunile geometrice ale secțiunii
- $\eta_1 h$, distanța ce definește poziția axei neutre plastice față de centrul de greutate al secțiunii.
- $2 \eta_2 h$, mărimea ce definește extensiunea simburelui elastic.
- K raportul $\frac{G_{CM}}{G_{om}}$



- a) secțiunea hibridă dublu simetrică
b) distribuția eforturilor normale G
c₁, c₂) diverse posibilități privind distribuția eforturilor G
Expresiile analitice pentru M', N', T' se pot scrie sub forma:

$$N' = \sum \int_{-\eta_1 h}^{\eta_2 h} k_i G_{i,y} dA_{i,y} - \sum \int_{\eta_2 h}^{2\eta_2 h} k_i G_{i,y} dA_{i,y}$$

$$M' = \sum \int_{-\eta_1 h}^{\eta_2 h} k_i G_{i,y} dA_{i,y} + \sum \int_{-\eta_2 h}^{-\eta_1 h} k_i G_{i,y} dA_{i,y} \quad (7.1)$$

$$T' = \int_{(\eta_1 - \eta_2)h}^{(\eta_1 + \eta_2)h} G dA_{i,y}$$

unde Δ_i , K_i se referă la secțiunile cu G_{cm} și $K = 1$, și G_{cm} , c.

Dacă notăm cu N_o , M_o și T_o valorile acestrei solicitări, în parte capabilă singură să planteze secțiunea, acestea se pot exprima:

$$\begin{aligned} N_o &= K G_{cm} A_t + G_{cm} \Delta_i \\ M_o &= A_{lt} K G_{cm} h + \frac{g h_i^2}{4} G_{cm} \\ T_o &= \frac{G_{cm}}{3} \Delta_i \end{aligned} \quad (7.2)$$

Integrator ecuațiile (7.1), folosind expresiile (7.2) și eliminând parametrii η_1 , η_2 se obține ecuația condiției de curgere sub forma generală:

$$u \left(\frac{M'}{M_o} \right)^2 + v \left(\frac{N'}{N_o} \right)^2 + w \left(\frac{T'}{T_o} \right)^2 = 1 \quad (7.3)$$

unde coeficienții u, v, w sunt constanți și depind de raportul mărimilor η_1, η_2 care în fond caracterizează raportul mărimilor M', N', T' .

Condițiile de curgere exprimate prin ecuații de tipul (7.3) și reprezentate într-un sistem de coordinate $\frac{M}{M_o}, \frac{N}{N_o}, \frac{T}{T_o}$ conduc la o suprafață denumită "poliedul de curgere".

Mărimile η_1, η_2 care definesc anumite raporturi între mărimile M, N, T , putând lua o multitudine de valori, definesc tot atâtea cazuri ale condiției de curgere; în situație cind acestea iau valori particulare, acestea conduc la cazuri particulare ale curgerii, care reprezintă curbe particulare pe suprafața poliedrului de curgere, fiind cazuri particulare ale expresiei (7.3).

Proiecțiile curbelor de pe suprafața poliedrului de curgere pe cele trei plane de referință, reprezintă cazuri particulare cind una din mărimile M, N, T este nulă.

7.3. Conceptii privind definirea capacitatii portante a grinziilor hibride solicitate la M', N', T' .

Asemănător cu conceptiile expuse în capitolul 4.2 pentru grinziile hibride solicitate la $M'T'$ și aici vom deosebi două măduiri în definirea capacitatii portante:

a. Conceptia plasticisării tuturor elementelor componente

o unei grinzi hibride, stabilindu-se relații între valori M, N, T care conduc la plasticizare și pierdere capacitate portantă, cind toate elementele sale se plasticizează complet.

b) Concepția după care capotarea unei grinzi se poate produce cind numai unele din elementele grinziei ating și epuizarea capacitatea portantă.

In continuare sunt prezentate studii privind capacitatea portantă a grinziei hibride solicitată la M, N, T în cele două concepții.

Studiul se conduce sub forma analitică pentru concepția de la 7.3.a și sub forma de integrare numerică a ecuațiilor (2.2) pentru concepția de la 7.3.b.

Pentru studiul concret al unor grinzi hibride s-a elicitat programele de calcul denumite HYBRIDE.

7.4. Comportarea unei secțiuni hibride I la acțiunile simultană a lui M, N, T ; relații de interacțiune; studiu analitic în conceptul plasticizării tuturor elementelor secțiunii.

Considerăm solicitările M, N, T pe secțiune, care acționând simultan produc plasticizarea întregii secțiuni.

Se acceptă o distribuție simplificată a efortului σ pe secțiune, conform ipotezei lui Dutton și Heyman (fig.4.1c) constantă pe înălțimea inimii. Efortul normal disponibil în zona inimii devine conform ipotezei lui Huber-Mises

$$\sigma_s = \sqrt{\sigma_{cm}^2 - 3\sigma'^2} \text{ sau } \sigma_s = \sigma_{cm} \cdot \sqrt{1 - \frac{3\sigma'^2}{\sigma_{cm}^2}}$$

Dacă notăm cu: $\xi = \frac{A_{lt}}{A}$ obținem

$$A_{lt} = \xi A; A_i = (1-2\xi) A \quad (7.4)$$

Determinăm M_o, N_o, T_o , mărimele secționale care plasticizează fiecare din părți secțiunee:

$$M_o = A_{lt} K \cdot \sigma_{cm} \cdot h + \frac{gh_i^2}{4} \sigma_{cm} = \sigma_{cm} h \left(A_{lt} K + \frac{A_i}{4} \right)$$

Inlocuind A_{lt}, A_i conform (7.4)

$$M_o = \sigma_{cm} h \left[\xi K A + \frac{(1-2\xi)}{4} A \right] = \frac{\sigma_{cm} h A}{4} (1+4K\xi - 2\xi) \quad (7.5)$$

$$N_o = K \tilde{G}_{cm} \cdot A_t + \tilde{G}_{cm} A_i = \tilde{G}_{cm} \left[2 \xi_{AK} + (- \xi_{AS}) A_i \right] \quad (7.6)$$

$$T_o = \frac{\tilde{G}_{cm} A}{\sqrt{3}} (1 - 2 \xi) \quad (7.7)$$

În funcție de raportul mărimilor M, N, T pot apărea două căzuri distincte.

1. Cazul în care axa neutră plastică rămâne în domeniul inimii.

2. Cazul în care axa neutră plastică intră în talpă.

7.4.1. Cazul 1. Axa neutră plastică se află în domeniul inimii; cazul este definit de parametrii

$$0 < \xi < \frac{\tilde{G}_c}{\sqrt{3}} ; \quad 0 < \gamma_1 < \frac{1}{2} ; \quad \gamma_2 = 1$$

$\gamma_1 h$ - definește porțiunea de inimă plasticizată de forța axială;

$\gamma_2 \tilde{G}_{cm}$ - definește porțiunea din talpă plasticizată de moment.

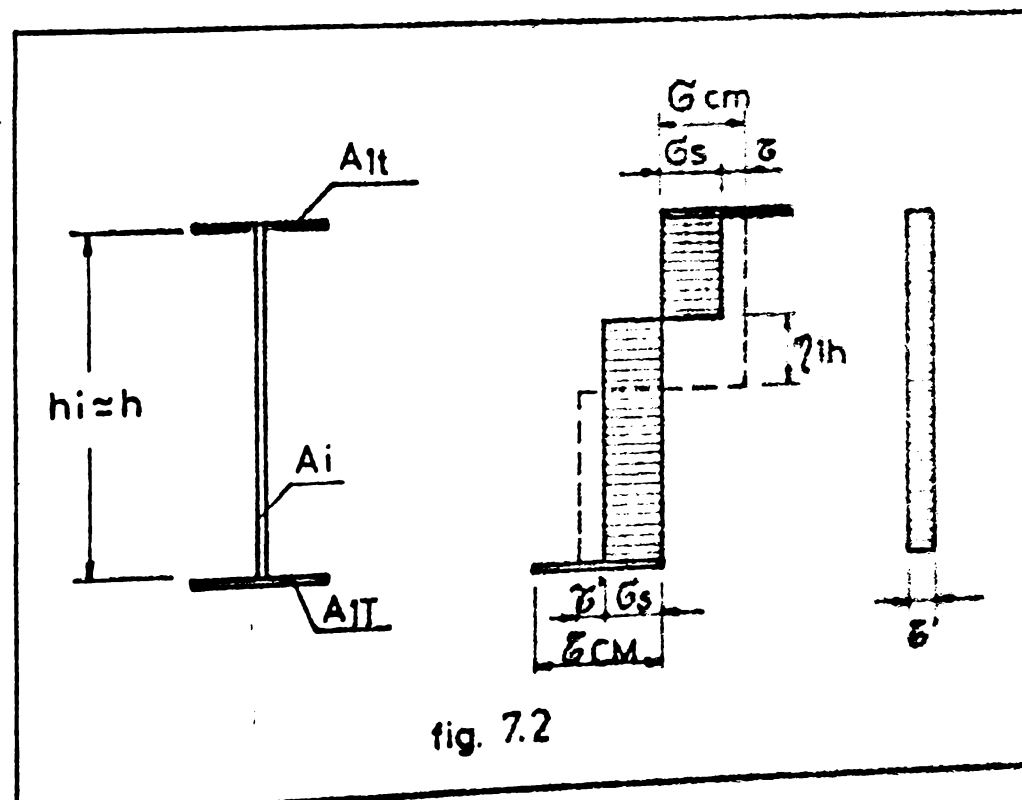


fig. 7.2

$$M' = K \tilde{G}_{cm} A_i t \cdot h + \tilde{G}_{cm} \frac{\rho h^2}{4} \sqrt{1 - \frac{3 \gamma_1^2}{\tilde{G}_{cm}^2}} \tilde{G}_{cm} (\gamma_1 h)^2 \delta \sqrt{1 - \frac{\tau'^2}{\tilde{G}_{cm}^2}}$$

Folosind relațiile (7.4)

$$M' = K \tilde{G}_{cm} \xi A h + (\tilde{G}_{cm} \frac{\rho h}{4} \cdot h - \tilde{G}_{cm} \gamma_1^2 \cdot \delta h^2) \sqrt{1 - \frac{\tau'^2}{\tilde{G}_{cm}^2}} \quad (7.8)$$

$$M' = \tilde{G}_{cm} A h \left[\xi K + (1-2\xi) \left(\frac{1}{4} - \gamma_1^2 \right) \sqrt{1 - \frac{3 \tau'^2}{\tilde{G}_{cm}^2}} \right] \quad (7.8)$$

$$N' = 2 \tilde{G}_{cm} A_i (-2\xi + 1) \sqrt{1 - \frac{3 \tau'^2}{\tilde{G}_{cm}^2}}$$

$$N' = 2 \tilde{G}_{cm} A (1-2\xi) \gamma_1 \sqrt{1 - \frac{3 \tau'^2}{\tilde{G}_{cm}^2}} \quad (7.9)$$

$$T' = A (1-2\xi) \tau' \quad (7.10)$$

Exprimăm valori raportate:

$$m = \frac{M'}{M_0}; n = \frac{N'}{N_0}; q = \frac{T'}{T}$$

$$m = \frac{\tilde{G}_{cm} \cdot A h [K\xi + (1-2\xi)(\frac{1}{4} - \gamma_1^2) \sqrt{1 - \frac{3 \tau'^2}{\tilde{G}_{cm}^2}}]}{\tilde{G}_{cm} \frac{A h}{4} (1 + 4K\xi - 2\xi)}$$

Adunăm și scădem la numărător expresia $(1-2\xi)$

$$m = \frac{4K\xi + (1-2\xi)(1-4\gamma_1^2) \sqrt{1 - \frac{3 \tau'^2}{\tilde{G}_{cm}^2}} + (1-2\xi) - (1-2\xi)}{1+4K\xi - 2\xi} \quad (7.11)$$

$$(1-2\xi) \left[1 - (1-4\gamma_1^2) \sqrt{1 - \frac{3 \tau'^2}{\tilde{G}_{cm}^2}} \right]$$

$$m = 1 - \frac{1+4K\xi - 2\xi}{1+4K\xi - 2\xi} \quad (7.11)$$

$$h = \frac{2\gamma_1(1-2\xi)A \sqrt{1 - \frac{3 \tau'^2}{\tilde{G}_{cm}^2}}}{A(2\xi K - 2\xi + 1)} \quad (7.12)$$

$$q = \frac{A(1-2\xi)\tau'}{\tilde{G}_{cm} \frac{A}{\sqrt{3}} (1-2\xi)} = \frac{\sqrt{3}\tau'}{\tilde{G}_{cm}} \quad (7.12)$$

Restringem cele trei ecuații, eliminând parametrul γ_1 : explicităm γ_1 din (7.12) și q^2 din (7.13) și le introducem în (7.11)

$$\text{Din (7.12)} \quad 4\gamma_1^2 = \frac{n^2 (2K\xi - 2\xi + 1)^2}{(1-2\xi)^2 (\sqrt{1-q^2})^2}$$

$$\text{Din (7.13)} \quad q^2 = \frac{2\tau^2}{\sigma_{cm}^2}$$

$$(m-1)(1+4K\xi - 2\xi) = (1-2\xi) \left[1 - (1-4\gamma^2) \sqrt{1-q^2} \right]$$

După transformări successive se obține expresia poliedrului de curgere în m, n, q

$$\frac{(m-1)(1+4K\xi - 2\xi)}{1-2\xi} + \frac{n^2(2K\xi - 2\xi + 1)^2}{(1-2\xi)^2 \sqrt{1-q^2}} - \sqrt{1-q^2} + 1 = 0 \quad (7.14)$$

Relația (7.14) este valabilă în domeniul $0 < \gamma_1 < \frac{1}{2}$; introducând la limită $n_1 = \frac{1}{2}$ în relația (7.12) obținem:

$$n = \frac{(1-2\xi) \sqrt{1-q^2}}{2K\xi - 2\xi + 1} \quad (7.15)$$

7.4.2. Cazul 2. Axa neutră plastică se află în talpă:

Cazul este definit de parametri:

$$0 < \tau < \frac{\sigma_{cm}}{\sqrt{3}} ; -1 < \gamma_2 < 1$$

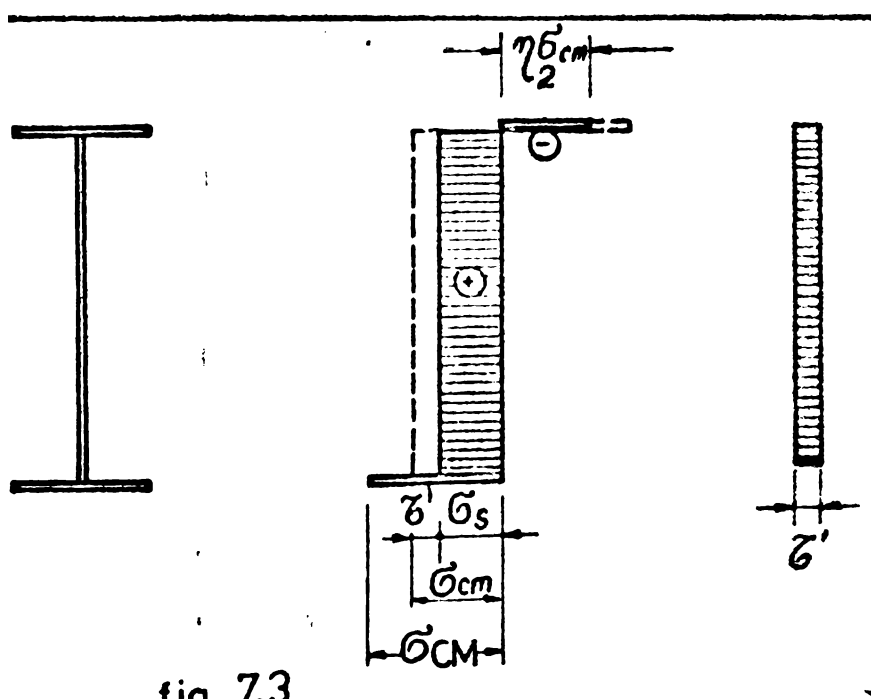


fig. 7.3

$$M' = K \sigma_{cm} \xi \wedge \frac{h}{2} + K \gamma_2 \sigma_{cm} \xi \wedge \frac{h}{2} = K \sigma_{cm} h A (1 + \gamma_2) \frac{\xi}{2} \quad (7.16)$$

$$N' = K \sigma_{cm} \xi A - K \gamma_2 \sigma_{cm} \xi A + \sigma_{cm} A (1-2\xi) \sqrt{1 - \frac{2\tau^2}{\sigma_{cm}^2}}$$

$$N' = \sigma_{cm} A \left[(1 - \gamma_2) K \xi + (1-2\xi) \sqrt{1 - \frac{2\tau^2}{\sigma_{cm}^2}} \right] \quad (7.17)$$

$$T' = A (1 - 2\xi) \tau'$$

Exprimăm valori raportate m, n, q

$$m = \frac{M'}{M_0} = \frac{\frac{K\sigma_{cm} h}{\sigma_{cm} h A} \Lambda(1+\gamma_2) \frac{\xi}{2}}{\frac{4}{\sigma_{cm} h A} (1+4K\xi - 2\xi)} = \frac{2\Lambda(1+\gamma_2)}{1+4K\xi}$$

$$n = \frac{N'}{N_0} = \frac{\sigma_{cm} \Lambda \left[(1-\gamma_2) K\xi + (1-2\xi) \sqrt{1-\frac{3\tau'^2}{\sigma_{cm}^2}} \right]}{\sigma_{cm} \Lambda (2K\xi - 2\xi + 1)}$$

$$n = \frac{(1-\gamma_2) K\xi + (1-2\xi) \sqrt{1-\frac{3\tau'^2}{\sigma_{cm}^2}}}{2K\xi - 2\xi + 1} \quad (7.19)$$

$$q = \frac{T'}{T_0} = \frac{\frac{A(1-2\xi)\tau'}{\sigma_{cm} \Lambda}}{\frac{\sqrt{3}}{\sigma_{cm}} (1-2\xi)} = \frac{\sqrt{3}\tau'}{\sigma_{cm}} \quad (7.20)$$

Restrinționăm cele trei ecuații (7.18), (7.19), (7.20), eliminând parametrul γ_2 ; explicităm q^2 din (7.20) și γ_2 din (7.19) și le introducem în (7.18).

$$\text{Din (7.20)} \quad q^2 = \frac{3\tau'^2}{\sigma_{cm}^2}$$

$$\text{Din (7.19)} \quad (1-\gamma_2) = \frac{n(2K\xi - 2\xi + 1) - (1-2\xi) \sqrt{1-q^2}}{K\xi}$$

$$m(1+4K\xi - 2\xi) + 2n(2K\xi - 2\xi + 1) - 2(1-2\xi) \sqrt{1-q^2} - 4K\xi = 0 \quad (7.21)$$

Relația (7.21) definește condiția de curgere și într-un sistem de coordinate, m, n, q reprezintă așa numitul "poliedru de curgere".

Introducând limită inferioară de valabilitate a domeniului $\gamma_2 = 1$ în expresia (7.19) se obține valoarea limită a lui "n"

$$n = \frac{(1-2\xi) \sqrt{1-q^2}}{2K\xi - 2\xi + 1}$$

obținută identică cu cea din cazul I pentru limită superioară (7.15)

7.4.3. Întocmirea programului HYBRIDE "2."

Pentru a transpune într-o reprezentare plană ecuațiile poliedrului de curgere (7.14) și (7.21) impunem drept parametrii curanți m, n iar pentru parametrul q – dăm valori discrete q_1, q_2, \dots, q_n ; vom obține pentru fiecare casă concretă cîte o curbă

reprezentată în planul de coordonate m, n .

Explicităm parametrul "m" din ecuațiile (7.14) și (7.21).

Pentru cazul 1: axa neutră plastică situată în domeniul inimii cu ecuația (7.14).

$$m = \frac{1}{1+4K\xi - 2\xi} \left[(1-2\xi) \left(\sqrt{1-q^2}-1 \right) - \frac{n^2(2K\xi - 2\xi + 1)}{(1-2\xi)\sqrt{1-q^2}} \right] + 1 \quad (7.22)$$

Pentru cazul 2: axa neutră plastică situată în domeniul unei tălpi cu ecuația (7.21).

$$m = \frac{1}{1+4K\xi - 2\xi} \left[4K\xi + 2(1-2\xi)\sqrt{1-q^2} - 2n(2K\xi - 2\xi + 1) \right] \quad (7.23)$$

Limita ce desparte domeniul de valabilitate a celor două curbe este definită de relația (7.15) după cum urmează:

pentru $\alpha < n < \frac{(1-2\xi)\sqrt{1-q^2}}{2K\xi - 2\xi + 1}$, valabilă ec (7.22)

pentru

$$n > \frac{(1-2\xi)\sqrt{1-q^2}}{2K\xi - 2\xi + 1} \text{ valabilă ec (7.23)}$$

Pentru simplificarea scrierii introducem următoarele notăjii:

$$E_1 = 1+4K\xi - 2\xi ;$$

$$E_5 = K\xi$$

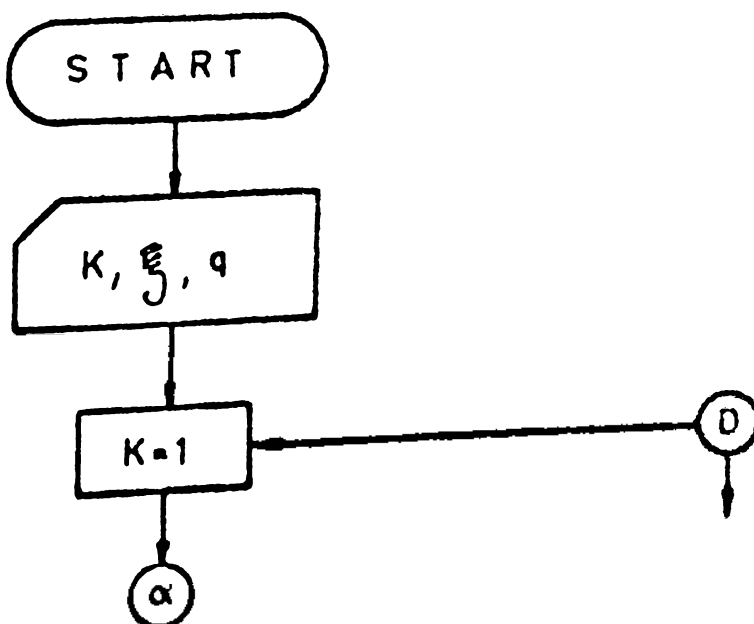
$$E_2 = 1-2\xi ;$$

$$E_6 = 2K\xi - 2\xi + 1 = 2E_5 + E_2$$

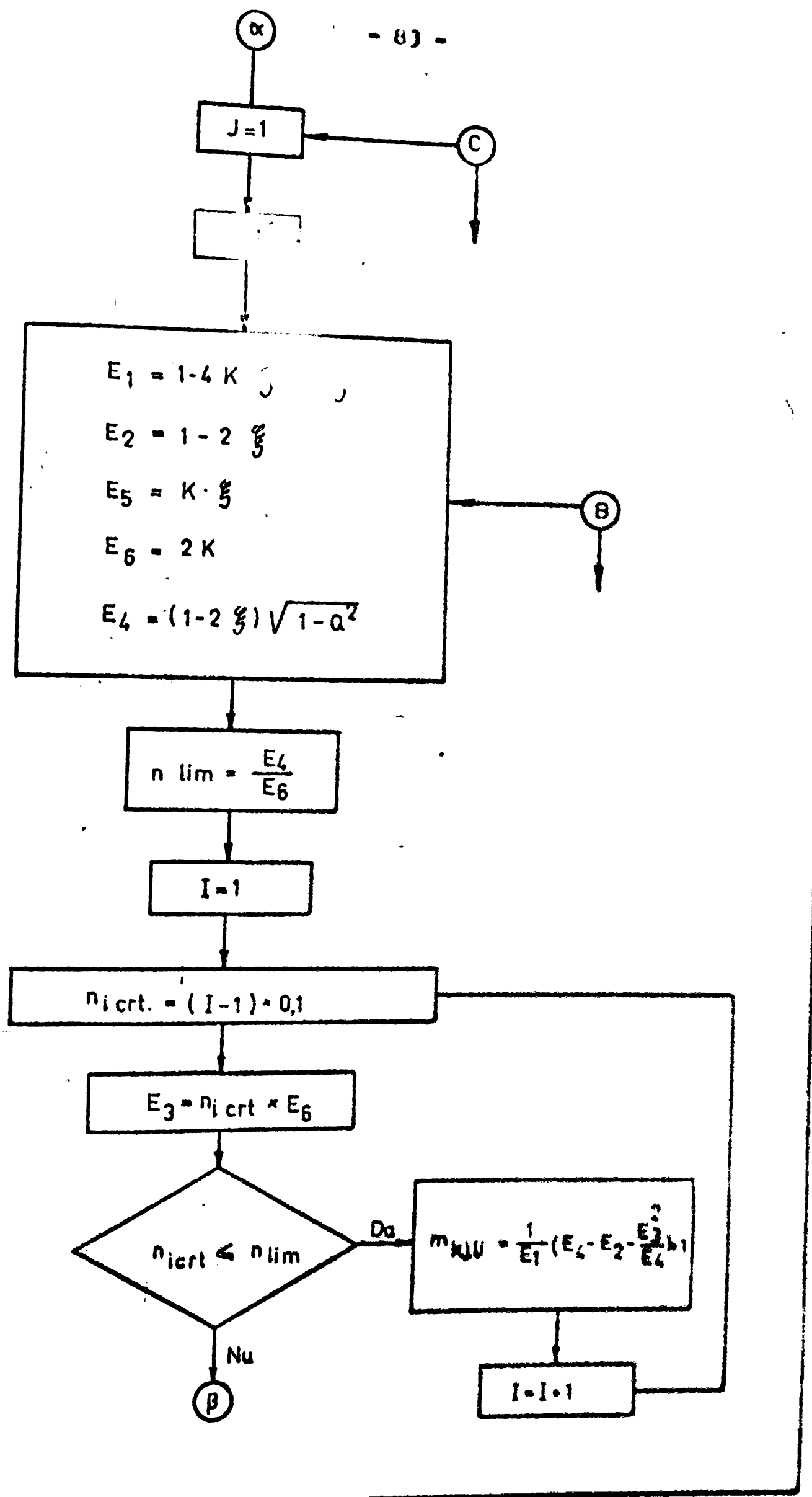
$$E_4 = (1-2\xi)\sqrt{1-q^2};$$

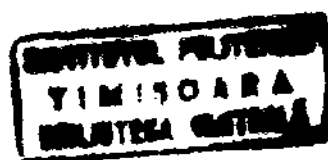
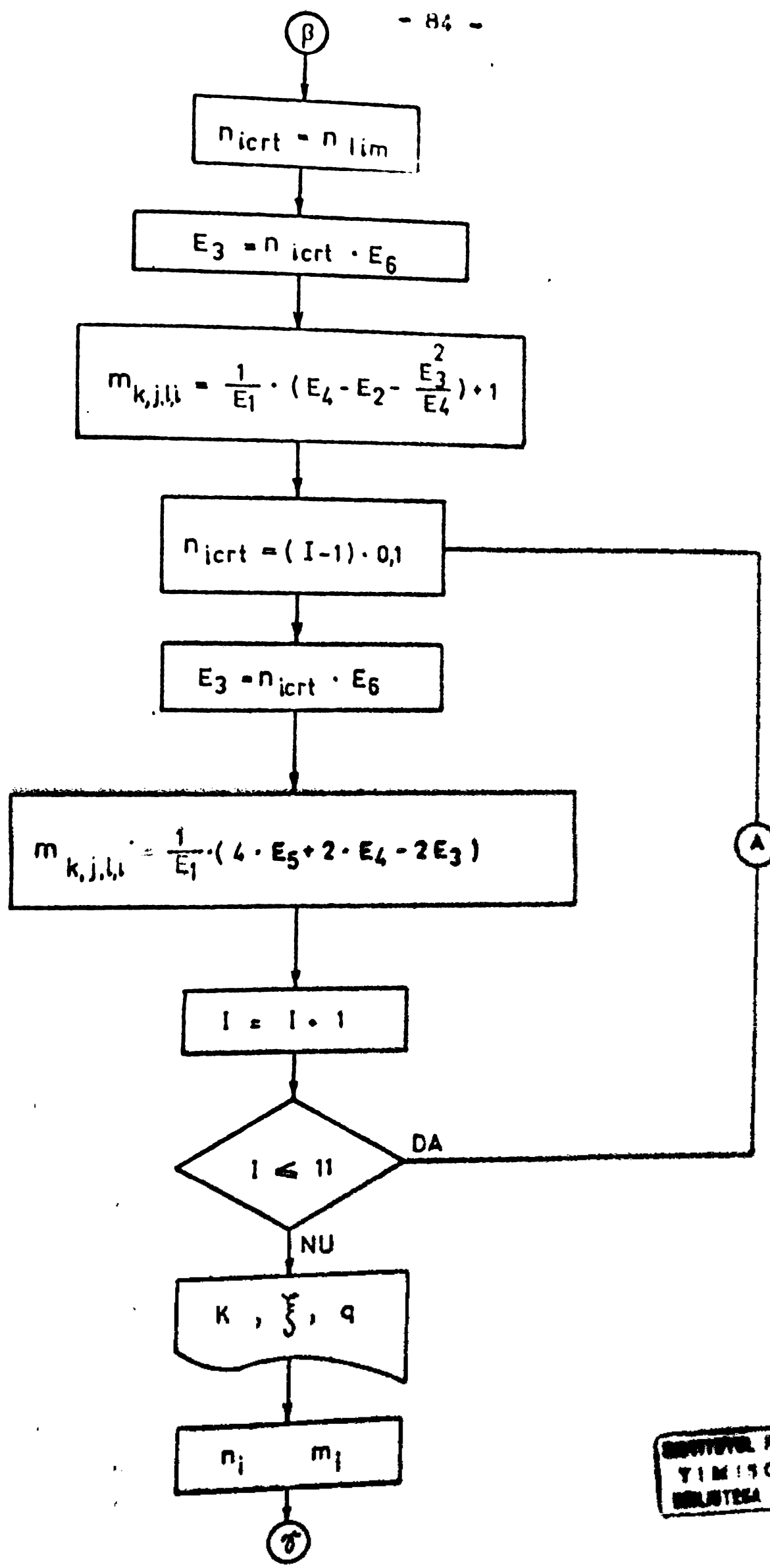
$$E_3 = nE_6 = n(2K\xi - 2\xi + 1)$$

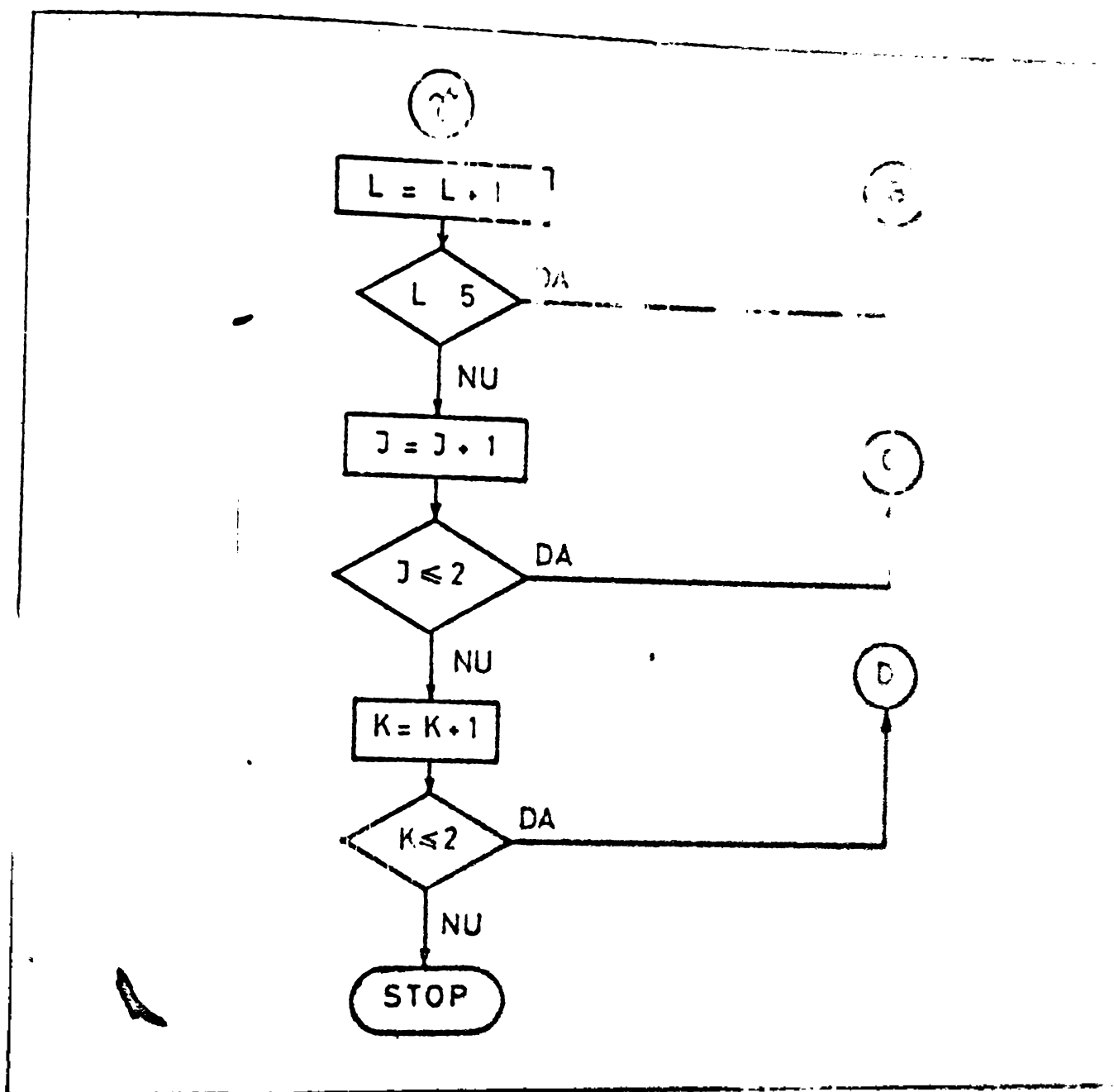
7.4.4. Schema logică a programului "HYBRIDE 2"



- 83 -







S-au folosit următoarele notări și valori pentru parametri:

parametrul K - notăția K - valori: 1,5; 2,5

" ζ - " J - " $\rightarrow 0,25; 0,40$

" q - " ξ - " $\rightarrow 0,2; 0,4; 0,8; 0,99$

7.4.5. Rezultatele obținute prin programul "HYBRIDE 2": interpretarea rezultatelor.

S-au calculat patru seturi de valori. Rezultatul s-a transpus pe patru grafice în fig. 7.4 a, b, c, d.

Fiecare curbă corespunde unei valori discrete K, ζ, q , variindu-se în ordine q, ζ, K .

Graficele sunt direct operante, astfel: pentru cazul de fig. 7.4a ($\zeta = 0,250; K = 1,50$) pentru $n = 0,4$ și $q = 0,8$ rezultă $m = 0,7$ - adică: prin consumarea a 40% din capacitatea scagiu.

la forțe axiale N_o - și la 80% din ce solicitarea este la tăietoare T_o , secțiunea e capabilă să suportă 70% din capacitatea la momentul M_o .

Bineînțele - diagramele în otinute și învers marea a 70% din M_o și a 40% din N_o - secțiunea poate suporta din T_o .

Programul permite variația parametrilor f , x , k ducând la realizarea unei corespunzătoare de curbe.

Considerații asupra rezultatelor:

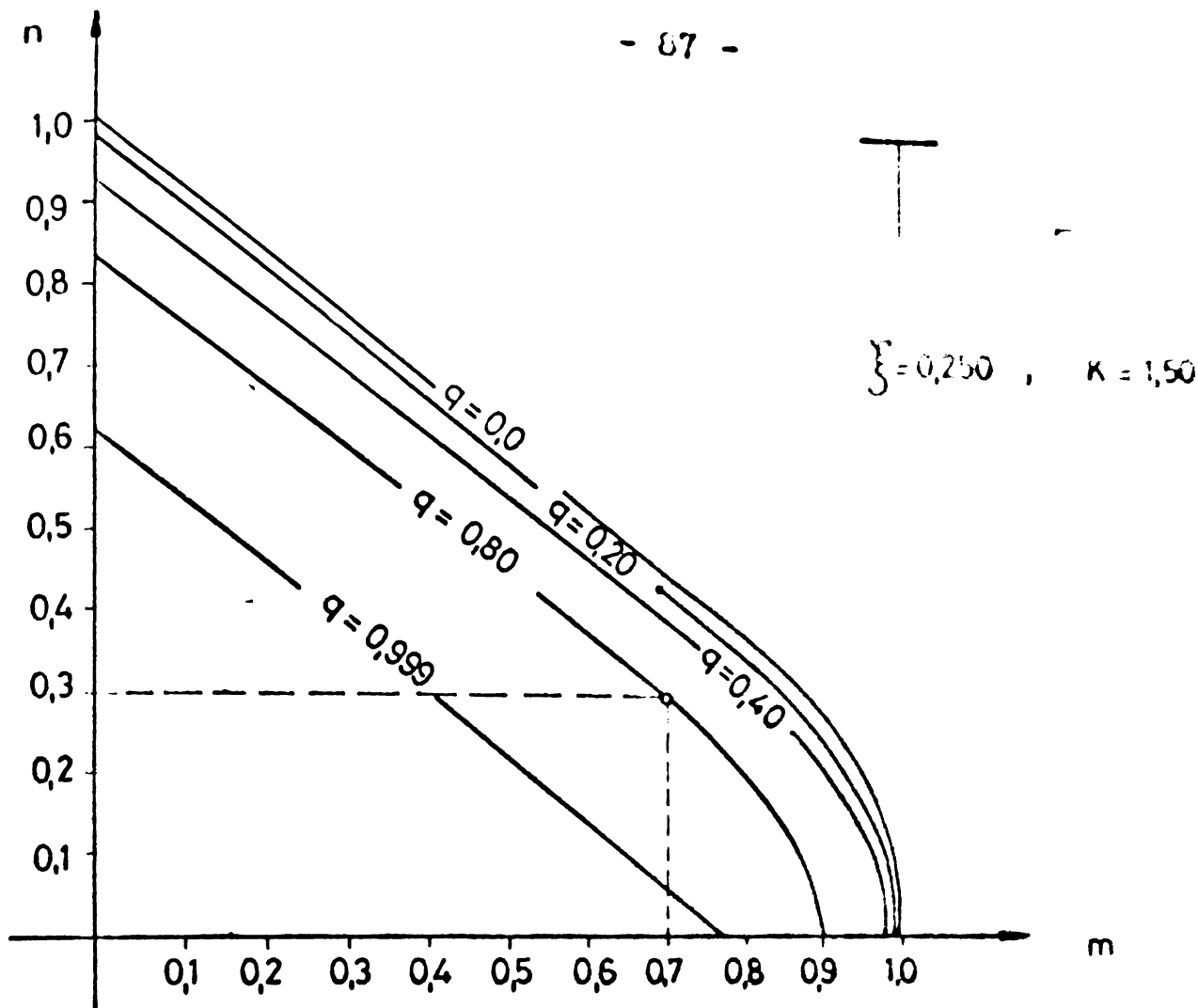
Prin variația parametrului de distribuție a materialului secțiunea $\xi = \frac{A_1 t}{A}$ de la $\xi = 0,25$ setul a (casul secțiunii A-A₂t) la $\xi = 0,400$ (ca u. secțiunii A₂t = 0,8A) și $K=1,5$ (co). Constatăm: în setul a de ex. pentru $n_a=0,5$; $q_a=0,999$ rezultă $m_a=0,15$; în setul b pentru aceeași $n_b=0,5$; $q_b=0,999$ rezultă $m_b=0,4$. Această capacitate sporită a setului b prin creșterea sa la solicitarea M rezultă din ponderea sporită a elementelor pe secțiunea hibridă, tălpile fiind elementele care acuza mare contribuție la valoarea momentului spărat al secțiunii. Aceiasi observație pentru seturi c și d (fig.7.4c și 7.4d), pentru $n_c=0,5$; $q_c=0,999$ rezultă $m_c=0,18$ și pentru $n_d=0,5$; $q_d=0,999$ rezultă $m_d=0,42$.

Prin variația parametrului $K = \frac{G_C}{G_C}$ setul a, $K=1,5$. fig. 7.4.a la setul C; $K=2,5$ și $f = \text{constant}$ - se constată: în set a de ex. pentru valorile $n_a=0,5$; $q_a=0,999$ rezultă $m_a=0,15$ - setul b pentru $n_b=0,5$; $q_b=0,999$ rezultă $m_b=0,28$. Rezultă dinsporul adus la valoarea capacitatii pentru numărul de elemente din tălpi cu rezistențe sporite pentru setul C.

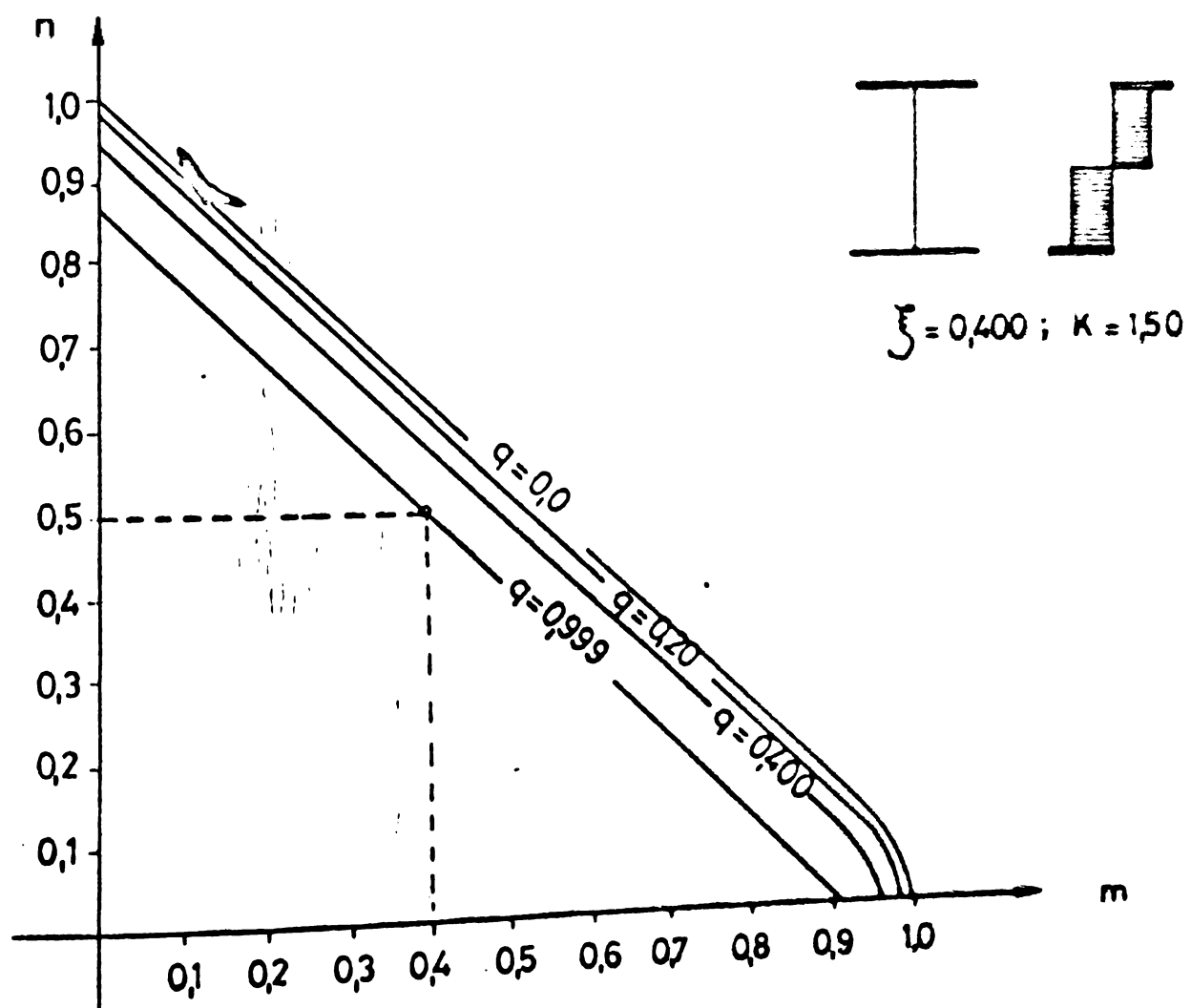
Se constată că în zona forțelor axiale importante curbele din (fig.7.4) devin liniare. Aceasta reprezintă rezistența forțelor axiale importante corespunzătoare casului - într-o zonă plastică intră în zona tălpilor - cu expresia (3) - valoarea m este lineară cu n.

Se constată de asemenea că prin variația coeficiențului f de la 0,250 - la 0,400 - curbele m-n corespunzătoare valorilor $q = 0,0; 0,2; 0,4; 0,8; 0,999$ se indeosebă.

Se explică - prin faptul că prin creșterea coeficiențului $f = 0,40$, contribuția ariei inițiale care definește elementul

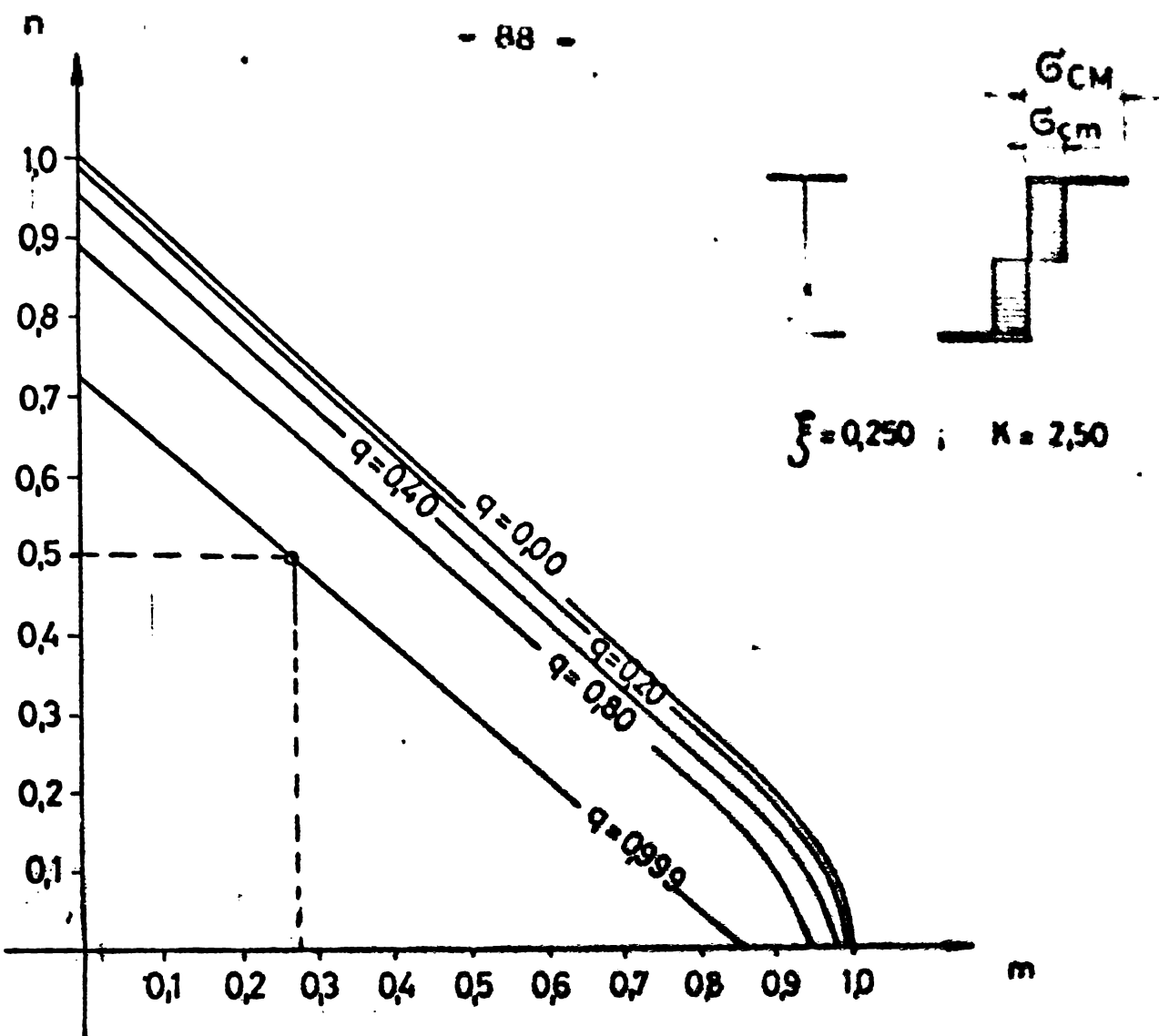


a)

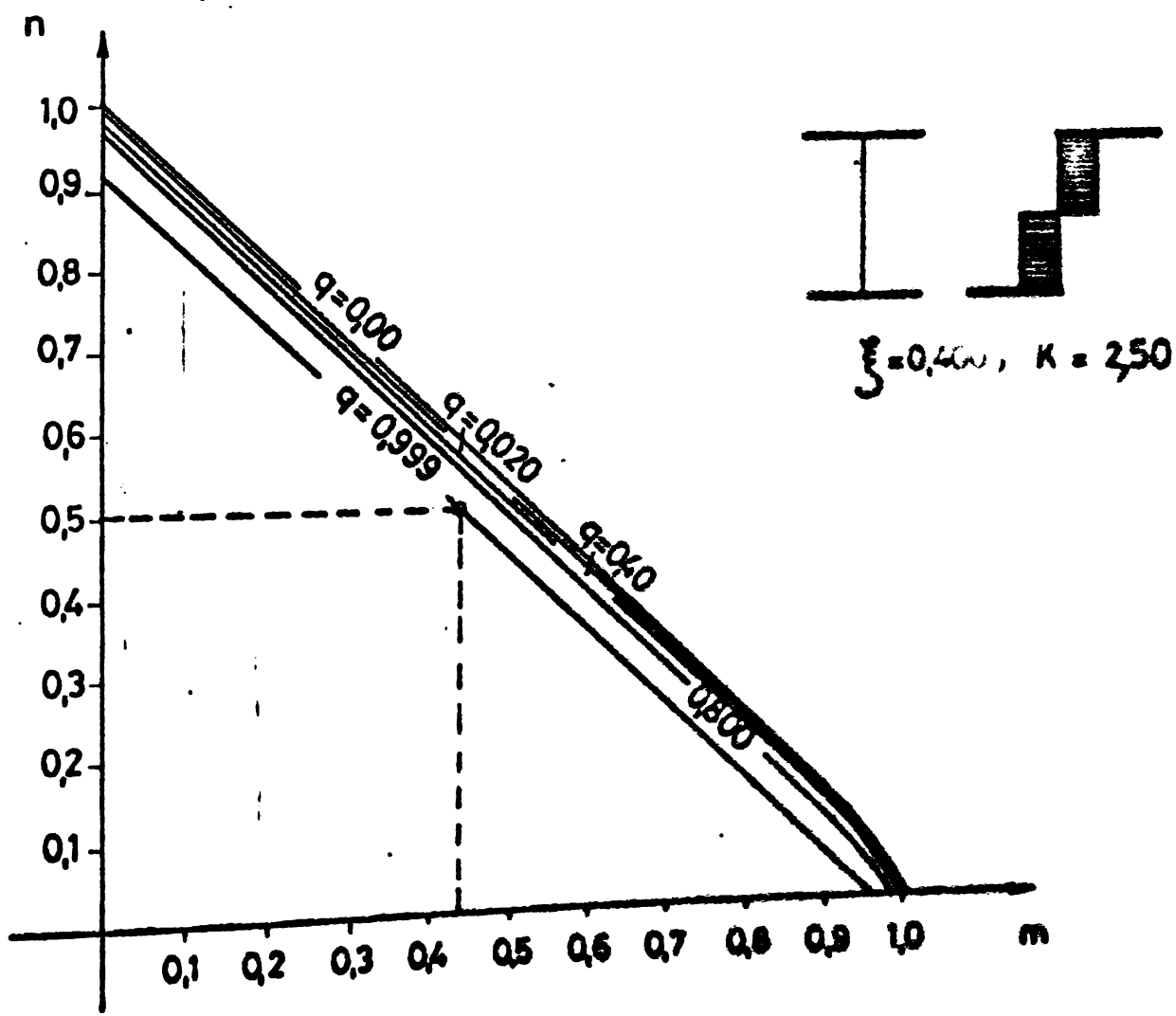


b)

Fig 74



c)



d)

Fig 24

secțiunii privind solicitarea T , scade la zero din secțiunea hibridă, astfel că variația parametrului q - influențează mai puțin asupra valorilor coloanei de solicitare M, N .

7.5. Comportarea unei secțiuni hibride I la acțiunea simultană a solicitărilor M, N, T ; studiu prin integrarea numerică a diagramelor de eforturi în concepția respectării principiilor, legilor, ipotezelor din cap.2, în domeniul elasto-plastic.

7.5.1. Generalități. Integrarea analitică a ecuațiilor, 7.1 conduce la soluții grecoaie, complicate și practic inoperante. Studiul analitic efectuat asupra grinzilor I omogene de către Klöppel și Yamada a condus la obținerea unei relații extrem de complicate, diferite pentru cele găse domenii distincte și cele treisprezece zone, în care se subîmpart domeniile. Pentru grinzi hibride problema se complică și mai mult atât ca aspect analitic cât și ca numărul domeniilor și a zonelor.

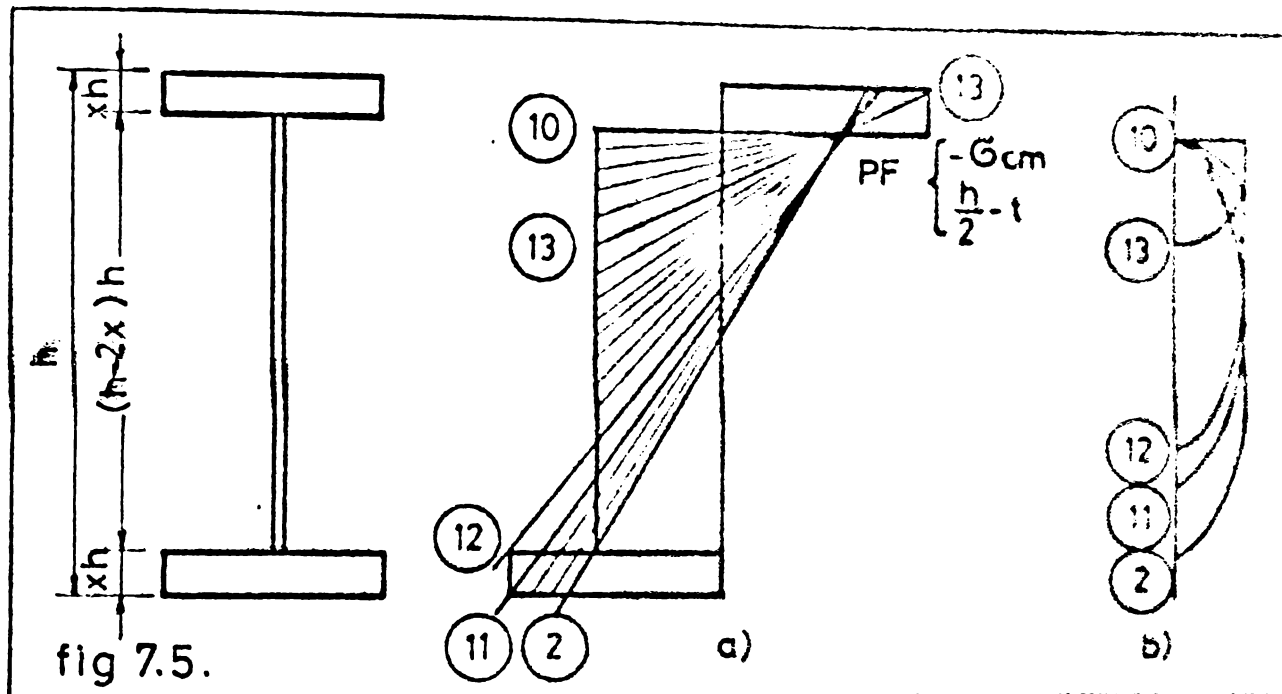
Acceptând starea de eforturi definită prin schema din fig. 7.1b pentru efortul normal σ și conform fig. 7.1 C.1 pentru efortul de tăiere T , aceasta poate fi definitivă prin cei doi parametri γ_1, γ_2 (cap.7.2) sub forma unei funcții $f(\gamma_1, \gamma_2) = 0$; mulțimea valorilor γ_1, γ_2 , care satisfac funcția $f(\gamma_1, \gamma_2)$ determină un domeniu al stării de eforturi ce conduce la plasticizarea secțiunii în conceptul enunțat în titlu. Calculând valoările M, N, T pentru o condiție determinată de funcția $f(\gamma_1, \gamma_2) = 0$, și raportindu-le la valorile M_0, N_0, T_0 (cap.7.2) se obțin mărimi adimensionale; transpusă pe un sistem de axe triaxiale $\frac{M}{M_0}; \frac{N}{N_0}; \frac{T}{T_0}$ acestea reprezintă puncte pe o curbă în spațiu, situată pe un poliedru de curgere. Practic se pot obține o infinitate de curbe, care ar defini complet starea de eforturi a unei secțiuni I hibride.

S-au selectat și traseat numai curbele caracteristice, definite prin relații particulare a celor doi parametri, obținindu-se îi curbe, care definesc destul de complet starea de eforturi care conduc la plasticizarea secțiunii pentru totalitatea solicitărilor M, N, T . De ex.: $\gamma_1 = 0$ curba C_1 ; $\gamma_1 + \gamma_2 = \frac{1}{2}$ - curba C_4 etc.

Întocmirea programului pentru calculul numeric a ec.7.1 s-a bazat pe observația că pentru o condiție dată de $f(\gamma_1, \gamma_2) = 0$, dreapta care definește stările de eforturi pentru σ în zona

simburelui elastic, se rotește în jurul unui punct fix. Definind coordonatele punctului fix, putem reproduce toate stările de eforturi date de funcția $f(\gamma_1, \gamma_2) = 0$, printr-o simplă rotație a dreptei în jurul lui.

Prezentăm opro exemplificare curba C_3 , definindu-se punctul fix de coordonate $(-5 \text{ cm}; \frac{h}{2} - t)$ cu funcția $f(\gamma_1, \gamma_2) = 0$;

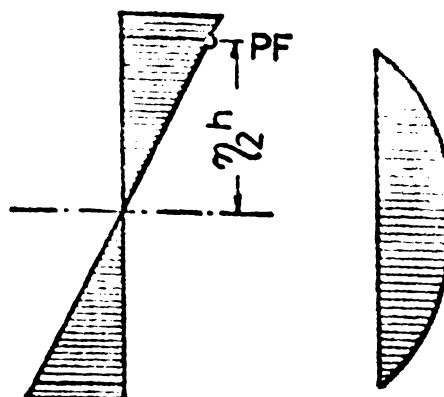
$$\gamma_1 + \gamma_2 = \frac{1}{2} - x \text{ (fig.7.5)}$$


Se vede din fig.7.5 că prin rotirea dreptei ce definește starea de eforturi în zona elastică cu punct fix în $(-5 \text{ cm}; \frac{h}{2} - t)$ este parcurs un domeniu al stării de eforturi caracterizat prin plasticizarea în punctul fix din eforturi σ din moment, iar pe domeniul simburelui elastic din σ , plasticizarea are loc prin compunerea ef. σ și τ . În fig.7.6 sunt reprezentate stările de eforturi pentru punctele caracteristice 2,11, 12,13,10 pentru care s-au calculat parametrii γ_1, γ_2 . În cap. 7.53(fig.7.13) este reprezentată curba C_3 cu punctele respective calculate pentru un exemplu concret.

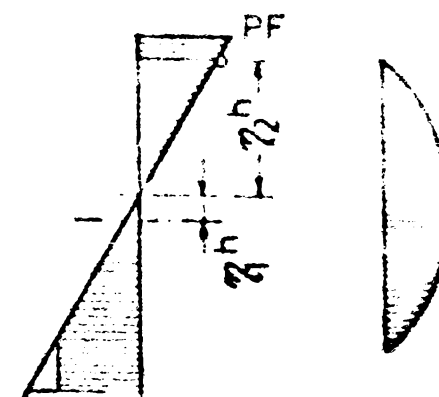
7.5.2. Programul Hybride.

Programul urmărește calcularea unei mulțimi de valori M, N', T' care actionind simultan conduc la plasticizarea secțiunii. Cele 11 curbe enunțate în cap.7.51 reprezintă anumite cazuri particulare, sistematizează calculul, conducindu-l pe 11 domenii definite prin coordonatele "punctului fix" și prin ecuație

PUNCTUL ②



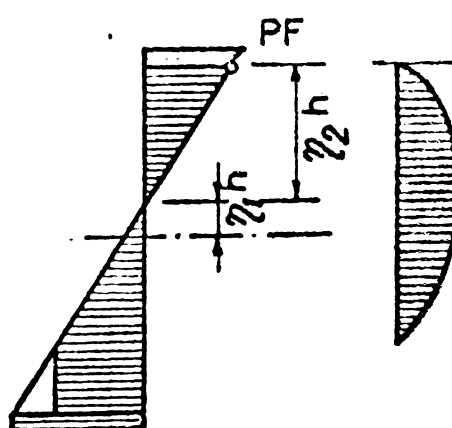
PUNCTUL ⑪



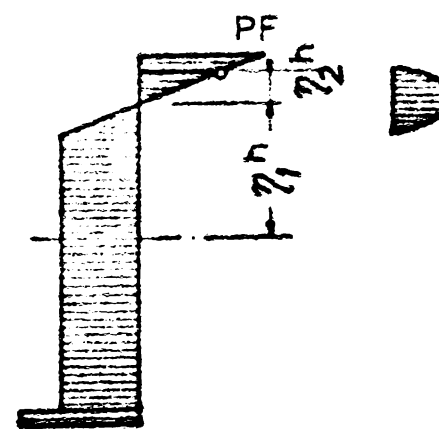
$$\begin{cases} n_2 = \frac{1}{2} - x \\ n_1 = 0 \end{cases}$$

$$\begin{cases} n_1 = \frac{1}{2} - \frac{x(k+1)}{1+k} \\ n_2 = \frac{1-x}{1+k} \end{cases}$$

PUNCTUL ⑫



PUNCTUL ⑬



$$\begin{cases} n_1 = \frac{1}{2} - \frac{1+x(K-1)}{1+k} \\ n_2 = \frac{1-2x}{1+k} \end{cases}$$

$$\begin{cases} n_1 = \frac{1}{2} - \frac{kx}{k-1} \\ n_2 = \frac{x}{k-1} \end{cases}$$

PUNCTUL ⑩

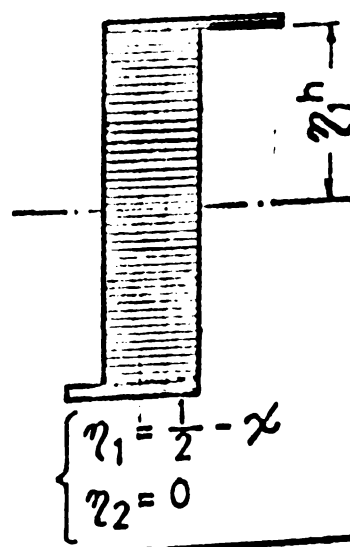


Fig 7.6

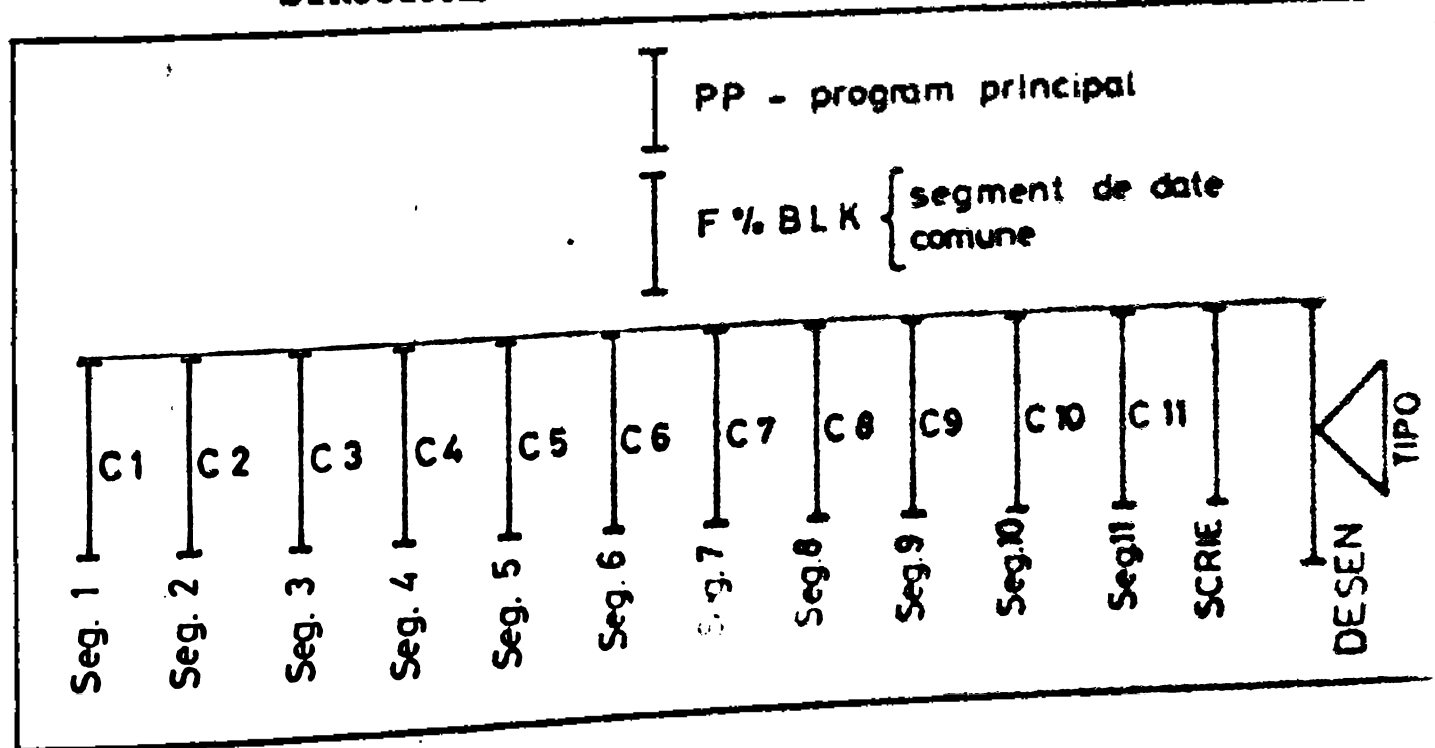
parametrică $f(\gamma_1, \gamma_2) = 0$. În cadrul fiecărei curbe, se disting anumite puncte limite, de exemplu pentru curba C₃, prezentate în cap. 7.53 punctele 2, 11, 12, 10, 10 ce segmentează curba în anumite intervale; se va vedea în cap. 7.53 că aceste puncte reprezintă intersecțiile a două curbe. În spațiul delimitat de două puncte, sunt valabile aceleasi expresii analitice scrise pentru valorile M', N', T' conf. ec. 7.1. Impărțind fiecare "interval" într-un număr de "n" pași calculăm valorile M', N', T' pentru fiecare pas și intervalului, numărul punctelor pentru care se determină valorile M'N'T' respectiv precizia reprezentării curbei depinde de numărul "n" ce determină multimea interspațiilor de pe un interval. Valorile M'N'T' raportate la M₀, N₀, T₀, reprezentând mărimi subunitare adimensionale se transpun pe sistemul triaxial definit prin $\frac{M'}{M_0} \quad \frac{N'}{N_0} \quad \frac{T'}{T_0}$.

Pentru fiecare curbă s-a alcătuit căte un program ce alcătuiește "un segment" al programului general (vezi schema logică și programul anexat).

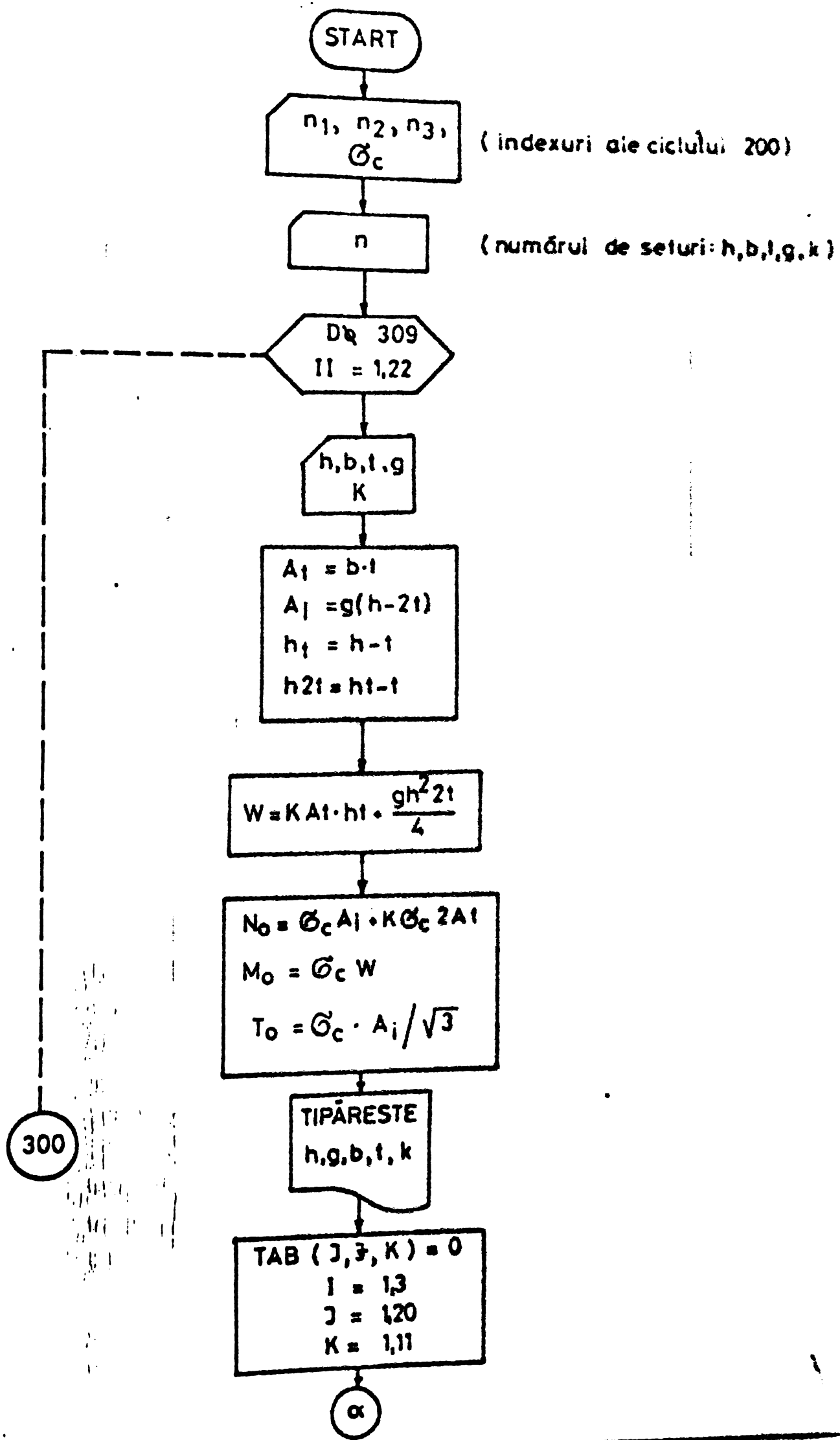
Expresiile analitice pentru fiecare curbă scrise pentru fiecare interval sunt prezentate în cap. (7.53).

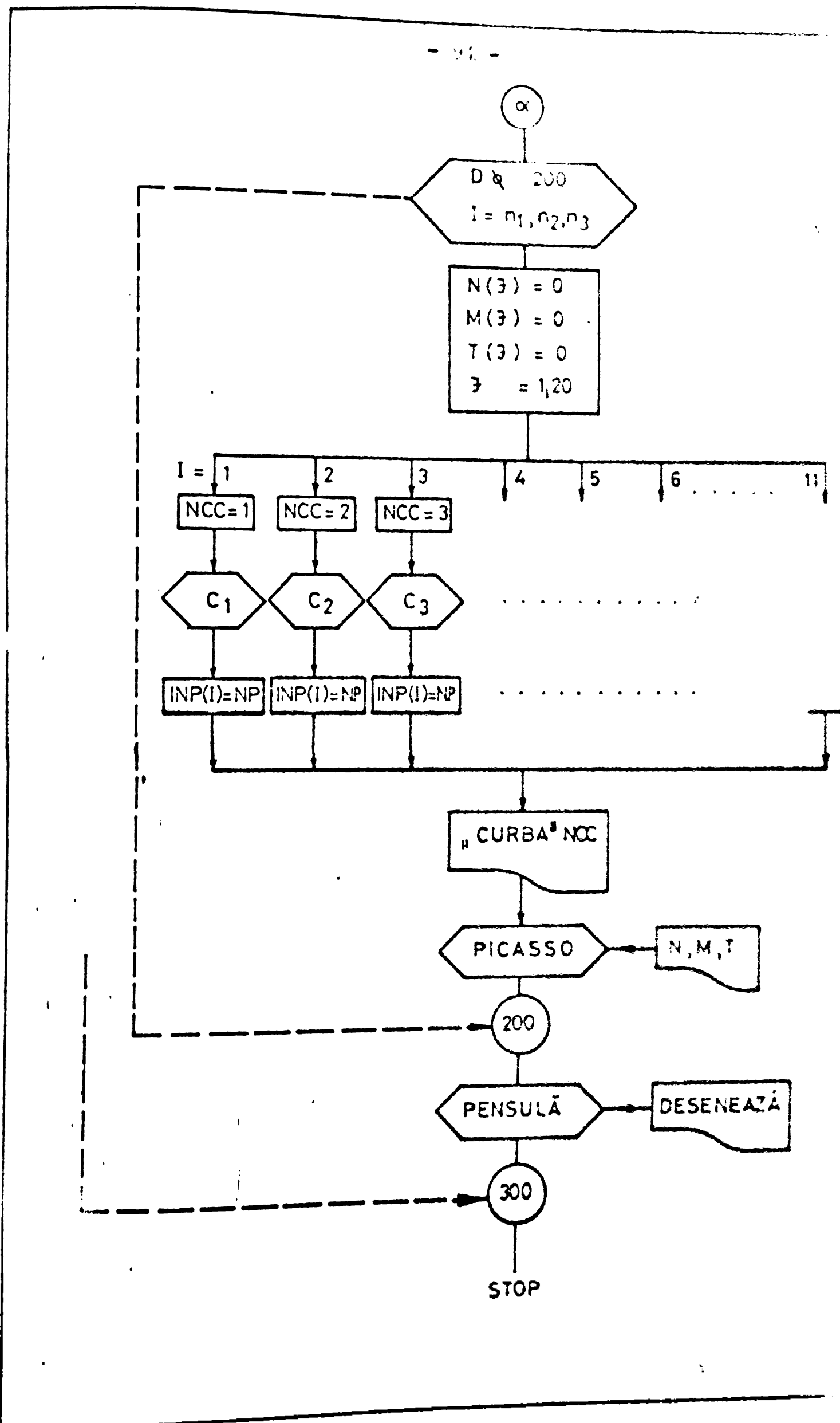
Programul "HYBRIDE" este compus dintr-un program principal și 13 segmente: 11 segmente pentru cele 11 curbe, un segment denumit "PICASSO" pentru ordonarea și tipărirea rezultatelor și un segment "PENSULA" pentru transpunerea rezultatelor grafic pe cele trei plane de proiecții. Prin segmentarea programului se realizează o economisire a memoriei, reugindu-se executarea lui fără apel la memorie externă.

STRUCTURA RAMIFICATA A PROGRAMULUI



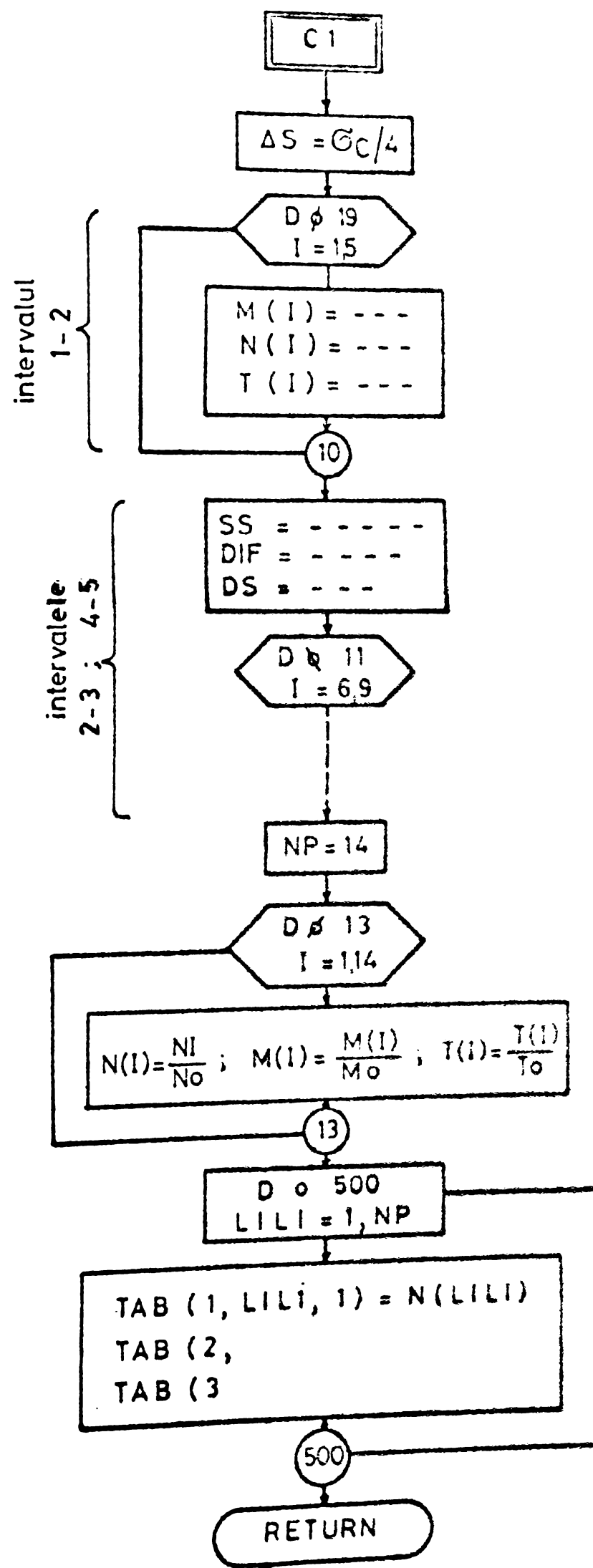
SCHEMA LOGICA A PROGRAMULUI „HYBRIDE 1”





EXEMPLU DE UN „PROGRAM SEGMENT”

SC 1 - CURBA „C1”



7.5.3. Expresii analitice a curbelor C_1, C_2, \dots, C_{11} pe intervalele determinate
Reprezentarea curbelor în spațiu și pe
plane.

Pentru fiecare curbă este prezentat modul de generare și
prin rotirea dreptei ce definește stările de efort în domeniul elasti-
cului pentru efortul normal \tilde{G} , în jurul punctului fix,
coordonatele lui și ecuația parametrică $f(\eta_1, \eta_2 = 0)$.

Se prezintă apoi curba în spațiu pe poliedru de către și
proiecțiile ei pe cele trei plane, indicându-se punctele caracteris-
tice de intersecție cu alte curbe; în figura poliedrului se
curba în spațiu se atâșează punctelor caracteristice și schemele
de eforturi \tilde{G} și G în miniatură.

Se prezintă apoi detaliat calculul analitic pentru determina-
rea valorilor M', N', T' , precum și variabilele ce intră în expresii-
le lor; se precizează pasul "n" ce subîmparte intervalul între
două puncte caracteristice, care definesc pozițiile pentru care
se calculează mărimile M', N', T' .

Vom exemplifica prin curba C_6 . În fig.7.25 se prezintă și
întîi modul de generare al curbei. Funcțul fix este definit de
coordonatele: $PF(-\tilde{G}_y; \frac{h}{2})$. Se arată prin rezele ce provin
din punctul fix - punctele caracteristice 3,7,11,9,20 (de inter-
secția cu alte curbe). Funcție de aceste puncte rezultă diagra-
me de eforturi \tilde{G} , precum și alăturat corespunzător, diagramele G ;
acestea putind exista numai în domeniul elastic al diagramei pen-
tru \tilde{G} . Mai jos este reprezentată curba în spațiu pe poliedru,
precum și proiecțiile ei pe cele trei plane.

În continuare, în fig.7.26 este prezentată starea de eforturi
caracteristică pentru punctul 3, cu relațiile pentru valorile
 M', N', T' precum și expresiile x_1, x_2, x_3 .

În fig.7.27 se definesc stările de eforturi dintre punctele
caracteristice 7-13. Intervalul a fost împărțit în 6 - fixindu-se
numărul de pași $x-6$. Funcție de variabila D - se definesc măriile
solicitărilor pe secțiune M, N, T obținindu-se conform ecuațiilor
2.7; de asemenea sunt definite și secvenții variabilei x_1, x_2, x_3, x_4 .

În mod identic se definește curba în intervalul 13-9 - confor-
figurii 7.28 - precum și curba în punctul 20.

În cele ce urmează sunt prezentate modul de generare a celor
11 curbe.

- CURBĂ "C1" -

$$\eta_1 = 0 \quad 0 < \eta_2 < \infty$$

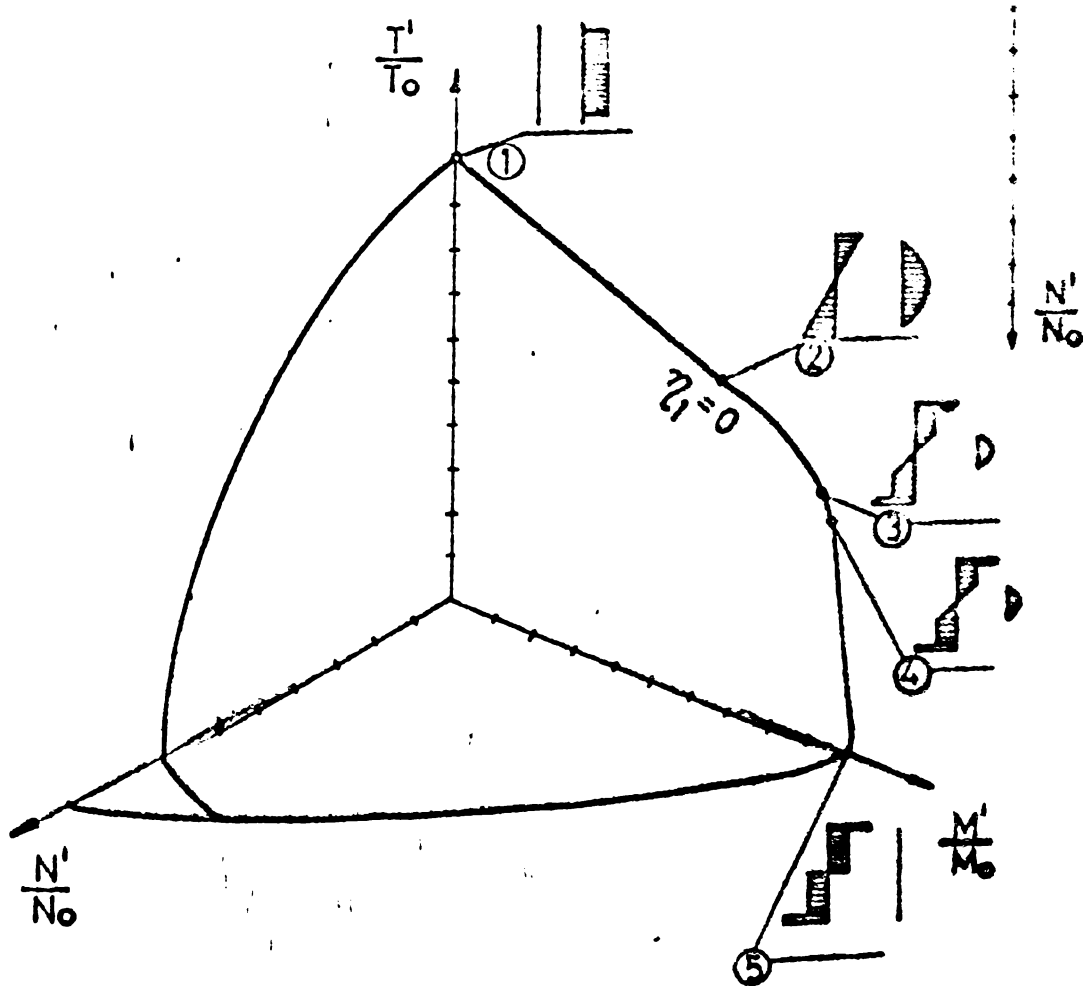
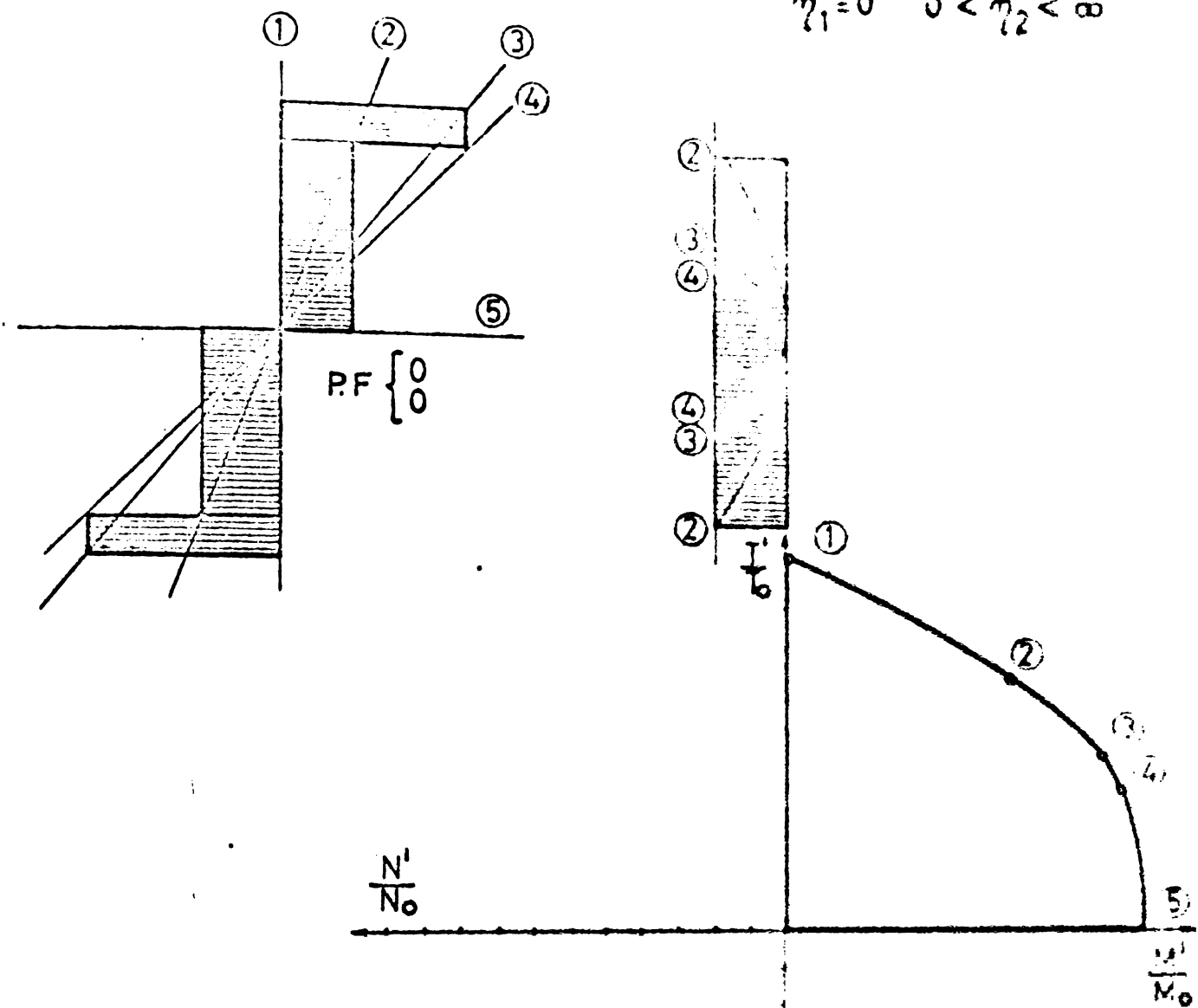


Fig. 77'

- 53 -

CURBA "C1": intervalul 1-2

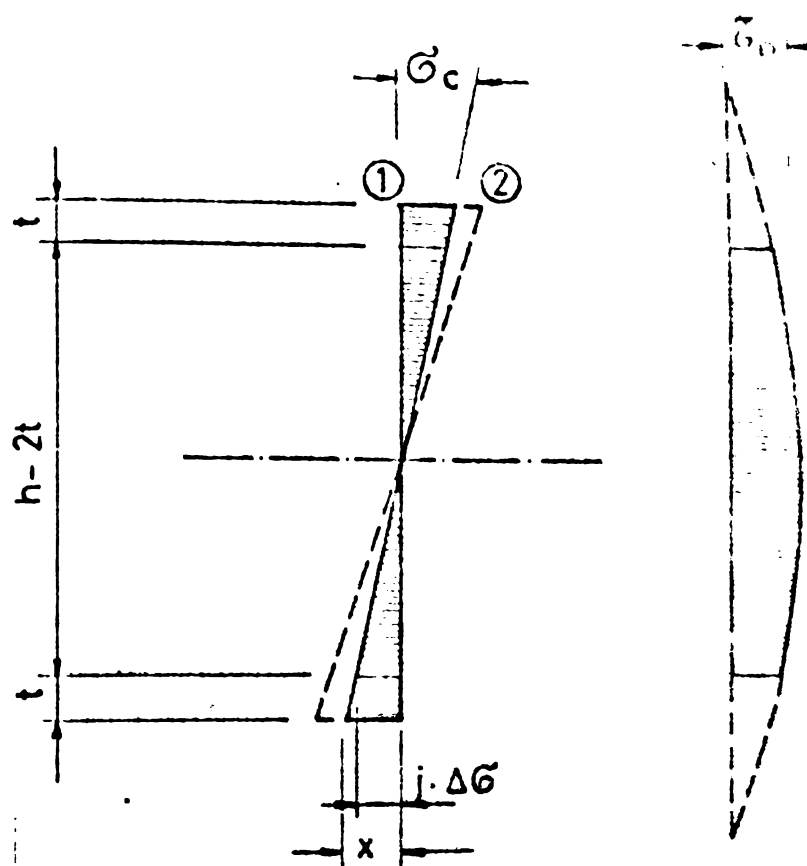


Fig 7.8

$$x = \frac{h + j \cdot \Delta G}{h-2t} ; \quad \Delta G = \frac{G_c}{n} ; \quad n = 4$$

$$N' = 0$$

$$M' = j \cdot D G \left\{ \frac{(h-2t)^2}{6} \cdot g + A t \left[h-t + \frac{1}{h-2t} (h-\frac{2}{3}t) \right] \right\}$$

$$T = \frac{2}{3} \frac{G_c}{\sqrt{3}} \cdot (h-2t) g$$

CURBA „C1”: intervalul 2-3

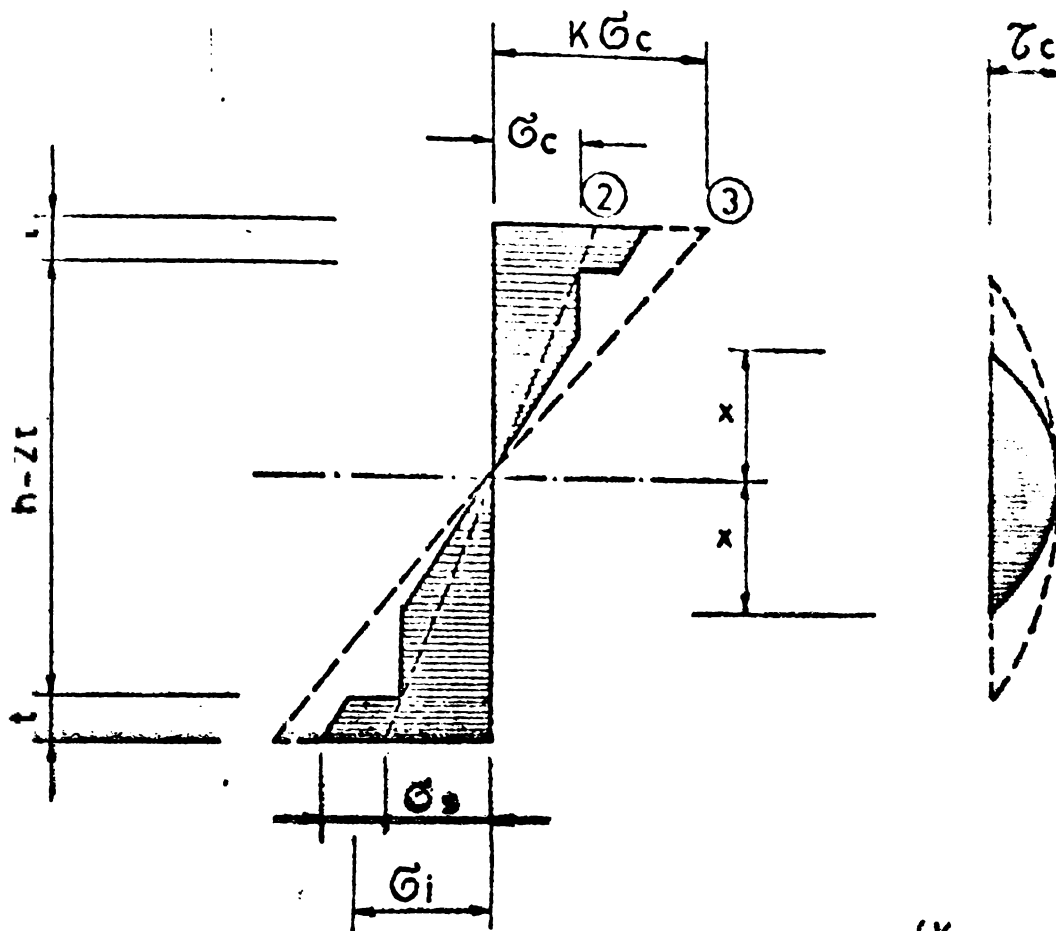


Fig 79

$$\Delta G = \frac{G_c \left(K - \frac{h}{h-2t} \right)}{n}$$

$$G_s = \frac{G_c \cdot h}{h-2t}$$

$$n = 4$$

$$G_i = \frac{h-2t}{2} \cdot \frac{G_c}{x} \quad x = \frac{h}{2} \cdot \frac{G_c}{G_s + i \cdot \Delta G}$$

$$N' = 0$$

$$M' = \frac{2}{3} \cdot G_c \cdot g \cdot x^2 + G_c \cdot g \left[\left(\frac{h-2t}{2} \right)^2 - x^2 \right] \cdot$$

$$\cdot At \cdot G_i (h-i) + \frac{1}{2} At (G_s + i \cdot \Delta G - G_i) (h - \frac{2}{3} i)$$

$$T' = \frac{4}{3} \cdot \frac{G_c}{\sqrt{3}} \cdot g \cdot x$$

CURBA „C1": intervalul 4-5

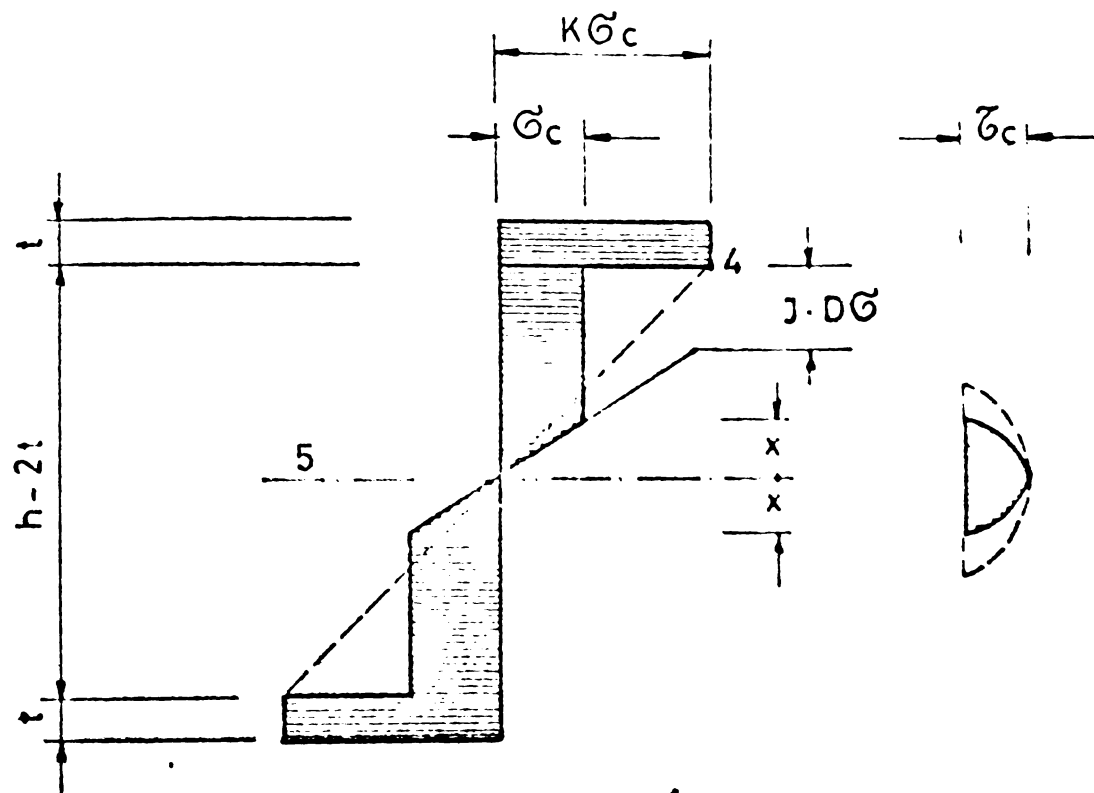


Fig 7.10'

$$\Delta G = \frac{h - 2t}{2} \cdot \frac{1}{n} ; \quad n = 8$$

$$x = \frac{1}{K} \left(\frac{h - 2t}{2} - j \cdot \Delta G \right)$$

$$N' = 0$$

$$M' = \frac{2}{3} G_c \cdot x_2^2 \cdot g \cdot G_c \left[\left(\frac{h - 2t}{2} \right)^2 - (x_2)^2 \right] g \cdot A t K G_c (h - t)$$

$$T' = \frac{4}{3\sqrt{3}} G_c \cdot g \cdot x_2$$

- CURBA „C 2" -

$$\gamma_1 \cdot \gamma_2 = \frac{1}{2} - \chi$$

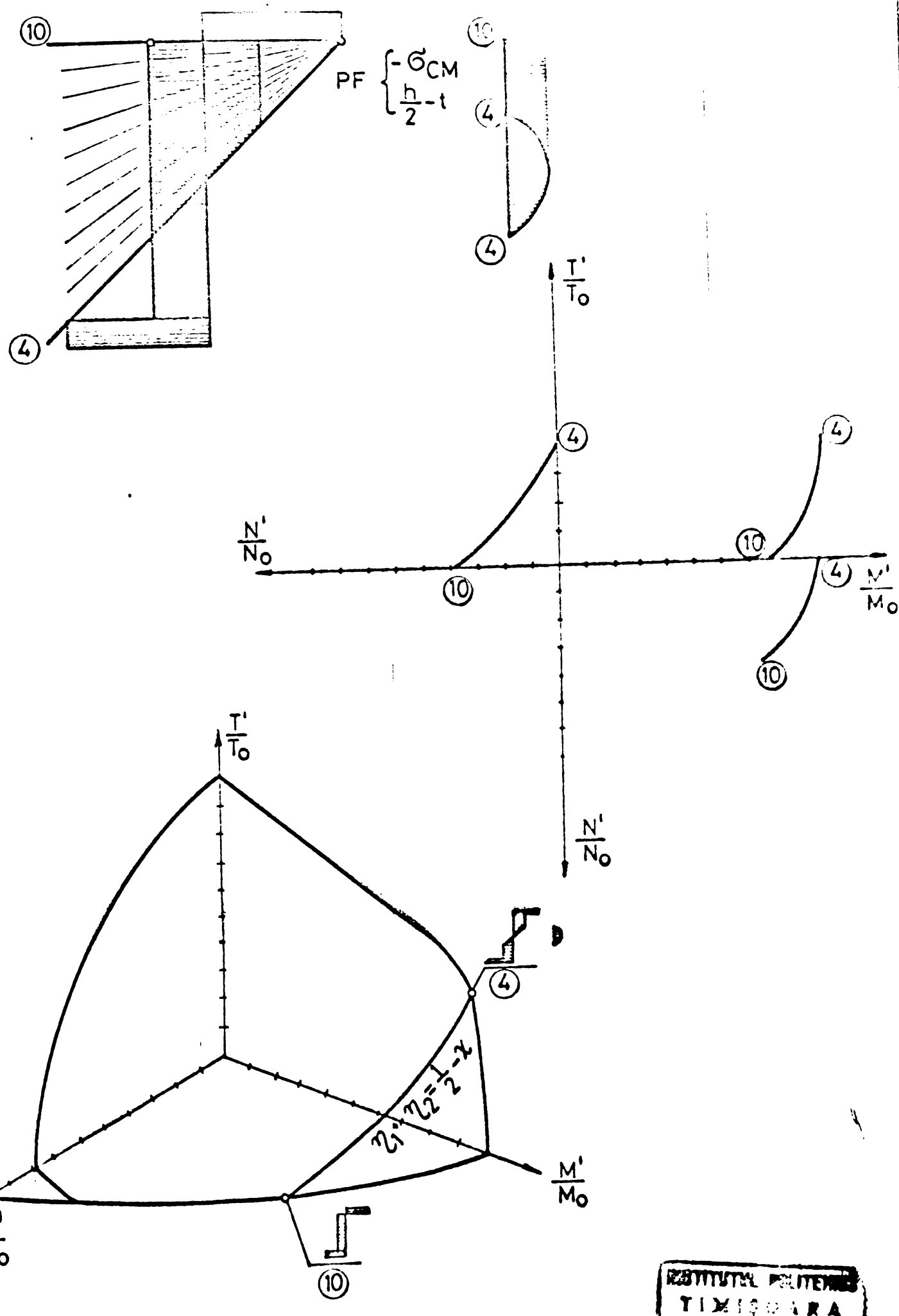


Fig 7.11'

RODOVITEL POLITEHNICO
TIPOLOGIA
BIBLIOTECA CENTRALA

CURBA „C2”: intervalul 4-10

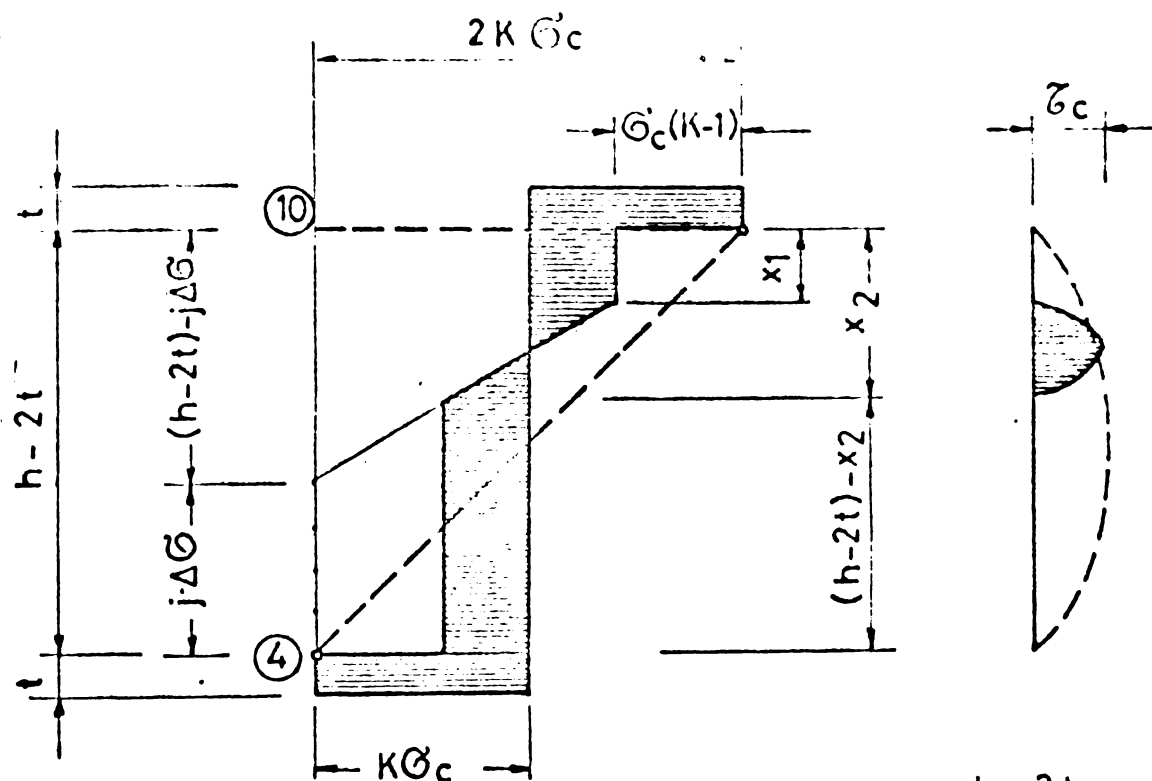


Fig 7.12

$$D\mathcal{G} = \frac{h - 2t}{n} ; \quad n = 4$$

$$x_1 = \frac{K - 1}{2K} (h - 2t - j \cdot \Delta \mathcal{G})$$

$$x_2 = \frac{K + 1}{2K} (h - 2t - j \cdot \Delta \mathcal{G})$$

$$N' = G_c g (h - 2t - x_2 - x_1)$$

$$M' = At \cdot K \cdot G_c (h - t) \cdot \frac{1}{2} G \cdot g \frac{(x_2 - x_1)^2}{3} :$$

$$\cdot \frac{1}{2} G_c \cdot x_1 \cdot g [(h - 2t) - x_1] \cdot \frac{1}{2} G_c \cdot g [(h - 2t) - x_2]$$

$$T' = \frac{2}{3} \frac{G_c}{\sqrt{3}} (x_2 - x_1) \cdot g$$

- 103 -
- CURBA „C 3“ -

$$\gamma_1 - \gamma_2 = \frac{1}{2} - \chi$$

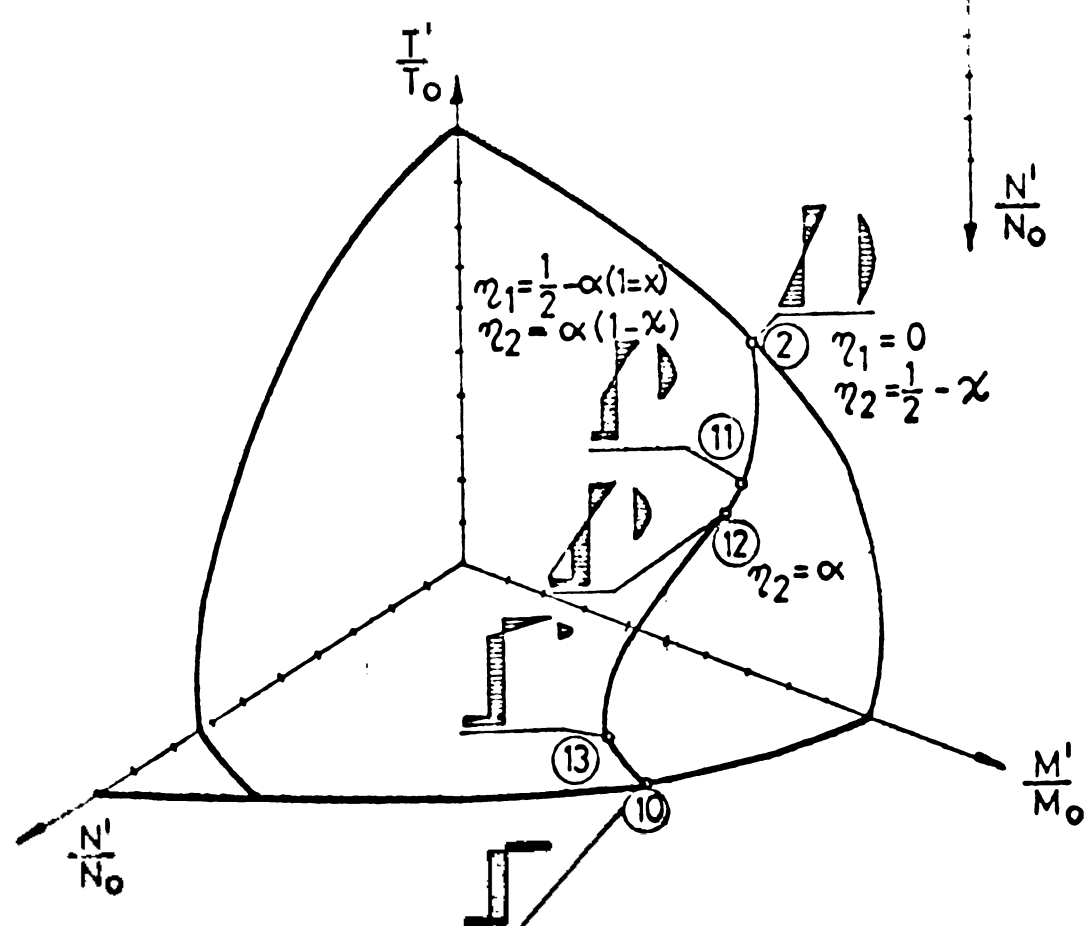
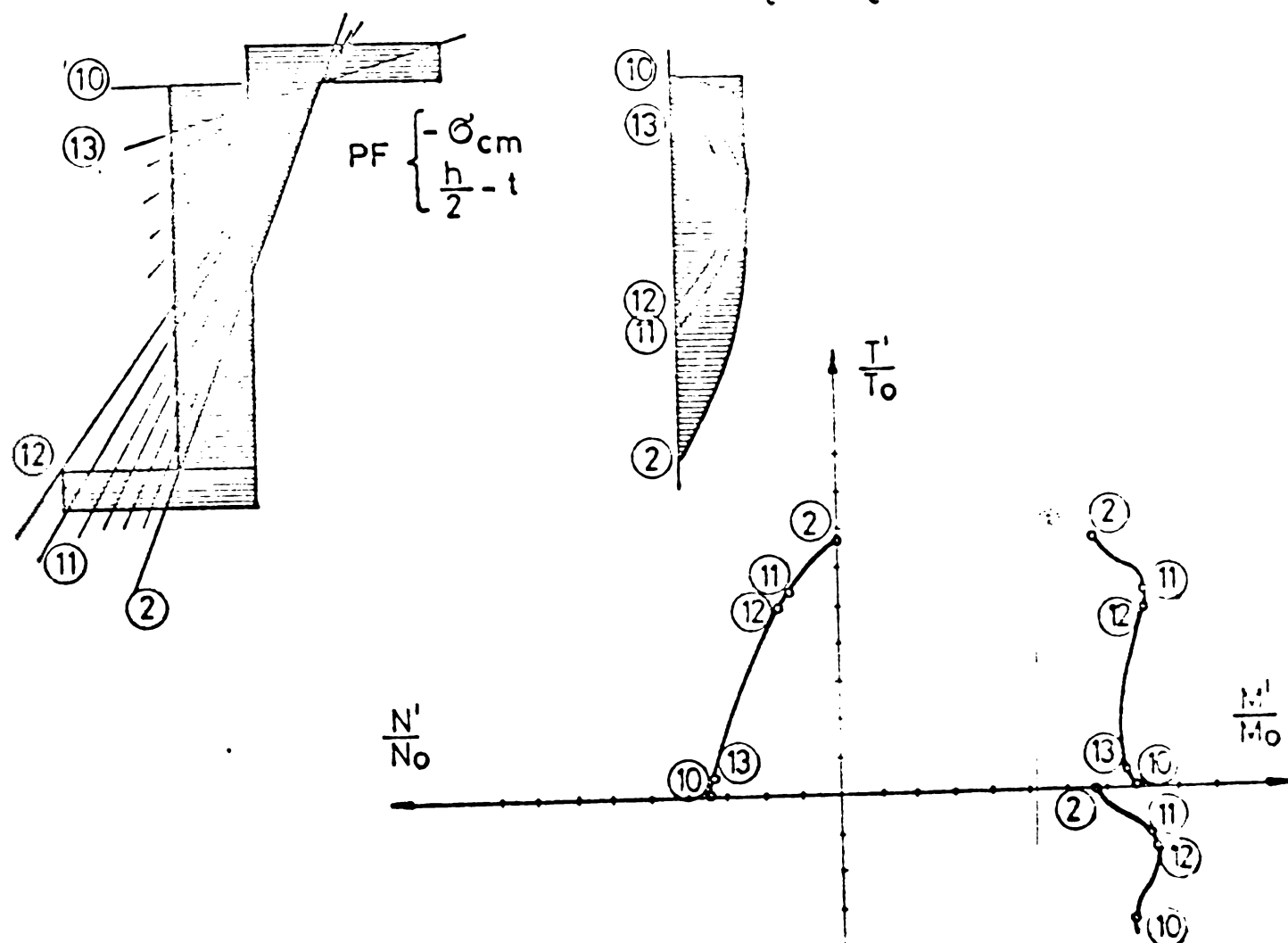


Fig 213

CURBA „C 3": intervalul

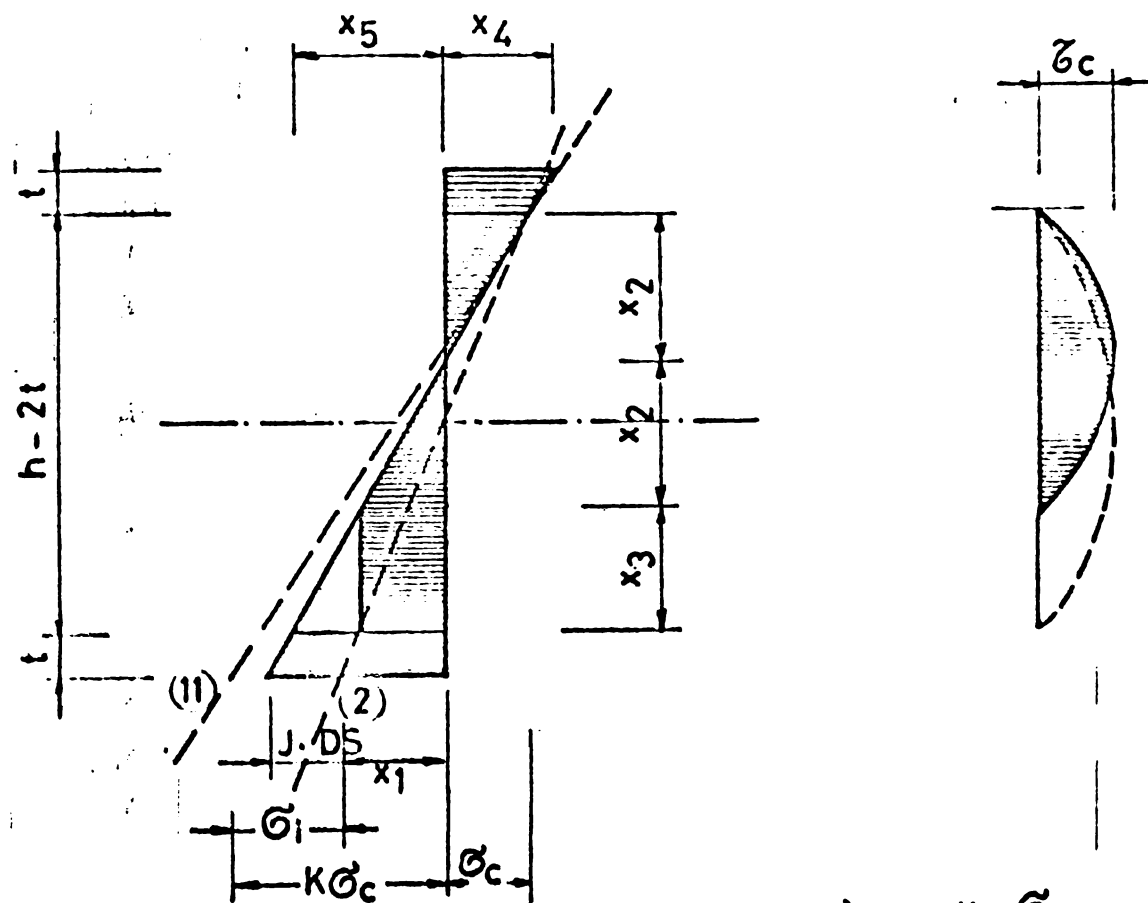


Fig 7.14

$$G_i = K G_c - x_1$$

$$x_1 = G_c \left[\frac{2(h-t)}{h-2t} - 1 \right]$$

$$DG = \frac{G_i}{n}; \quad n=8$$

$$x_2 = \frac{G_c(h-t)}{j \cdot DG + x_1 \cdot G_c} \quad x_4 = \frac{(t+x_2)(j \cdot DG + x_1 \cdot G_c)}{h-t}$$

$$x_3 = h - 2t - 2 \cdot 2 \quad x_5 = \frac{(x_2+x_3)(j \cdot DG + x_1 \cdot G_c)}{h-t}$$

$$N' = G_c \cdot g \cdot x_3 + A_t (x_5 - G_c)$$

$$M' = \frac{2}{3} G_c \cdot g \cdot x_2^2 + \frac{1}{2} \cdot G_c \cdot g \cdot x_3 (h - 2t - x_3) + \\ + \frac{1}{2} A_t (h-t)(x_5 \cdot G_c) + \frac{1}{2} (x_4 - G_c) A_t (h - \frac{2}{3} t)$$

$$T' = \frac{4}{3} \cdot \frac{G_c}{\sqrt{3}} x_2 \cdot g$$

CURBA „C3": intervalul 12-13

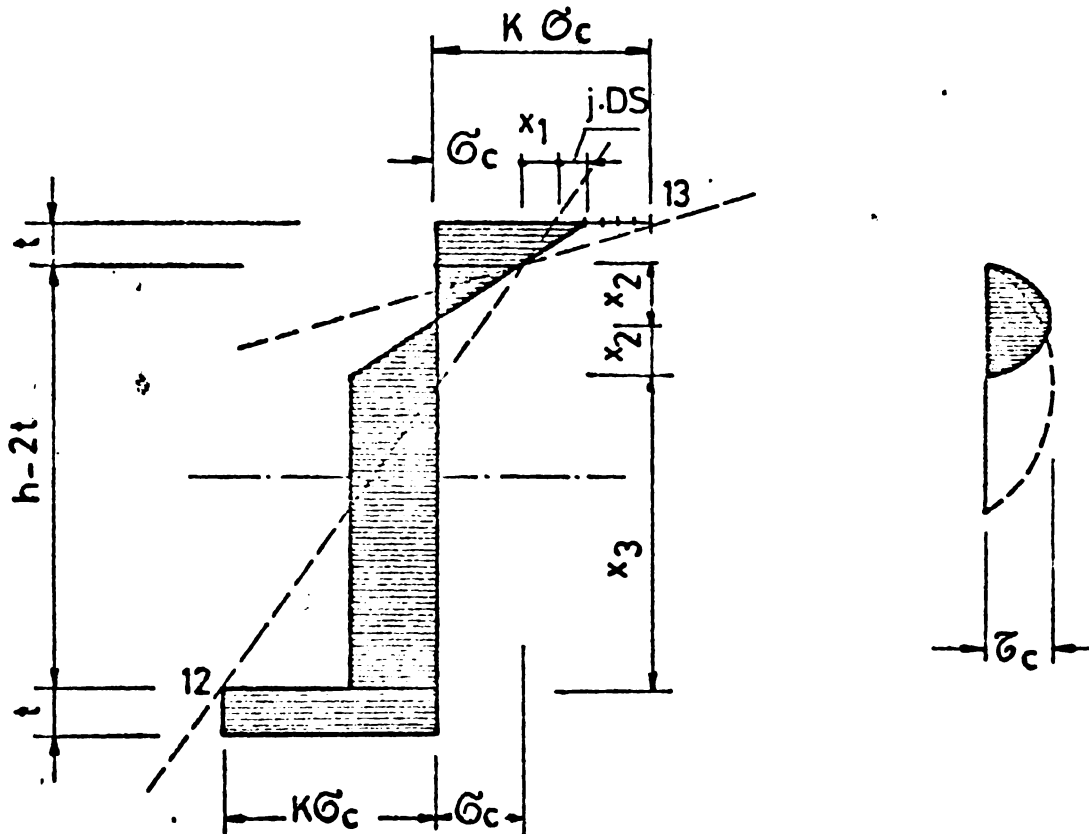


Fig 7.15'

$$x_1 = \frac{t \cdot G_c (K+1)}{h-2t} ;$$

$$\Delta \sigma = \frac{G_c (K-1) x_1}{n}$$

$$x_2 = \frac{G_c \cdot t}{x_1 + j \cdot \Delta \sigma}$$

$$n = 8$$

$$x_3 = h - 2t - 2x_2$$

$$N' = G_c \cdot A_t (K-1) + G_c \cdot g \cdot x_3 - \frac{1}{2} (x_1 + j \cdot D\theta) A_t$$

$$M' = \frac{1}{2} \Delta t \cdot G_c (h-t) \cdot (K+1) \cdot \frac{1}{2} G_c g x_3 (h-2t-x_3) \cdot$$

$$\cdot \frac{2}{3} G_c g x_2^2 + \frac{1}{2} (x_1 + j \cdot \Delta \theta) A_t \left(\frac{h}{2} - \frac{t}{3} \right)$$

$$T' = \frac{4}{3\sqrt{3}} G_c \cdot g \cdot x_2$$

CURBA "C4"

$$\gamma_1 \cdot \gamma_2 = -\frac{1}{2}$$

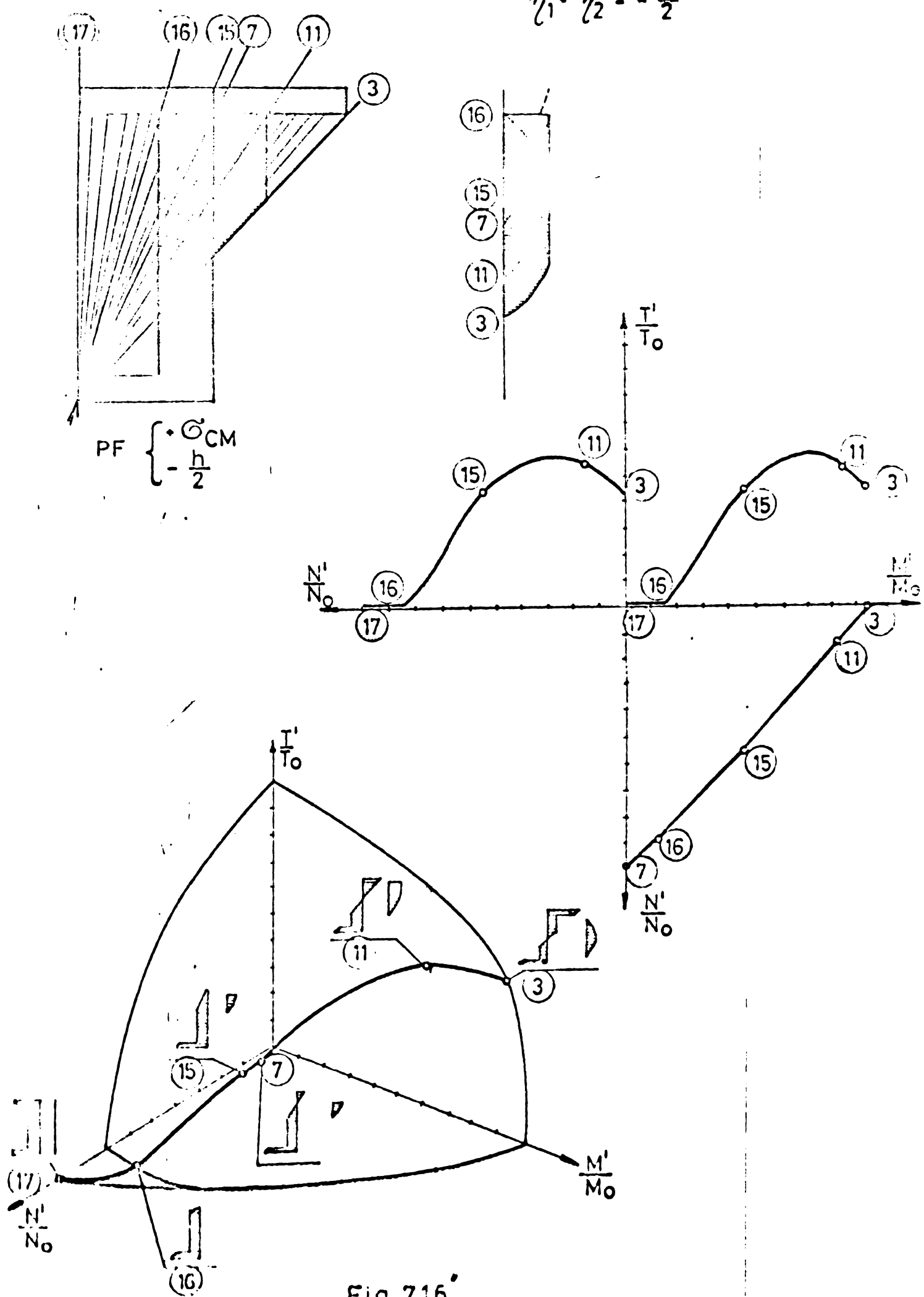


Fig 7.16'

CURBA „C4“: intervalul 17-16

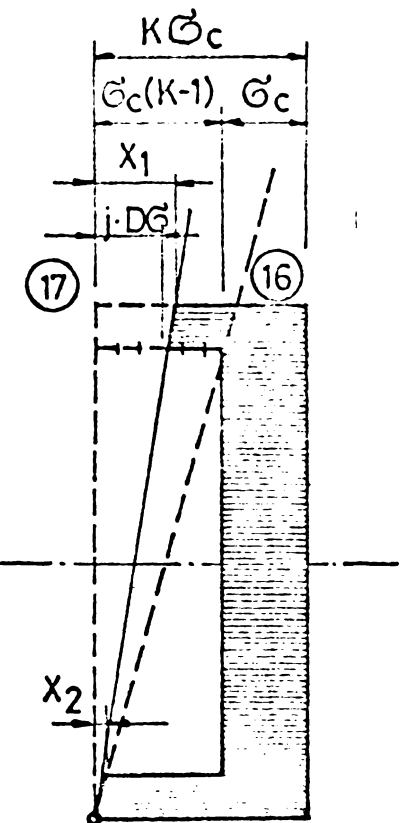


Fig 7.17' $\tau = 0$

$$DS = \frac{G_c(K-1)}{n} ; \quad n = 4$$

$$x_1 = \frac{h \cdot j \cdot DG}{h-t}$$

$$N' = -A_t \cdot (2 \cdot K \cdot G_c - x_1) + A_i \cdot G_c$$

$$M' = \frac{1}{2} \cdot j \cdot DG \cdot A_t (h-t)$$

$$T' = 0$$

CURBA "C 4": intervalul 16-15

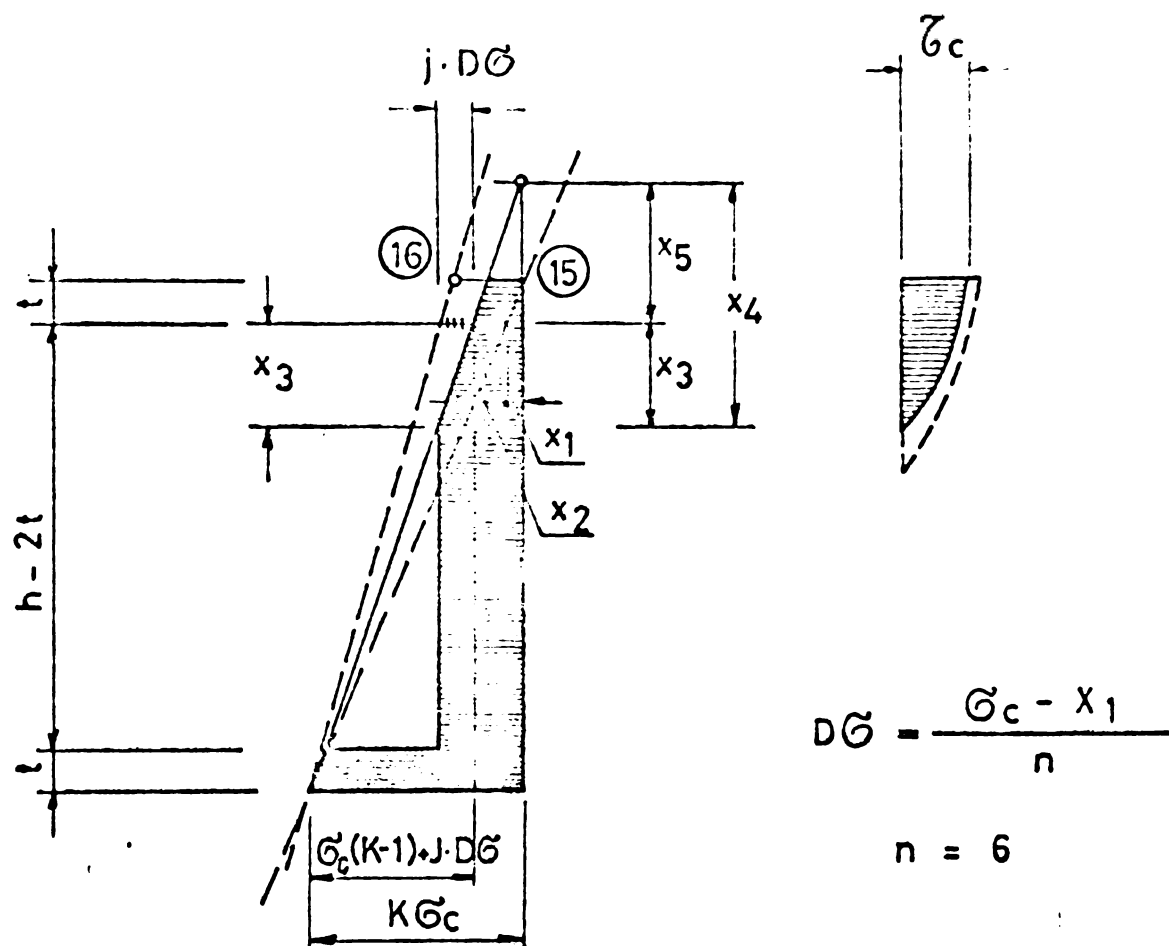


Fig 7.18'

$$x_1 = \frac{t \cdot K \cdot G_c}{h} ; \quad x_4 = G_c(K-1) + J \cdot D_G$$

$$x_2 = \frac{t \cdot x_A}{h-t} ; \quad x_4 = \frac{G_c(h-t)}{x_A}$$

$$x_3 = \frac{J \cdot D_G \cdot (h-t)}{x_A} ; \quad x_5 = x_4 - x_3$$

$$N' = At \cdot K \cdot G_c + A_i \cdot G_c - \frac{1}{2} x_3 J \cdot D_G \cdot g + (G_c - J \cdot D_G - x_2)At$$

$$M' = \frac{1}{2} At(h-t) \left[K \cdot G_c - (G_c - J \cdot D_G - x_2) \right] - x_2 At \left(\frac{h}{2} - \frac{2t}{3} \right) - \frac{1}{2} x_3 \cdot J \cdot D_G \left(\frac{h-2t}{2} - \frac{x_3}{3} \right)$$

$$T' = \frac{G_c}{\sqrt{3}} \left[x_3 - \frac{x_4^3 - x_5^3}{3 \cdot x_4^2} \right] g$$

CURBA "C4": intervalul 7-11

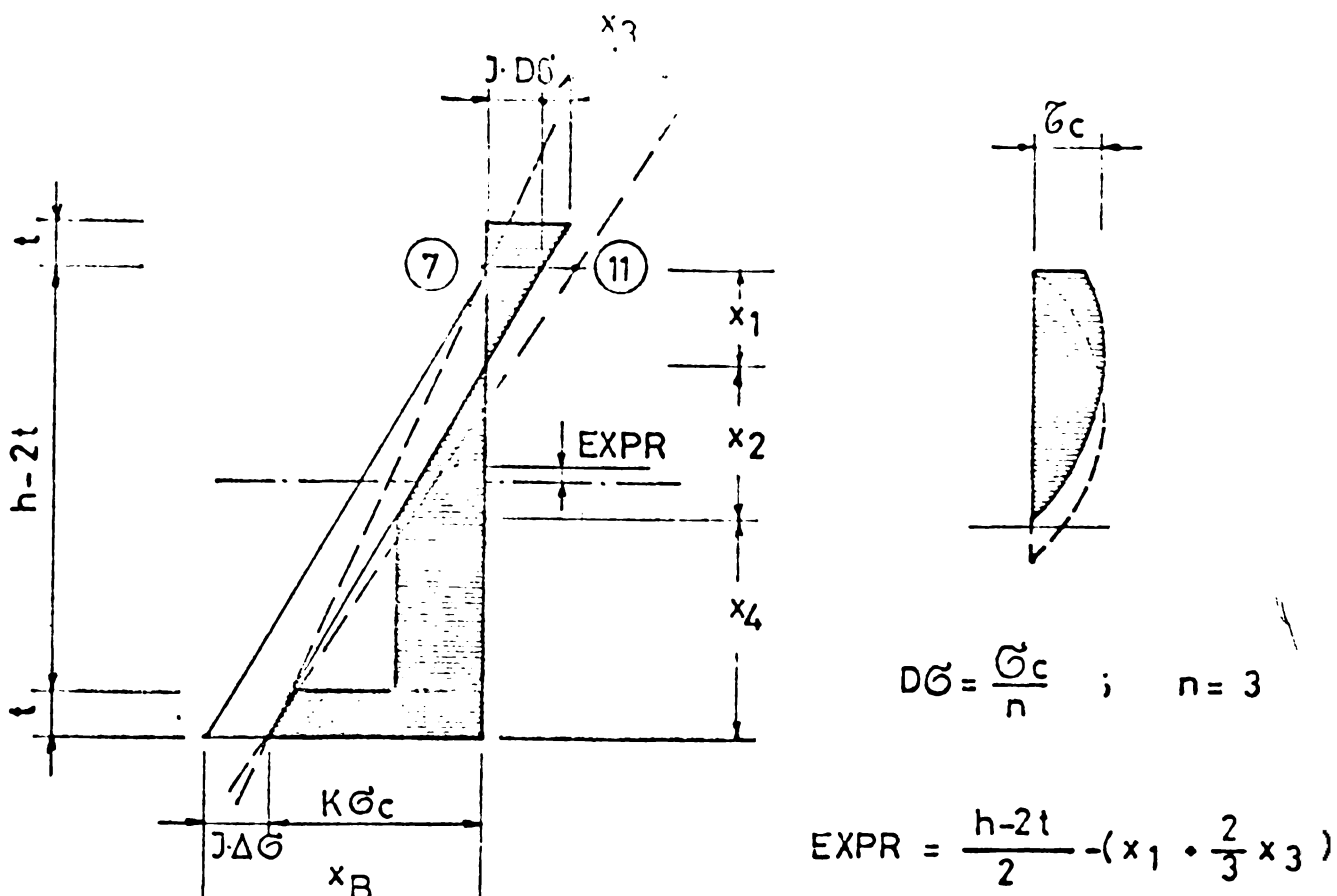


Fig 7.19'

$$j \cdot DG + K G_c = x_3$$

$$x_1 = \frac{j \cdot DG(h-t)}{x_B}$$

$$x_3 = \frac{t \cdot x_B}{h-t}$$

$$x_2 = \frac{G_c(h-t)}{x_B}$$

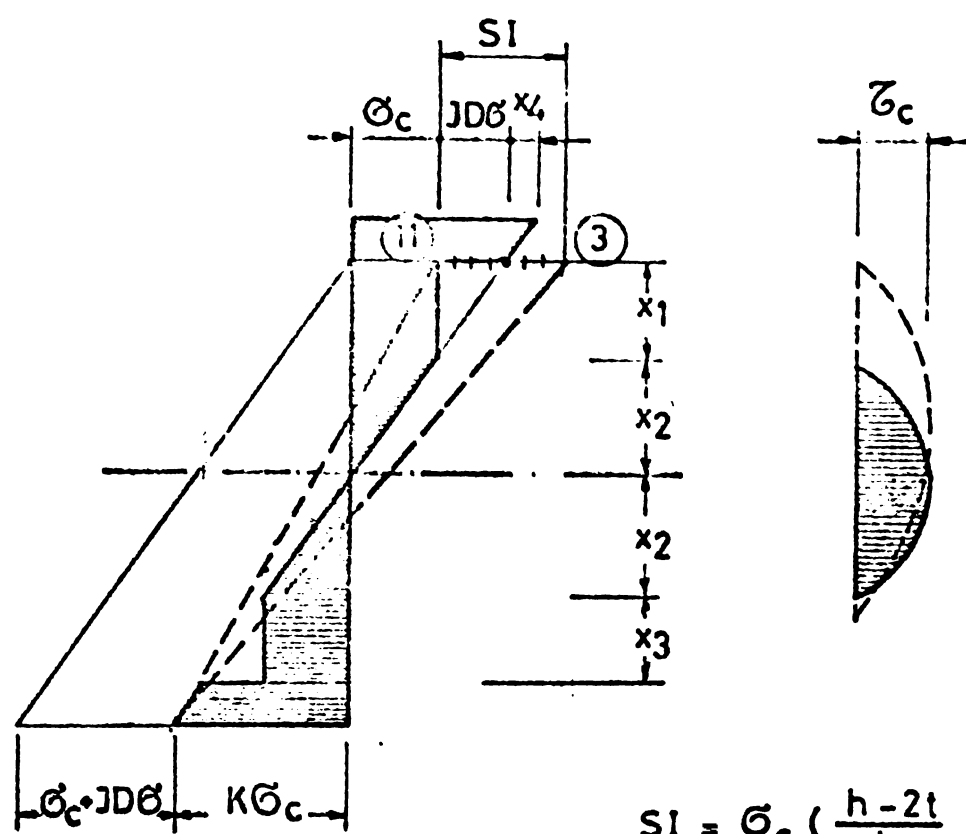
$$x_4 = h-2t - (x_1 + x_2)$$

$$N' = \frac{1}{2} G_c x_2 \cdot g + G_c \cdot x_4 \cdot g + A t (K G_c - x_3) - \frac{1}{2} x_1 \cdot j \cdot \Delta G \cdot g - j \cdot \Delta G_c A t$$

$$M' = \frac{1}{2} A t \left[(h-t)(K G_c - x_3) + x_3 (h - \frac{2}{3} t) \right] + \frac{1}{2} G_c x_4 g (h-2t-x_4) + \frac{1}{2} j \cdot \Delta G \cdot x_1 \cdot g \left(\frac{h-2t}{2} - \frac{x_1}{3} \right) + j \cdot \Delta G A t \cdot \frac{h-t}{2}$$

$$T' = \frac{G_c}{\sqrt{3}} (x_1 \cdot x_2 - \frac{x_2^3 + x_1^3}{3 x_2^2}) \cdot g$$

CURVA *de la resistencia de tierra* 11-3



$$SI = G_c \left(\frac{h-2t}{h} K - 1 \right)$$

Fig 7.20

$$x_c = K G_c \cdot G_c \cdot J \cdot \Delta G \quad ; \quad \Delta G = \frac{SI}{n} \quad ; \quad n = 5$$

$$x_1 = \frac{J \cdot \Delta G (h-t)}{x_c} \quad ; \quad x_3 = h - 2t - 2x_2 - x_1$$

$$x_2 = \frac{G_c (h-t)}{x_c} \quad ; \quad x_4 = \frac{t \cdot x_c}{h-t}$$

$$N' = A t (K G_c - x_4 - G_c \cdot J \cdot \Delta G) \cdot G_c g (x_3 - x_1)$$

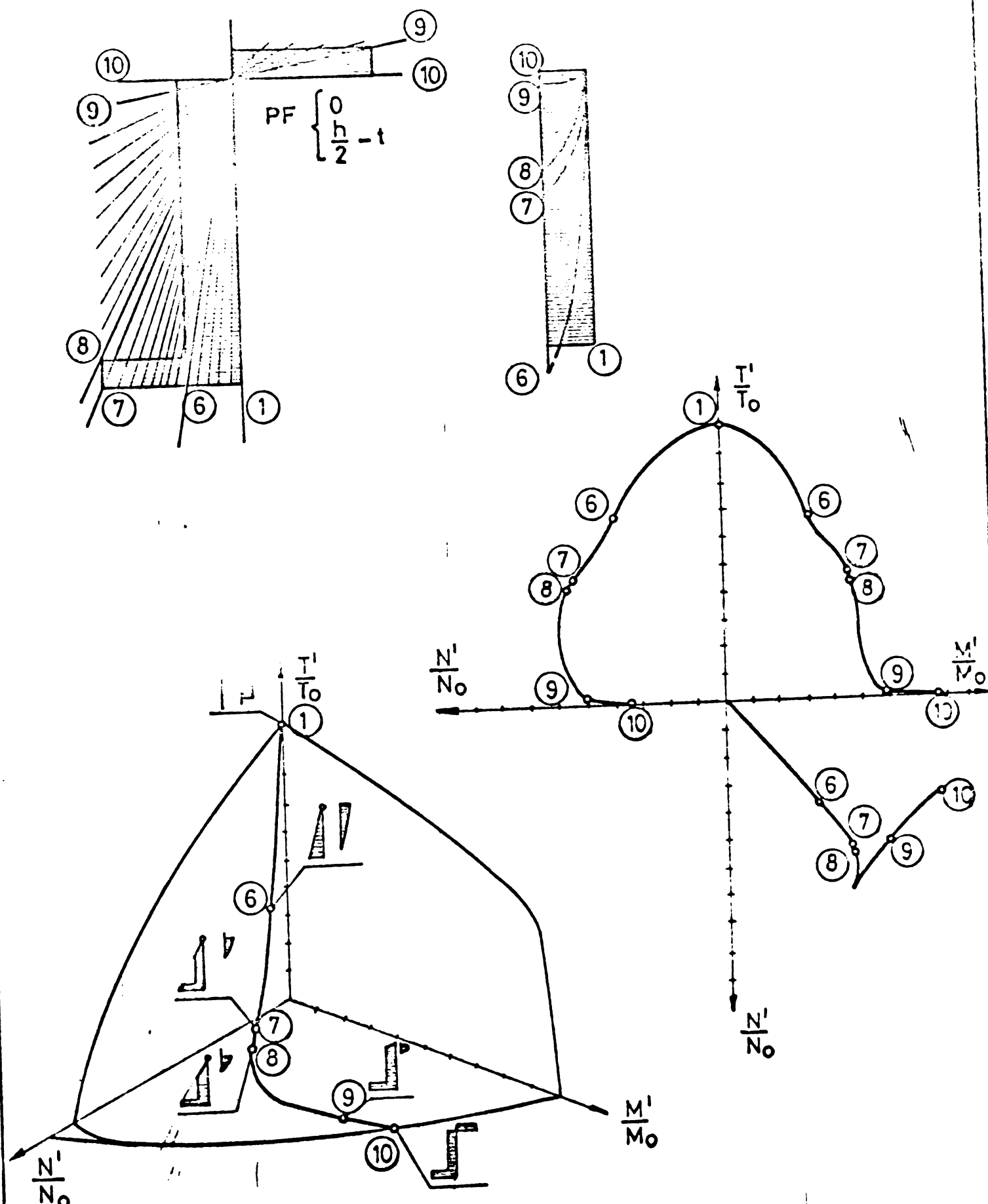
$$M' = \frac{1}{2} A t (K G_c - x_4)(h-t) \cdot A t \cdot x_4 \left(\frac{h}{2} - \frac{t}{3} \right) - G_c x_3 g (h-2t-x_3) \cdot$$

$$\cdot \frac{2}{3} G_c \cdot g \cdot x_2^2 + \frac{1}{2} G_c \cdot g \cdot x_1 (h-2t-x_3) \cdot \frac{1}{2} A t (G_c \cdot J \cdot \Delta G) (h-t)$$

$$T' = \frac{4}{3} \frac{G_c}{\sqrt{3}} x_2 \cdot g$$

CURBA „C 5“

$$\eta_1 = \frac{1}{2} - \chi$$



CURBA „C5” : intervalul 1-6

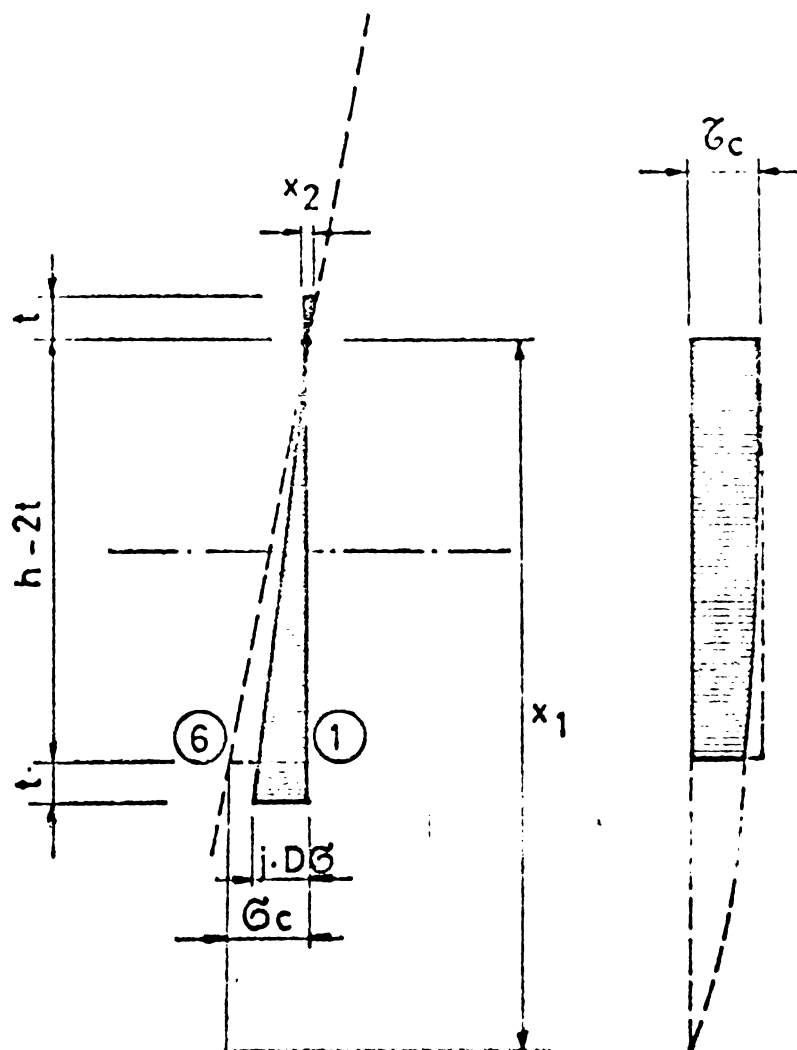


Fig 7.22

$$x_1 = \frac{G_c \cdot (h-2t)}{J \cdot DG}$$

$$DS = \frac{G_c}{n}$$

$$n = 5$$

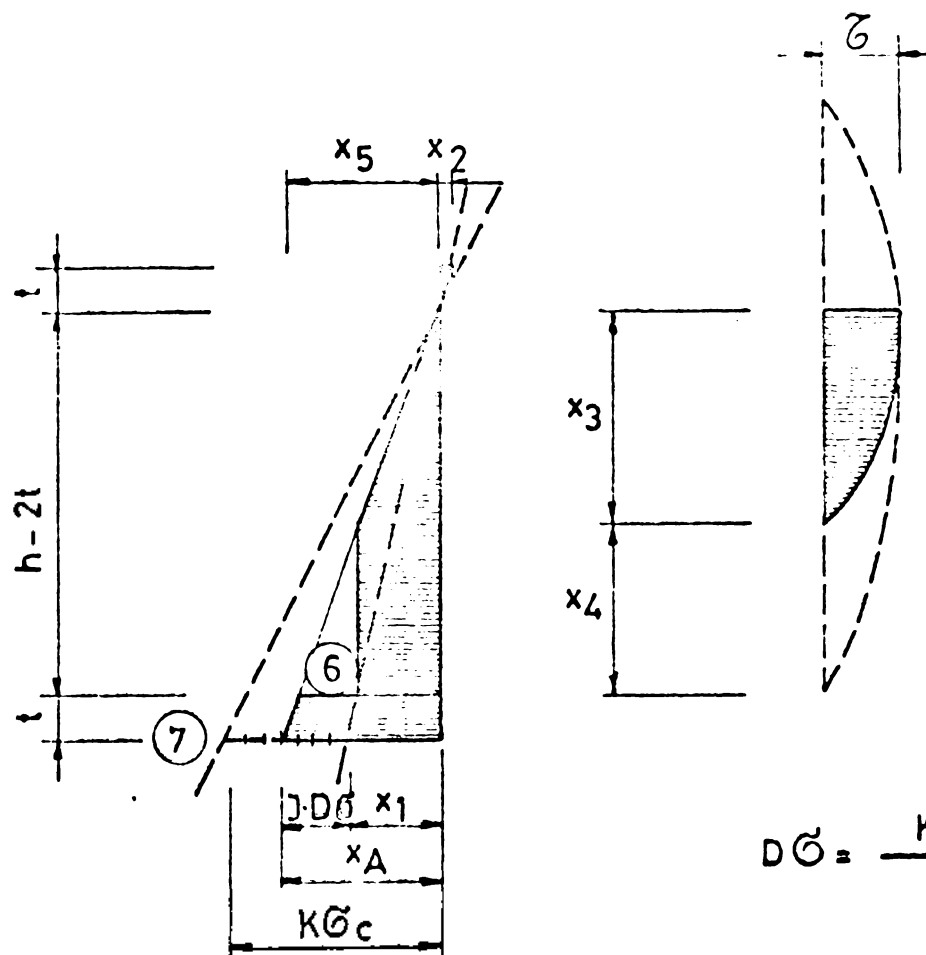
$$x_2 = \frac{J \cdot DG \cdot t}{h - 2t}$$

$$N' = J \cdot DG \left[At + \frac{1}{2} (h-2t) g \right]$$

$$M' = \frac{1}{2} \cdot J \cdot DG \left[(h-2t)^2 \cdot g \cdot \frac{1}{6} + At \cdot (h-t) \right] \cdot \frac{1}{2} x_2 \cdot At \left(h - \frac{2}{3} t \right)$$

$$T' = \frac{G_c}{\sqrt{3}} \left[h - 2t - \frac{(h-2t)^3}{3x_1^2} \right] g$$

- 113 -
CURBA „C5” intervalul 6-7



$$DG = \frac{K \cdot G_c - x_1}{n}; n=5$$

‘Fig 7.23’

$$x_1 = G_c \cdot \frac{h-t}{h-2t} ; \quad x_A = x_1 + J \cdot DG$$

$$x_2 = \frac{t \cdot x_A}{h-t} ; \quad x_4 = h - 2t - x_3$$

$$x_3 = \frac{G_c(h-t)}{x_A} ; \quad x_5 = \frac{(h-2t) \cdot x_A}{h-t}$$

$$N' = x_4 \cdot g \cdot G_c + \frac{1}{2} x_3 \cdot g \cdot G_c + x_5 \cdot A \cdot t .$$

$$M' = \frac{1}{2} x_2 \cdot A \cdot t \left(h - \frac{2}{3} t \right) + \frac{1}{2} \cdot x_5 \cdot A \cdot t \left(h - t \right) + \frac{1}{2} x_4 \cdot g \left(h - 2t - x_4 \right) G_c$$

$$T' = \frac{2}{3} \cdot \frac{G_c}{\sqrt{3}} \cdot x_3 g$$

CURBA „C5” intervalul 8-9

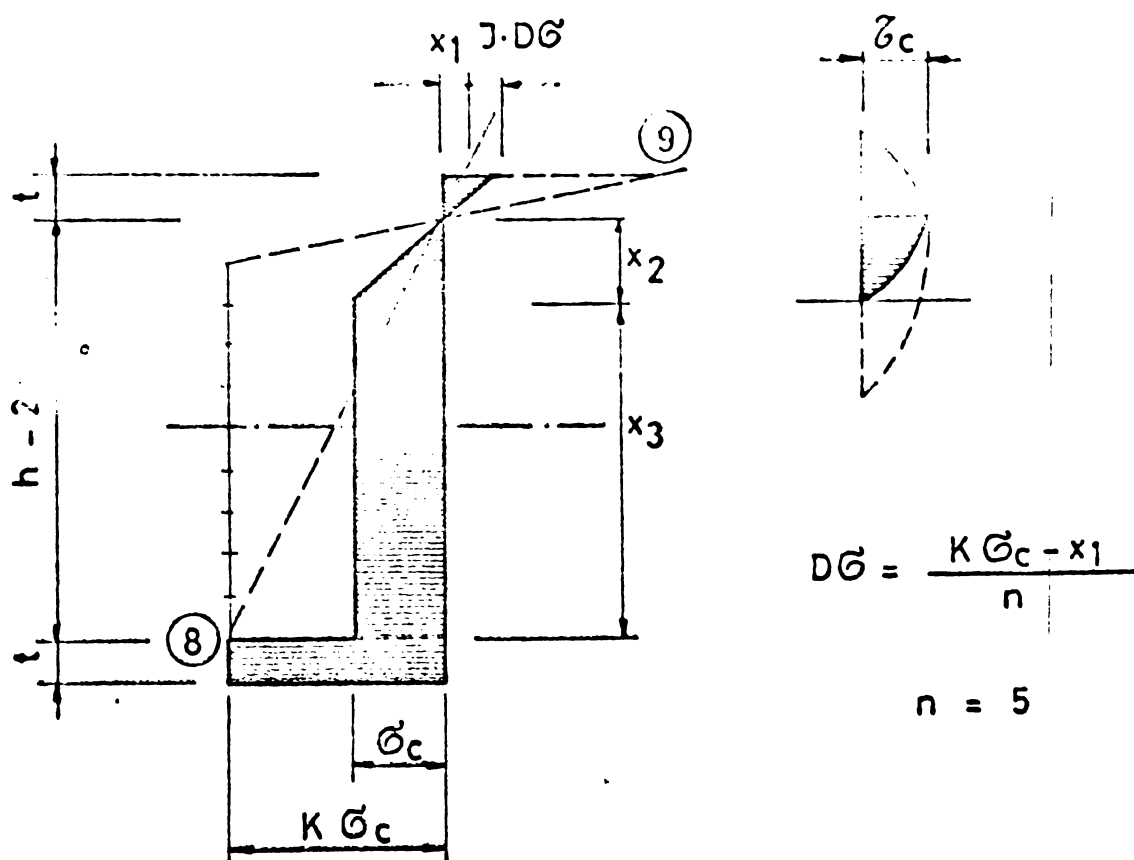


Fig 7.24

$$x_1 = \frac{t \cdot K \cdot G_c}{h - 2t}$$

$$x_3 = h - 2t - x_2$$

$$x_2 = \frac{t \cdot G_c}{x_1 + J \cdot DG}$$

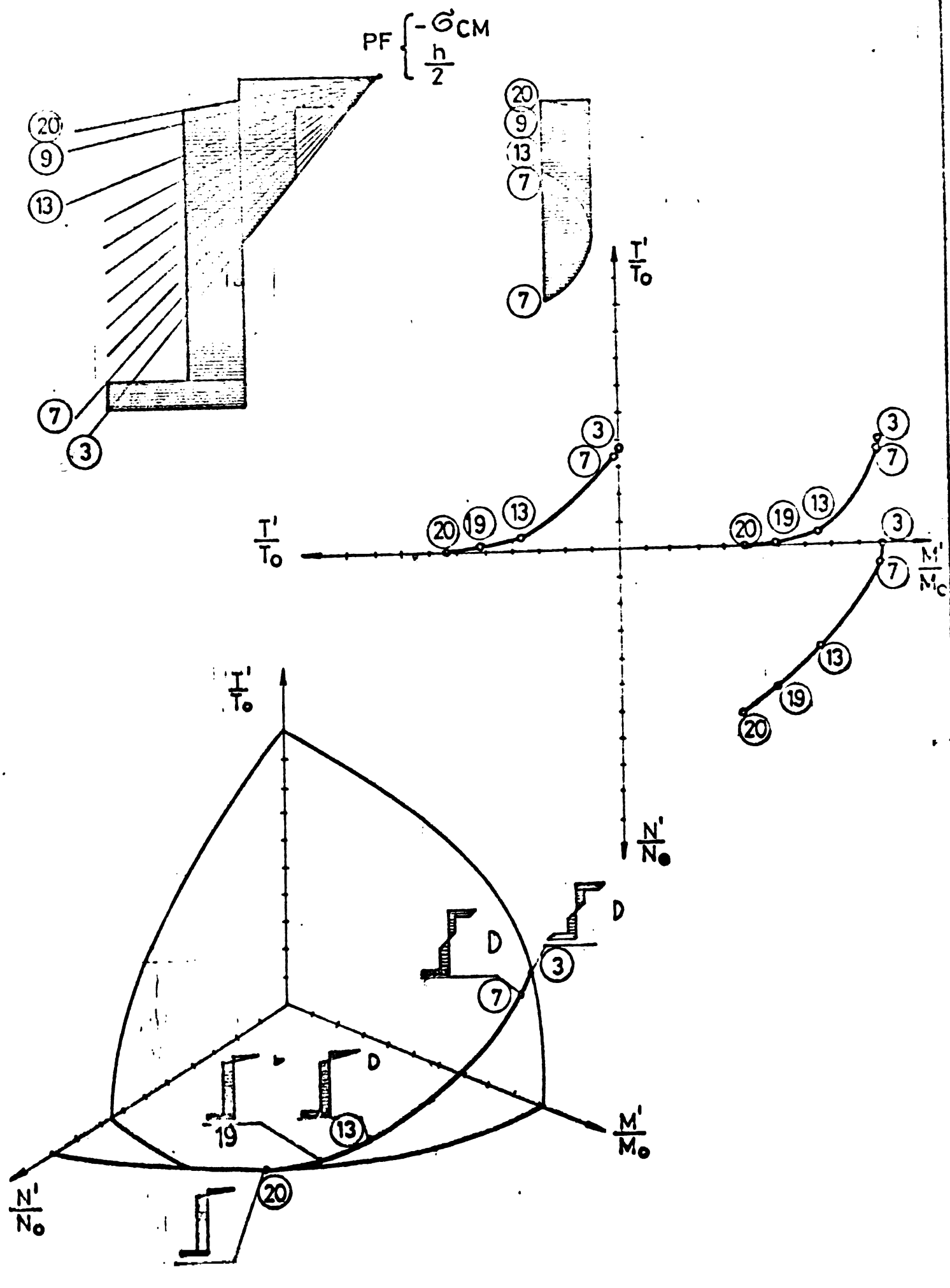
$$N' = At \left(K \cdot G_c - \frac{1}{2} x_1 - \frac{1}{2} J \cdot DG \right) \cdot G_c \cdot g \left(x_3 + \frac{1}{2} x_2 \right)$$

$$M' = \frac{1}{2} At \left[K \cdot G (h-t) + (x_1 + J \cdot DS) \left(\frac{h}{2} - \frac{t}{3} \right) \cdot \right. \\ \left. + \frac{1}{2} x_2 \cdot G_c \cdot g \left(\frac{h-2t}{2} - \frac{x_2}{3} \right) \right]$$

$$T' = \frac{G_c}{3 \cdot \sqrt{3}} \cdot x_2 \cdot g$$

CURBA „C 6“

$$\gamma_1 \cdot \gamma_2 = \frac{1}{2}$$



CURBA „C6” în punctul 3

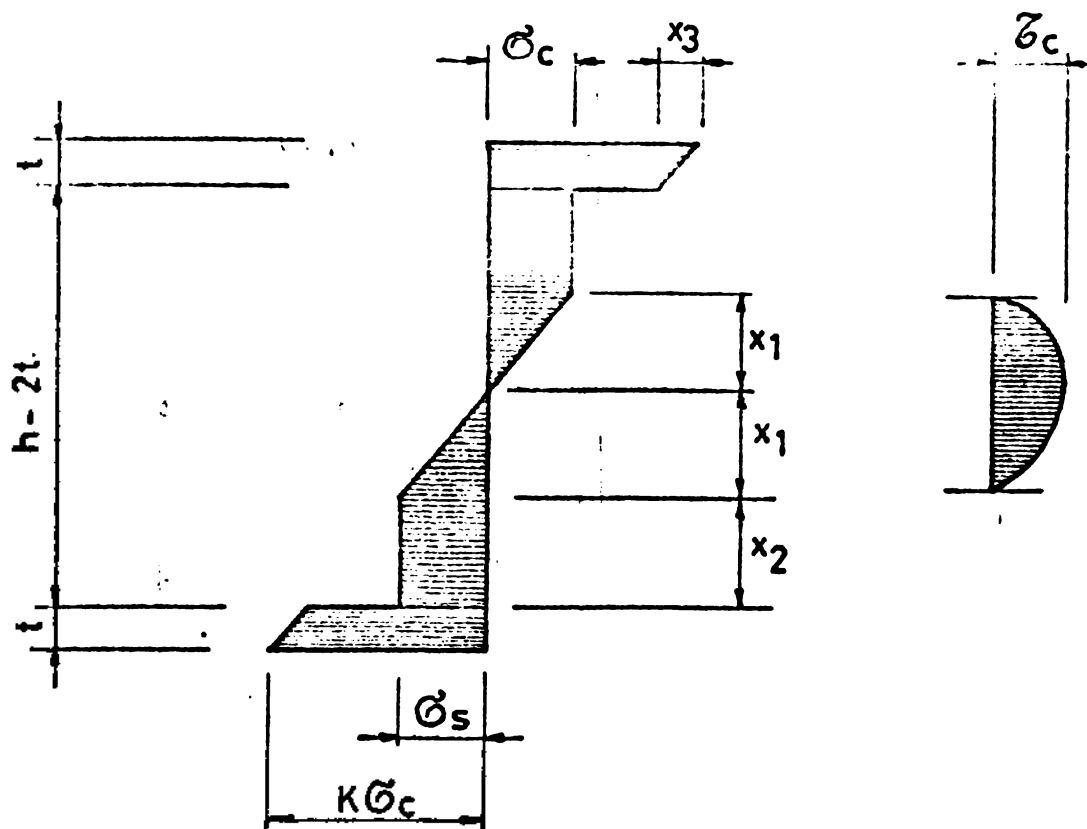


Fig 7.26'

$$x_1 = \frac{h}{2t}$$

$$x_2 = \frac{h-2t}{2} - x_1$$

$$x_3 = \frac{2t K G_c}{h}$$

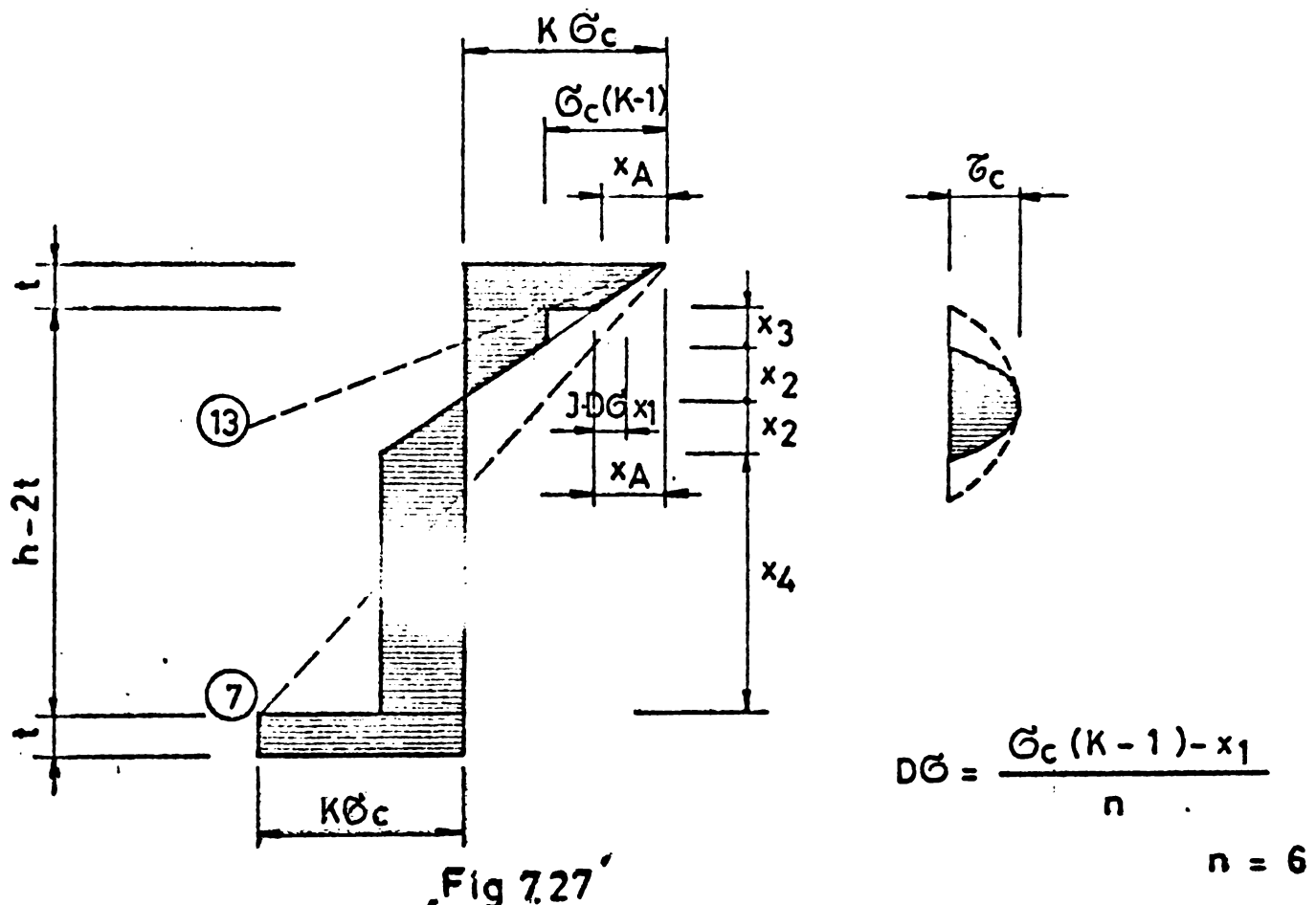
$$N' = 0$$

$$M' = At \cdot (KG_c - x_3)(h-t) + \frac{1}{2} At \cdot x_3 \left(h - \frac{2}{3}t\right)$$

$$\bullet x_2 G_c g (h-2t-x_2) + \frac{2}{3} G_c \cdot g \cdot x_1^2$$

$$T' = \frac{4}{3} \frac{G_c}{\sqrt{3}} x_1 \cdot g$$

CURBA „C-6“ intervalul 7-13



$$x_1 = \frac{2t \cdot K G_c}{h-t} ; \quad x_1 + J \cdot D G = x_A$$

$$x_2 = \frac{t \cdot G_c}{x_A} ; \quad x_3 = \frac{G_c (K-1) - x_A}{x_A}$$

$$x_4 = h - 2t - x_3 - 2x_2$$

$$N' = \frac{1}{2} A t (J \cdot D G + x_1) + g \cdot G_c (x_4 - x_3)$$

$$M' = \frac{1}{2} A t (h-t) (2 K G_c - x_A) + \frac{1}{2} G \cdot g \left[x_4 (h-2t-x_4) + x_3 (h-2t-x_3) \right] + \frac{2}{3} G_c \cdot g \cdot x_2^2 + \frac{1}{2} \cdot x_A \left(\frac{h}{2} - \frac{1}{3} \right) A t$$

$$T' = \frac{4}{3} \frac{G_c}{\sqrt{3}} g \cdot x_2$$

CURBA „C 6" intervalul 13-9

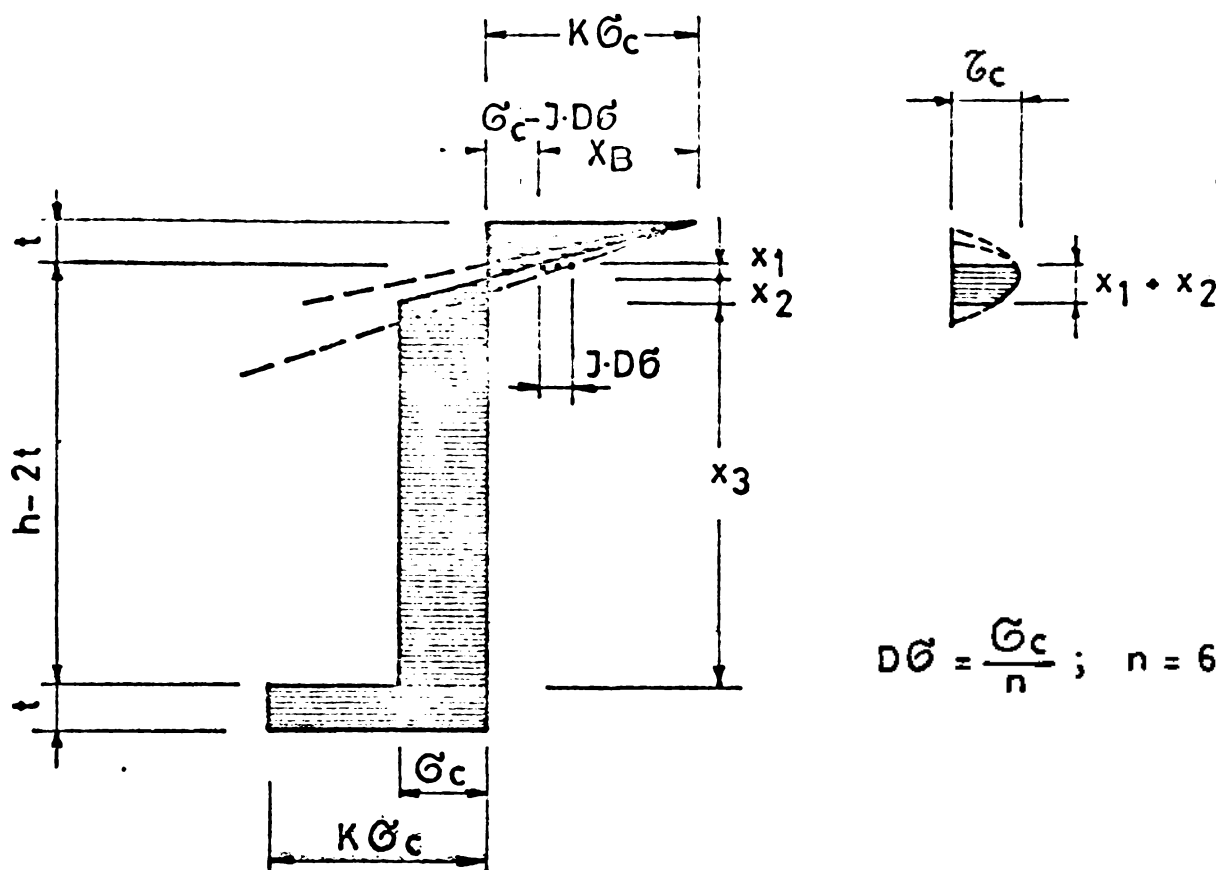


Fig 7.28'

$$x_1 = \frac{t \cdot (G_c - J \cdot DG)}{x_B} ; \quad x_B = G_c \cdot (K-1) + J \cdot DG$$

$$x_2 = \frac{t \cdot G_c}{x_B} ; \quad x_3 = h - 2t - x_1 - x_2$$

$$N' = \frac{At \cdot x_B}{2} \cdot G_c \cdot g \left(x_3 + \frac{1}{2} x_2 \right) - \frac{1}{2} x_1 \cdot g (G_c - J \cdot DG)$$

$$M' = At \frac{h-t}{2} (K G_c \cdot G_c - J \cdot DG) \cdot G_c \cdot g \cdot x_3 \left(\frac{h-2t}{2} - \frac{x_3^3}{2} \right) - \\ - \frac{1}{2} G_c \cdot x_2 \cdot g \left(\frac{h-2t}{2} - x_1 - \frac{2}{3} x_2 \right) \cdot \frac{1}{2} x_1 (G_c - J \cdot DG) \left(\frac{h-2t}{2} - \frac{x_1^3}{3} \right) - \\ - \frac{x_1}{3} \cdot \frac{1}{2} \cdot x_B \cdot At \left(\frac{h}{2} - \frac{t}{3} \right)$$

$$T' = \frac{G_c}{\sqrt{3}} \left[2x_2 + x_1 \left(3 - \frac{x_1^2}{x_2^2} \right) \right] \cdot g$$

CURBA „C 6” în punctul 20

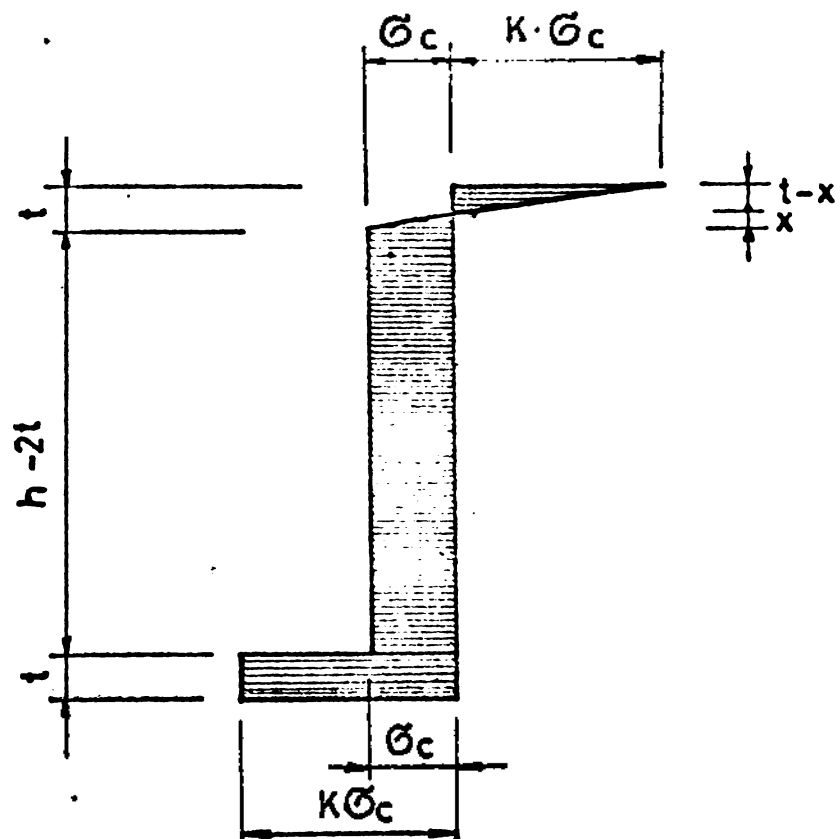


Fig 7.29

$$x' = -\frac{t}{k+1}$$

$$N_1 = \frac{1}{2} G_c \cdot x \cdot b$$

$$N_2 = \frac{1}{2} \cdot K \cdot G_c \cdot (t - x) \cdot b$$

$$N' = At \mathcal{G}_c \cdot K + (h - 2t) \cdot g \mathcal{G}_c + N_1 - N_2$$

$$M^t = \frac{1}{2} At \cdot G_C K(h-t) = N_1 \left(\frac{h-2t}{2} + \frac{x}{3} \right) + N_2 \left(\frac{h}{2} - \frac{t-x}{3} \right)$$

T' = 0

CURBA "C 7"

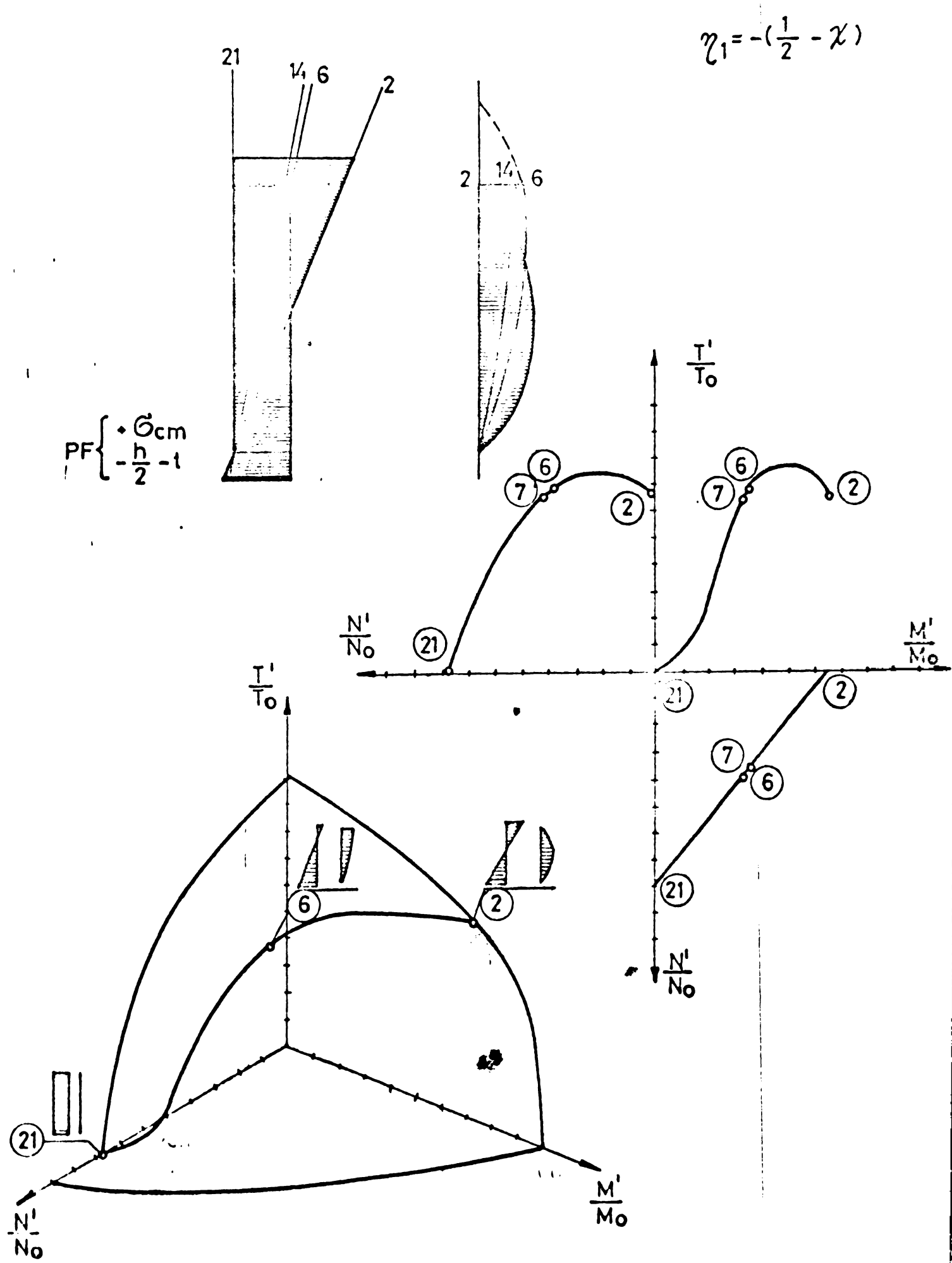


Fig 7.30

CURBA „C 7“ intervalul 14 - 21

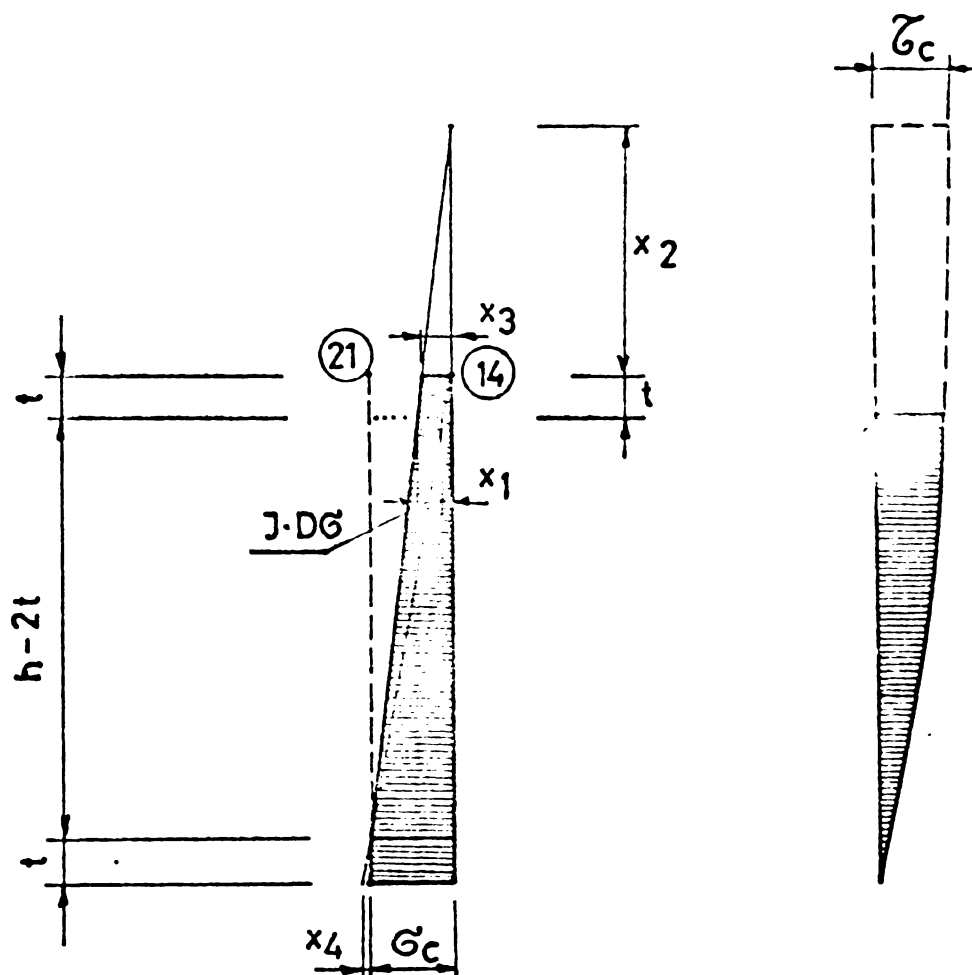


Fig 7.31 $DG = \frac{G_c - x_1}{n}$; $n = 7$

$$x_1 = \frac{G_c \cdot t}{h-t}$$

$$x_2 = \frac{(x_1 + 3 \cdot DG)(h-t) - G_c \cdot t}{G_c - (x_1 + 3 \cdot DG)} ; \quad x_2 = \frac{x_2 \cdot G_c}{h-t + x} =$$

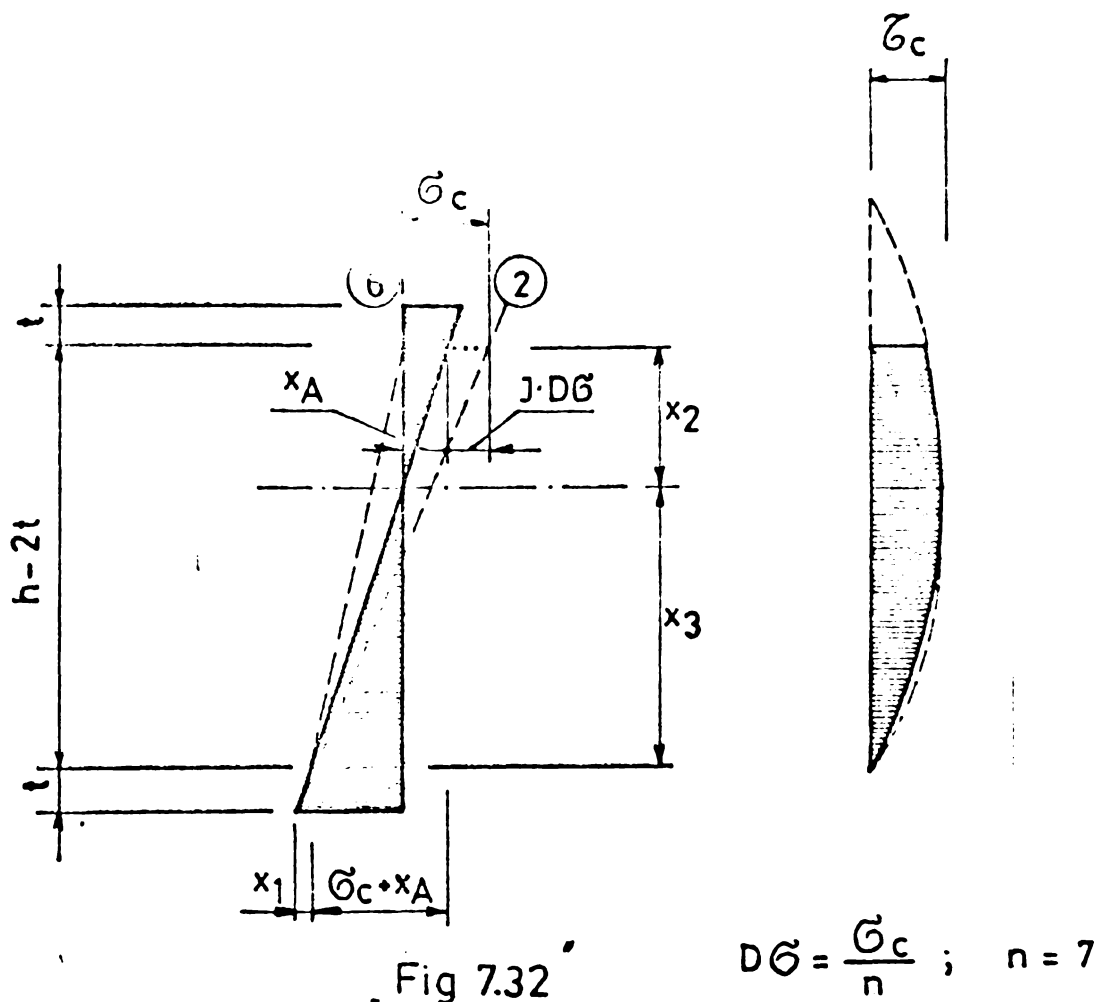
$$x_4 = x_1 + 3 \cdot DG - x_3$$

$$N' = (G_c + x_3 + x_4) At + \frac{1}{2} (G_c + x_1 + 3 \cdot DG) \cdot (h - 2t) \cdot g$$

$$M' = \frac{1}{2} At (h-t) (G_c - x_3) + \frac{1}{12} g (h-2t) (G_c - x_1 + 3 \cdot DG) \cdot \\ \cdot \frac{1}{6} x_4 \cdot At \cdot t$$

$$T = \frac{G_c}{\sqrt{3}} \left[h - 2t - \frac{(h-t+x_2)^3 - (x_2+t)^3}{3(h-t+x_2)^2} \right] \cdot g$$

CURBA „C7“ intervalul 2-6



$$DG = \frac{G_c}{n} ; \quad n = 7$$

$$x_A = G_c - j \cdot DG ; \quad x_2 = \frac{x_A (h-2t)}{G_c + x_A}$$

$$x_1 = \frac{t (G_c + x_A)}{h-2t} ; \quad x_3 = \frac{G_c (h-2t)}{G_c + x_A}$$

$$N' = At (G_c - x_A) + \frac{1}{2} g (G_c x_3 - x_2 x_A)$$

$$M' = \frac{1}{2} At \cdot (h-t)(G_c + x_A) + \frac{1}{2} x_1 At \left(h - \frac{2}{3} t\right) + \frac{1}{2} x_3 G_c g \left(\frac{h-2t}{2} - \frac{x_3}{3}\right) + \frac{1}{2} x_2 \cdot x_A g \left(\frac{h-2t}{2} - \frac{x_2}{3}\right)$$

$$T' = \frac{G_c}{3 \sqrt{3}} \left[2 x_3 + x_2 \left(2 - \frac{x_2^2}{x_3^2} \right) \right] g$$

CURBA „C 8"

$$\eta_2 - \eta_1 = \frac{1}{2} - \chi$$

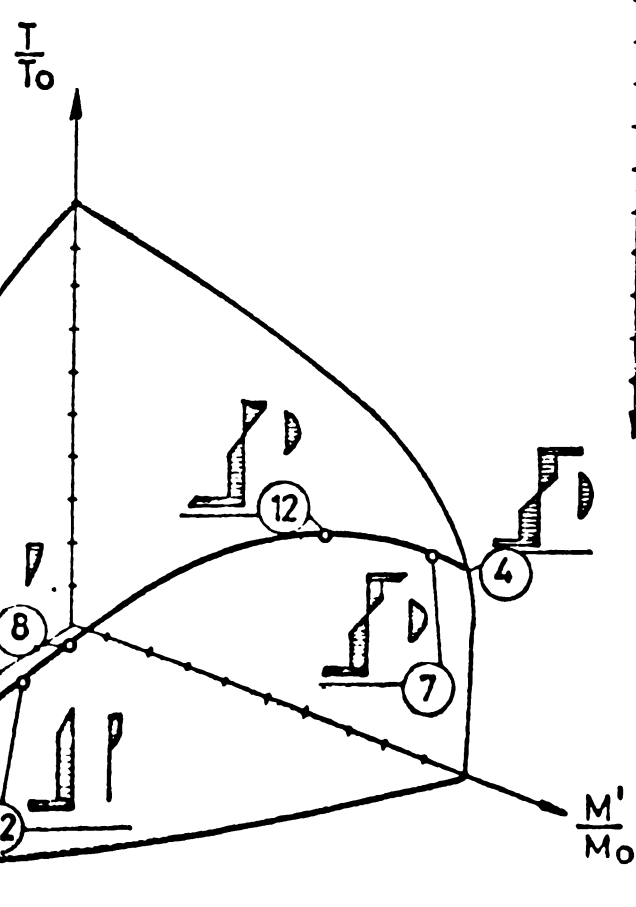
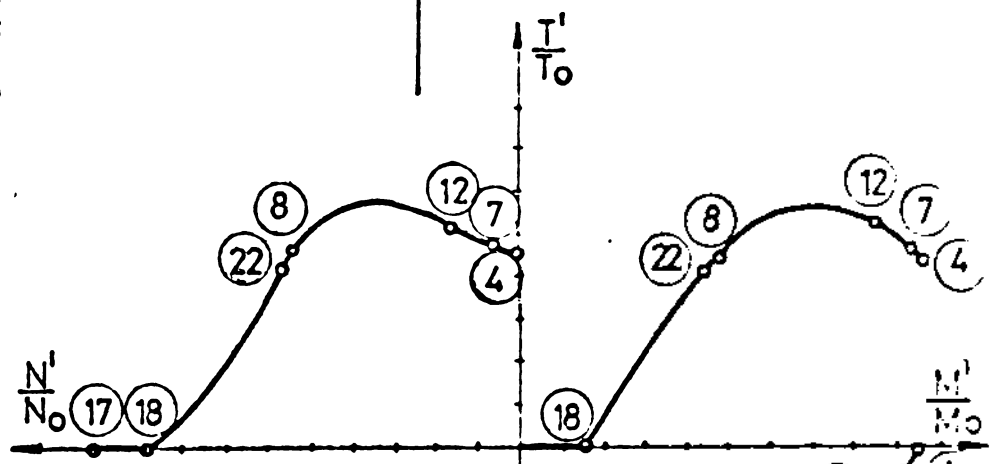
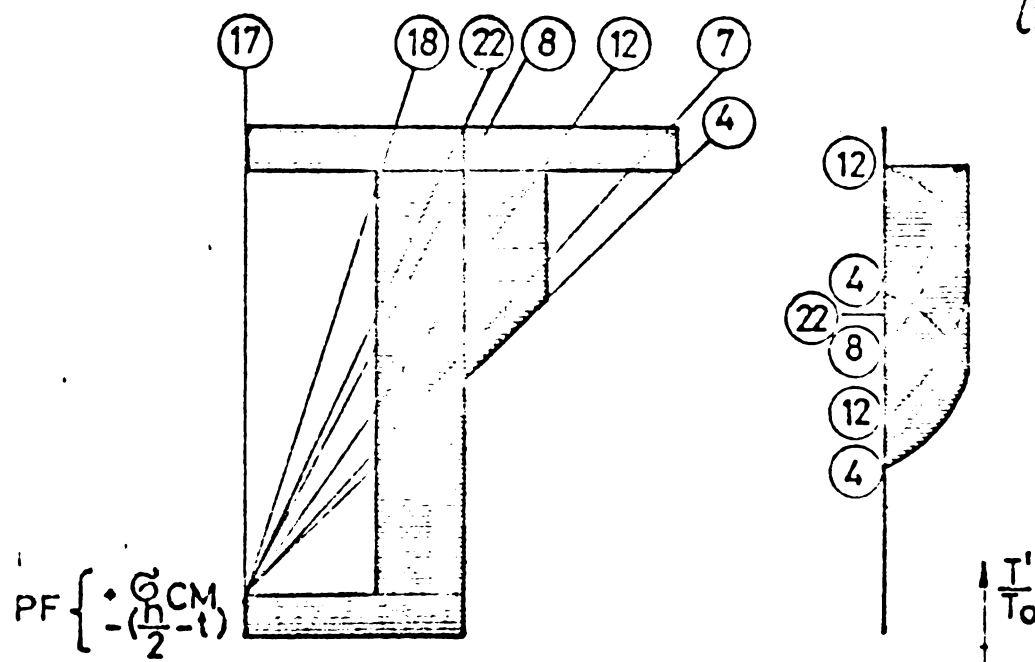


Fig 7.33

CURBA „C8” intervalul 18-22

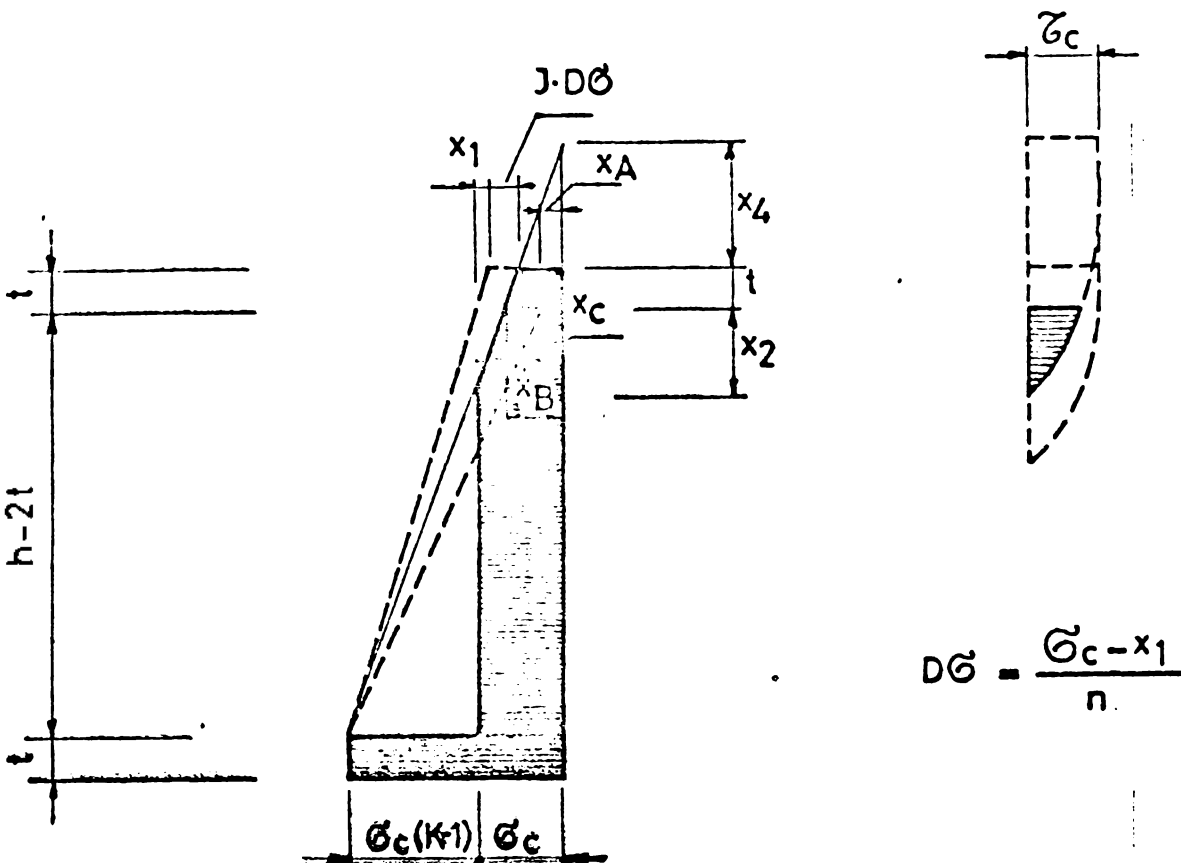


Fig 7.34

$$x_1 = \frac{t \cdot G_c(K-1)}{h-2t} ; \quad x_A = G_c - (x_1 + J \cdot DG)$$

$$x_2 = \frac{(h-2t)(x_1 + J \cdot DG) - t \cdot G_c(K-1)}{G_c(K-1) \cdot x_1 + J \cdot DG} ; \quad x_3 = \frac{x_2 G_c(K-1)}{h-2t-x_2}$$

$$x = \frac{x_A t}{x_C} ; \quad x_B = G_c - x_3 ; \quad x_C = x_B - x_A$$

$$N' = K \cdot G \cdot At + (h-2t) \cdot G_c \cdot g - \frac{1}{2} x_2 x_3 \cdot g \cdot \frac{1}{2} (x_B + x_A) \cdot At$$

$$M' = \frac{1}{2} At \cdot K G_c (h-t) \cdot \frac{1}{3} x_2 x_3 g \left(\frac{h-2t}{2} - \frac{x_2}{3} \right) -$$

$$- \frac{1}{2} x_A (h-t) At - \frac{1}{2} x_C At \left(\frac{h}{2} - \frac{2t}{3} \right)$$

$$T' = \frac{G_c}{\sqrt{3}} \left[x_2 - \frac{(x_2 + t + x_4)^3 - (t + x_4)^3}{3 \cdot (x_2 + t + x_4)^2} \right] \cdot g$$

CURBA „C 8” intervalul 8-12

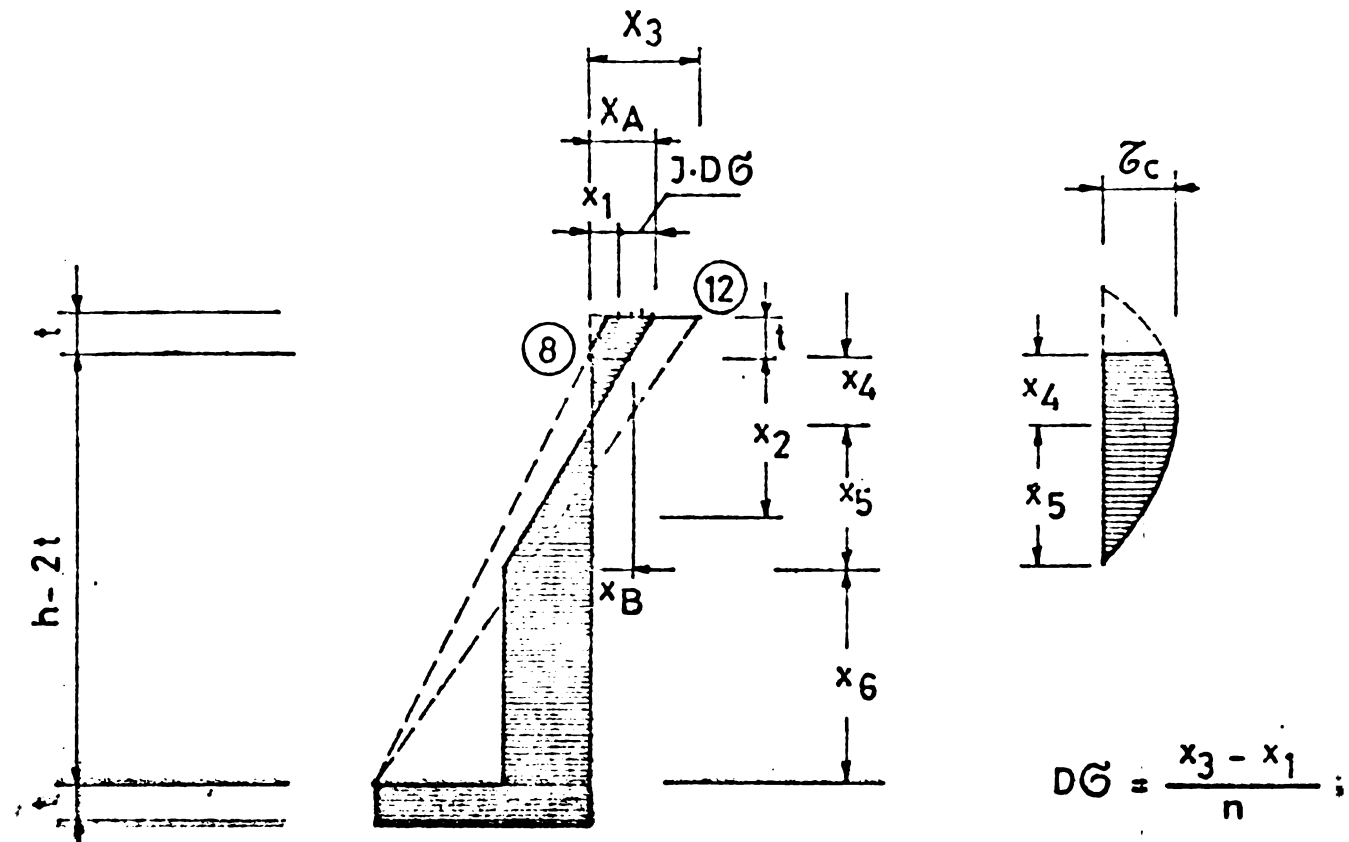


Fig 7.35

$$x_1 = \frac{Kt \cdot G_c}{h-2t};$$

$$x_B = \frac{G_c(t+x_2)}{x_2}$$

$$x_2 = \frac{h-2t}{K+1};$$

$$x_4 = \frac{x_A(h-2t) - KG_c t}{KG_c \cdot x_A}$$

$$x_A = x_1 + J \cdot DG;$$

$$x_5 = \frac{G_c(t+x_4)}{x_A}; \quad x_6 = h-2t - x_4 - x_5.$$

$$N' = At \left[KG_c - \frac{1}{2}(x_A + x_B) \right] \cdot G_c \cdot g (x_6 + \frac{1}{2}x_5) - \frac{1}{2}x_4 x_B \cdot g$$

$$M' = \frac{1}{2} KG_c \cdot At (h-t) \cdot \frac{1}{2}(2 \cdot x_A + x_B) \cdot G_c \cdot g \left[\frac{h-2t}{2} - \frac{x_6^2 + x_5(x_6 + \frac{x_5}{3})}{2x_6 + x_5} \right] + \frac{1}{2} x_4 x_B g \cdot (\frac{h-2t}{2} - \frac{x_4}{3}) \cdot \frac{1}{2} (x_A - x_B) At \left(\frac{h}{2} - \frac{1}{3} \right)$$

$$T' = \frac{G_c}{\sqrt{3}} \left[(x_5 + x_4) - \frac{x_5^3 + x_4^3}{3x_5^2} \right] \cdot g$$

CURBA „Cg” intervalul 12-7

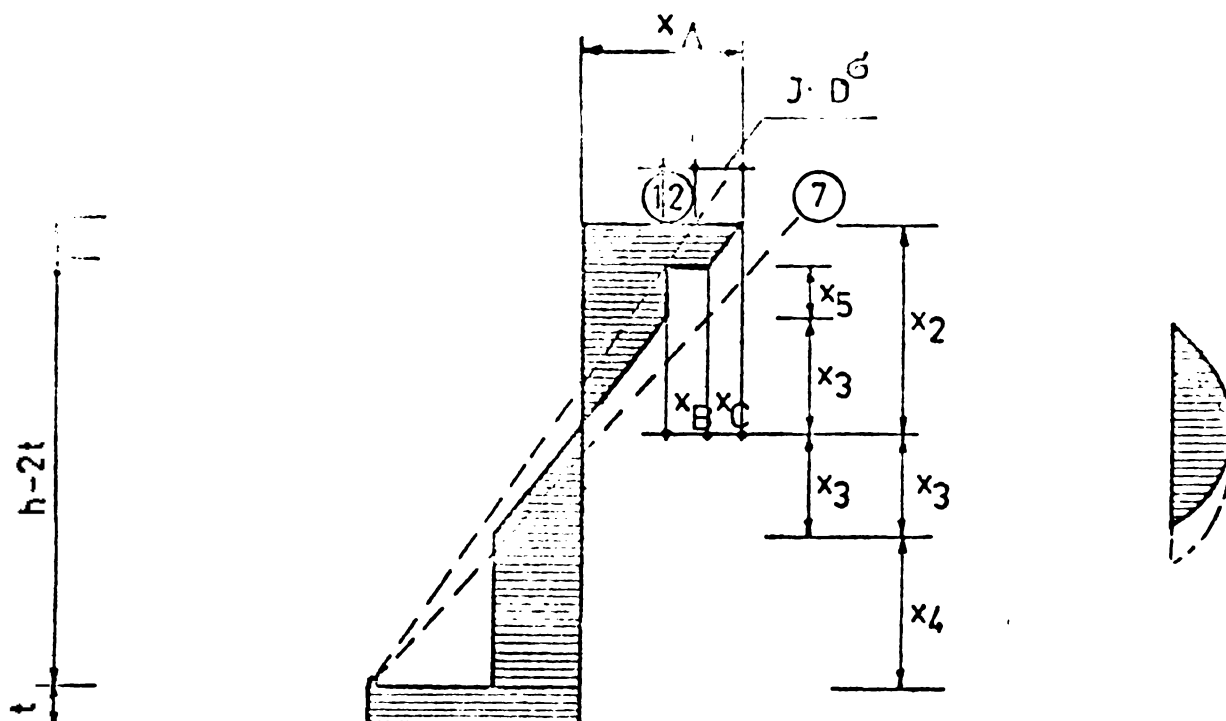


Fig 7.36

$$D\sigma = \frac{K \cdot \sigma_c - (x_1 + \sigma_c)}{n}$$

$$n = 4$$

$$x_1 = \frac{t \cdot \sigma_c (K+1)}{(h-2t)} ;$$

$$x_A = \sigma_c + x_1 + J \cdot D\sigma ;$$

$$x_4 = \frac{x_2 \cdot \sigma_c (K-1)}{x_A}$$

$$x_2 = \frac{x_A (h-t)}{x_A + K \sigma_c} ;$$

$$x_3 = \frac{x_2 \cdot \sigma_c}{x_A} ;$$

$$x_5 = h - 2t - x_4 - 2x_3$$

$$x_3 = \frac{x_5 - x_A}{x_2}$$

$$x_c = x_1 + J D\sigma - x_B$$

$$N' = A_t (K \sigma_c - \frac{1}{2} x_c) + \sigma_c \cdot g (x_4 - x_5) - (\sigma_c + x_B) \cdot A \cdot t$$

$$M' = \frac{1}{2} (h-t) (K \sigma_c + \sigma_c + x_B) A_t + \frac{\sigma_c \cdot g}{2} \left[x_4 (h-2t-x_4) + \right.$$

$$\left. + x_5 - (h-2t-x_5) \right] + \frac{2}{3} \sigma_c \cdot g \cdot x_3^2 + \frac{1}{2} x_c \cdot A_t \left(\frac{h}{2} - \frac{t}{3} \right)$$

$$T' = \frac{4}{3\sqrt{3}} \cdot \sigma_c \cdot x_3 \cdot g$$

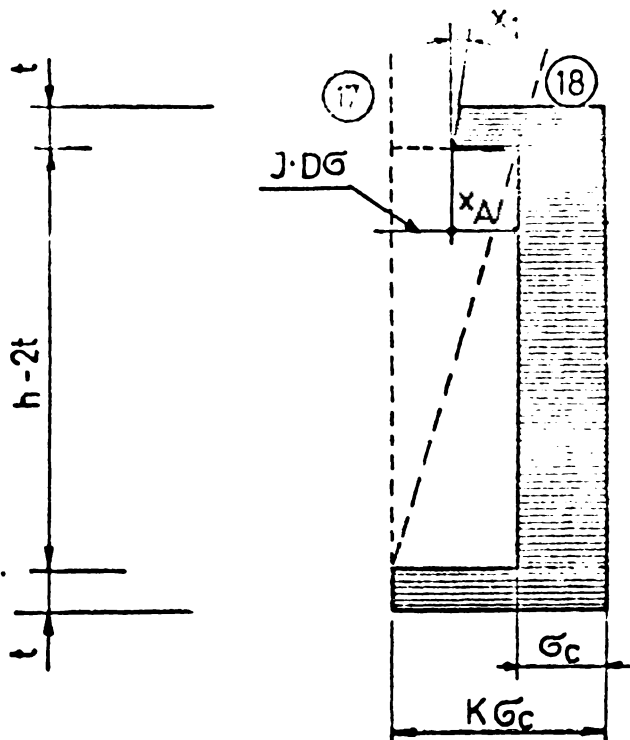
CURBA „ Σ_8 “ intervalul 17-18

Fig 7.37'

$$\Delta G = \frac{G_c(K-1)}{n} ; \quad n=4$$

$$x_A = G_c(K-1) - J \cdot \Delta G$$

$$x_1 = \frac{t \cdot J \cdot \Delta G}{h-2t}$$

$$N' = A_t (K G_c + G_c + x_A - \frac{1}{2} x_1) + G_c \cdot g (h-2t)$$

$$M' = \frac{1}{2} K G_c \cdot A_t (h-t) - \frac{1}{2} (G_c + x_A) A_t + \frac{1}{2} x_1 A_t (\frac{h}{2} - \frac{t}{3})$$

$$T' = 0$$

* 12 *

CURBA „C-9“

$$\gamma_1 = \frac{1}{2}$$

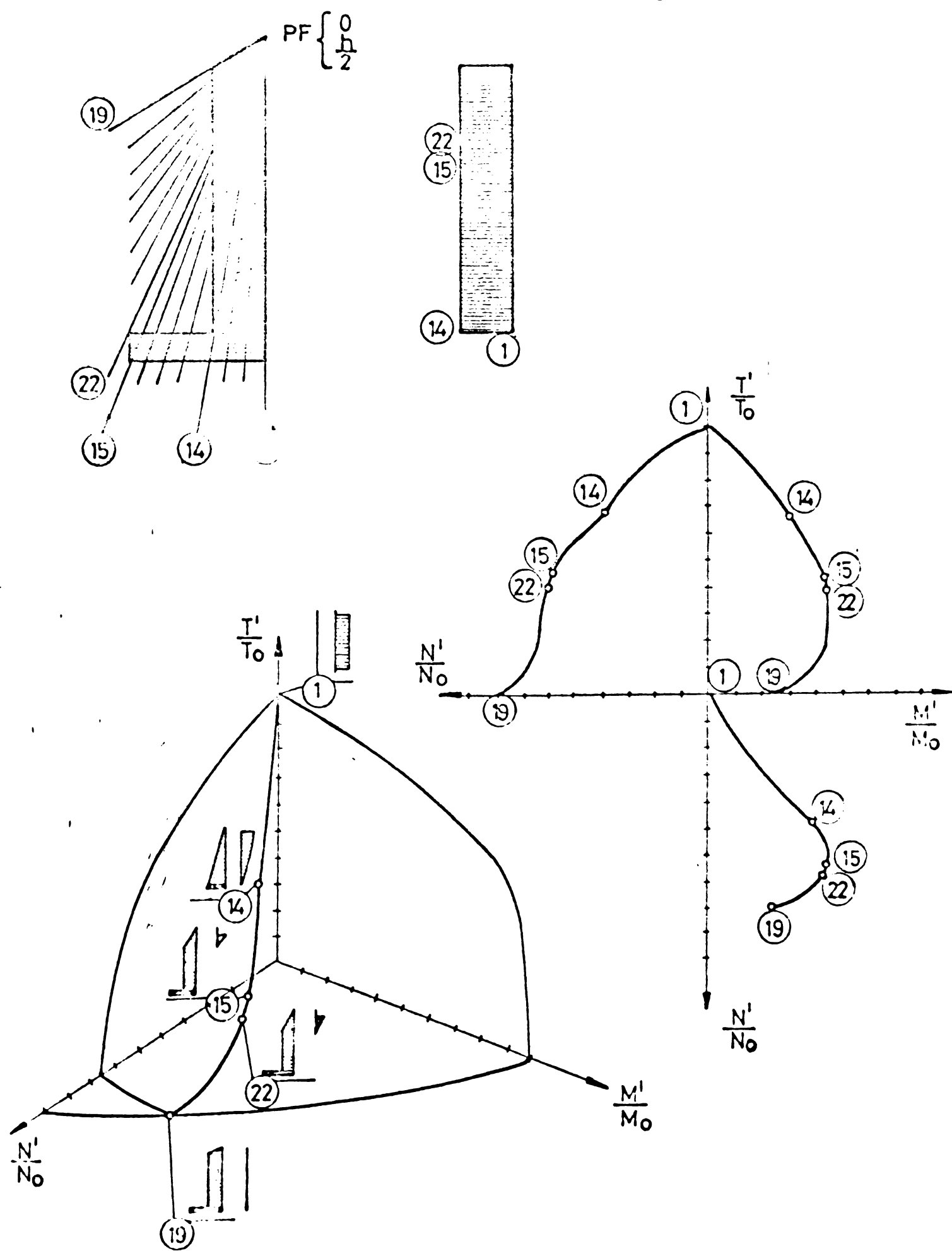


Fig 7.38

CURBA „C“ intervalul 14-15

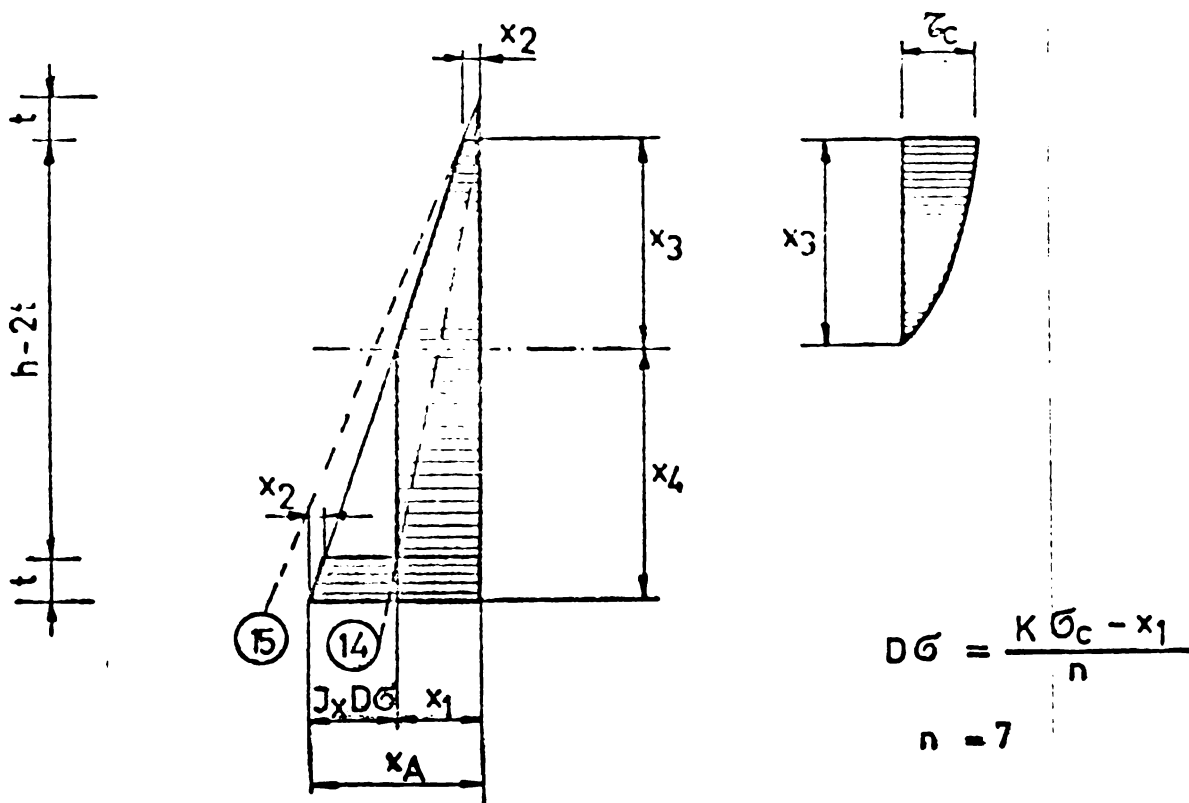


Fig 7.39'

$$x_1 = \frac{h \times \sigma_c}{h-t}$$

$$x_4 = h - 2t - x_3$$

$$x_2 = \frac{t \cdot x_A}{h}$$

$$x_A = x_1 + J \cdot D\sigma$$

$$x_3 = \frac{h \cdot \sigma_c}{x_A} - t$$

$$N' = A_t \cdot x_A + x_4 \cdot \sigma_c \cdot g + \frac{1}{2} (\sigma_c + x_2) \cdot x_3 \cdot g$$

$$M' = \frac{1}{2} (x_1 + J \cdot D\sigma) \cdot A_t (h-t) + \frac{1}{2} x_3 \cdot g (\sigma_c - x_2) \cdot \left(\frac{h-2t}{2} - \frac{x_3}{3} \right) -$$

$$- \frac{1}{2} x_2 A_t \left(\frac{h}{2} - \frac{2t}{3} \right)$$

$$T' = \frac{\sigma_c}{\sqrt{3}} \left[x_3 - \frac{(x_3 + t)^3 - t^3}{3(x_3 + t)^2} \right] \cdot g$$



CURBA „Cg” Intervalul 1-14

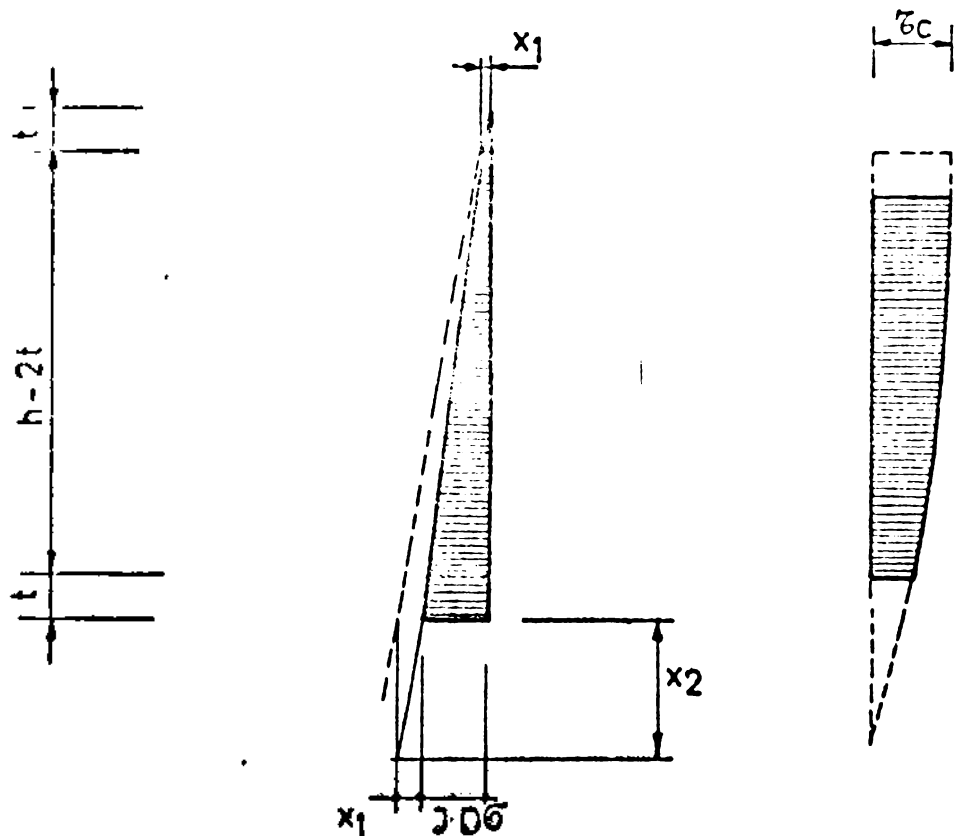


Fig. 740

$$x_1 = \frac{t \cdot J \cdot D\sigma}{h-t}$$

$$D\sigma = \frac{\sigma_c}{n}$$

$$n = 6$$

$$x_2 = \frac{(h-t) \cdot (\sigma_c - J \cdot D\sigma)}{J \cdot D\sigma}$$

$$N' = At(J \cdot D\sigma + x_1) + \frac{1}{2}(x_1 + J \cdot D\sigma)(h-2t) \cdot g$$

$$M' = \frac{1}{2}At \left[J \cdot D\sigma(h-t) + \frac{x_1 \cdot t}{3} \right] + \frac{1}{12}g(h-2t)^2(J \cdot D\sigma - x_1)$$

$$T' = \frac{\sigma_c}{\sqrt{3}} \left[h-2t - \frac{(h-t)^3 - t^3}{3(h-t+x^2)^2} \right] \cdot g$$

CURBA „C9“ intervalul 22-19

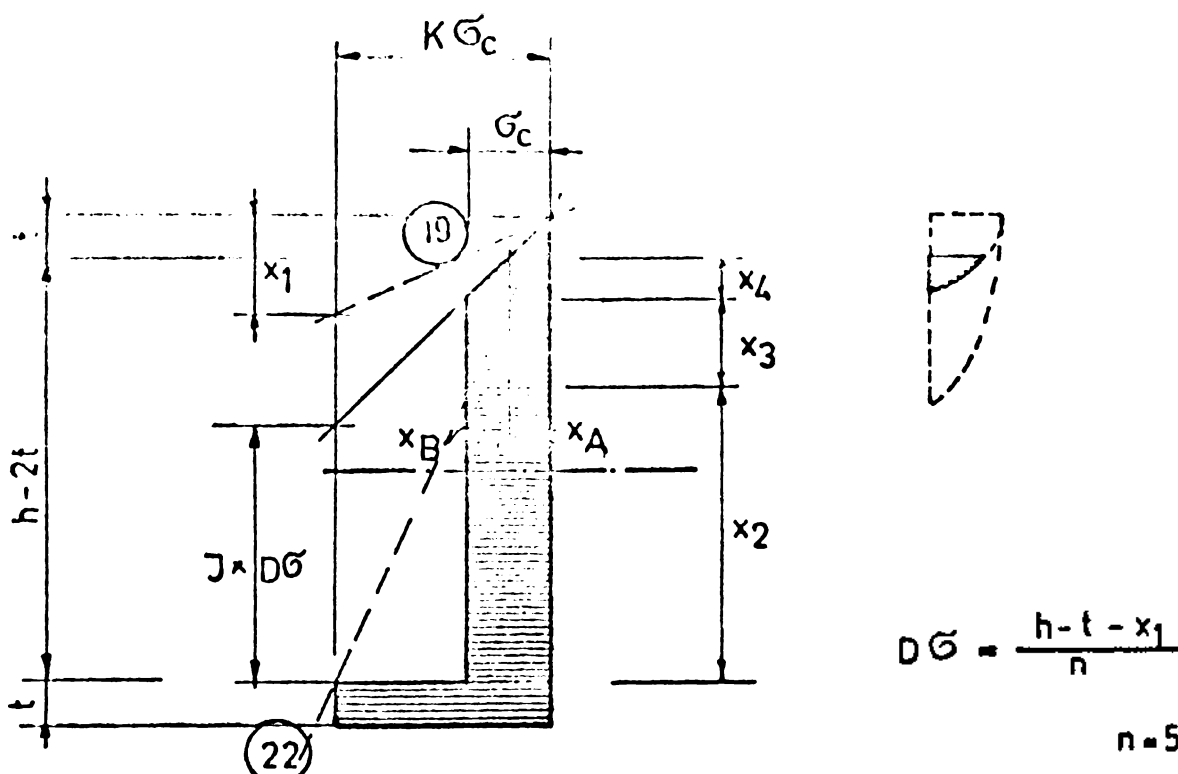


Fig 7.41

$$x_1 = \frac{t}{K}$$

$$x_4 = h - 2t - x_2 - x_3$$

$$x_2 = \frac{(K-1)(h-t)}{K}$$

$$x_A = \frac{K \cdot G_c}{(h-t) - J \cdot DG}$$

$$x_3 = \frac{J \cdot DG}{K}$$

$$x_B = G_c - x_A$$

$$N' = A_t \cdot K \cdot G_c + (h - 2t) \cdot G_c \cdot g - \frac{1}{2} x_4 \cdot x_B \cdot g + \frac{1}{2} A_t \cdot x_A$$

$$M' = \frac{1}{2} A_t \cdot \left[K \cdot G_c (h-t) - x_A \left(\frac{h}{2} - \frac{2t}{3} \right) \right] +$$

$$+ \frac{1}{2} x_4 \cdot x_B \cdot g \left(\frac{h-2t}{2} - \frac{x_4}{3} \right)$$

$$T' = \frac{G_c}{\sqrt{3}} \left[x_4 - \frac{(x_4+t)^3 - t^3}{3 \cdot (x_4+t)^2} \right] \cdot g$$

- 132 -

CURBA „C 10“ $\gamma_1 = \infty$

PF $\left\{ \infty \right.$

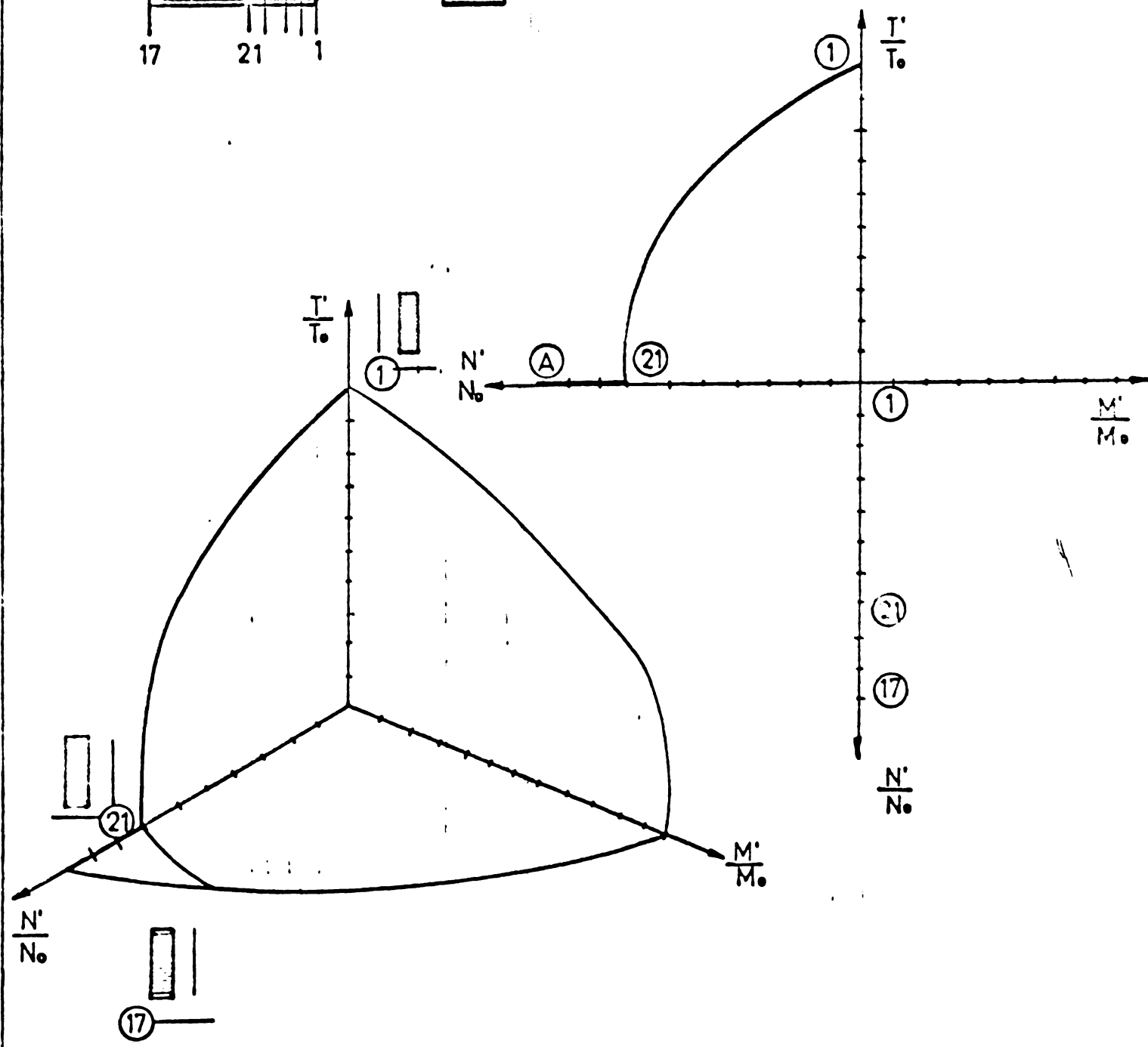
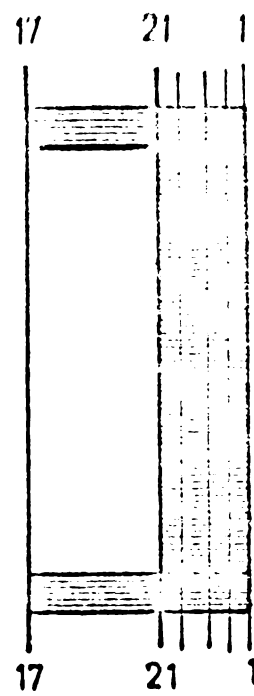
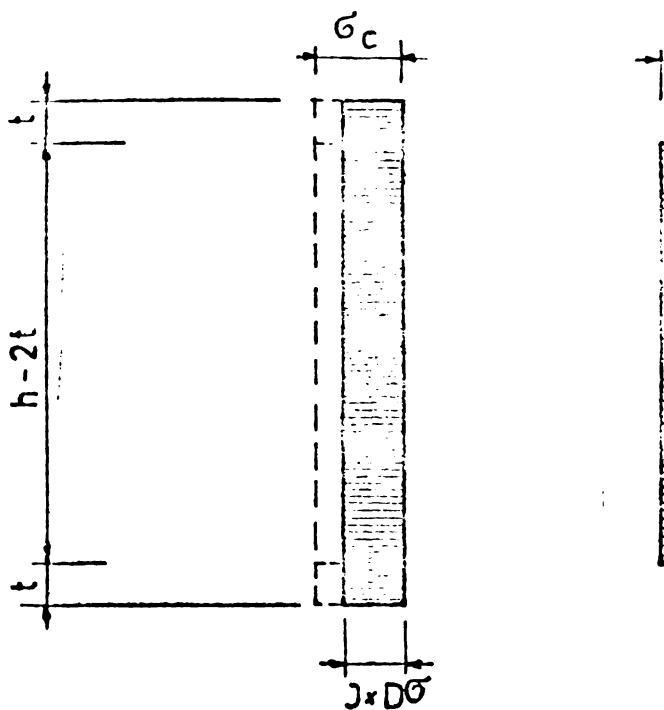


Fig 7.42

CURBA „C.J“ intervalul 1-21



$$(J \cdot \Delta \sigma)^2 + 3 z^2 = G_c^2$$

$$z = \frac{1}{\sqrt{3}} \sqrt{G_c^2 - (J \cdot \Delta \sigma)^2}$$

$$\Delta \sigma = \frac{G_c}{n} ; n = 10$$

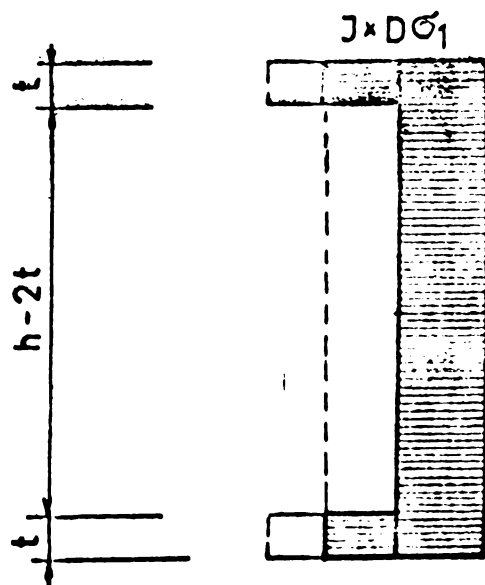
„Fig 7.43“

$$N' = J \cdot \Delta \sigma [2 \cdot At + (h - 2t) g^\circ]$$

$$M' = 0$$

$$T = \frac{h - 2t}{\sqrt{3}} \cdot g \sqrt{G_c^2 - (J \cdot \Delta \sigma)^2}$$

CURBA „C10“ intervalul 21-27



$$\Delta \sigma = \frac{G_c (K - 1)}{n}$$

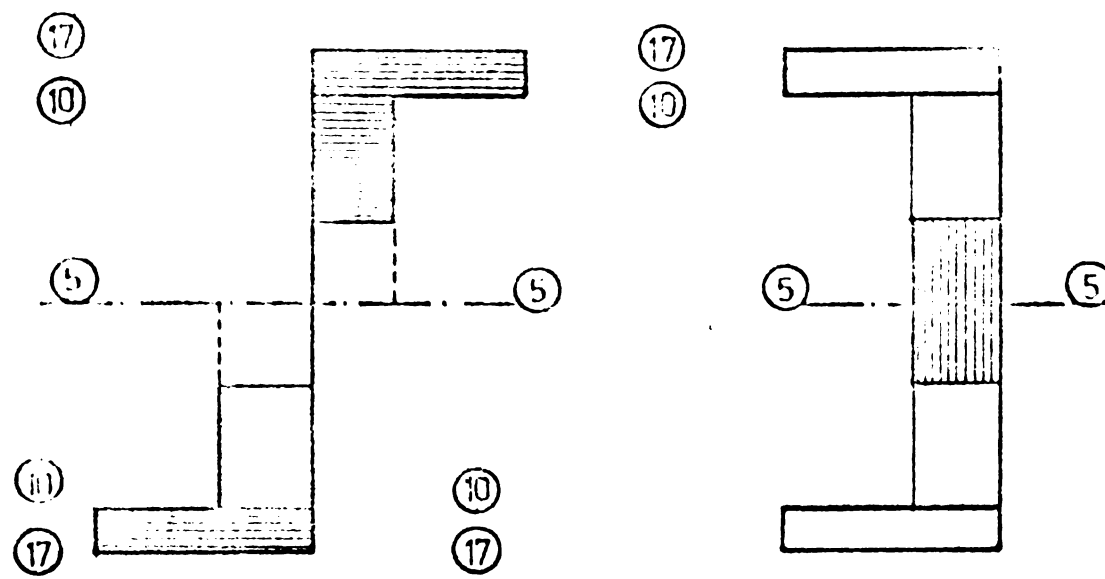
$$n = 5$$

$$M = 0 ; T = 0$$

„Fig 7.44“

$$N = 2 At (\sigma_c + J \cdot A \sigma) + (h - 2t) \cdot g \sigma_c$$

CURSA „C 11" ($\eta_1 = \eta_2$)



M

N

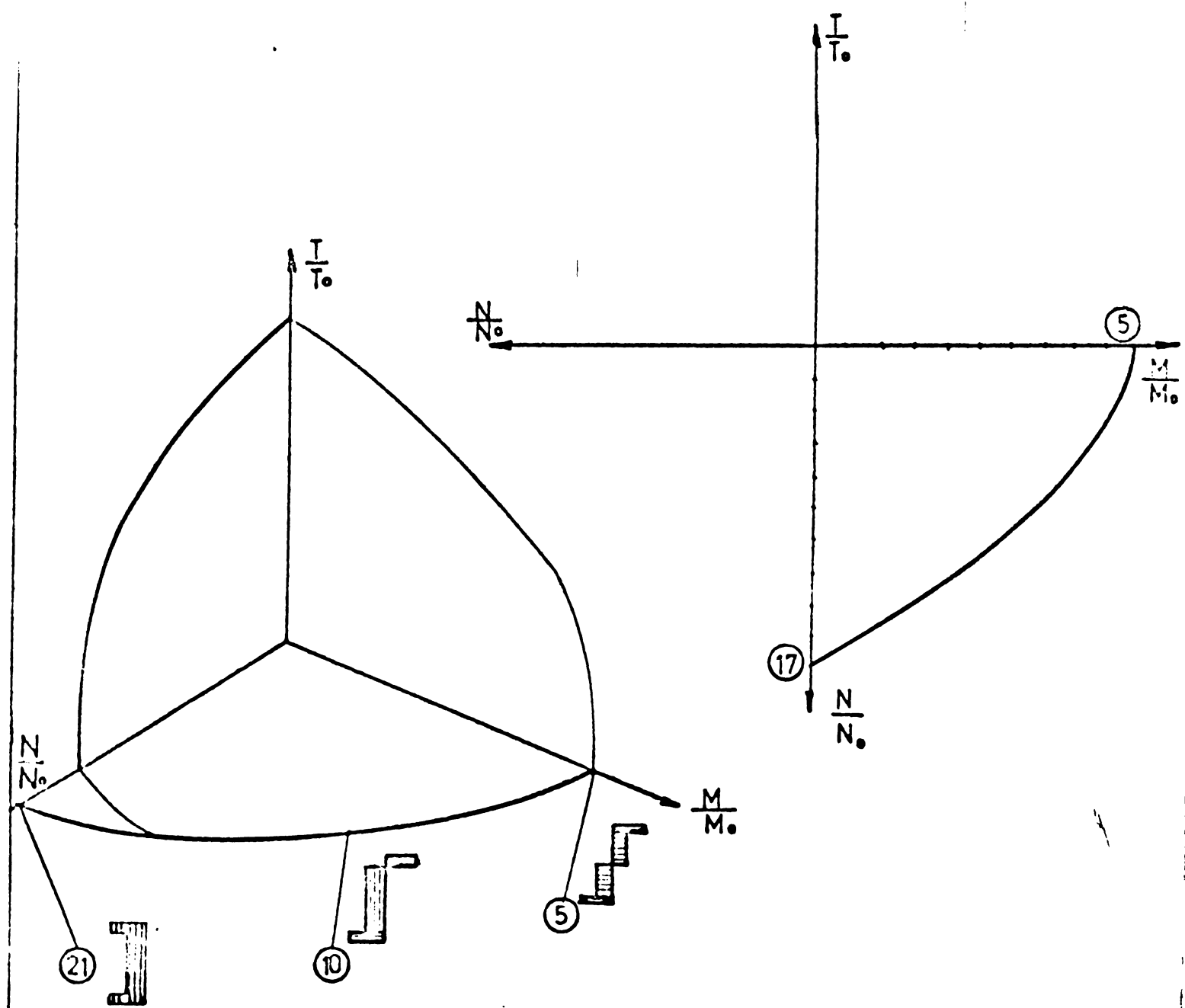
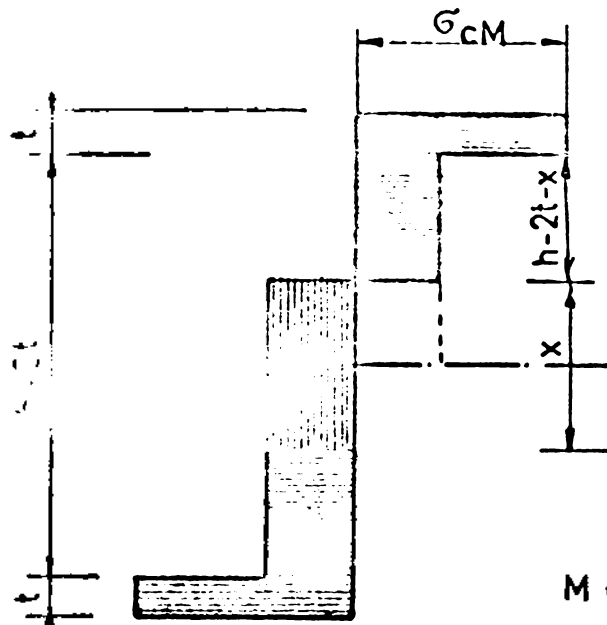


fig 745

CUI SA C-11
starea plană de eforturi M; N

Intervalul 5-10



$$DS = \frac{h-2t}{n} \quad n=8$$

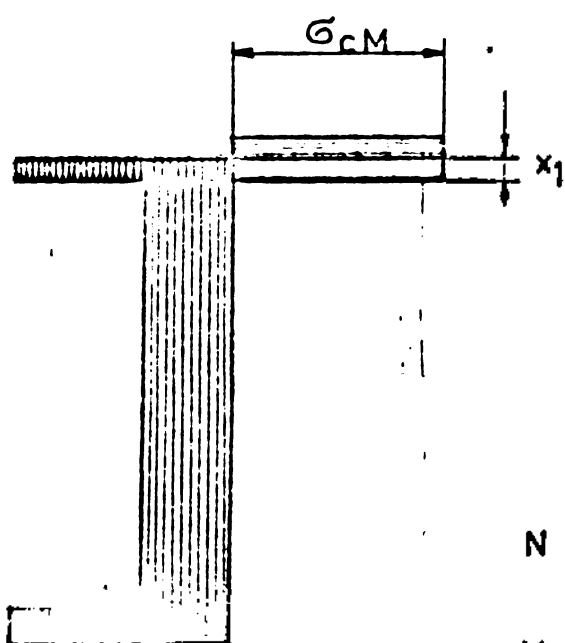
$$x = j \cdot DS$$

$$N = x \cdot G_{cm} \cdot g$$

$$M = G_{cm} A t (h \cdot t) + (h-2t-x)(h-2t+x) \cdot G_{cm} g / 4$$

Fig 746

Intervalul 10-17



$$DS = \frac{t}{n} ; \quad n=7$$

$$x_1 = 7 \cdot DS$$

$$N = (h-2t) G_{cm} \cdot g + 2 \frac{At}{l} x_1 \cdot G_{cm}$$

$$M = (t-x_1) G_{cm} (h-t+x_1)$$

n=7 t

Fig 747

7.5.4. Poliedrul de curgere; reprezentarea curbelor în spațiu și pe cele trei plane.

Starea de tensiune definită de solicitările M, N, T , se crează proporțională de la $M=0, N=0, T=0$; conform ipotezei 2.5 se poate reprezenta într-un sistem spațial printr-un vector ce porneste de la originea coordonatelor și ajunge într-un punct unde se atinge capacitatea portantă a secțiunii prin plasticizarea ei parțială sau totală, funcție de reportul acestor solicitări. Multimea acestor puncte, ce exprimă starea limită plastică a secțiunii, definită prin multimea solicitărilor M, N, T , definesc o suprafață denumită poliedrul de curgere.

Fiecare curbă reprezintă multimea acelor valori M, N, T , care plasticizează secțiunea, cu respectarea unei anumite condiții parametrice $f(\eta_1, \eta_2) = 0$. Deci fiecare curbă reprezintă o submultime a punctelor ce definesc poliedrul.

Cele unsprezece curbe calculate și reprezentate în spațiu și pe cele trei plane de proiecții stabilite în capitolul 7.5.4. definesc deșul de complet poliedrul de curgere pentru o secțiune I simetrică.

Pentru determinarea stării de tensiune a punctelor situate într-o coloană curbe, se dă o metodă în cap. 7.5.6.

In capitolul 7.5.3. s-a arătat modul de generare al curbelor, s-a arătat variația stăriilor de tensiune pe traseul unei curbe, prezintându-se relațiile analitice care au stat la baza calculului numeric.

Fiecare din cele unsprezece curbe reprezintă curbe particulare, adică punctul fix se găsește într-un punct particular. De exemplu: curba C_6 are punct fix: $PF(-G_{cm}; \frac{h}{2})$, adică situat la fibra exterioară a tălpiei - și în diagramă de eforturi la valoarea rezistenței de curgere corespunzătoare oțelului din tălpă.

Punctele caracteristice ale curbelor, fiind și puncte de intersecție a două curbe, definesc o stare de tensiune identică pentru cele două curbe.

Exemplificăm prin curba C_3 . Curba definește starea de eforturi cînd în fibra extremă a inimii este atinsă limita de curgere G_{cm} , avînd punctul fix de coordonate $(\frac{h}{2} - x, G_{cm})$ și multimea care plasticizează secțiunea în diverse combinații ale lor.

Pornind de la punctul 2 unde întâlneste curba C_1 și $N=0$, curba trece prin punctul 11 unde se atinge plasticizarea extremitatea tălpilor inferioare și intersectează curba C_4 , trece prin pct.12 unde întreaga tălpă inferioară este plasticizată și întâlneste curba C_{10} , trece apoi prin pct.13 unde se atinge plasticizarea fibrei extremitatea tălpit superiorioră și întâlneste curba C_6 și ajunge în pct.10 unde întreaga secțiune este plasticizată de $M \neq 0$; $N \neq 0$; $T = 0$. În lungul traseului curbei C_1 valorile M , N , T , variază în re punctele extreme pct.2 $N = 0$ și în pct.10 $T = 0$.

Curbele C_1 , C_{10} , C_{11} sunt curbe plane – fiind curbe particulare $C_1(N=0)$; $C_{10}(M=0)$; $C_{11}(T=0)$.

Curbele C_1 ; C_5 ; C_9 ; C_{10} în zonele ce converg spre punctul 1 ($\frac{M}{M_0} \neq 0$; $\frac{N}{N_0} \neq 0$; $\frac{T}{T_0} = 0$) caracterizează o stare de eforturi care plasticizează înimă prin influență din ce în ce mai mare a forței tăietoare pe măsură ce curbele se apropiie de acestea. În pct.1 secțiunea ajunge la capacitatea sa limită prin plasticizarea numai a inimii din T , conform ipotezei de la capitolul 2.5.c.

În mod asemănător în celelalte vîrfuri ale poliedrului starea de eforturi limită este produsă de o singură solicitare care însă plastifică toate elementele secțiunii.

Să urmărим curbele care în zona forțelor tăietoare mici ($T \rightarrow 0$) se apropiu de planul M , N . La limita $T = 0$ ele exprimă stările de eforturi în care secțiunea e plasticizată numai din M , N . Astfel urmărind pe poliedrul de curgere observăm că planul M , N este atins de curba C_1 în pct.5, de curbele C_2 , C_3 și C_5 în punctul 10 de curba C_6 în punctul 20, de curba C_9 în punctul 16, de curba C_8 , în punctul 18, de curba C_4 în punctul 16 și de curba C_{10} în punctul 21. Aceste puncte ce definesc starea limită de eforturi M , N , T pentru $T = 0$ se găsesc unele (pct.5 și pct.10) pe curba C_{11} iar celelalte în interiorul ei.

Această situație se explică prin ipoteza acceptată în capitolul 2.4 privind distribuirea efortului M , N atât tălpilor cât și inimii iar a efortului T numai inimii.

Punctele limită ale curbelor pentru $T = 0$ și care provin din

ecuații parametrice $f(\eta_1, \eta_2) = 0$ conduc în anumite situații la plasticizarea inimii înainte pe plasticizarea ambelor tălpi sau a uneia din ele.

Ori curba C_{11} definește o stare plastică în care toate elementele sunt plasticizate și nu definește pe poliedul de curgere numai pe intervalul 5-le cind întreaga secțiune lucrează în stadiul IV de lucru (vezi cap. 7.56). Astfel se creiază un domeniu plan MN situat într-o limită poliedului și curba C_{11} , care nu definește starea limită plastică.

Acceptând o ipoteză prin care forța tăietoare să ar predă și tălpilor, acțiunea celor trei solicitări MNT, să ar extinde la toate elementele secțiunii, poliedului să ar deforma astfel încât intersecția curbelor $C_6, C_9, C_8, C_7, C_{10}$, cu planul MT - să ar fi făcut în punctele situate pe curba C_{11} .

Concluzionăm că ipoteza 2.4 cu caracterul ei simplificator, păcătuiește din punct de vedere a rigorii teoretice și conduce la rezultate diferite prin folosirea relațiilor de interacțiune în care participă MN distribuite la toate elementele secțiunii și T-distribuit numai inimii.

Cele unsprezece curbe sunt reprezentate într-un sistem de axe în spațiu $\frac{N}{N_o} \frac{M}{M_o} \frac{T}{T_o}$ în fig. 7.48, arătându-se parametrul caracteristic al curbei și punctele în intersecție al curbelor; în miniatură, alăturat punctelor au fost prezentate stările de eforturi. În planul $\frac{M}{M_o} \frac{N}{N_o}$ s-a delimitat domeniul exterior poliedului.

In fig. 7.54 sunt reprezentate curbele pe cele trei plane de proiecție, precum și punctele lor de intersecție. Ele sunt limitate un exterior de una din curbele caracteristice C_1, C_{10}, C_{11} .

7.5.5. Observații și discuții privind influența parametrului $K = \frac{G_{CM}}{G_{cm}}$ și a parametrului dimensional $\beta = \frac{A_i}{A}$ asupra stării de eforturi N, M, T pe o secțiune hibridă.

S-au rulat patru serii de date cu ajutorul programului Hybride. Rezultatele sunt livrate de program sub forma de valori importante $\frac{N}{N_o}, \frac{M}{M_o}, \frac{T}{T_o}$ și tipărite sub forma de curbe plane.

Rozultările transpusă într-un sistem de coordonate triaxial sub formă de poliedre de curgere sunt prezentate în fig. 7.48-7.51.

Variantele 1,2 au urmărit prin datele introduse să evidențieze influența parametrului $K = \frac{G_{CM}}{G_{cm}}$ asupra stării limită de

eforturi, exprimată grafic prin forma poliedrului de curgere, menținindu-se parametrul dimensional β constant.

Prin creșterea parametrului K de la 1,5 la 3 crește capacitatea secțiunii privind solicitarea M, datorită unui obiect în tâmpă, cu limită de curgere ridicată (G_{CM}).

Urmarea acestui fapt se reduce înălțimea simburelui elastic din solicitări M,N ce conduce la reducerea capacitatii secțiunii privind solicitarea T. Raportul $\frac{T}{T_0}$ se va diminua, deoarece nici unul din factorii săi nu e afectat de coeficientul K, iar factorul T se reduce din considerente expuse mai sus. Astfel urmăryind valorile raportului $\frac{T}{T_0}$, pentru aceleasi puncte ale curbelor

din cele două variante se constată $\frac{T_2}{T_0} < \frac{T_1}{T_0}$ (unde T_1, T_2 sunt valorile forțelor tăietoare din varianta 2, respectiv varianta 1).

De ex: pentru punctul 9 din curba C_4 $\frac{T_1}{T_0} = 0,33 > \frac{T_2}{T_0} = 0,12$;
idem pentru punctul Nr.crt 10 $\frac{T_1}{T_0} = 0,519 > \frac{T_2}{T_0} = 0,307$.

Drept urmare poliedrul 2 își modifică formă în comparație cu poliedrul 1, subîndu-se spre valorile mari ale lui $\frac{T}{T_0}$.

Stările de eforturi exprimate prin valorile mari ale raportului $\frac{M}{M_0}$ ($\frac{M}{M_0} \rightarrow 1$) au drept urmare reducerea valorilor $\frac{T}{T_0}$.

Drept urmare punctele corespunzătoare din poliedrul 2, au tendință de apropiere de planul M,N. De ex: punctul 4 din curba C_2 $\frac{T_1}{T_0} = 0,444$, $\frac{T_2}{T_0} = 0,222$ se va apropiă în varianta a 2-a de planul MN, având ordinata $\frac{T}{T_0}$ mai mică. Aceasta se evidențiază mai mult la curbele C_2, C_6 și mai puțin la curbele C_4, C_8 .

Deoarece odată cu creșterea coef. $K = \frac{G_{CM}}{G_{cm}}$ crește și valoarea ($G_{CM} - G_{cm}$) și domeniul plan $\frac{N}{N_0} = 0$; $\frac{M}{M_0} = 0$; $\frac{T}{T_0} = 0$; va crește, adică poliedrul 2 se va retrage în dreptul valorilor mari ale raportului $\frac{N}{N_0}$. Curba C_{10} atinge planul M,N în punctul 21 având coordonate $\frac{N_1}{N_0} = 0,785$ $\frac{N_2}{N_0} = 0,478$; Tot din aceleasi

considerente toate punctele de intersecție a curbelor C_4 (pct.16) C_8 (pct.18) C_9 (pct.19) cu planul MN se retrag în poliedrul 2 din spate vîrful 17 spre vîrf 18 și mici a raportului $\frac{M}{N_0}$.

Variantele 3 și 4 urmăresc să evidențieze influența parametrului dimensional $\beta = \frac{A_i}{A}$ asupra variației formei poliedrului.

Varianta 3 (fig.7.50) reprezintă o secțiune hibridă cu tălpi puternic dezvoltată $\beta = 0,29$; varianta 4 (fig.7.51) reprezintă o secțiune cu inima dezvoltată mult $\beta = 0,72$.

Toți factorii rapoartelor $\frac{N}{N_0}, \frac{M}{M_0}, \frac{T}{T_0}$ sunt afectați de

coefficientul β - În domeniul corespunzător diagramelor de eforturi G în stadiul 1 de lucru, valorile M, N, T și M_0, N_0, T_0 sunt afectate proporțional, astfel că rapoartele lor rămân practic constante în această zonă în cele două variante (zonă $\frac{T}{T_0} \rightarrow 1$).

Urmare acestui fapt, cele două poliedre rămân nemodificate în același zonă) prin variația parametrului β (vezi curbele C_1, C_5, C_9, C_{10}).

Stările de solicitări corespunzătoare diagramelor de eforturi G simetrice, sunt practic invariabile la variația coef. β . Urmare, zonele poliedralor situate în apropierea planului $\frac{T}{T_0}, \frac{M}{M_0}$ mu suferă modificări cu variația coef. β .

Pe măsură ce diagramele de eforturi se desimetrizează, valorile raportului $\frac{M}{N_0}$ cresc cu creșterea coef. β (la varianta 4 comparativ cu varianta 3), datorită creșterii inimii. Drept urmare punctele corespunzătoare în poliedrul 4 se deplasează spre colțul $\frac{N}{N_0}$; iar curbele se deformă în consecință.

Dacă ex. curbele C_6, C_3, C_5 .

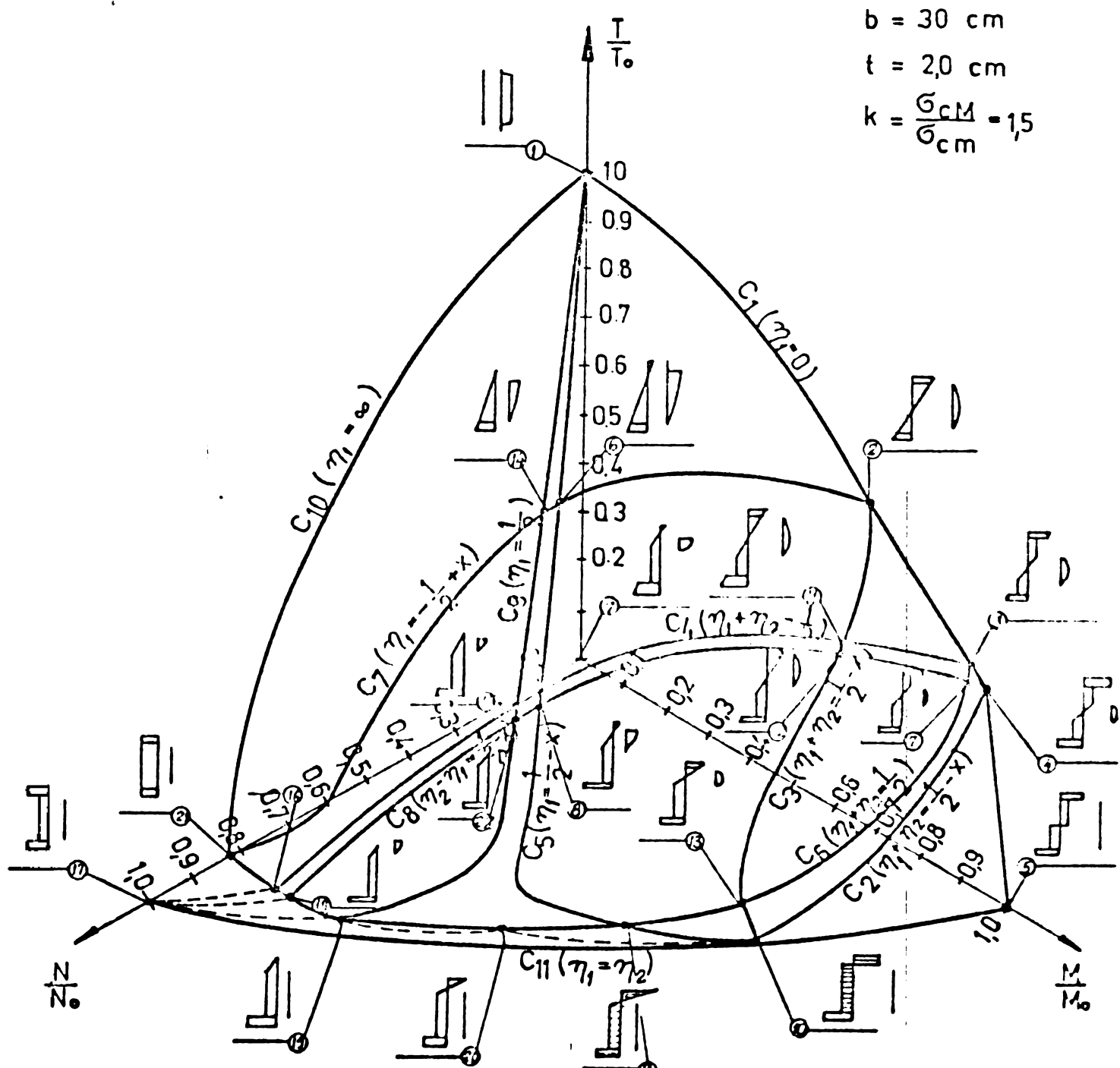
Din aceleași considerente domeniul plan $\frac{N}{N_0} \neq 0; \frac{M}{M_0} \neq \frac{T}{T_0} = 0$ se diminuează în poliedrul 4.

7.5.6. Poliedrul de curgere: împărțirea în zone și discuții asupra diagramei de efort.

Originea punct al suprafeței poliedrului de curgere definește o stare de solicitări M, N, T care împreună plasticizează secțiunea hibridă, în sensul definiției din cap.2. Curbele rezultate

VARIANTA 1

$$h_1 = 100 \text{ cm}$$
$$g = 1,0 \text{ cm}$$
$$b = 30 \text{ cm}$$
$$t = 2,0 \text{ cm}$$
$$k = \frac{G_{CM}}{G_{cm}} = 1,5$$



"Fig 748"

VARIANTA -2-

$$h_t = 100 \text{ cm}$$

$$g = 100 \text{ cm}$$

$$b = 30 \text{ cm}$$

$$t = 2,0 \text{ cm}$$

$$k = \frac{\sigma_{CM}}{\sigma_{CM}} = 3$$

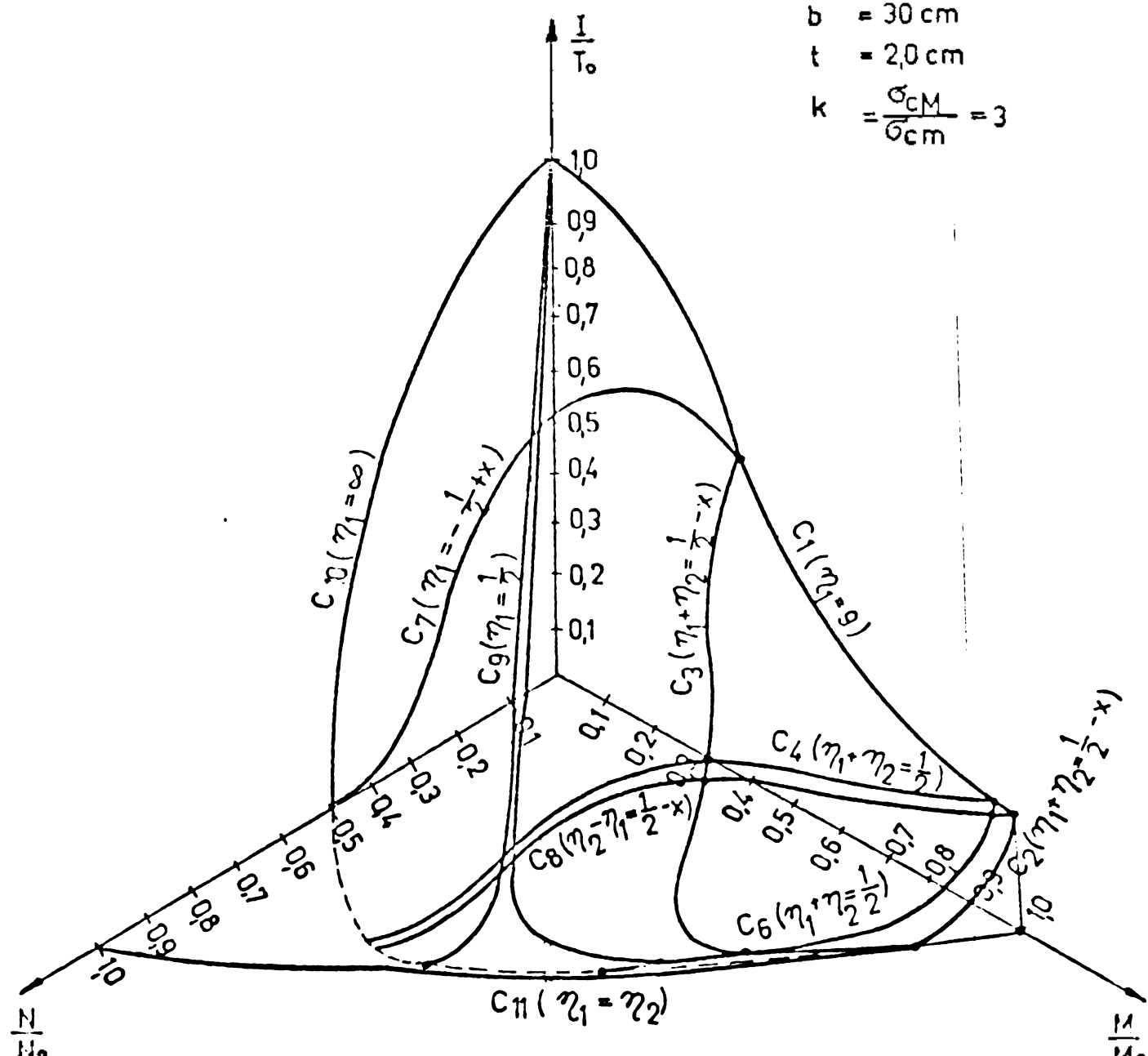


Fig 749"

VARIANTA 3

$$h_i = 100 \text{ cm}$$

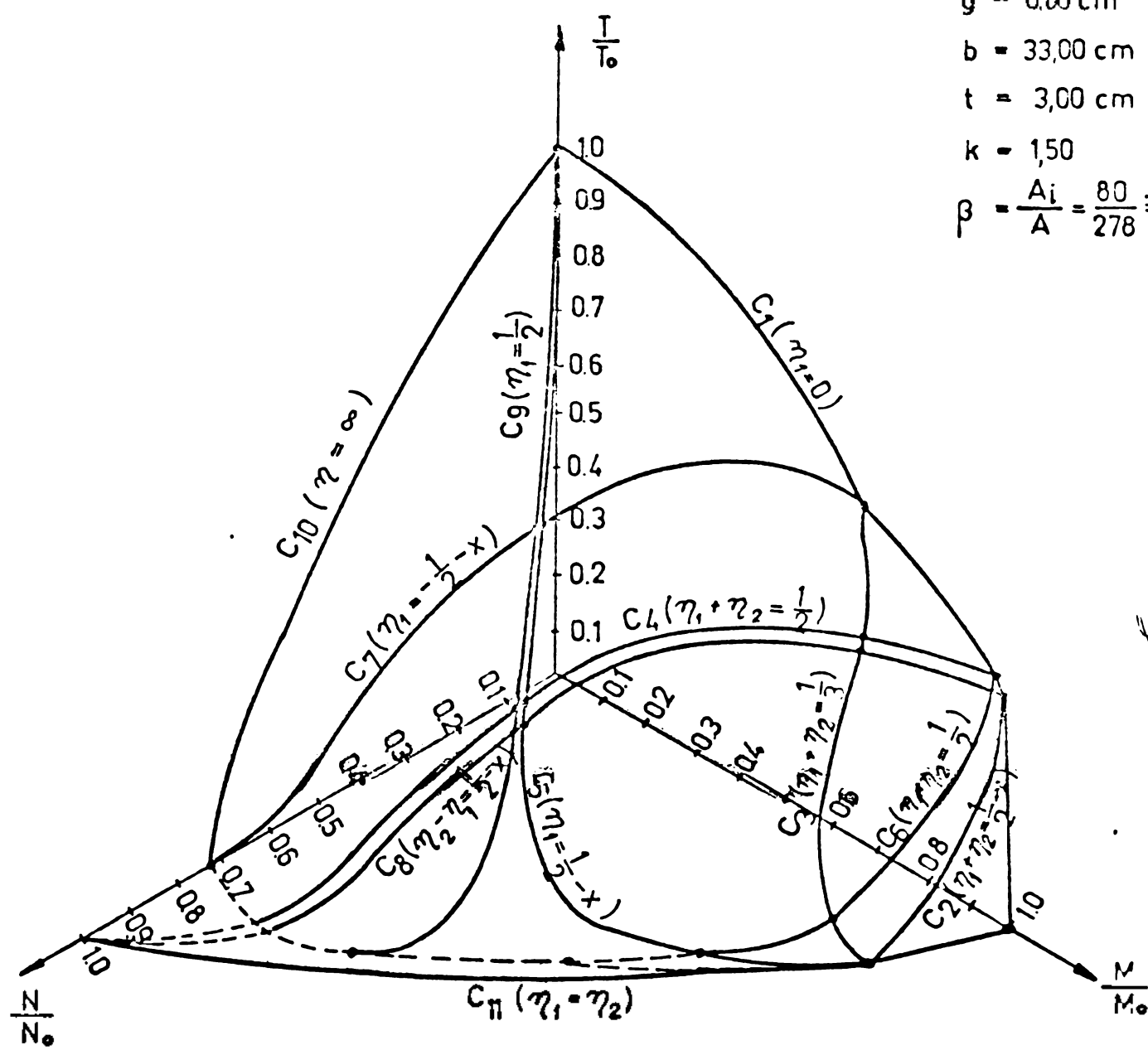
$$g = 0,60 \text{ cm}$$

$$b = 33,00 \text{ cm}$$

$$t = 3,00 \text{ cm}$$

$$k = 1,50$$

$$\beta = \frac{A_i}{A} = \frac{80}{278} \approx 0,29$$



'Fig 7.50'

VARIANTA 4

$$h_i = 100 \text{ cm}$$

$$g = 1,20 \text{ cm}$$

$$b = 20,00 \text{ cm}$$

$$t = 1,20 \text{ cm}$$

$$k = 1,5$$

$$\beta = \frac{120}{168} = 0,72$$

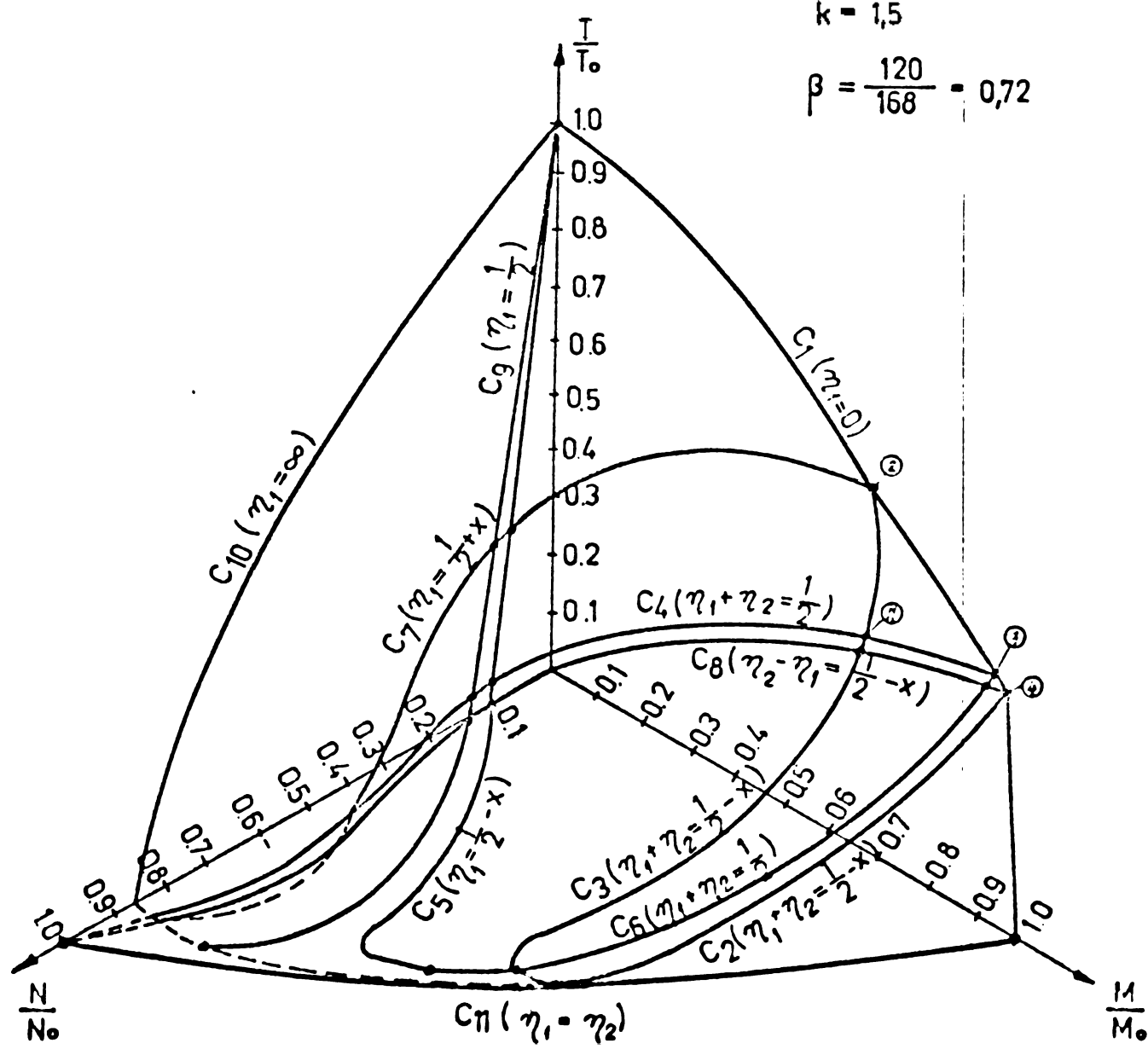


Fig 7.51'

din intersecția poliedrului cu cele trei plane de proiecții, sănt particulare, ele definesc acea stare de solicitări, care produc plasticizarea secțiunii din acțiunea a două solicitări și anume: $C_1(M,T)$; $C_{11}(N,M)$; $C_{10}(N,T)$. Vîrfurile poliedrului reprezintă puncte particulare în care secțiunea e plasticizată din acțiunea unei singure solicitări: pct 5(M); pct 1(T); pct 17(N).

Se evidențiează un domeniul plan de curgere a secțiunii definit de : $\frac{N}{N_o} \neq 0$; $\frac{M}{M_o} \neq 0$; $T = 0$ în afara poliedrului, a cărei existență se explică prin legile de distribuție diferite pentru cele 3 solicitări M,N,T.

In orice punct al suprafeței poliedrului, inima secțiunii este complet plasticizată din acțiunea a celor trei solicitări, a două solicitări, sau a unei singure solicitări.

Zona situată sub curba C_2 , reprezentă acea stare de solicitări cind toate elementele secțiunii (inima și tălpile) sunt plasticizate în întregime. De aici rezultă că teoria care definește o stare plastică a secțiunii cu toate elementele plasticizate, reprezintă un caz particular și anume o zonă a poliedrului delimitată de curbele C_1, C_2, C_{10} . Se poate trage concluzia că o secțiune hibridă este folosită rațional cind valoile N,M,T conduc la o stare ce se înscrie în zona precizată. Această se întimplă cind momentul este solicitare hotărîtoare iar forțele axiale și tangențiale au o pondere mai redusă din capacitatea postantă a secțiunii ($\frac{N}{N_o}, \frac{T}{T_o}$).

Curba C_7 subîmparte poliedrul în două zone: zona spre valoile mari ale lui T (situată deasupra curbei), definește $\frac{T}{T_o}$ o atare de solicitări corespunzătoare stadiului 1 de lucru (privind eforturile \tilde{G}); punctele situate sub curba C_7 definesc o atare de solicitări corespunzătoare stadiului 2,3 de lucru: inima intră în curgere, de la fibra externă spre axa neutră din acțiunea momentului. Dacă considerăm că $h \geq h_i$ atunci se poate afirma că în cazul stării de tensiune corespunzătoare unui punct situat deasupra curbei C_7 secțiunea poate fi alcătuită ca una omogenă, în întregime din oțelul corespunzător inimii și nu are nici o rațiune economică să fie alcătuită ca o secțiune hibridă. Această casă se întimplă în cazul ponderii importante a

solicitarilor N.T.

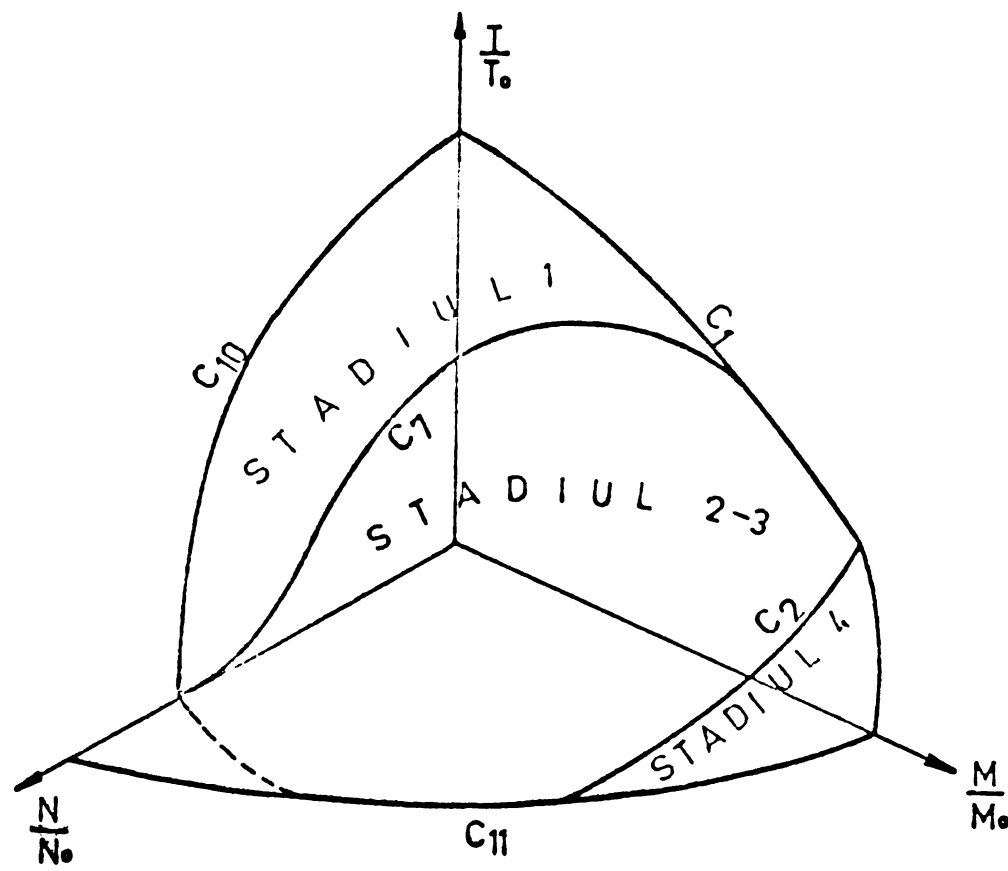
Curilele C_4 , C_6 , C_3 reprezintă cazurile unor stări de solicitări, corespunzătoare stadiilor de lucru 2 sau 3; inscriindu-se între stăriile de lucru limită 1 și 4. De ex. curba C_3 definește stări de solicitări în care talpa inferioară este întotdeauna plasticizată în timp ce talpa superioară este plasticizată în întregime din moment (pct.4) sau în întregime din forță axială (pct.17), sau plasticizat parțial în punctele 7,12,3,22, 13. La fel curba C_4 definește stările de solicitări în care fibra extremă a tălpii inferioare este întotdeauna plasticizată iar talpa superioară nu. ... Astarea de plasticizare completă din moment (pct.13) prin stările de plasticizare parțială în punctul 17, unde este plasticizată în întregime de forță axială. În fine curba C_6 definește stările de solicitări în care fibra extremă a tălpii superioare este mereu plasticizată (fig. 7.25).

Diagramale de eforturi rezultate din acțiunea M,T (curba C_1) sunt simetrice față de centrul de simetrie al secțiunii $\eta_1 = 0$.

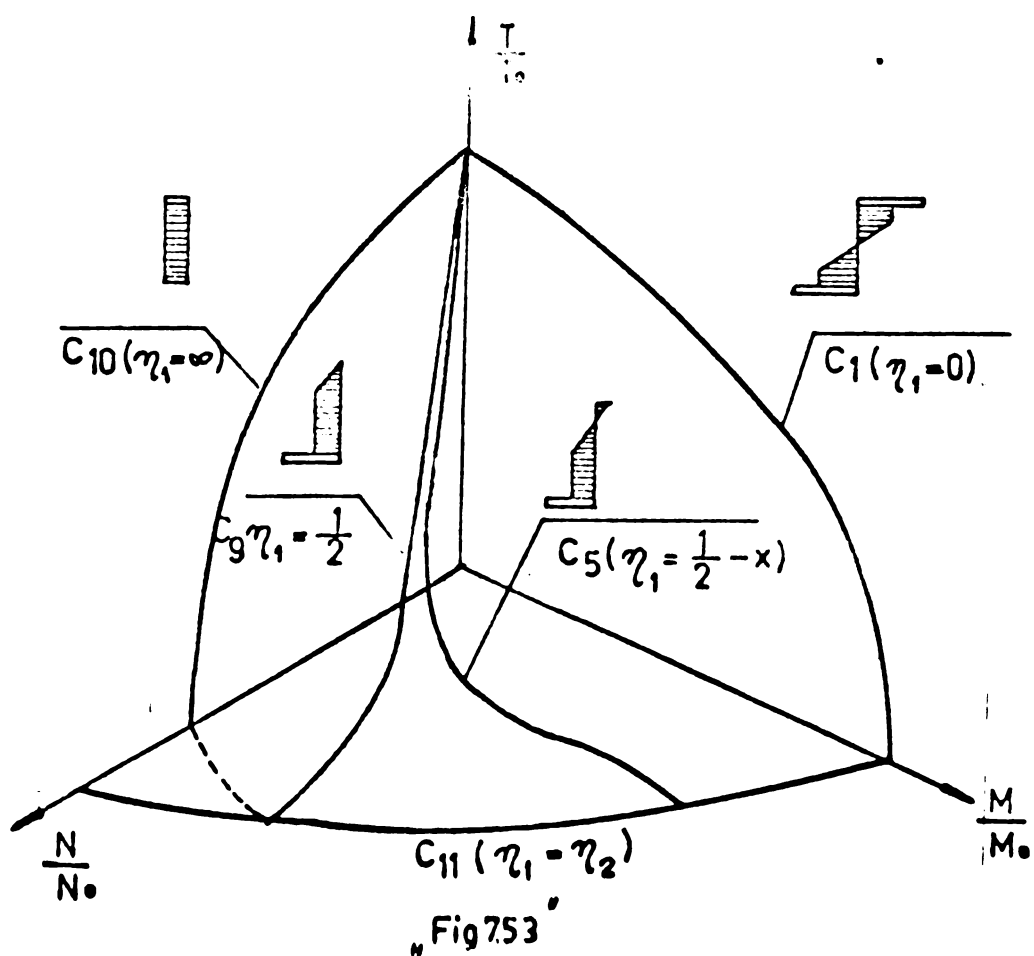
Po măsură ce crește forța axială diagramale de eforturi se desimetrizează, axa neutră se deplasează. În cazul studiat axa neutră s-a deplasat în sus deoarece forța axială a fost considerată de același semn cu eforturi normale din încovoiere din zona inferioară (de ex. ambele de întindere).

Astfel curba C_5 ($\eta_1 = \frac{1}{2} - y$) reprezintă stările de tensiune cu axa neutră ce trece la limita extremă superioară a iniții (punct fix de coordonate $G = 0 ; \frac{h}{2} t$). Curba C_9 reprezintă stările de tensiune cu axa neutră ce trece la limită extremă a tălpii superioare (punct fix de coordonate $G = 0 ; \frac{h}{2}$)

Curba C_{10} ($\eta_1 = \infty$) este caracterizată prin axa neutră la infinit, vedi fig.(7.47).



"Fig 752"



"Fig 753"

7.5.6. Utilizarea curbelor.

Se pune următoarea problemă: dându-se două din cele trei mărimi M' , N' , T' , care conduc împreună la plasticizarea secțiunii, să se determine cea de a treia.

Se deosebesc două situații:

a) Punctul corespunzător stării de eforturi se găsește pe o curbă. De exemplu: Se dau valorile $\frac{M'}{M_0} = 0,67$;

$\frac{T'}{T_0} = 0,57$ și se cere să se determine efortul $\frac{N'}{N_0}$ care împreună cu primele produce plasticizarea secțiunii. Transpunem punctul A de coordonate $\frac{M'}{M_0} = 0,67$; $\frac{T'}{T_0} = 0,57$ în planul de proiecție $\frac{M'}{M_0}$; $\frac{T'}{T_0}$; se constată că punctul cade pe curba C-4.

Coordonatele $(\frac{N'}{N_0})$ corespunzătoare punctului A le determină fie din planul $(\frac{M'}{M_0}; \frac{N'}{N_0})$ unde găsim să curba C-4 punctul A', fie din planul

$$(\frac{T'}{T_0}; \frac{N'}{N_0})$$

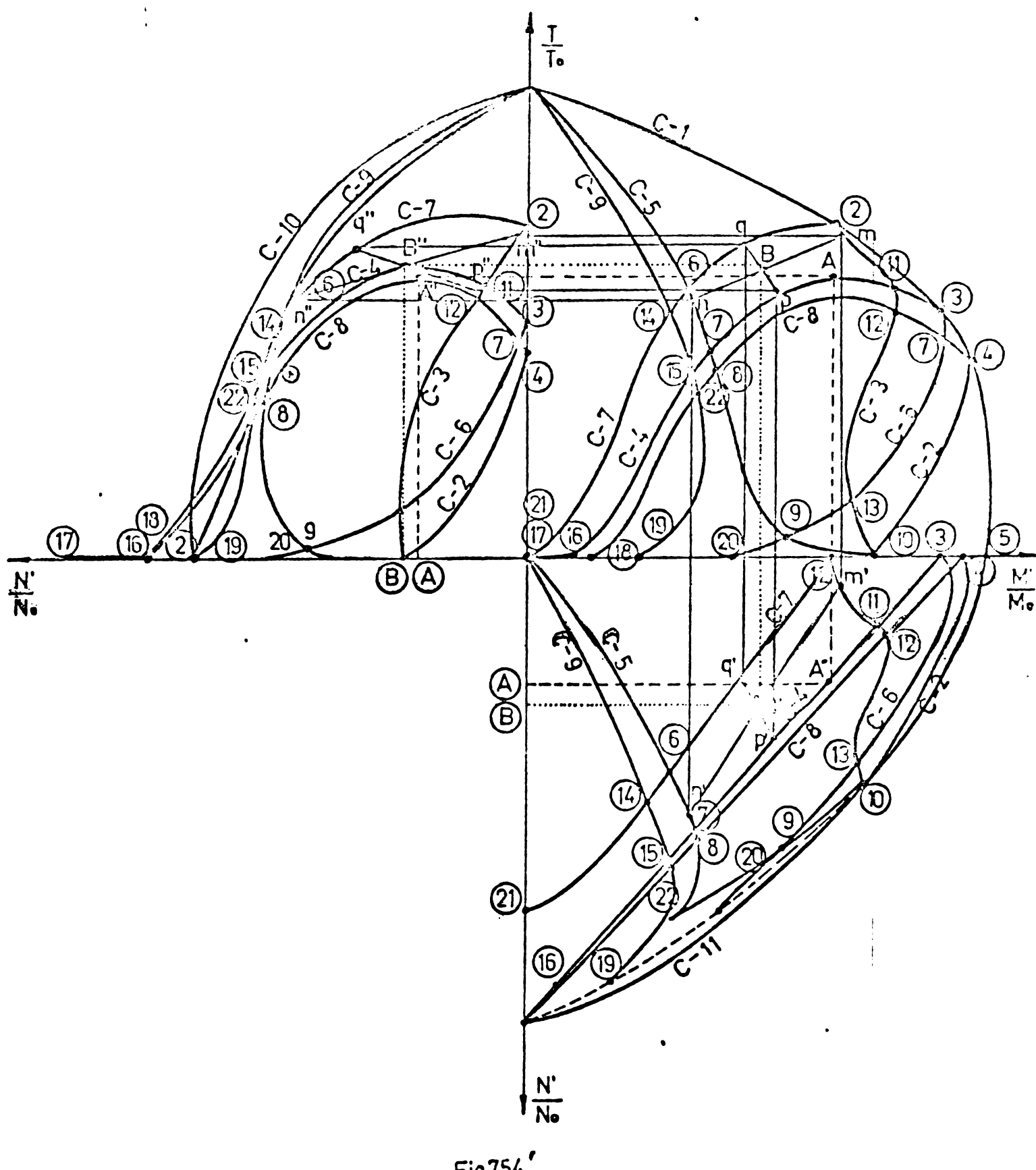
unde găsim punctul A'' tot pe curba C-4. Din ambele plane de proiecții se determină aceiasi valoare pentru $\frac{N'}{N_0} = 0,27$.

b. Punctul corespunzător unei stări de eforturi determinat prin două coordonate în planul corespunzător se găsește situat în spațiul între mai multe curbe.

Fie punctul B definit de coordonatele $\frac{M'}{M_0} = 0,50$ și

$$\frac{T'}{T_0} = 0,62$$
 în planul de coordonate $(\frac{M'}{M_0}; \frac{T'}{T_0})$.

Din figură se constată că el se găsește amplasat între curbele C₇, C₅, C₄, C₃. Considerăm prin aproximatie că aceste curbe determină un plan între punctele de intersecție a lor, adică între punctele 6; 2; 7; 11. Prin cîteva încercări găsim două drepte situate în acel plan, a căror intersecție definește punctul B (dreptele, "mn" și "pq"). Proiecțiile lui "B" pe celelalte plane B' și B" definesc cea de a treia mărime



"Fig 754"

căutată $\frac{M^*}{M_0}$. Constatăm că rezultatele determinate prezintă o aproximare. De exemplu: din planul $(\frac{M^*}{M_0}, \frac{N^*}{N_0}) \frac{N^*}{N_0} = 0,325$; din planul $(\frac{T^*}{T_0}; \frac{N^*}{N_0}) \frac{N^*}{N_0} = 0,300$

Cu înmulțirea numărului de curbe, poliedrul de curgere se definește mai exact și rezultatele vor fi mai exacte.

CAPITOLUL 8

STUDII ECONOMICE; EFICIENTA FOLOSIRII OTELURILOR SUPERIOARE; PROBLEME DE OPTIMIZARE.

8.1. Generalități. Introducerea în construcții metalice a oțelurilor cu caracteristici mecanice superioare reprezintă una din cîilea măririi eficienței folosirii metalului. Economia oțelului este condiționată de creșterea limitei de curgere și menținerea același greutăți și vîrifică la toate calitățile de oțel. Se obțin în final elemente de construcții mai ugoare, care în afară de consumul propriu mai redus de oțel, reprezintă avantaje atât la transportul și la montajul lor, cât și la reducerea încărcărilor pentru elementele pe care acestea se descarcă.

Indicatorul economic cel mai sintetic al unui element al unei construcții este costul său; de aceia criteriul de comparație a două elemente, executate din oțeluri cu calități diferite va fi costul comparativ al lor. Costul comparativ a două elemente de aceiași capacitate portantă este condiționat de doi factori: de valoarea rezistenței de curgere și de prețul unitar corespunzător. Din statisticile livrate de literatura tehnică, se constată că pe măsura creșterii limitei de curgere se mărește și prețul unitar, însă creșterea relativă a prețului unitar este mai redusă în comparație cu creșterea rezistențelor de curgere.

Redăm mai jos un tabel [34] în care se prezintă reportate la oțelul BC 73 K π , corespondator oțelului românesc OL 37,

rezistențele de curgere și prețurile unitare pe tonă corespunzătoare.

Tab.8.1

MARCA OTELULUI	Limita de curgere kgf/cm ²	Prețul în ruble pe tonă	Reportul la lim. curgere	Reportul la preț unitar
EC _T 3 KII	2400	88,9	100	100
BC _T 3 II C	2400	90,4	100	102
14 Г 2	3300	101	137	113,5
15 Г С	3400	99,9	142	112
09 Г 2T(M)	3300	101	137	113,5
10 Г 2 С ₁ (МК)	3500	109	146	123
15 x CH Δ	3500	120	146	135
10 x CH Δ	4000	137	167	154
12 Г 2 CMØ**	6000	162	250	183
12 x Г 2 CMØ**	7500	162	313	183

Avantajele obținute prin folosirea oțelurilor superioare în elementele omogene sunt și mai accentuate la grinzi hibride unde calitățile de oțel se aplică diferențiat, zonelor de solicitări diferite.

In prezentul capitol sunt prezentate studii privind folosirea barelor omogene executate din oțeluri cu σ_c diferite comparativ cu barele hibride solicitate la solicitări axiale și la încovoiere; atât în ceea ce privește consumul de oțel, cât și a contului.

Se face apoi studiul comparativ privind distribuția materialui pe secțiune, atât în domeniul elastic cât și plastic; de asemenei se face un studiu de optimizare a secțiunii, ținând cont atât de consumul de oțel cât și de costul elementului confectionat.

In prezentul capitol se va face studiul comparativ între două oțeluri românești cu caracteristici mecanice și prețuri unitare conform tabelului "Tab.8.2".

Tabelul 8.2.

MARCA OTELULUI	Limita de curgere kgf/cm ²	Pretul lei/kg	<u>Raportul</u> $K = \frac{\sigma_{CM}}{\sigma_{cm}}$	$p = \frac{\sigma_{CM}}{\sigma_{cm}}$	Pretul centajelor metalice cm franc-e-va- gon-stație de destina- tia.
OL 37.3K tabla 12 mm	2400	3,30	1	1	5500
OL 52.3K " 12 mm	3600	3,70	1,5	1,12	6500

8.2. Studiul comparativ privind folosirea oțelurilor de calități diferite.

8.2.1. Studiul comparativ privind consumul de oțel la două bare omogene alcătuite din două oțeluri diferite, supuse la întindere centrică.

Se face studiul comparativ între o bară omogenă din oțel cu limită de curgere σ_{cm} , și o secțiune transversală A_o , și o bară omogenă cu limită de curgere σ_{CM} și o secțiune transversală A .

La atingerea limitei de curgere, pentru obținerea aceluiaș efort capabil P în ambele bare, putem scrie următoarele relații:

$$P = \sigma_{cm} A_o ; \quad P = \sigma_{CM} A \quad (8.1)$$

Economia de oțel realizată prin folosirea oțelului superior cu limită de curgere σ_{CM} se determină:

$$E = \frac{A_o - A}{A_o} = \frac{\frac{P}{\sigma_{CM}} - \frac{P}{\sigma_{cm}}}{\frac{P}{\sigma_{cm}}} = 1 - \frac{\sigma_{cm}}{\sigma_{CM}} = 1 - \alpha \quad (8.2)$$

In cazul folosirii oțelului OL 37 - oțel cu limită de curgere $\sigma_{cm} = 2400 \frac{daN}{cm^2}$ comparativ cu OL 52 cu $\sigma_{CM} = 3600 \frac{daN}{cm^2}$ se obține:

$$E = 1 - \frac{2400}{3600} = 1 - 0,66 = 0,33$$

sau procentual: $E = 33\%$.

8.2.2. Studiul comparativ privind consumul de oțel între o bară omogenă alcătuită din oțel inferior și o bară hibridă, supuse la întindere centrică.

Se face un studiu comparativ între o bară omogenă alcătuită din oțel cu limită de curgere σ_{cm} , și o bară hibridă având înima executată din oțel cu limită de curgere σ_{cm} și tălpile executate din oțel cu limită de curgere σ_{CM} .

Fie următoarele notații:

Pentru grinda omogenă

A_o - aria secțiunii transversale

σ_{cm} - limită de curgere

Pentru grinda hibridă

A_i - aria secțiunii inimii

A_t - aria secțiunii tălpilor

σ_{CM} - limită de curgere pentru oțelul din tălpi

Introducem notațiile:

$$\beta = \frac{A_i}{A} ; K = \frac{\sigma_{CM}}{\sigma_{cm}} \quad (8.3)$$

Studiul comparativ se face la atingerea limitei de curgere în ambele bare. În bara hibridă la atingerea limitei de curgere σ_{CM} în tălpi, înima se va găsi în domeniul plastic, parcursind un palier corespunzător efortului ($\sigma_{CM} - \sigma_{cm}$). Deformațiile corespunzătoare acestui palier fiind foarte mici, oțelul nu-și va modifica decât în foarte mică măsură caracteristicile mecanice.

Pentru obținerea aceluiasi efort capabil P , în ambele bare, la atingerea limitei de curgere sunt valabile relațiile:

$$P = \sigma_{cm} A_o ; P = A_i \sigma_{cm} + A_t \sigma_{CM} \quad (8.4 \text{ a,b})$$

Folosind notațiile (8.3) obținem:

$$A_i = A\beta ; A_t = A(1-\beta) \quad (8.5)$$

Egalăm expresiile (8.4 a,b)

$$\sigma_{cm} A_o = A_i \sigma_{cm} + A_t \sigma_{CM} ; A_o = A_i + A_t \cdot K$$

$$A_o = A\beta + A(1-\beta)K ; A_o = A[\beta + (1-\beta)K] \quad (8.6)$$

Economia de oțel obținută prin folosirea barei hibride rezultă:

$$\varepsilon = \frac{A_o - A}{A_o} = 1 - \frac{A}{A_o} = 1 - \frac{1}{\beta + (1-\beta)K} \quad (8.7)$$

Folosind oțel cu limită de curgere $\sigma_{cm} = 2400 \text{ daN/cm}^2$ și oțel

cu limita de curgere $\sigma_{CM} = 3600 \text{ daN/cm}^2$, rezultă $K = 1,5$

Relația (8.7) devine:

$$E = 1 - \frac{1}{1,5 - 0,5\beta} \quad (8.8)$$

Economia de oțel este o funcție de β și este redată în diagrame din fig.8.1.

Se observă că pentru $\beta = 0$, bara hibridă devine omogenă din oțel cu limita de curgere σ_{CM} și regăsim $E\% = 33\%$ din 8.2.1, iar pentru $\beta = 1$, bara hibridă devine omogenă din oțel cu limită de curgere σ_{cm} și $E\% = 0$.

8.2.3. Studiul comparativ privind costul barelor omogene cu a celor hibrile, solicitate la întindere centrică.

Dăm în introducere următoarele notări:

Q_o - costul unitar al unei bare omogene

Q_h - costul unitar al unei bare hibrile

c_m - prețul unitar (lei/kg) pentru oțel caracterizat prin σ_{cm}

C_M - prețul unitar (lei/kg) pentru oțel cu limită de curgere σ_{CM}

Afînd în vedere greutățile specifice δ - identice pentru toate oțelurile, vom face studiul comparativ la ariile corespunzătoare, ponderate de prețuri unitare specifice.

Exprimăm costul unei secțiuni omogene și a unei secțiuni hibrile:

$$Q_o = A_o \cdot cm$$

$$Q_h = A_i \cdot cm + A_t \cdot CM \quad (8.9)$$

Raportindu-le și notînd $\frac{CM}{cm} = p$

$$\frac{Q_h}{Q_o} = \frac{A_i \cdot cm + A_t \cdot CM}{A_o \cdot cm} ; \quad \frac{Q_h}{Q_o} = \frac{p \cdot A_t + A_i}{A_o} \quad (8.10)$$

Exprimăm toate ariile în funcție de "A" - aria barei hibrile:

$$A_i = A\beta ; \quad A_t = A(1-\beta); \quad A_o = A[\beta + (1-\beta)K] \quad (8.11)$$

Expresia (8.10) devine:

$$\frac{Q_h}{Q_o} = \frac{p(1-\beta) + \beta}{\beta + (1-\beta)K} \quad (8.12)$$

Pentru a avea: $Q_h < Q_o$ este necesar ca:

$$p(1-\beta) + \beta < (1-\beta)K + \beta$$

adică: $p < K$

ceea ce este valabil pentru toate categoriile de oțel

$$\text{In final: } Q_h = Q_o \frac{p(1-\beta) + \beta}{\beta + (1-\beta)K} \quad (8.13)$$

Pentru parametrii $p=1,12$; $K=1,5$ conform tabelului "Tab.8.2" relația (8.13) devine:

$$\frac{Q_h}{Q_o} = \frac{1,12 - 0,12\beta}{1,5 - 0,5\beta} \quad (8.14)$$

Reprezentăm în fig.8.1 împreună cu curba $(\beta - E)$ și curba $(\frac{Q_h}{Q_o}, \beta)$. Folosind aceste două curbe împreună, putem face un studiu economic atât în privința consumului de oțel pe curba $(\beta - E)$ cît și a prețului de cost pe curba $(\frac{Q_h}{Q_o}, \beta)$

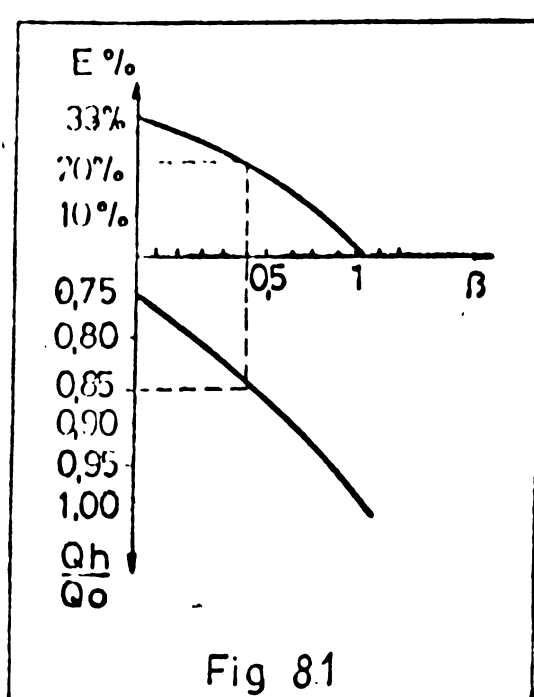
Astfel pentru $\beta = \frac{A_i}{A} = 0,5$ se realizează o economie de 23% de oțel cu un cost de 86% - folosind o bară hibridă de egală rezistență cu una omogenă din oțel OL 37

8.2.4. Studiul comparativ privind consumul de oțel la două bare omogene, alcătuite din două oțeluri diferite, solicitare la compresiune centrică.

Folosind cele două bare omogene de la pct.8.2.1 putem scrie următoarea egalitate în momentul pierderii stabilității barelor.

$$P = A_o \sigma_{cr}^{cm}; P = A \sigma_{cr}^{cm} \quad (8.15)$$

Economia de oțel realizată prin folosirea oțelului supe-



riose (σ_{CM}) se determină:

$$E = \frac{A_o - A}{A_o} = \frac{\frac{P}{\sigma_{cr}^{cm}} - \frac{P}{\sigma_{cr}^{cm}}}{\frac{P}{\sigma_{cr}^{cm}}} = 1 - \frac{\sigma_{cr}^{cm}}{\sigma_{cr}^{cm}} = 1 - \frac{\sigma_a^{cm}}{\sigma_a^{cm}} \frac{\gamma_{cm}}{\gamma_{cm}}$$

(8.16)

Particularizând pentru oțel OL 37 ($\sigma_{cm} = 2400 \text{ daN/cm}^2$) și OL 52 ($\sigma_{cm} = 3600 \text{ daN/cm}^2$), și folosind acelaș coef. de siguranță $C = 1,5$ rezultă:

$$E = 1 - \alpha \frac{\gamma_{cm}}{\gamma_{cm}} \quad (8.17)$$

Reprezentând variația expresiei $\frac{\gamma_{cm}}{\gamma_{cm}}$ după normele STAS 1008/0-78 – pentru oțelul OL 37 și OL 52 pentru profilul tip A se obține:

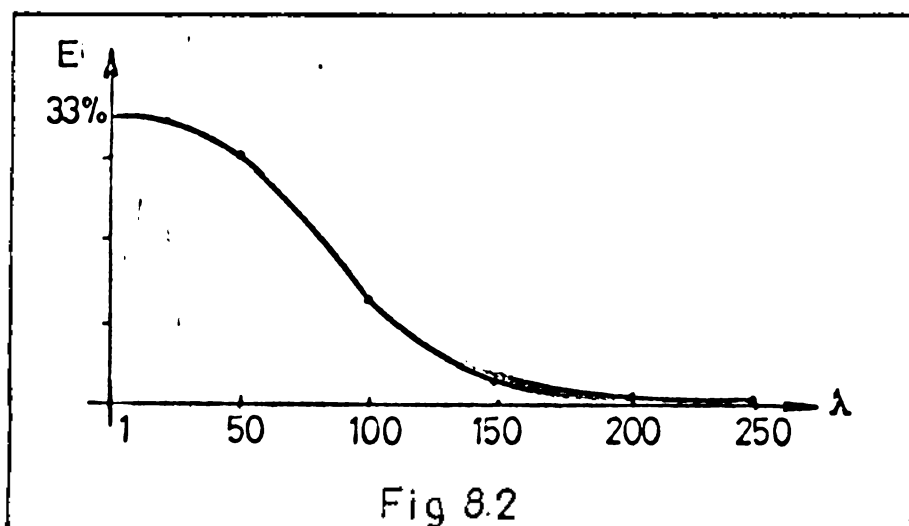


Fig. 8.2

tru $\lambda = 150$ dispare complet.

Se constată că pentru $\gamma = 1$ unde fenomenul nu intervine bara se comportă identic cu una întinsă ($E = 33\%$). Odată cu creșterea lui λ eficiența folosirii barelor cu σ_{CM} , scade și practic pen-

8.2.5. Studiul comparativ privind consumul de oțel între o grindă omogenă alcătuită din oțel cu limită de curgere σ_{cm} și o grindă hibridă cu inima din oțel cu limită de curgere σ_{cm} , și cu tăpile din oțel cu limită de curgere σ_{cm} .

λ	$\frac{\gamma_{cm}}{\gamma_{cm}}$	$E = 1 - \alpha \frac{\gamma_{cm}}{\gamma_{cm}}$
1	1	0,33
50	0,712	0,30
100	0,610	0,135
150	0,335	0,040
200	0,199	0,020
250	0,129	0,00

Acceptând aproximația $h_i \approx h$

conform fig. 8.2 exprimăm momentele plastice pentru grinza omogenă și grinda hibridă, cu dimensiuni geometrice identice:

Pentru grinda omogenă:

$$M_o = \left(\frac{gh^2}{4} + \frac{A_t}{2} h \right) \sigma_{cm} = \frac{h}{4} (A_i + 2A_t) \sigma_{cm} \quad (8.18)$$

Pentru grinda hibridă:

$$M_p = \frac{gh^2}{4} \sigma_{cm} + \frac{A_t}{2} \sigma_{cm} h =$$

$$= \frac{h}{4} (A_i + 2KA_t) \sigma_{cm} \quad (8.19)$$

Pentru $M_o = M_p$ și păstrând A_i identic, notăm aria tălpilor grinzii hibrilde cu A_t^{CM}

$$M_o = M_p; \quad \frac{h}{4} (A_i + 2A_t) \sigma_{cm} = \frac{h}{4} (A_i + 2K A_t^{CM}) \sigma_{cm}$$

din unde:

$$A_t^{CM} = \frac{A_t}{K} \quad (8.20)$$

Exprimăm ariile pentru:

$$\text{grinda omogenă: } A_o = A_i + A_t \quad (8.21 \text{ a})$$

Pentru grinda hibridă:

$$A_h = A_i + \frac{A_t}{K} \quad (8.21 \text{ b})$$

Economia de oțel rezultată prin folosirea grinzii hibrilde.

$$E = \frac{A_o - A_h}{A_o} = 1 - \frac{A_t}{A_o} = 1 - \frac{A_i + \frac{A_t}{K}}{A_i + A_t} = 1 - \frac{KA_i + A_t}{K(A_i + A_t)} = 1 - \frac{K}{K+1} = \frac{1}{K+1} \quad (8.22)$$

$$E = 1 - \frac{1.5K + \beta'}{K(1 + \beta')} \quad \text{unde: } \frac{A_t}{A_c} = \beta' \quad (8.23)$$

Pentru $K = 1,5$ ceeace corespunde folosirii oțelurilor OL 37 cu $\sigma_{cm} = 2400 \text{ daN/cm}^2$ și OL 52 cu $\sigma_{cm} = 3600 \text{ daN/cm}^2$ relația 8.23

devine:

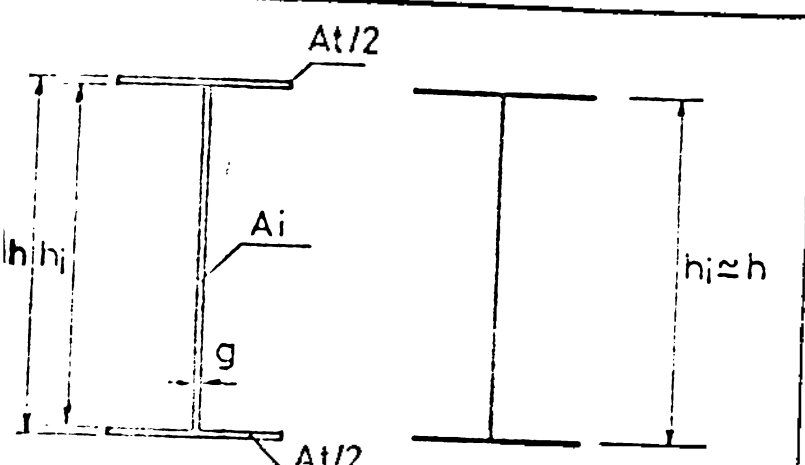


Fig. 8.3

$$E = 1 - \frac{1,5 + \beta'}{1,5(1+\beta')} \quad (8.24)$$

In tabelul "Tab.4" este exprimată economia de oțel pentru valorile β' cele mai frecvente.

Se realizează economii din oțel între 11-20%; pentru valori-le lui β' uzuale.

8.2.6. Studiul comparativ privind costul grinzi omogene cu a celor hibride.

Păstrând notațiile de la barele solicitate axial cap.8.2. putem scrie

Costul unitar al unei grinzi omogene:

$$Q_o = A_i \cdot cm + A_t \cdot cm \quad (8.25)$$

Costul unitar al unei grinzi hibride:

$$Q_h = A_i \cdot cm + \frac{A_t \cdot CM}{K} \quad (8.26)$$

Raportindu-le se obține:

$$\frac{Q_h}{Q_o} = \frac{\frac{A_i \cdot cm + A_t \cdot CM}{K}}{A_i \cdot cm + A_t \cdot cm} = \frac{K + \beta' p}{K(1 + \beta')} \quad (8.27)$$

Pentru a avea inegalitatea $Q_h < Q_o$

este necesar ca:

$$K + \beta' p < K(1 + \beta')$$

$$\text{sau: } p < K \quad (8.28)$$

inegalitatea valabilă pentru toate categoriile de oțel

In final se obține:

$$Q_h = Q_o \cdot \frac{K + \beta' p}{K(1 + \beta')} \quad (8.29)$$

Pentru $K = 1,5$ și $p = 1,12$ relația (8.29) devine:

$$\frac{Q_h}{Q_o} = \frac{1,5 + 1,12 \beta'}{1,5 + 1,5 \beta'} \quad (8.30)$$

Rezultatele raportului $\frac{Q_h}{Q_o}$ pentru valorile $0,5 < \beta' < 1,5$ sunt re-duse în tabelul 8.4. Rezultatele atestă o economie la prețul de cost între 9% și 15,5%.

Tabelul 8.4

β'	0,5	0,6	0,7	0,8	0,9	1,0	1,1	1,2	1,3	1,4	1,5
E%	11	12,5	14	15	15,5	16,5	17,5	18,0	18,5	19,5	20,0
$\frac{Q_h}{Q_o}$	0,91	0,905	0,895	0,890	0,885	0,875	0,865	0,860	0,855	0,850	0,845

Tabelul este operant direct: astfel pentru $\beta' = 1,2$ - obisnuit pentru grinzi - rezultă o economie de oțel de 18% și cu un preț de cost de 85% în comparație cu o grindă omogenă alcătuită din oțel OL 37 - cu aceiași capacitate portantă.

8.3. Optimizarea grinziilor hibride supuse la încovoiere.

Alcătuirea optimă a secțiunilor omogene urmărește obținerea unui consum minim de material. Literatura de specialitate pune la îndemnă o serie de relații pentru stabilirea dimensiunilor geometrice ale secțiunii din acest considerent.

Pentru secțiuni hibride, optimizarea trebuie privită sub aspectul costului minim al elementului, deoarece materialele ce intervin în alcătuirea secțiunii, având caracteristici mecanice diferite au și prețuri unitare diferite.

Pentru o secțiune hibridă cu dimensiunile din fig. 8.4, exprimăm valoarea momentului plastic M_p și aria totală A.

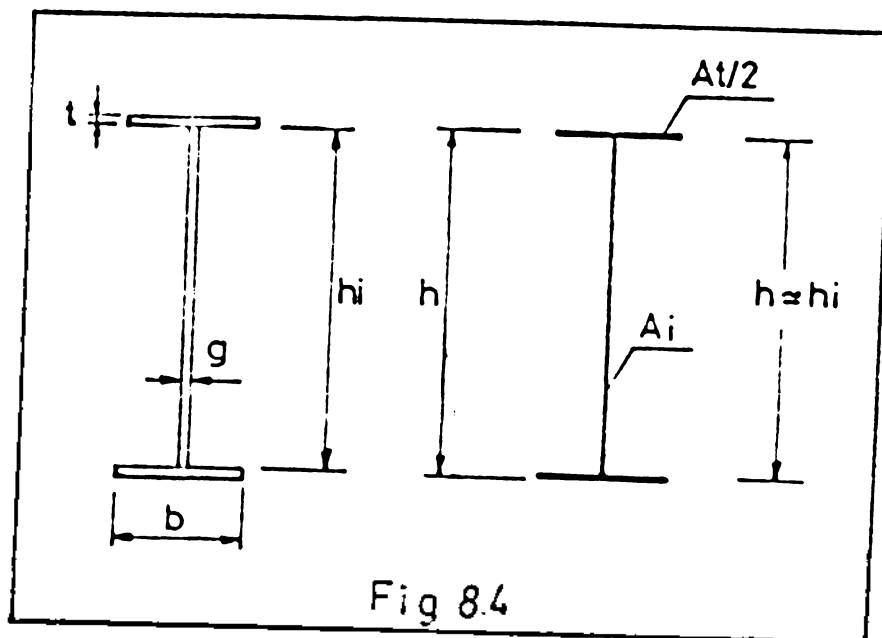


Fig 8.4

$$M_p = \frac{1}{4} (h-2t)^2 g \sigma_{cm} + bt(h-t) K \sigma_{cm} \quad (8.31)$$

Exprimăm aria totală:

$$A = 2bt + g(h-2t) \quad (8.32)$$

Din (8.31) și (8.32) explicităm "A"

$$A = \frac{2M_p - \frac{1}{2}(h-2t)^2 g \sigma_{cm}}{K \sigma_{cm}(h-t)} + g(h-2t) \quad (8.33)$$

Notăm cu "cm" prețul unitar al obiectului inferior și cu "p.cm" prețul unitar al obiectului superior.

Costul total al secțiunii pe unitate de lungime este:

$$Q = g(h-2t).cm + [A - g(h-2t)] p.cm \quad (8.34)$$

Făcindu-ne aproximativ

$$h \approx 2t \approx h - t \approx h \quad (8.35)$$

Notăm raportul $\frac{h}{g} = \mu$, pe care îl considerăm constant, considerația acceptabilă, μ variind între limite mici.

Introducem (8.33) în (8.34)

$$Q = g(h-2t).cm + \left[\frac{2M_p - \frac{1}{2}(h-2t)^2 g \sigma_{cm}}{K \sigma_{cm}(h-t)} \right] p.cm \quad (8.36)$$

Folosind relația (8.35) și raportul $\frac{h}{g} = \mu$ obținem:

$$Q = \frac{h^2}{\mu} cm + \frac{2M_p \cdot p.cm}{K \sigma_{cm} \cdot h} = \frac{1}{2} \frac{h^2 p.cm}{\mu \cdot K} \quad (8.37)$$

Pentru a determina valoarea minimă a lui "Q", derivăm expresia în raport cu "h"

$$\frac{dQ}{dh} = \frac{2h^3 cm \sigma_{cm} K - 2M_p \mu p.cm - h^3 p.cm \sigma_{cm}}{K \sigma_{cm} h^2} = 0$$

Anulăm numărătorul și explicităm "h"

$$h^3 = \frac{2M_p \cdot p \cdot \mu}{\sigma_{cm} (2K - p)} \text{ sau } h = \left(\frac{2M_p \cdot \mu}{\sigma_{cm}} \right)^{1/3} \left(\frac{p}{2K - p} \right)^{1/3} \quad (8.38)$$

$$\text{Notăm expresia: } \frac{p}{2K-p} = M \quad (8.39)$$

Se obține în final expresia lui h_{opt}

$$h_{opt} = \left(\frac{2M_p \mu \bar{M}}{\sigma_{cm}} \right)^{1/3} \quad (8.40)$$

mărimea determinată de parametrii K, μ, p

Inlocuind (8.40) în (8.33) obținem aria minimă

$$A_{min} = \left(\frac{M_p}{\sigma_{cm}} \right)^{2/3} \left(\frac{1}{2\mu} \right)^{1/3} \frac{2+2MK-\bar{M}}{k\bar{M}^{1/3}} \quad (8.41)$$

Exprimăm de asemenea și A_i în funcție de h_{opt}

$$A_i = h_{opt} \cdot s; \quad A_i = \left(\frac{M_p}{\sigma_{cm}} \right)^{2/3} \bar{M}^{2/3} \frac{2^{2/3}}{\mu^{2/3}} \quad (8.42)$$

Exprimăm raportul $\frac{A_i}{A}$

$$\frac{A_i}{A} = \frac{2\bar{M}_K}{2 + 2MK - \bar{M}} \quad (8.43)$$

Stabilim costul optim al secțiunii: în relația (8.37) introducem valoarea lui h_{opt} din (8.40)

$$c_{opt} = \frac{2}{\mu} \frac{cm}{cm^2} + \frac{2M_p \cdot p \cdot cm}{K \sigma_{cm} h} - \frac{1}{2} \frac{h_{opt}^2 \cdot p \cdot cm}{\mu K} \quad (8.44)$$

Tinând cont de notația (8.39) în final se obține

$$Q_{opt} = \frac{3}{2} \frac{cm \cdot h^2}{K \mu \bar{M}} \quad (8.45)$$

Particularizăm pentru o secțiune omogenă adică pentru $K=1; p=1;$

$\partial\bar{M}=1.$

$$h_{opt} = \left(\frac{2M_p \mu}{\sigma_{cm}} \right)^{1/3} \quad (8.46)$$

$$A_{min} = 3 \left(\frac{M_p}{\sigma_{cm}} \right)^{2/3} \left(\frac{1}{2\mu} \right)^{1/3} \quad (8.47)$$

$$\frac{A_i}{A} = \frac{2}{3}; \text{ adică: } \left(\frac{A_i}{A} \right)_{opt} = \frac{2}{3} \text{ deci } \frac{A_t}{A} = \frac{1}{3}$$

$$Q_{opt} = \frac{3}{2} \frac{cm \cdot h^2}{\mu} \quad (8.48)$$

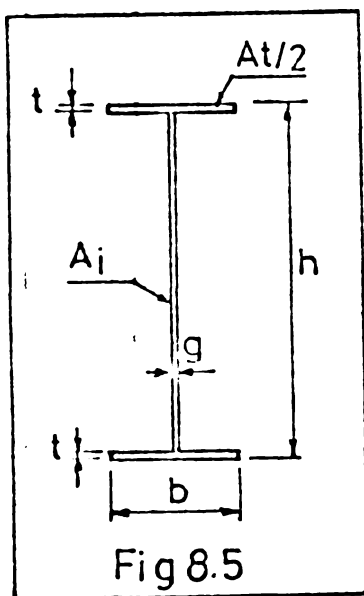
8.4. Optimizarea grinzilor hibride, cu luarea în considerare a criteriilor pierderii stabilității locale a inimii.

Ridicarea eficienței grinziilor cu inimă plină, omogene sau hibride, privind economia de oțel, se realizează în primul rînd prin creșterea înălțimii grinzi; creșterea înălțimii grinzi este limitată de condiția stabilității locale a inimii.

In continuare se efectuează studiul asupra grinziilor omogene și hibride acceptându-se $\mu = \frac{h}{g}$ identic pentru toate tipurile de grinzi, relația care definește criteriul stabilității locale.

8.4.1. Studiul în domeniul elastic.

8.4.1.1. Studiul grinziilor omogene:



a) Pentru o grindă omogenă dublu simetrică din fig.8.5 alcătuită din oțel cu limita de curgere σ_{cm} (OL 37), stabilim modulul de rezistență elastică.

$$w_e \approx \frac{\gamma h^2}{6} + bt \cdot h$$

$$w_e = \frac{A_i \cdot h}{6} + \frac{A_t}{2} \cdot h$$

Folosind notatiile: $A_i + A_t = A$; $\frac{A_i}{A} = \beta$, unde β este un coeficient de distribuție a materialului; $\mu = \frac{h}{g}$; se obține:

$$w_e^{olcm} = \frac{\mu^{1/2} A^{3/2}}{4} \left(2 - \frac{4}{3} \beta \right) \beta^{1/2} \quad (8.49)$$

Cantitățile optimă de material se obțin din condiția:

$$\frac{dw_e}{d\beta} = 0; \text{ rezultă: } \beta = \frac{1}{2}; A_i = \frac{A}{2} \quad (8.50)$$

b) O grindă omogenă de același dimensiuni, făcută din oțel cu limita de curgere σ_{cm} (OL 52) se va comporta identic din punct de vedere a stabilității locale a inimii, cu cea alcătuită din oțel cu limita de curgere σ_{cm} , înlocuind în relația (8.49) termenul lui μ cu: (conform recomandărilor din literatura tehnică)

$$\mu \frac{\sigma_{cm}}{\sigma_{CM}} = \mu a \quad (8.51)$$

unde: $a = \frac{2400}{3600} = 0,667$ dacă folosim OL 37 cu $\sigma_{cm} = 2400 \text{ daN/cm}^2$ și OL 52 cu $\sigma_{CM} = 3600 \text{ daN/cm}^2$.

Expresia modului de rezistență:

$$w_e^{OL CM} = \frac{1/2 A^{3/2}}{4} \left(2 - \frac{4}{3} \beta \right) \beta^{1/2} a^{1/4} \quad (8.52)$$

c) Pentru o grindă hibridă în stadiul II elasto-plastic conform fig.8.6 scriind condiția de egalitate a momentului exterior și

a cuplurilor rezistente interioare se obține conform fig.8.6.

$$W_e^{\bar{\sigma}} = W_e^{CM} - \Delta W \quad (8.53)$$

In relația (8.53) modulele de rezistență sunt calculate pentru fibra exterioară a profilului.

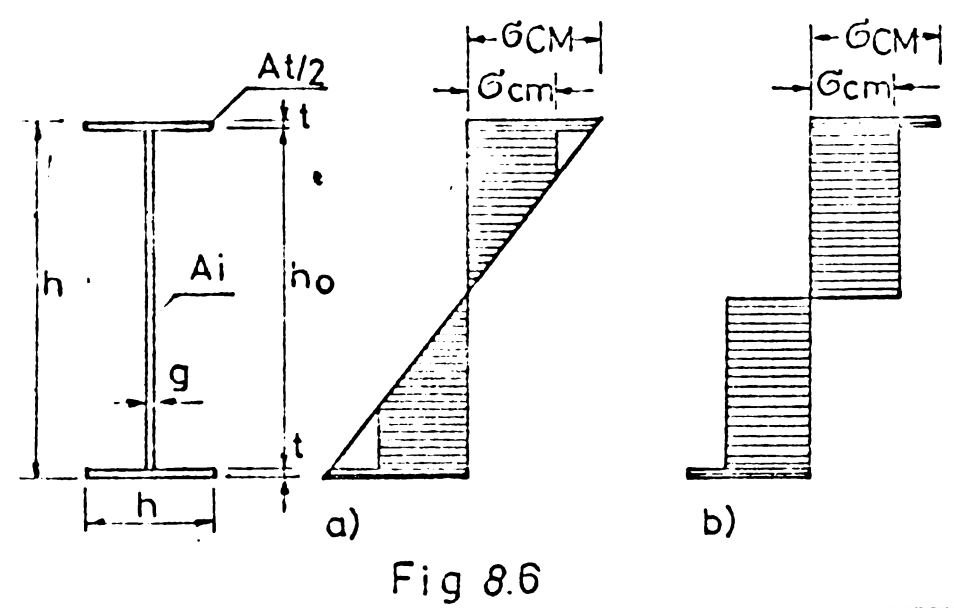


Fig 8.6

Aproximând că grosimea tălpilor "t" este mică în raport cu înălțimea inimii a grinzi "h_o", ΔW are:

$$\Delta W = \left[\frac{h_o}{2} (2 - \alpha) + \frac{2t}{3} \right] \left[\frac{h_o}{2} (1 - \alpha) - t \right] \left[(1 - \alpha) - \frac{2t}{h_o} \right] \frac{g}{2} \quad (8.54)$$

O analiză statistică a expresiei (8.54) făcută pentru grinzi hibride alcătuite din oțeluri corespunzătoare cu OL 37 și OL 52 [33] arată că ΔW reprezintă 3% din w_e^{CM} .

Se exprimă (8.54) sub forma:

$$w_{II}^{\bar{\sigma}} = \delta w_e^{CM} \quad (8.55)$$

unde $\delta = 0,97$ în medie

d) Studierea eficienței de folosire a materialului. Se exprimă aria secțiunii pentru cele trei tipuri de secțiuni, pornind de la egalitatea capacitatii portante:

$$M = w_e^{OL 37} G_{cm} = w_e^{OL 52} G_{cm} = w_{eH}^{\bar{\sigma}} G_{cm} \quad (8.56)$$

unde "M" este un moment de încovoiere acelaș pentru toate grinziile.

$$A_e^{OL 37} = \sqrt{\frac{(4 \cdot w_e^{OL 37})^2}{(2 - \frac{4}{3} \beta)^2 \mu \beta}} \quad (8.57)$$

- 164 -

$$A_e^{OL\ 52} = \sqrt{\frac{(4 w_c^{OL\ 52})^2}{(2 - \frac{4}{3}\beta)^2 \mu \beta \alpha^{1/2}}} \quad (8.58)$$

$$\Lambda_{eH}^{\bar{y}} = \sqrt{\frac{(4 \frac{w_e^{OL\ 37}}{\delta})^2}{(2 - \frac{4}{3}\beta)^2 \mu \beta \alpha^{1/2}}} \quad (8.59)$$

Punând condiția unei identități a stabilității locale a inimii, adică $\mu = \text{const}$ și că

$$w_e^{OL\ 37} = \frac{w_e^{OL\ 52}}{\alpha}$$

impunem pentru compararea expresiei valoarea:

$$\frac{(4 w_c^{OL\ 52})^2}{\mu} = 1 \quad (8.60)$$

Se obține relații:

$$\Lambda_e^{OL\ 37} = \sqrt[3]{\frac{1}{(2 - \frac{4}{3}\beta)^2 \beta \alpha^2}} \quad (8.61)$$

$$A_e^{OL\ 52} = \sqrt[3]{\frac{1}{(2 - \frac{4}{3}\beta)^2 \beta \alpha^{1/2}}} \quad (8.62)$$

$$\Lambda_{eH}^{\bar{y}} = \sqrt[3]{\frac{1}{(2 - \frac{4}{3}\beta)^2 \beta \alpha^{1/2} \delta}} \quad (8.63)$$

e) Concluzii:

- Din graficul fig.8.7 se constată că aria optimă corespunde unui coef. de distribuție a materialului $\beta = 0,5$.

- Eficiența folosirii grinzilor hibride pentru aceeași capacitate portantă rezultă din următoarele comparații:

Pentru $\beta = 0,5$ o grindă hibridă are o arie cu 16% mai mică față de o grindă omogenă din OL 37 și o arie mai mare numai cu 2,5% față de o grindă omogenă alcătuită din OL 52.

8.4.2 Studiul în domeniul plastic (stadiul IV)

a) Pentru o grindă dublu simetrică, omogenă alcătuită din ojel cu limita de curgere OCM (OL 37) cu dimensiunile din

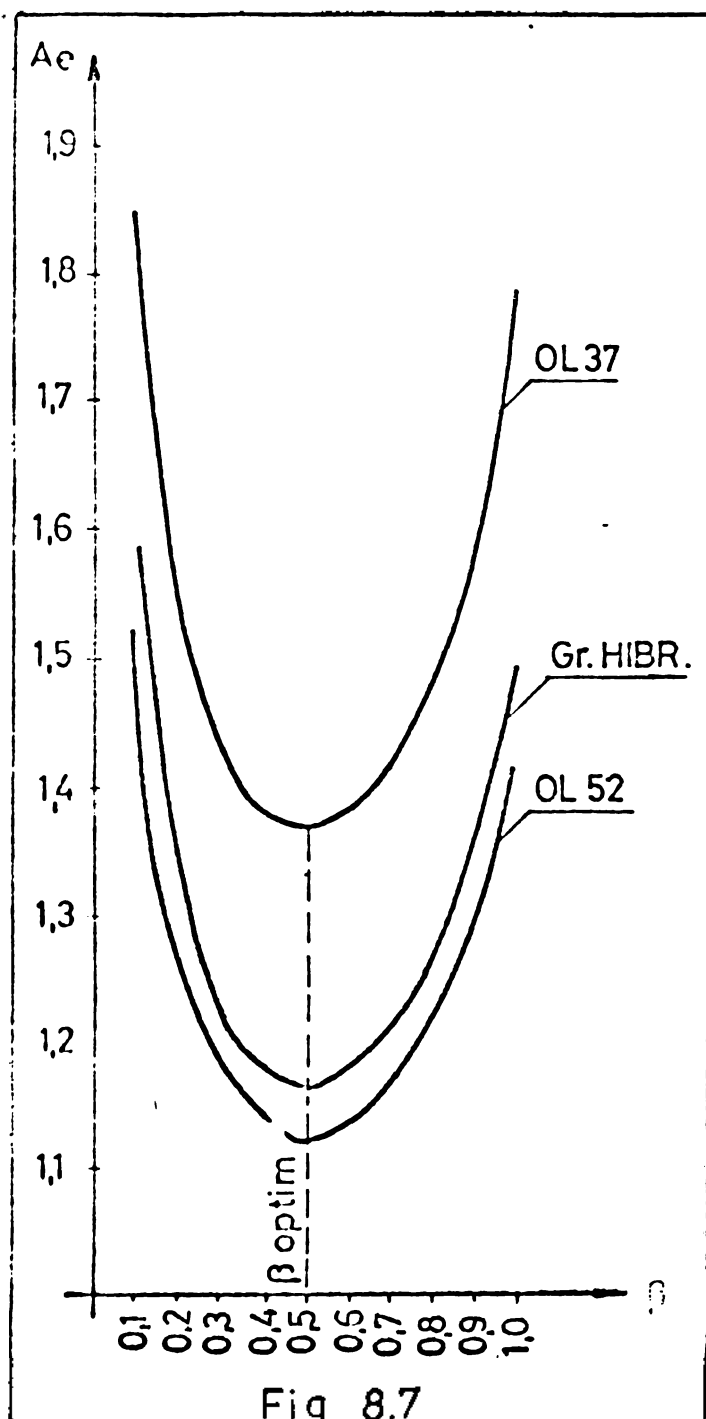


Fig. 8.7

Tabelul 8.5.

β	OL37 A_e	OL52 A_e	H A_{eH}
0,1	1,85	1,54	1,56
0,2	1,56	1,28	1,31
0,3	1,43	1,18	1,21
0,4	1,37	1,12	1,17
0,5	1,36	1,11	1,14
0,6	1,37	1,12	1,15
0,7	1,41	1,18	1,21
0,8	1,49	1,21	1,24
0,9	1,59	1,29	1,35
1,0	1,79	1,41	1,47

Fig. 8.6. stabilișim modulul de rezistență elastică.

$$w_p = \frac{bh^3}{4} + bth ; \quad w_p = -\frac{A_j h}{4} + \frac{A_t}{2} h$$

Cu notările : $A_j + A_t = A$; $\frac{A_j}{A} = \beta$; $\mu = \frac{h}{g}$ se obține:

$$w_p \text{ OI. CM } = \frac{\mu^{1/2} A^{3/2}}{4} (2 - \beta) \beta^{1/2} \quad (8.64)$$

Consumul optim de material se obține din condiție :

$$\frac{dw_p}{d\beta} = 0 ; \text{ rezultă: } \beta = \frac{2}{3} ; \quad w_p = 0,272 \mu^{1/2} A^{3/2} \quad (8.65)$$

Comparând lucrul grinzii în domeniul elastic cu cel din domeniul

plastic, constatăm că în domeniul plastic participarea inimii e mai importantă: $\beta = 1/2$ în domeniul elastic și $\beta = \frac{2}{3}$ în domeniul plastic. Sensul fizic al acestui fenomen constă în faptul că în domeniul plastic inima lucrează mai eficient, întreaga sețiune lucrează la o tensiune unitară maximă σ_c .

b) Pentru a exprima modulul de rezistență a unei grinzi omogene, dublu simetrice, alcătuită din oțel cu rezistență de curgere $\sigma_{cm}(OL\ 52)$, având moment capabil egal cu al unei grinzi omogene alcătuite din oțel cu rezistență de curgere $\sigma_{cm}(OL\ 37)$ ne folosim de egalitatea:

$$M = w_p^{OL\ 37} \sigma_{cm} = w_p^{OL\ 52} \sigma_{CM} \quad (8.66)$$

$$\text{de unde } w_p^{OL\ 52} = w_p^{OL\ 37} \frac{\sigma_{cm}}{\sigma_{CM}} = \alpha w_p^{OL\ 37} \quad (8.67)$$

c) Pentru o grindă în stadiul IV de lucru, cu dimensiunile din fig.8.6b exprimăm valoarea modulului plastic.

$$M_p = \sigma_{CM} \left[\frac{bh^2}{4} \alpha + \frac{A_t}{2} h \right]$$

$$\text{Cu relațiile: } A_i + A_t = A ; \frac{A_i}{A} = \beta ; \mu = \frac{h}{g}$$

se obține

$$w_p^{\bar{w}} = \frac{\mu^{1/2} A^{3/2}}{4} [2(1-\beta) + \beta \alpha]^{\beta^{1/2}} \quad (8.68)$$

d) Studierea eficienței de folosire a materialului.

Exprimăm aria sețiunilor, pentru cele trei tipuri de secțiuni, pornind de la relația capacității portante identice:

$$M = w_p^{OL\ 37} \sigma_{cm} = w_p^{OL\ 52} \sigma_{CM} = w_{pH} \sigma_{CM} \quad (8.69)$$

Din relațiile (8.68) și (8.69) obținem:

$$A_p^{OL\ 37} = \sqrt[3]{\frac{(4w_p^{OL\ 37})^2}{(2-\beta)^2 \beta \mu}} \quad (8.70)$$

$$A_p^{OL\ 52} = \sqrt[3]{\frac{(4w_p^{OL\ 52})^2}{(2-\beta)^2 \beta \mu}} \quad (8.71)$$

$$\Lambda_{pH}^{\bar{v}} = \sqrt{\frac{16(w_p^H)^2}{[2(1-\beta) + \beta\alpha]^2 \beta \mu}} \quad (8.72)$$

Lăsând drept valori constante:

$$\frac{(4w_p^{OL\ 52})^2}{\mu} = 1 \text{ și înținând cont că } w_p^{OL\ 37} = \frac{w_p^{OL\ 52}}{\alpha}; \quad w_p^{OL\ 52} = w_{pH}^{\bar{v}} \text{ se obține:}$$

$$\Lambda_p^{OL\ 37} = \sqrt[3]{\frac{1}{(2-\beta)^2 \beta \cdot \alpha^2}} \quad (8.73)$$

$$\Lambda_p^{OL\ 52} = \sqrt[3]{\frac{1}{(2-\beta)^2 \cdot \alpha}} \quad (8.74)$$

$$\Lambda_{pH}^{\bar{v}} = \sqrt[3]{\frac{1}{[2(1-\beta) + \beta \cdot \alpha]^2 \beta}} \quad (8.75)$$

e). Concluzii:

Se constată din grafic fig.8.8 că secțiunea optimă corespunde pentru $\beta = 2/3$.

Eficiența pentru folosirea grinzii hibride comparativ cu grinda alcătuită din OL 37 rezultă de ex: pentru $\beta = 0,6$, grinda hibridă are o arie în secțiune mai mică cu 16%.

Curba $\Lambda_{pH}^{\bar{v}}$ se confundă pentru valorile lui β ce tind la zero cu curba $\Lambda_p^{OL\ 52}$ deoarece $\beta \rightarrow 0$ reprezintă o grindă cu inițială ce dispare - grinda devinând omogenă alcătuită numai din tălpi; de asemenea ea se apropie și se confundă cu curba $\Lambda_p^{OL\ 37}$ pentru $\beta \rightarrow 1$ deoarece grinda hibridă se transformă într-o grindă fără tălpi alcătuită numai din inițială.

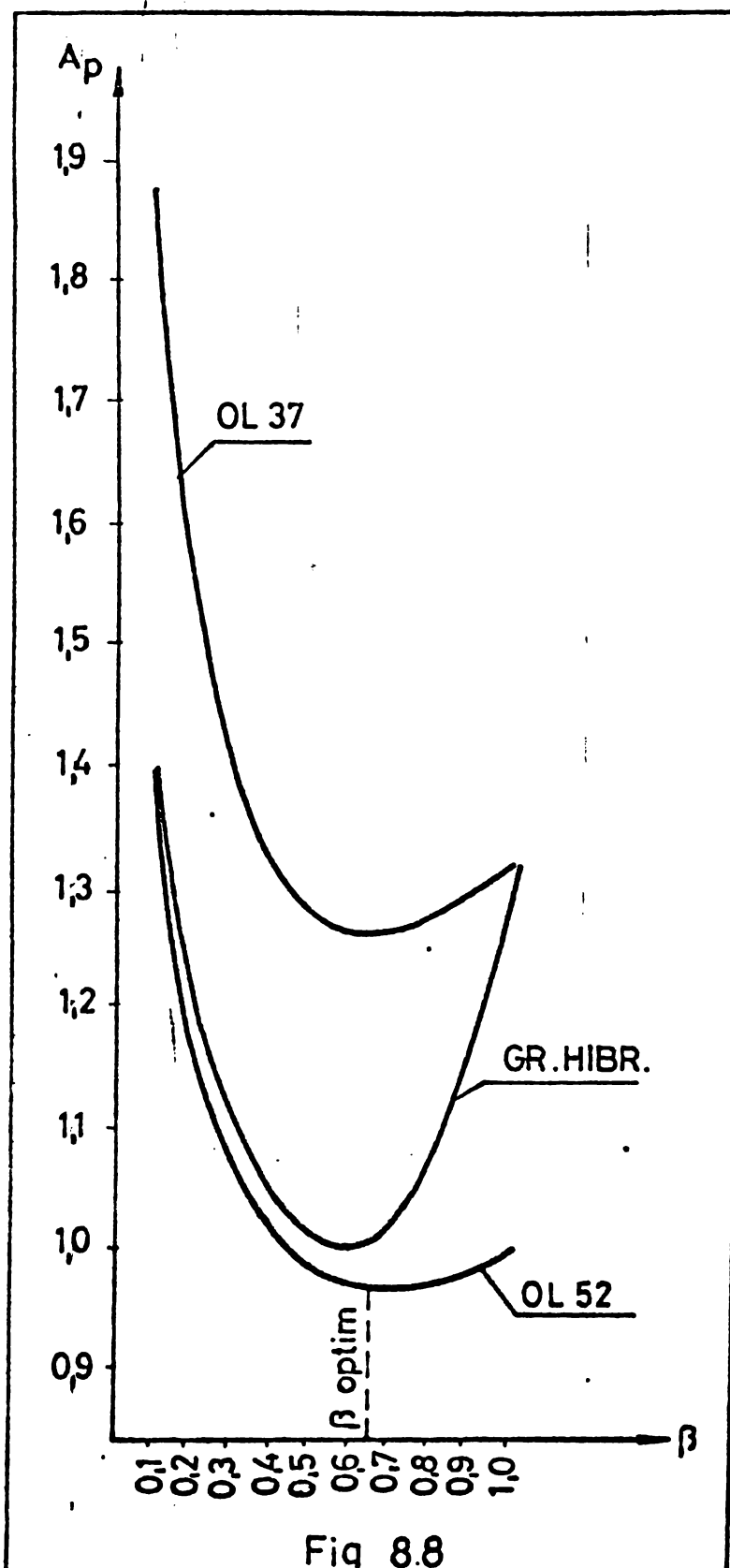


Fig 8.8

Tabelul 8.6.

β	OL 52 A_p	OL 37 A_p	ii A_{FH}
0,1	1,41	1,88	1,42
0,2	1,16	1,53	1,19
0,3	1,07	1,41	1,10
0,4	0,99	1,31	1,05
0,5	0,96	1,27	1,04
0,6	0,95	1,25	1,05
0,7	0,94	1,24	1,10
0,8	0,96	1,27	1,11
0,9	0,97	1,28	1,21
1,0	1,00	1,32	1,31

- Din graficul "fig.8.8" se remarcă eficiența grinzilor hibride în domeniul valorilor β cuprinse între 0,1 - 0,7.

Curbele corespondente grinzilor hibride și a celor omogene din OL 52 sunt foarte apropiate ca urmare a contribuției hotărîtoare a tâlpilor la valorile momentelor capabile. Cu creșterea lui β eficiența grinzilor hibride tende să se transformă în grinzi omogene din OL 37.

8.5. Studiul economic a construcției metalice puse în operă.

Se va studia costul pe tonă de construcție metalică pusă în operă, comparativ între grinzi de egală capacitate portantă executate ca grinzi omogene din oțeluri OL 37-OL 52 - și grinzi hibride alcătuite din cele două calități de oțel.

Se acceptă pentru studiu următoarele costuri pe tonă de confecție metalică:

Q_1 - costul pe tonă a confecției metalice, franco vagon stațion de destinație, conform unor prețuri din produsele livrate de uzinile Bocșa-Română, conf.tab.8.2.

pentru OL 37 - 5500 lei/tonă

pentru OL 52 - 6500 lei/tonă

Q_2 - costul transportului de la stația CF, gara de destinație la șantier. Conform normativului privind modul de întocmire a devizelor pe categorii de obiecte P 91/77 se stabilește 16,20 lei/tonă pe distanță de 5 km - transport pe trailere.

Q_3 - costul privind montajul lucrărilor pentru grinzi cu inimă plină în greutate de 1-3 tone cu macarale pe finalțime pînă la 20 m lei 130,70/tonă conform catalogului de prețuri pentru articole de deviz, art.CL 4f.

Q_4 - costul unei manipulări, adică a unei încărcări sau a unei descărcări cu automacarale de capacitate 5-8 tone, 3 lei/tonă; considerăm nevoie trei manipulări descărcare din vagon pe rampă, încărcare în trailer și descărcare din trailer pe șantier total 9 lei/tonă.

Costul unei tone de construcție metalică pusă în operă se va calcula cu relația

$$Q_t = (Q_1 + Q_2 + Q_3 + Q_4) \cdot n \quad (8.76)$$

unde "n" sunt diverse sporuri care se dau procentual pe tonă de confecție, privind condiții de lucru speciale, timp defavorabil etc.

Inlocuind în (8.76) costurile Q_1, Q_2, Q_3, Q_4 obținem

$$Q_t^{OL 37} = 5656,0 \text{ lei/tonă}; \quad Q_t^{OL 52} = 6656,0 \text{ lei/t.} \quad (8.77)$$

Greutatea unei grinzi o stabilim cu relația evidentă:

$$G = A \ell^y \quad (8.78)$$

iar costul unei grinzi cu relația:

$$Q = Q_t \cdot G \quad \text{sau} \quad Q = Q_t \cdot A \cdot \ell^3$$

În sprijinerea greutății proprii următoare să cuprindem în afară elementelor principale ale grinziei, înima și tălpile, și elementele secundare, cum ar fi rigidizările.

Se apreciază [33] că sporul datorit acestor elemente se ridică la o,16 A_i .

Cu aceste precizări exprimăm costul unei grinzi:

- omogene din OL 37 : $Q^{OL \cdot 37} = 5656(1,16A_i + A_t) \ell^3 s$
- omogene din OL 52 : $Q^{OL \cdot 52} = 6656(1,16A_i + A_t) \ell^3 s \quad (8.79a, b)$

- a unei grinzi hibride cu rigidizările executate din OL.37

$$Q^H = (5656 \times 1,16A_i + 6656 A_t) \ell^3 s \quad (8.79c)$$

Folosim relațiile $A_i = A\beta$; $A_t(1-\beta)A$ se obține:

$$Q^{OL \cdot 37} = 5656(1+o,16\beta) A \ell^3 s$$

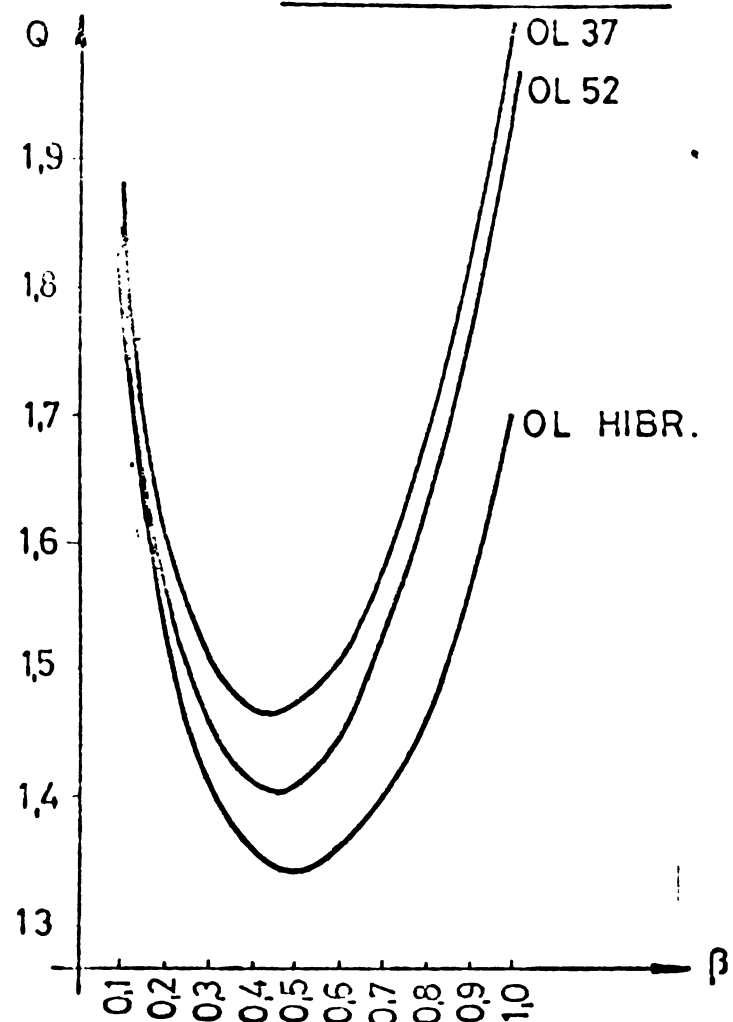
$$Q^{OL \cdot 52} = 6656(1+o,16\beta) A \ell^3 s$$

$$Q^{HIB} = 5656(1,176-o,016\beta) A \ell^3 s \quad (8.80 a, b, c)$$

Pentru compararea costurilor celor trei tipuri de grinzi considerăm că ele sunt de lungimi identice și de capacitate portantă identică, adică având ariile A determinate în cap. 8.4 iar β , să fiind de asemenea identice. În acest caz relațiile de comparație se pot scrie, eliminând termenii identici din cele trei expresii (8.80) și ele devin:

$$\begin{aligned} Q^{OL \cdot 37} &= (1+o,16\beta) A^{OL \cdot 37} \\ Q^{OL \cdot 52} &= 1,176(1+o,16\beta) A^{OL \cdot 52} \\ Q^{HIB} &= (1,176-o,016\beta) A^{HIB} \end{aligned} \quad (8.81 a, b, c)$$

Reprezentăm grafic cele trei expresii pe un sistem de coordonate Q, β , folosind expresiile determinate pentru urmări A - din relațiile (8.61-8.63) în domeniul elastic și cele din relațiile (8.73-8.75) în domeniul plastic: fig.8.9, fig.8.10 și tab.8.7 și tab.8.8.

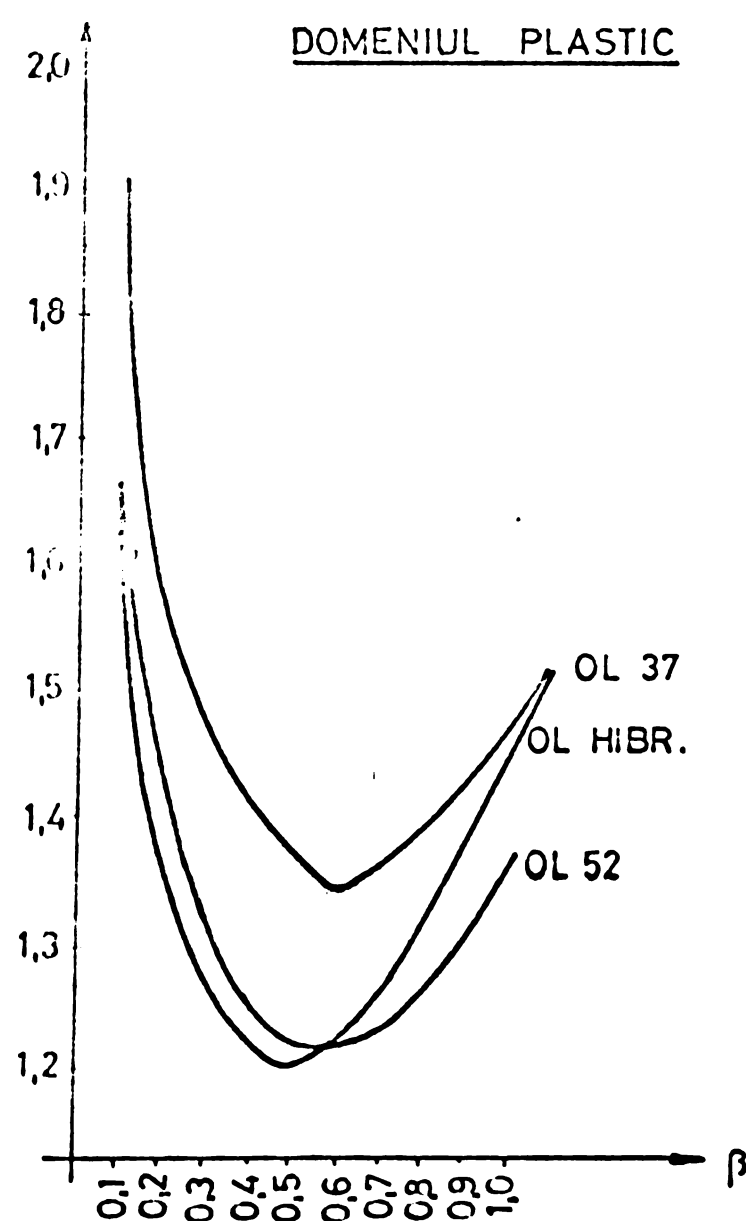


Tabelul 8.7

β	OL 37	OL 52	HIB
0,1	1,88	1,84	1,75
0,2	1,61	1,56	1,54
0,3	1,50	1,46	1,42
0,4	1,46	1,41	1,37
0,5	1,47	1,42	1,33
0,6	1,50	1,44	1,35
0,7	1,57	1,54	1,41
0,8	1,68	1,61	1,44
0,9	1,82	1,74	1,56
1,0	2,04	1,96	1,70

Fig 8.9

Tabelul 8.8.



β	OL 37	OL 52	HIB
0,1	1,91	1,68	1,67
0,2	1,58	1,41	1,39
0,3	1,48	1,32	1,29
0,4	1,39	1,24	1,23
0,5	1,34	1,22	1,21
0,6	1,37	1,22	1,22
0,7	1,38	1,23	1,28
0,8	1,43	1,27	1,29
0,9	1,46	1,30	1,40
1,0	1,53	1,36	1,53

Fig 8.10

CONCLUZII

Se constată că grinzile hibride au un cost mai redus față de grinzile omogene alcătuite din oțel OL.37 sau din oțel OL.52 atât în domeniul elastic și și în domeniul plastic. În domeniul plastic pentru valoarea β curentă: $\beta < 0,6$.

Astfel luând criterii de referire costul grinzii din OL.37 pentru $\beta = 0,5$, în domeniul elastic, grinda din oțel OL.52 are un cost mai mic cu 3,4%, iar grinda hibridă cu 9,5%; în domeniul plastic grinda din oțel OL.52 are un cost mai mic cu 8,9%, iar grinda hibridă cu 9,8%.

Putem remarcă însă că datorită costului de fabricație a produselor din oțel OL.52 (2800 lei/tonă) mult mai ridicat față de produsele din oțel OL.37(2200 lei/tonă) avantajele următoare la economie de grăutate sunt parțial anulate.

Considerăm că pe măsura folosirii oțelurilor superioare din ce în ce mai frecvent se va ajunge la o apreciere a costului de fabricație a oțelurilor superioare, față de oțelul OL.37 iar aceasta va conduce la avantaje economice mult sporite prin folosirea grinzilor hibride.

TABLA DE MATERIE

Capitolul 1

Introducere, considerații tehnico-economice; prezentarea conținutului lucrării pe capitulo.

1.1. Considerații generale

1.2. Sumarul lucrării

Capitolul 2

Bazele teoretice ale încovoierii elasto-plastice.

2.1. Generalități

2.2. Valabilitatea ipotezei lui Bernoulli atât în domeniul elastic cît și în cel plastic.

2.3.a. Relații de legătură între deformații și eforturi în încovoierea elasto-plastică.

2.3.b. Efectul solicitării de sens contrar.

2.4. Principiul creșterii proporționale a solicitărilor M, N, T .

2.5. Distribuția eforturilor din moment, forță axială și forță torsiune pe secțiune.

2.6. Criteriul de curgere

2.7. Utilizarea condițiilor de proiectare și de momente ale eforturilor unitare pe secțiune.

Capitolul 3

Comportarea grinziilor hibride la încovoierea dreaptă.

3.1. Generalități

3.2. Exprimarea matematică a relațiilor $M-\beta$ în timpul încovoierii elasto-plastice.

3.3. Determinarea momentului capabil al grinziilor hibride.

3.31. Stadiul 1

3.32 Stadiul 2

3.33 Stadiul 3

3.34 Stadiul 4

3.35 Stadiul - Deformații plastice limitate "Epl"

3.36 Propunerea lui Basler

3.37 Comportarea grinziilor hibride sub acțiuni de sens contrar.

Capitolul 4

Comportarea grinzilor hibrid la încovoiere cu trame; relații de interacțiune.

4.1. Generalități

4.2. Relații de interacțiune N^*, T^* ; prezentarea studiilor din literatură tehnică.

4.2.1. Definiția capacitații portante cu plasticizarea inerției secțiunii.

4.2.2. Definiția capacitații portante prin plasticizare numai a unor elemente din secțiunii.

4.3. Relația de interacțiune N^*T^* în concepția plasticizarii tuturor elementelor secțiunii.

4.3.1. Relația de interacțiune N^*T^* după Richard C., Henley I și Jamol Azor.

4.3.2. Relația de interacțiune N^*T^* cu o distribuție a efortului pe secțiune conform ipotezei lui Dutton-Heyman.

4.3.3. Relația de interacțiune N^*T^* după Basler și Hofman.

4.4. Relații de interacțiune N^*T^* în concepția plasticizarii parțiale a secțiunii.

4.4.1. Relația de interacțiune N^*T^* cu o distribuție parabolică pentru eforturile pe secțiunea simburelui elastic.

4.4.2. Relația de interacțiune N^*T^* ; calculul efectuat prin integrarea numerică a relațiilor 2.5.

4.5. Conceptul mixt privind definirea capacitații portante a grinzilor hibride solicitate la N^*T^* .

4.5.1. Calculul în domeniul elastic.

4.5.2. Calculul în domeniul elasto-plastic.

Capitolul 5

Comportarea grinzilor hibridi la încovoiere cu forțe axiale; relații de interacțiune.

5.1. Generalități

5.2. Comportarea secțiunilor omogene la încovoiere cu forță axială.

5.3. Comportarea secțiunilor hibride la încovoiere cu forță axială.

5.4. Comportarea secțiunilor I simetrice hibride la N^*U^* .

5.4.1. Închiderea produsă de forța axială se extinde numai în zona înimii.

5.4.2. Plasticizarea produsă de forța axială se extinde în talpi.

5.4.3. Programul Hybride 3; curbele de interacțiune.

Capitolul 6

Grinzi hibride cu inima plină, cu secțiunca I supusă la încovoiere oblică.

6.1. Generalități.

6.2. Ipoteza 1-a de calcul; se acceptă că talpile preiau momentul de încovoiere, iar inima forța tăietoare.

6.3. Ipoteza 2-a de calcul; momentul de încovoiere și forța tăietoare se produc talpilor și inimii.

6.3.1. Varianta de calcul exactă

6.3.2. Varianta de calcul simplificată.

6.4. Programul Hybride 4

6.4.1. Schema logică a programului

6.5. Comportarea rezultatelor; concluzii.

Capitolul 7

Comportarea secțiunilor hibride la acțiunea simultană a momentului de încovoiere, a forței axiale și a forței tăietoare; relații de interacțiune.

7.1. Generalități

7.2. Stabilirea expresiei generale a condiției de cursere a secțiunilor hibride.

7.3. Concepții privind definirea capacitatii portante a grinziilor hibride solicitate la M', N', T' .

7.4. Comportarea unei secțiuni hibride I la acțiunea simultană a lui M, N, T ; relații de interacțiune; studiu analitic în conceptul plasticizării tuturor elementelor secțiunii.

7.4.1. Cazul 1. Axa neutră plastică se află în domeniul inimii

7.4.2. Cazul 2. Axa neutră plastică se află în talpi.

7.4.3. Întocmirea programului Hybride 2.

7.4.4. Schema logică a programului Hybride 2.

7.4.5. Rezultate obținute prin programul Hybride 2, interpretarea rezultatelor.

7.5. Comportarea unei secțiuni hibride I la acțiunea simultană a solicitărilor M, N, T ; studiu prin integrarea numerică a diagramelor de oforturi în concepția respectării principiilor, legilor, ipotezelor din cap.2, în domeniul elasto.plastic.

7.5.1. Generalități

7.5.2. Programul Hybride

7.5.3. Expresii analitice a mărimeilor N, n, T , pentru curbelor $C_1 C_2 \dots C_{11}$.

7.5.4. Poliedrul de curgere; reprezentarea curbelor în spațiu și pe cele trei plane.

7.5.5. Observații și discuții privind influența parametrului $K = \frac{G_{\text{c}}}{G_{\text{cm}}}$, și a parametrului dimensional $\beta = \frac{h_i}{A}$ asupra stării de eforturi HHT pe o secțiune hibride.

7.5.6. Poliedrul de curgere; împărțire în zone; discuții asupra diagramei de eforturi.

7.5.7. Utilizarea curbelor.

Capitolul 8

8.1. Generalități; eficiența folosirii oțelurilor superioare; problema de optimizare.

8.1. Generalități

8.2. Studiul comparativ privind folosirea oțelurilor de calitate diferite.

8.2.1. Studiul comparativ privind consumul de oțel la două bare omogene alcătuite din două oțeluri diferite, supuse la întindere centrică.

8.2.2. Studiul comparativ privind consumul de oțel între o bară omogenă alcătuită din oțel normal și o bară hibridă, supuse la întindere centrică.

8.2.3. Studiul comparativ privind costul barelor omogene cu ale hibrile, solicitate la întindere centrică.

8.2.4. Studiul comparativ peivind consumul de oțel la două bare omogene, alcătuite din două oțeluri diferite solicitate la comprimare centrică.

8.2.5. Studiul comparativ privind consumul de oțel între o grină omogenă alcătuită din oțel normal și o grină hibridă.

8.3. Optimizarea grinzilor hibrile supuse la încovoiere.

8.4. Optimizarea grinzilor hibrile, cu luare în considerare a criteriului pierderii stabilității locale a inimii.

8.4.1. Studiul în domeniul elastic.

8.4.2. Studiul în domeniul plastic.

8.5. Studiul economic al construcției metalice puse în opera.

B I B L I O G R A F I A

1. N.STRALETKI - RABOTA STALI V SPROTIVLENII - QAZ. MASHIN - MOSCOVA 1956.
2. V.V.SODOLOVSKI - TEORIA PLASTICITATII. EDITURA TEHNICA 1953.
3. KACEANOV - OSNOVI TEORII PLASTICII OSTI - MOSCOVA 1969.
4. SAKUL - OSNOVI TEORII UPRUGOSTI I PLASTICNOSTI MOSCOVA 1970.
5. B.G.MEAL - DIE VERFAHREN DER PLASTISCHEN BERECHNUNG BEIGELEIDER STAHLSTABWERK W SPRINGER-VERLAG 1958.
6. JOHN BAKER JACQUES HEYMANS PLASTIC DESIGN OF FRAMES PRINTED IN 1969.
7. W.OLSZAK, P.PERZYNA, A.SOWCZUK. TEORIA PLASTICITATII.
8. ROLIK LINDNER - EINFUHRUNG IN DIE BERECHNUNG NACH DEM TRAGLAST-VERFAHREN - STAHLBAU - VERLAGS GEVH KOLN 1972.
9. KARL-AUGUST RECKLING PLASIZITATSTHEORIE UND FESTIGKEITSTHEORIE AUF FESTIGKEITSPROBLEME SPRINGER-VERLAG 1967.
10. K.BASLER VOLWANDSTRÄGER - BERECHNUNG UND URKRITISCHE KERLICH.
11. ANALIZA EXPERIMENTALA A TENSIUNILOR. EDITURA TEHNICA 1976.
12. D.CIOCOLOV. MECANICA RUPERII MATERIALILOR. ED.ACADEMIEI 1977.
13. MASSOLET CH. CALCULUL PLASTIQUE DES CONSTRUCTII BRUXELLES 1961.
14. C.DALEAN, I.JUNCAN. CONSTRUCTII INSTALATII. ED.DIDACTICA SI PEDAGOGICA 1977.
15. F.GUSSI.
- GRUNDLAGEN DES STAHLBAU EG SPRINGER VERLAG - 1971.
16. TONISHOV. TEORIA PLASTICHESKOGO DE FORMIROVANIA METALLA V MOSCOVA 1972.
17. A.VASILIEV. INSTALIUSKIE CONSTRUCTII MOSCOVA 1963.
18. I.DICOVICI. DINAMICA YPRUGO-PLASTICII IN BALOS LI IN GRAD 1962.
19. TURGUTLIK L. STRUCTURA DEFORM IRROMPANTĂ. BUCURESTI 1971.
20. W.IRAGER, HODGE. Theorie ideal plastischer Körper. Wien 1954.
21. THEORY OF FLOW AND FRACTURE OF SOLIDS by ANANDAI
22. KJAPITIN A.K. RASCIOT SOVREMENNI S UCETOM PLASTICNOSTI MATERIALOV.

25. SAVIN R. SI OTAKO, TAVASH.GARS - MOCIA IAS OF METALURGII.
26. MECHANICS OF DEFORMABLE SOLIDS AND STRUCTURES OF METALURGII
ARTICLES OSLOVA 1977.
27. B.I. PERIĆ IA
METALURGIJSKE CONSTRUCIJE
28. FR. FLODORESCU - V. LIM
TEORIA ELASTICITATII SI INTRODUCEREA IN TEORIA CONSTRUCIILOR
DEFORMABILE.
29. K. KLOPPEN U.D. F. YAN ADA
FLEISSPOLYMER DES RECHTSCH U.D. I - QUERSCH ITIES UNTER DER
WIRKUNG VON RIEGLERLIT, FORMALKRAFT UND QUERKRAFT.
30. RICHARD HUBELLY C. and JAHAL AZER
NON-LINEAR ANALYSIS OF NONLINEAR TRUSS STRUCTURES. JOURNAL OF
STRUCTURAL DIVISION JUNE 1968.
31. THERETE MOGLUNG
DESIGN OF THIN PLATE I GIRDERS IN SHEARAND BENDING - WITH
SPECIAL REFERENCE TO WEB BUCKLING NEDDLANGE 1973/94
32. RONALD FROST, CH.SCHILLING BEHAVIOR OF HYBRID BEAM SUBJECTED
TO PLASTIC LOADS J.of. STRUCTURAL DIVISION JUNE 1964.
33. G.HAAIJER, H.MASSE. ECONOMY OF HIGH STRENGTH STEEL STRUCTURAL
MEMBERS J.of.STRUCTURAL DIVISION.
34. KAPLUN A. K.VOPROSU PROSCHIROVANIA BALOK IZ DIL. MARES STALI
MATERIALI PO BISTALIJCHEM CONSTRUCIJAM Nr.12/1967.
35. KAPLUN A I VOPROSU VOPROSI PAIVEGODIJCIGO RASPREDELJENIA MATERIJA
A POPREČNOM SEČENII IZGHIBAETH ELEMENTOV. SRBI.
PROVISELOSTI 1958/Nr.9
36. VAKHIREV N. BALCI IZ DVUH MAREK STALI MATERIALI PO BISTALIJC-
CHEM CONSTRUCIJAM Nr.9/1965.
37. VAKHIREV N. BISTALIJCHE CONSTRUCTII MATERIALI PO BISTALIJC-
CHEM CONSTRUCIJAM Nr.13.
38. KAZIMIROV AA. OSOBOESTOI PROSCHIROVANIA SVARITH BI BISTALIJCHEH
BALOK. EDITURA NAUKOVA DUNKA ZILV 1965.
39. KAZIMIROV AA. BISTALIJCHE CONSTRUCTII MATERIALI PO BISTALIJC-
CHEM CONSTRUCIJAM.
40. PRIM. SISTOTYLO I INGENIERIE SOKUJEKIA 1963/6.
41. PATRUSOU, FLEGRIU. CALCULUL IN DOMENIU PLASTIC AL PARALEL-
LOG LIKHOUTATE DIN OTSL.Rev. CONSTRUCIILE.
42. P. BULAS, ZUMICHI.ZUM ERGELBSP. GELAST SCUD ASAI STRUCHTER
STEHLICHE SPRINGER VERLAG 1974.

40. H.SKALOUD. EFFECT OF FLANGE STIFFNESS UPON THE ULTIMATE LOAD CAPACITY OF THIN WELS BEAMS SUBJECTED TO A PARTIAL EDGE LOAD. VEB VERLAG 1974.
41. IVO.DADDI - SUL DIMINUISCI ALIMENTO A COLLAPSO PLASTICO DEI TRAVI A DOPPIO T REALIZZANTE CON ACCIAI DI DIFFERENTI CARATTERISTICHE DI RESISTENZA. COSTRUZIONI METALLICHE Nr.3/1968
42. K.A.RECKLING. BEITRAGZUM TRAGLAST FERFAEREL. SPEZIELL FUR DIE BALZENBIEGURE MIT QUERKRAFTEN STAHLBAU 12/1975.
43. DALBANU.DIACU I. VARGA . GRINZI METALICE DIN OTELEURI CU CARACTERISTICI MECANICE DIFERITE, DUCR.OMF.CONSTR.METALICE TIISOARA 1973.
44. N.STRELETZKI - RASCIOT ELEMENTOV STALINII CONSTRUCTII PE RERERIU PREDELI IN PLASTICESCHII DEFORMATII LA PROCUSTOSTI.
45. OTTO ACEL, CORNELIA BOZAN DISTOCATIILE SI FRECAREA IN TERNA LA METALE
46. N.A.KOLTUKOV. FOLZUCESTII RELAXATIA
47. BONDARIUC V, ERUPUNERI DE CALCUL AL GRINZI HIERIDE LA IN C.VEIERE DREAFTA SI OBLICA SI STABILITATE LATERALA.CONTRACT Nr.165/IEP/ 1976 cu INCERC Bucuresti.
48. KURTH ER. STAHLBAU BAND 1. VEB VERLAG TECHNIK BERLIN
49. UTRUGOSTI I NEUPRUGOSTI METALLOV. Sbornic Statei MOSCOVA 1956.
50. F.GRUND FORTRAN IV - PROGRAMMIERUNG
51. DANIEL D. Mc CRACKEN WILLIAM S DORN. NUMERICAL METHODS AND FORTRAN PROGRAMMING WITH APPLICATION IN ENGINEERING AND SCIENCE.
52. RECOMMENDATION POUR LE CALCUL EN PLASTICITE DES CONSTRUCTIONS EN ACIER DEC.1974 . CENTRE TECHNIQUE INDUSTRIEL DE LA CONSTRUCTION METALLIQUE
53. COSTRUZIONI IN ACCIAIO ISTRUZIONI PER LA VERIFICA ALLO STATO LIMITE DI COLLASSO PLASTICO.